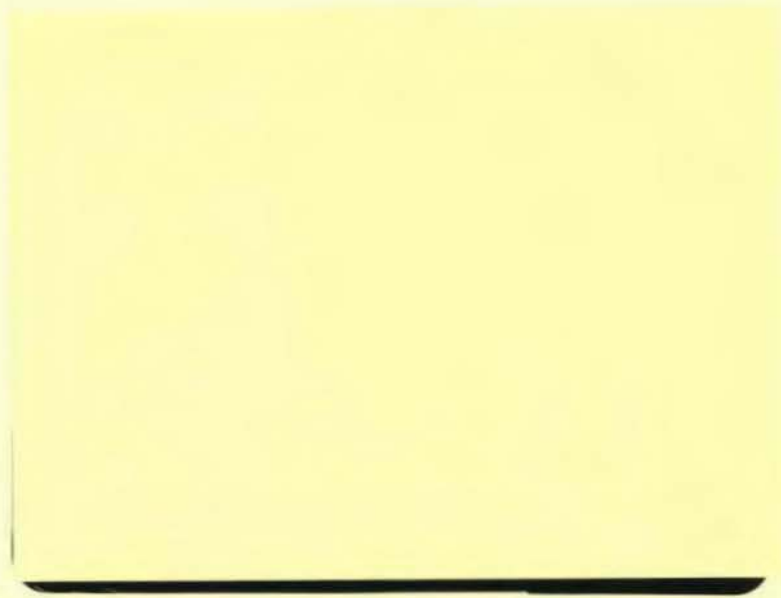


Tilhører Undergrunnskartverket
Må ikke fjernes



SO: E2

OSLO KOMMUNE
GEOTEKNISK KONTOR



OSLO KOMMUNE
Geoteknisk kontor

Kingos gt. 22.
0457 Oslo 4
Tlf.: (02) 35 59 60

RAPPORT OVER

NY STRØMSVEI
LOELVDALEN / KONOWS GATE
Laboratorie- og beregningsarbeider

R-1796-11

12. juli 1986

INNHOOLD:

Oversikt over bilag og tegninger
Oversikt over tidligere rapporter

INNLEDNING

LABORATORIEUNDERSØKELSER

- Tolkning av ødometerforsøk
- Tolkning av treaksialforsøk

BEREGNING/DIMENSJONERING

- Dimensjonering av spunt
- Skråningsstabilitet

Oversikt over bilag og tegninger

Bilag 0 Beskrivelse av bormetoder og laboratorieundersøkelser

Tegn.nr.	1796-12	Oversiktskart		
"	"	"	-42	Vingeboring pkt 6
"	"	"	-43	" " 7
"	"	"	-44	" " 118
"	"	"	-45	" " 129
"	"	"	-46	Borprofil " 22
"	"	"	-47	" " 106
"	"	"	-48	" " 108
"	"	"	-49	" " 133
"	"	"	-50	" " 138
"	"	"	-51	" " 141
"	"	"	-52	" " 151
"	"	"	-53	" " 171
"	"	"	-83	" " 180
"	"	"	-84	" " 193
"	"	"	-90-93	Ødometerforsøk pkt 106
"	"	"	-94-95	" " 108
"	"	"	-96-99	" " 133
"	"	"	-100-102	" " 138
"	"	"	-103-107	" " 151
"	"	"	-108-110	" " 171
"	"	"	-111-113	" " 180
"	"	"	-114-117	" " 193
"	"	"	-118-123	Treaksialforsøk " 106
"	"	"	-124-127	" " 108
"	"	"	-128-129	" " 133
"	"	"	-130-133	" " 138
"	"	"	-134-141	" " 151
"	"	"	-142-145	" " 171
"	"	"	-146	Aktive treaksialforsøk, samleplott
"	"	"	-147	Passive treaksialforsøk, samleplott
"	"	"	-148-152	Kornfordelingskurver
"	"	"	-153	Spenningsprofil, ovo' og op' mot dybde under terreng og spenningsprofil, ovo' og op' mot kotenivå
"	"	"	-154	Forholdet udrenert skjærstyrke/overlagringstrykk mot mot overkonsolideringsgrad (τ_k /ovo' mot OCR)
"	"	"	-155	Karakteristisk udrenert skjærstyrke mot overlagrings- trykket (τ_k mot ovo')
"	"	"	-156	Stabilitetsberegning, profil B1
"	"	"	-157	" " B1/B2
"	"	"	-158	" " B6
"	"	"	-159	" " B9
"	"	"	-160	" " B14
"	"	"	-161	" " B15
"	"	"	-162	" " B27
"	"	"	-163	" " av EPS fylling bak nordre landkar for bro K 1.



OSLO KOMMUNE

Geoteknisk kontor

Kingos gt. 22,
0457 Oslo 4
Tlf.: (02) 35 59 60

3

"	"	"	-71	Situasjons- og borplan A	(i kartlomme)
"	"	"	-72	" " B	(i kartlomme)
"	"	"	-73	" " C	
"	"	"	-74	" " D	
"	"	"	-89	" " E	(i kartlomme)
"	"	"	-164	Oversikt over prosjekterte konstruksjoner i Loelvdalen	(i kartlomme)



TIDLIGERE RAPPORTER

- R-1796-01 Ny Strømsvei, Fjell tunnel Vålerenga, Orienterende grunnundersøkelser
- " " -02 Ny Strømsvei, Fjell tunnel Vålerenga. Detaljert grunnundersøkelse
- " " -03 Ny Strømsvei, Fjell tunnel Vålerenga. Geologisk beskrivelse
- " " -04 Ny Strømsvei, Fjell tunnel Vålerenga. Detaljert grunnundersøkelse, spesielt ved tunnelpåhugg.
- " " -05 Ny Strømsvei. Galgebergforbindelsen. Datarapport, geotekniske undersøkelser, område del I.
- " " -06 Ny Strømsvei. Veitunnel Vålerenga. Ingeniørgeologiske undersøkelser.
- " " -07 Road tunnel through Vålerenga. Engineering geological site investigation. Engelsk versjon av R-1796-6.
- " " -08 Ny Strømsvei. Loelvdalen/Konows gate. Datarapport geoteknisk undersøkelser.
- " " -09 Ny Strømsvei. Fjell tunnel Vålerenga. Grunnundersøkelse ved riggplass, Enebakkv. 66-70.
- " " -10 Ny Strømsvei. Loelvdalen/Konowsgt. Datarapport geotekniske undersøkelser. Erstatte R-1796-8.

**INNLEDNING**

Etter oppdrag fra Oslo veivesen, rekvisisjon nr 9259 av 9/1-86 har Geoteknisk kontor utført grunnundersøkelser i Loelvdalen like vest for Kværner Bruk A/S og i skråningen opp mot Konows gate og Dyvekes vei.

Det er planlagt å legge E-6 på bro over Loelvdalen med tilknytning til Galgeberg og Etterstad i nord, mens det i syd lages avkjøring til Ryen og foreløpig avkjøring til Sentrum. Senere vil den planlagte tunnelen gjennom Ekebergplatået til Mosseveien delvis erstatte avkjøringen til Sentrum. Trafikkløsningen innebærer et omfattende brosystem med tilhørende ramper og terrengjusteringer. Hensikten med den geotekniske undersøkelsen har vært å registrere dybder til fjell samt kartlegge løsmasse- og grunnvannsforhold slik at prosjektet kan vurderes og anleggsarbeidet kan utføres på et sikkert grunnlag.

Tidligere rapport R-1796-10 av 3. mars 1986 inneholder resultater fra utførte sonderboringer og rutinemessig laboratorieundersøkelser av opptatte jordprøver, samt beskrivelse av geologi og løsmasseforhold.

Foreliggende rapport er en laboratorie- og beregningsrapport, og inneholder resultater og tolkning av ødometerforsøk og treaksialforsøk. Videre presenteres grunnlaget for spunt- og stabilitetsberegninger og det er vist resultater fra stabilitetsberegning for en del typiske profil.

LABORATORIEUNDERSØKELSER

Generell beskrivelse av laboratorieundersøkelser er gitt i bilag 0.

Tolkning av ødometerforsøk

Det er utført 50 ødometerforsøk for bestemmelse av leirens kompressibilitet og forkonsolidering. 23 av forsøkene ble utført med rebelastningssyklus. Resultatene er gitt på tegn.nr. 1796-90-117.

Flere av forsøkene er vanskelig tolkbare med hensyn på forkonsolideringstrykk op' og kompresjonsmodul M . Erfaringsmessig antas op' og minst like stor som for større dybder.

Forsøkene er utført på prøver som ligger i høydenivået mellom kote + 21 og kote + 5. Tegn.nr 1796-153 viser spenningsfordelingen i forhold til dybden under terreng og i forhold til kotenivå. Forkonsolideringstrykket øker med økende dybde under terreng, men det ser ikke ut til å være sammenheng mellom forkonsolideringstrykk og kotenivå. Dette tyder på at forkonsolideringstrykket er bygget opp av tidligere overlaging og at terrenget tidligere har vært dalformet. Målt forkonsolideringstrykk ligger i hovedsak innenfor 200-250 kN/m^2 som tilsvarer en overlaging på 10-20 m over eksisterende terreng.

Beregning av setninger er utført etter beregningsmodeller i "Grunnlag i geoteknikk", NTH 1970, av N. Janbu, og med følgende setningsparametre:

- dybde < 12 m og $\Delta q < op'$: Beregningsmodell med konstant modul,
 $M = 7 MN/m^2$
- dybde < 12 m og $\Delta q > op'$, og dybde > 12 m: Beregningsmodell med modul som er lineært avhengig av effektivspenningen, $m = 15$ og $or' = -150 kN/m^2$.

Tolkning av treaksialforsøk

Det er utført 18 aktive og 10 passive treaksialforsøk. Alle forsøk er isotropt konsolidert og selve skjærforsøket er udrenert (CIU -forsøk). Resultater er vist på tegn.nr. 1796-118-145.

For hver prøvedybde er det kjørt 2 parallelle treaksialforsøk med forskjellig konsolideringstrykk, henholdsvis 2/3 og 4/3 av effektivt overlagingstrykk. Fra samme dybde kjøres også ødometerforsøk slik at middelspenningen, og dermed skjærstyrkeverdiene, blir korrigert for forkonsolideringstrykket.

Prøvene er isotropt konsolidert og konsolideringstiden er vanligvis 15-16 timer (over natten). Ved konsolideringen registreres utpresset porevann. Deretter påføres mottrykk på 200 kN/m². På noen prøver ble B-testen utført, d.v.s. at poretrykkresponsen ved en økning av celletrykket, ble målt.

Selve skjærforsøket er kjørt med 3% deformasjon pr. time og forsøkene er kjørt til ca 10% deformasjon.

Utpresset porevann er for de fleste prøvene målt til 10-14 cm³ d.v.s. 4-6% av prøvolumet. På B-testen viste hovedmengden av prøvene en respons i området 90-93%. Enkelte forsøk måtte kasseres p.g.a. for lav respons, d.v.s. mindre enn 90%. På dette grunnlag må forsøkene karakteriseres som middels gode og noen på grensen til dårlige.

Skjærstyrkeverdiene er tatt ut ved 3% og 2% deformasjon for henholdsvis aktive og passive forsøk. Ved en felles tolkning er attraksjonen satt lik 20 kN/m² og deretter valgt en forsiktig anslått middelverdi av friksjonen:

- Tørrskorpe/fylling

Aktiv : a = 20 kN/m², tg φ = 0,60

- Leire

Aktiv : a = 20 kN/m², tg φ = 0,50

Direkte : a = 20 " , tg φ = 0,42

Passiv : a = 20 " , tg φ = 0,35

Spesielt for passive forsøk er skjærstyrkeverdiene justert noe ned p.g.a. at isotrope forsøk gir et for høyt τ_k/σ_v - forhold for passive forsøk.

På tegn.nr. 1796-154 er forholdet mellom målt udrenert skjærstyrke fra treaksialforsøk og overlagingstrykket plottet mot overkonsolideringsgraden (τ_k/σ_v mot OCR). Ved en sammenstilling av disse forsøksresultatene fås beregningsverdier av udrenert skjærstyrke angitt mot effektivt overlagingstrykk tegn.nr. 1796-155. Ved permanent avgraving vil overlagingstrykket reduseres og τ_k må følgelig justeres.

BEREGNINGER/DIMENSJONERING

Beregningene er utført etter grensetilstandmetoden beskrevet i "Sikkerhetsprinsipper i geoteknikk", utgitt av Norges Geotekniske Forening for Norsk Byggestandardiseringsråd.

Dimensjonering av spunt

Jordtrykket er beregnet med materialfaktor γ_m = 1,4 og 1,5 for henholdsvis provisorisk og permanent spunt som gir karakteristisk momentkapasitet og avstiverkrefter for spuntveggen. Sikkerhetsprinsipper i geoteknikk foreskriver



foreløpig lastkoeffisient $\gamma_f = 1,0$ på teoretisk beregnet jordtrykk hvor jordens styrkeparametre er dividert med en foreskrevet materialkoeffisient. På grunn av usikkerhet vedrørende poretrykk og telekrefter er det benyttet en lastkoeffisient $\gamma_f = 1,2 - 1,5$. Koeffisienten er skjønnsmessig valgt, men den er også sett i sammenheng med om konstruksjonen er provisorisk eller permanent.

Ulykkesgrensetilstanden er analysert, og det er ved dimensjoneringen tatt hensyn til at ett forankringsstag kan ryke, eller bli ødelagt ved uhell, uten at andre skal ryke (progressivt brudd).

Spunt, puter, stag og fordyblingsbolter er dimensjonert med en materialkoeffisient $\gamma_m = 1,32$ for stålet.

Det er foreskrevet at stagene skal prøvetrekkes til 85% av stagenes "0,2 - kapasitet". Etter prøvetrekking skal stagene låses på en forspenningskraft tilsvarende 40% og 50% av stagenes 0,2-kapasitet for henholdsvis permanente og provisoriske stag.

Skråningsstabilitet

Det forestående arbeidet berører en stor del av området i Loelvdalen vest for Kvarner bruk. Spesielt den sydlige skråningen vil bli gjenstand for store anleggsarbeider, støttekonstruksjoner, avgravinger/oppfyllinger og pelefundamentering.

Skråningen her har gjennom tiden vært gjenstand for omfattende terrengjusteringer og tegn.nr 1796-159 viser hovedtrekkene siden 1925. Terrengarbeidene har bestått i avgravinger for å utvide det flate området i dalbunnen. Avgravingen har medført at det øverste laget med fast tørrskorpeleire har blitt fjernet, og generelt medført nedsatte styrkeegenskaper i løsmassene. Dette, sammen med bratt graveskråning, har ført til to store utglidninger, i 1954 og 1960, som angitt på situasjons- og borplanen, tegn.nr. 1796-72.

I forbindelse med terrengjusteringene og spesielt utglidningene har det vært utført tildels omfattende grunnundersøkelser av NSB og NGI. Konklusjonen ble at skråningen fikk en helning omtrent som nåværende terreng, d.v.s ca 1 : 3,0, samt at langtidsstabiliteten skulle forbedres ved nedsetting av pumpebrønner og sanddren for dermed å oppnå redusert poretrykk.

Med så store og kostbare konstruksjoner som skal bygges, samt NSB's sporanlegg i dalbunnen, vil et grunnbrudd kunne få meget store konsekvenser. Det har derfor vært ønskelig å oppnå en generell forbedring av stabilitetsforholdene i området.

Tegn.nr. 1796-164 viser en oversikt over planlagte konstruksjoner i Loelvdalen, og tegn.nr. 1796-156-163 viser noen typiske profiler der terrengjusteringer og nye konstruksjoner er tegnet inn. Poretrykket er interpolert ut fra målt poretrykk.

Resultater fra en del stabilitetsberegninger er vist på profilene. Beregningene er i det vesentligste utført på effektivspenningsbasis, men med enkelte totalspenningsberegninger for sammenligning. Glideflaten er delt i en aktiv, direkte og passiv del og den mest kristjiske glideflaten er benyttet. Belastning fra trafikk er satt til $q_k = 10 \text{ kN/m}^2$ med en lastfaktor $\gamma_f = 1,3$.

Det er i utgangspunktet benyttet eksisterende poretrykk i grunnen, og med de poretrykkforandringer som naturlig vil følge av terrengjusteringene. Det er i tillegg også utført beregninger av stabiliteten dersom poretrykket stiger til å være hydrostatisk under et antatt drens nivå. Drensnivået antas da å ligge 0-2



m under terrengoverflaten. Et så høyt poretrykk gir meget lav stabilitet med sikkerhetsfaktor ned mot $F = 1.2 - 1.3$. Det antas imidlertid som meget usannsynlig at poretrykket i framtiden vil stige så høyt uten at det skjer noe som må karakteriseres som en ulykkestilstand, f.eks. en kraftig vannlekkasje eller stopp av NSB's pumpebrønner.

Grovt sett kan man si at det er to områder der stabiliteten blir forverret. Det første er området under sydlige del av E6-broene der NSB's vei må senkes nede i skråningsfoten og det blir oppfylling bak landkarene øverst i skråningen. Denne situasjonen er permanent. Sikkerhetsfaktoren forverres her fra ca $F = 1.9$ til ca 1.6 . Dette anses ikke å være noen dramatisk stabilitetsforverring og kan aksepteres.

Det andre området er der den midlertidige avkjøringen kommer inn på Dyvekes vei der det blir oppfylling øverst i skråningen. Beregningsmessig fås her en sikkerhetsfaktor på ca $F = 1.1$ like etter at oppfyllingsarbeidet er avsluttet. Den lave sikkerhetsfaktoren skyldes økt poretrykk i grunnen som følge av økt belastning på terrenget. For å ha kontroll med stabiliteten vil poretrykksutviklingen i oppfyllingsfasen bli spesielt overvåket. Poretrykksøkningen kan til en viss grad reduseres ved at oppfyllingen foretas etappevis. Etter avsluttet oppfylling vil poretrykket reduseres igjen, slik at det er en fordel å vente en tid med å sette på trafikken etter at veien er oppfylt. Når poretrykket har falt til normal verdi igjen vil skråningstabiliteten ha øket til ca $F = 1.4$. Oppfyllingen kan også reduseres når den midlertidig avkjøringen avvikles fordi det da bare blir ett kjørefelt som skal inn på Dyvekes vei her.

For området forøvrig vil totalstabiliteten bli forbedret eller forbli omtrent som for eksisterende situasjon.

I framtiden bør stabilitetsforholdene i skråningen kontrolleres, både ved måling av poretrykk og ved at det ikke foretas anleggsarbeider uten på forhånd å foreta en geoteknisk vurdering.

Geoteknisk kontor

T. Johansen
T. Johansen
overing

H.S. Arntsen
/H.S. Arntsen
avd.ing

STANDARD BESKRIVELSER

BESKRIVELSE AV BORMETODER

- Enkel sondering betegner neddriving av stålstenger uten registrering av motstand, for eks. slagsondering med slegge eller slagbormaskin.
- Dreieboring utføres ved å måle synkninger under dreining når boret er lastet med 100 kg. Synker det for mindre last dreies ikke. Boret er forsynt med en pyramideformet spiss som er vridd en omdreining. Lengden av spissen er 20 cm og sidekanten er 3 cm. Under opptegning av resultatene angis antall omdreininger pr. m synkning på høyre side av hullet, og lasten på boret på venstre side.
- ☆ Fjellkontrollboringer utføres med trykkluftdrevet bergbor. Både topphammer og senkborhammer kan brukes. Fjellkontrollen består i å registrere når man har fått en langsom og relativt jevn synkning av boret idet dette er en sterk indikasjon på at boret er i fjell. Det bores vanligvis 3 m for å konstatere at det ikke er en stor stein.
- + Vingeboring brukes til å måle jordartena udrenerte skjærfasthet direkte i grunnen. Skjærfastheten beregnes utfra målt torsjonsmoment på et vingekor som presses ned i ønsket dybde og dreies rundt inntil brudd oppstår. Grunnens fasthet bestemmes først i uforstyrret, og etter brudd i omrørt tilstand. Resultatene kan i sterk grad påvirkes av sand, grus og stein ved vingekoret. Det skal også bemerkes at resultatene av andre grunner i mange tilfelle må korrigeres før fasthetsverdiene brukes i stabilitetsberegninger.
- ◎ Prøvetaking kan utføres med forskjellig utstyr. Ønskes "uforstyrrede" prøver brukes en ϕ 54 mm sylinderprøvetaker som er forsynt med et tettsluttende stempel. Prøven skjæres ved at sylindere skyves nedover i grunnen mens stemplet holdes tilbake. Sylindere med prøve blir trukket opp igjen, forseglede i begge ender, og bragt til laboratoriet. Ønskes bare såkalte "representative" prøver, brukes enklere utstyr som skovelbor og kannebor. Felles for disse er at massen skaves inn i en beholder som deretter tas opp. Tilsvarende prøver kan også tas ved å skru en stålskrue ned i grunnen og trekke den opp igjen.
- ⊖ Poretrykksmåling går ut på å måle trykket i de vannfylte porene i jordarten. Dette gjøres ved å føre ned til ønsket dybde et såkalt piezometer som består av et stålrør med et porøst filter i enden. Vann fra jordarten vil kunne trenge inn gjennom filteret mens jordpartiklene blir holdt tilbake. På innsiden av filteret kan man så enten ha en elektrisk trykkmåler som registrerer det vanntrykket som bygges opp og som balanserer med poretrykket utenfor, eller filteret er forbundet med en tynn slange inne i stålrøret. Stigehøyden av vannet i slangen er da porevannstrykket i filterets nivå. Ved fremstilling av resultatene angis som regel det nivå (m.o.h.) som vannet stiger til (poretrykksnivået).

BESKRIVELSE AV LABORATORIEUNDERSØKELSER

I laboratoriet blir prøvene først beskrevet på grunnlag av besiktigelse. Derneft blir følgende undersøkelser rutinemessig utført, (undersøkelser merket ^x) kan bare utføres på uforstyrrede prøver):

Romvekt ^x) γ (t/m^3) av naturlig fuktig prøve.

Vanninnhold w (%) angir vekt av vann i prosent av vekt av fast stoff. Det blir utført flere bestemmelser av vanninnhold fordelt over prøvens lengde.

Flytegrensen w_L (%) og utrullingsgrensen w_p (%) angir henholdsvis høyeste og laveste vanninnhold for plastisk område av omrørt materiale. Plastisitetsindeksen I_p er differansen mellom flyte- og utrullingsgrensen. Disse konsistensgrensene er viktige ved bedømmelse av jordartens egenskaper. Konsistensgrensene blir vanligvis bestemt på annenhver prøve.

Følgende skala benyttes til å klassifisere leire etter plastisitet:

Lite plastisk leire	$I_p < 10$
Middels plastisk leire	$I_p = 10-20$
Møret plastisk leire	$I_p > 20$

Skjærfastheten s (t/m^2) bestemmes ved enaksede trykkforsøk. Normalt blir det skåret ut et prøvestykke med tverrsnitt $3,6 \times 3,6$ cm og høyde 10 cm på midten av sylinderprøven. Unntaksvis blir fullt tverrsnitt ($\varnothing 54$ mm) benyttet. Det tas hensyn til prøvens tverrsnittstørrelse under forsøket. Skjærfastheten settes lik halve trykkfastheten.

Videre blir uforstyrret skjærfasthet s og omrørt skjærfasthet s' bestemt ved konusforsøk. Dette er en indirekte metode til bestemmelse av skjærfastheten, idet nedsynkningen av en konus med bestemt form og vekt måles og den tilsvarende skjærfasthetsverdi tas ut av en tabell. Både trykkforsøk og konusforsøk gir udrenert skjærfasthet.

Følgende skala benyttes til å klassifisere leire etter udrenert skjærfasthet:

Meget bløt leire	$s < 1,25 \text{ t/m}^2$	\approx	12,5 kN/m ²
Bløt leire	$s = 1,25 - 2,5 \text{ t/m}^2$	\approx	12,5 - 25 """"
Middels fast leire	$s = 2,5 - 5,0 \text{ t/m}^2$	\approx	25 - 50 """"
Fast leire	$s = 5,0 - 10,0 \text{ t/m}^2$	\approx	50 - 100 """"
Meget fast leire	$s > 10 \text{ t/m}^2$	\approx	100 """"

Sensitiviteten $s'_t = \frac{s}{s}$, er forholdet mellom skjærfastheten i uforstyrret og omrørt tilstand.

Følgende skala benyttes til å klassifisere leire etter sensitivitet:

Lite sensitiv leire	$s'_t < 8$
Middels sensitiv leire	$s'_t = 8 - 30$
Meget sensitiv leire	$s'_t > 30$

Følgende spesielle forsøk blir utført etter nærmere vurdering i hvert tilfelle:

Ødometerforsøk $x)$ utføres for å finne en jordarts sammentrykkbarhet. Prinsippet ved ødometerforsøkene er at en skive av jordarten med diameter 5 cm og høyde 2 cm belastes vertikalt. Prøven er innesluttet i en sylinder og ligger mellom 2 porøse filtersteiner. Lasten påføres trinnsvis, og sammentrykkingen av prøven observeres som funksjon av tiden for hvert lasttrinn. Resultatene fremstilles ved å tegne opp den relative sammentrykking ϵ som funksjon av belastningen. Setningsutviklingen tegnes opp i tidsdiagram. Dette gir grunnlag for beregning både av setningenes størrelse og tidsforløp. Tidsforløpet er imidlertid særlig usikkert på grunn av mange ukjente faktorer som spiller inn.

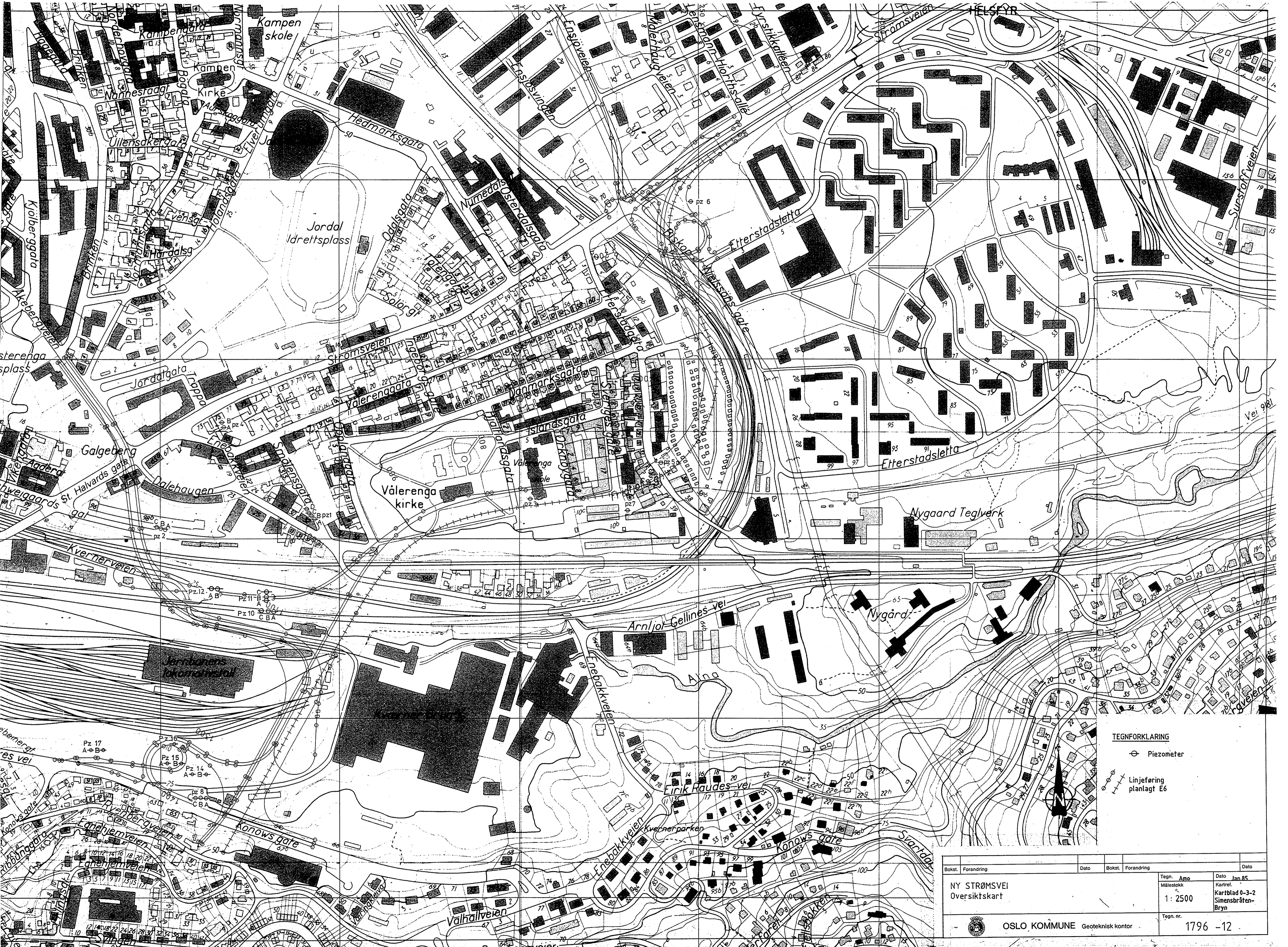
Kornfordelingsanalyser av friksjonsjordarter (grovere enn silt og leire) utføres ved sikting, som regel i helt tørr tilstand. Inneholder massen en del finere stoff blir den våtsiktet. For silt og leire benyttes hydrometeranalyse. En viss mengde tørt materiale oppslemmes i en bestemt mengde vann. Ved hjelp av hydrometer bestemmes synkehastigheten av de forskjellige kornfraksjoner og på grunnlag av Stoke's lov kan kornstørrelsen tilnærmet beregnes.

Fortorvningsgraden i organiske jordarter bestemmes ved besiktigelse og krysting av materiale mellom fingrene. Graderingen skjer i henhold til von Post's ti-delte skala H 1 - H 10. Torv kan deles i følgende grupper:

Fibertorv	H 1 - H 4, planterester lett synlig
Mellomtorv	H 5 - H 7, planterester svakt synlig
Svarttorv	H 8 - H10, planterester ikke synlig.

Organisk innhold (humusinnhold) bestemmes vanligvis ved glødning av tørt materiale. Glødetapet (vekttapet) angis i prosent av tørt materiale.

Proctorforsøk brukes til å undersøke pakkningsegenskapene hos jordarter, spesielt hos velgraderte friksjonsmasser. Massen blir stampet lagvis inn i en stålsylinder av bestemt volum, og tørr romvekt beregnet etter tørking av prøven. Avhengig av pakkingsarbeidet skilles mellom standard Proctor og modifisert Proctor. Den siste innebærer størst pakkingsarbeid. Forsøkene utføres med varierende vanninnhold, og det vanninnhold som gir høyest tørr romvekt kalles optimalt. Den høyeste romvekt kalles 100% Proctor.



TEGNFORKLARING

- ⊖ Piezometer
- +— Linjeføring planlagt E6

Bokst.	Forandring	Dato	Bokst.	Forandring	Dato
NY STRØMSVEI Oversiktskart			Tegn. År 80 Målestokk 1: 2500 Tegn. nr. 1796 -12		
OSLO KOMMUNE Geoteknisk kontor			Dato Jan. 85 Kartref. Kartblad 0-3-2 Simensbråten-Bryn		



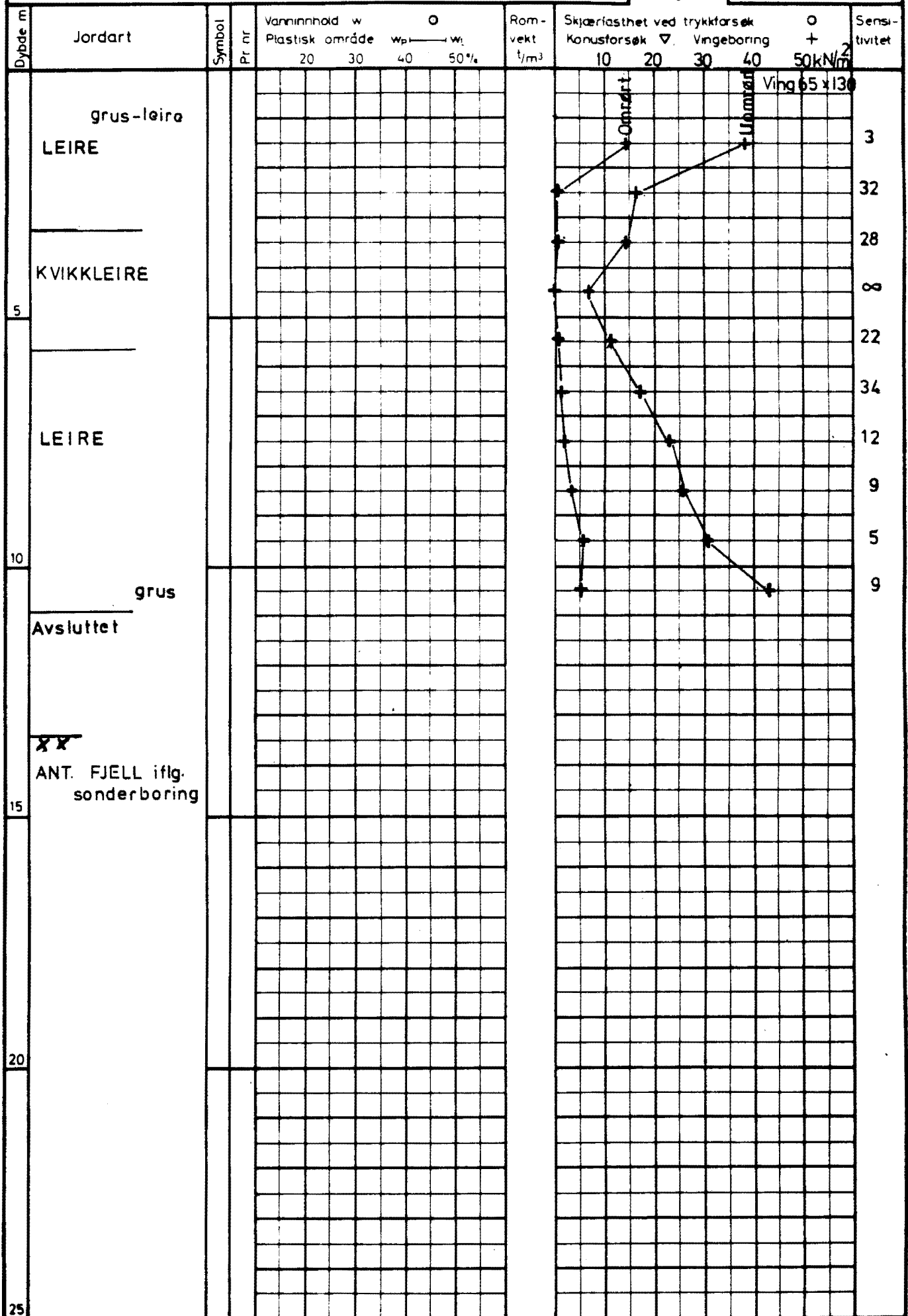
Dybde m	Jordart	Symbol	Pr. nr	Vanninnhold w				Plastisk område $w_p \rightarrow w_L$	Romvekt ρ/m^3	Skjærtøsthet ved trykkforsøk					Sensitivitet			
				20	30	40	50%			Konusforsøk ∇	Vingeboring	10	20	30		40	50kN/m ²	
	TØRRSKORPE																	
	LEIRE																	
5																		
10	grus																	
	Avsluttet																	
15																		
20																		
	XX ANT. FJELL iflg. sonderboring																	
25																		

Ving 65 X 130

Omrørt

Uomrørt

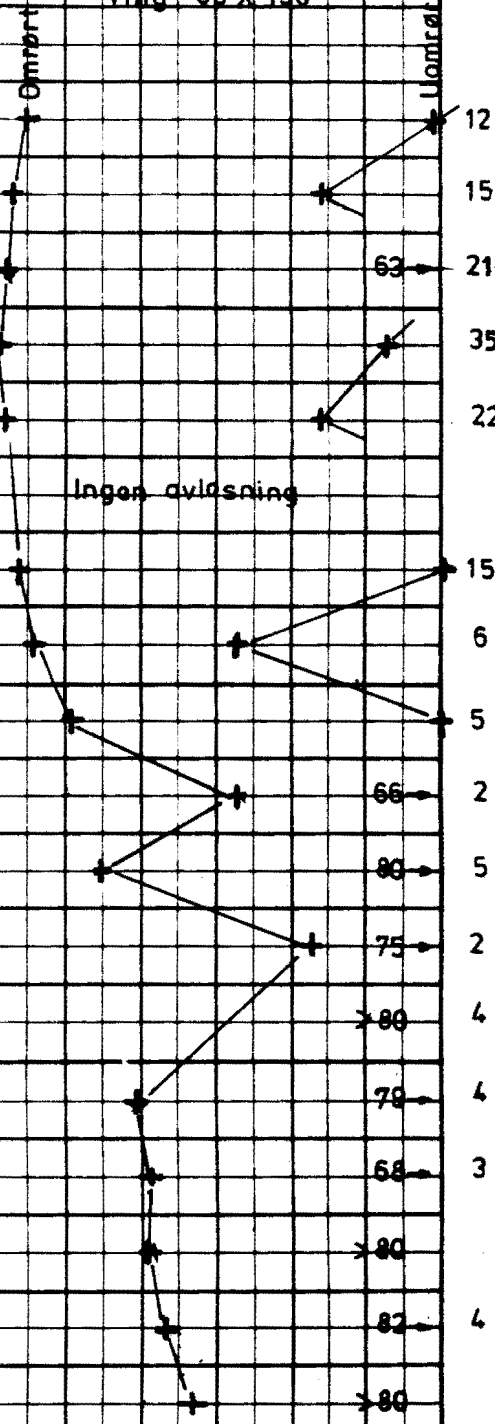
2
24
24
38
13
14
8
7
2

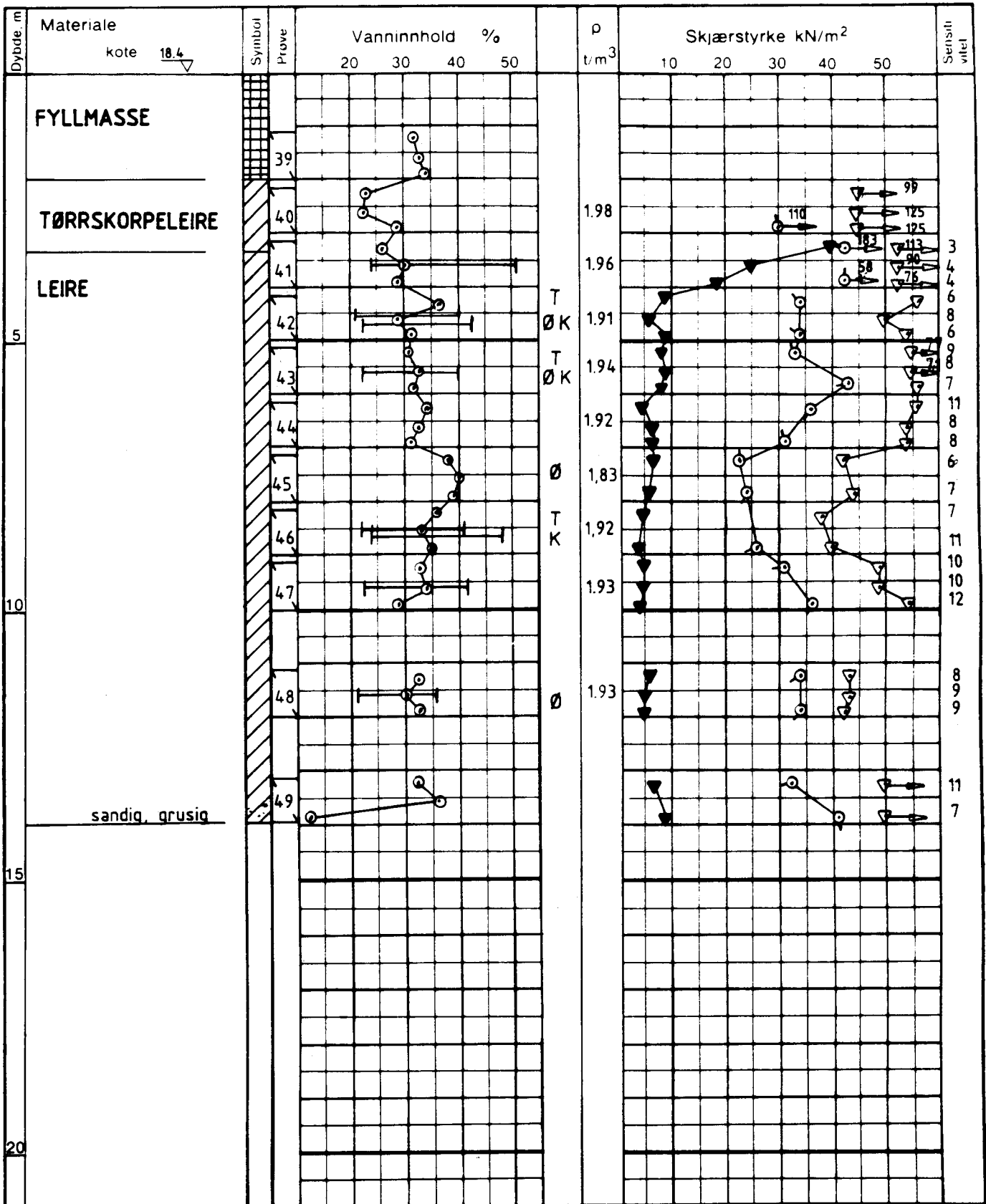




Dybde m	Jordart	Symbol	Pr. nr.	Vanninnhold w				Romvekt γ/m^3	Skjærfasthet ved trykkforsøk				Sensitivitet
				Plastisk område		w_p	w_L		Konustforsøk ∇	Vingebooring	\circ	$+$	
				20	30	40	50%	10	20	30	40	50 kN/m ²	
	TØRRSKORPE												
	LEIRE												
5													
	sandlag ?												
10													
15													
20	Avsluttet												
	ANT. FJELL iflg. sonderboring												
25													

Ving 65 X 130





GV : grunnvannstand

Ø : ødometer

T : treaksialforsøk

K : kornfordeling

○ naturlig vanninnhold

— (W_p) plastisitetsgrense

— (W_L) flytegrense

ρ densitet

⊙ enaksialt trykkforsøk

15-5 bruddformasjon %

▽ konus uforstyrret

▽ konus omrørt

+ vingebor

BORPROFIL
NY STRØMSVEI

Type boring **Prøveserie 54 mm**

Dato boret **26/6-85**

Tegn. **svs** Dato **aug-85**

Kartref. **SO:E 2 II**

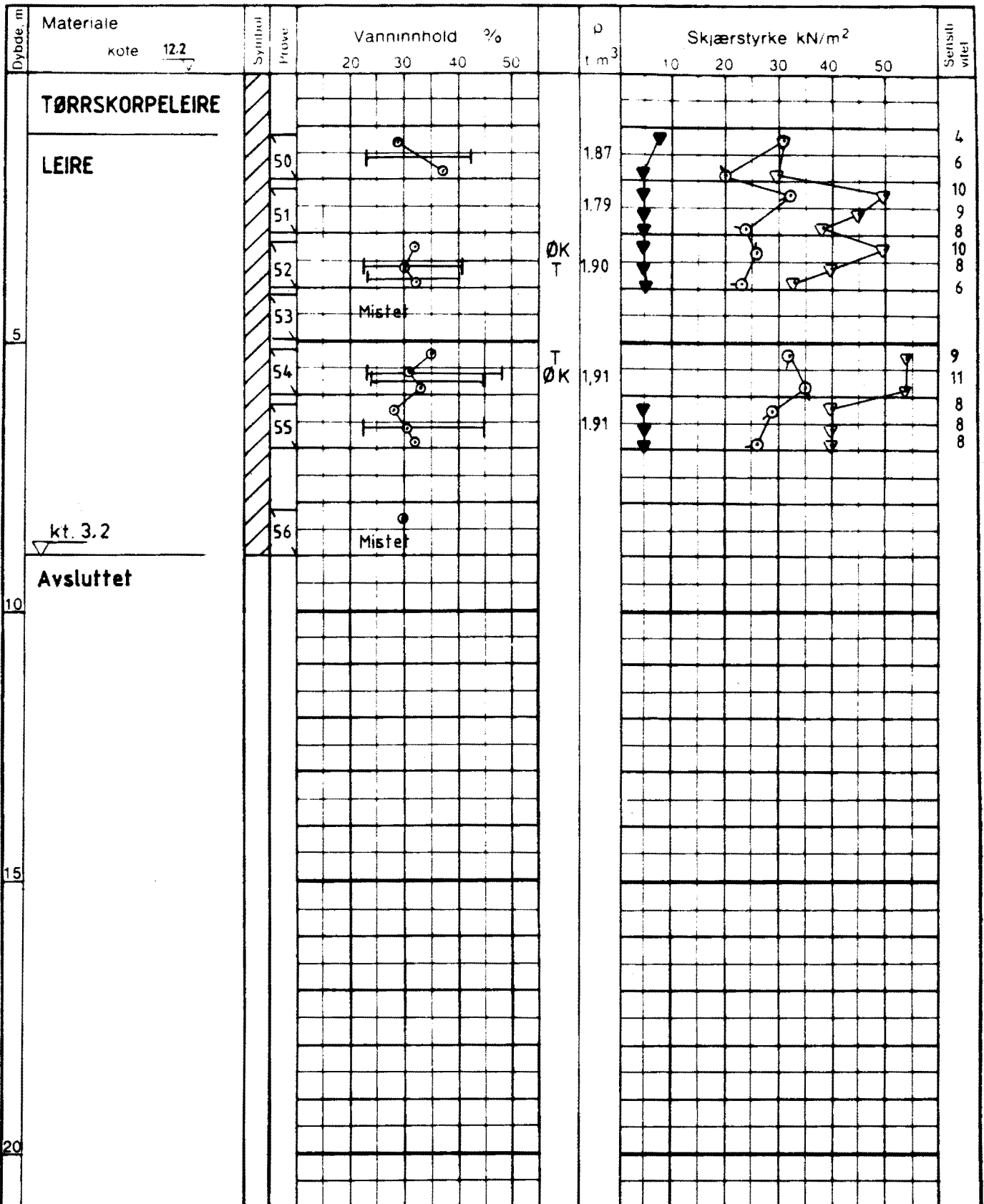


OSLO KOMMUNE
Geoteknisk kontor

Boring nr. **106**

Boring nr. Undergr. kart.
211U

Tegn. nr.
1796-47



GV : grunnvannstand
 Ö : ödometer
 T : treaksialforsøk
 K : kornfordeling

○ naturlig vanninnhold
 — (W_p) plastisitetsgrense
 — (W_L) flytegrense
 ρ densitet

⊙ enaksialt trykkforsøk
 ⊕ 5 bruddeformasjon %
 ▼ konus uforstyrret
 ▽ konus omrørt
 + vingebor

**BORPROFIL
 NY STØMSVEI**

Type boring **Prøveserie 54 mm**

Tegn. **svs** Dato **aug-85**

Dato boret **25/6-85**

Kartref. **SO: E 2 II**

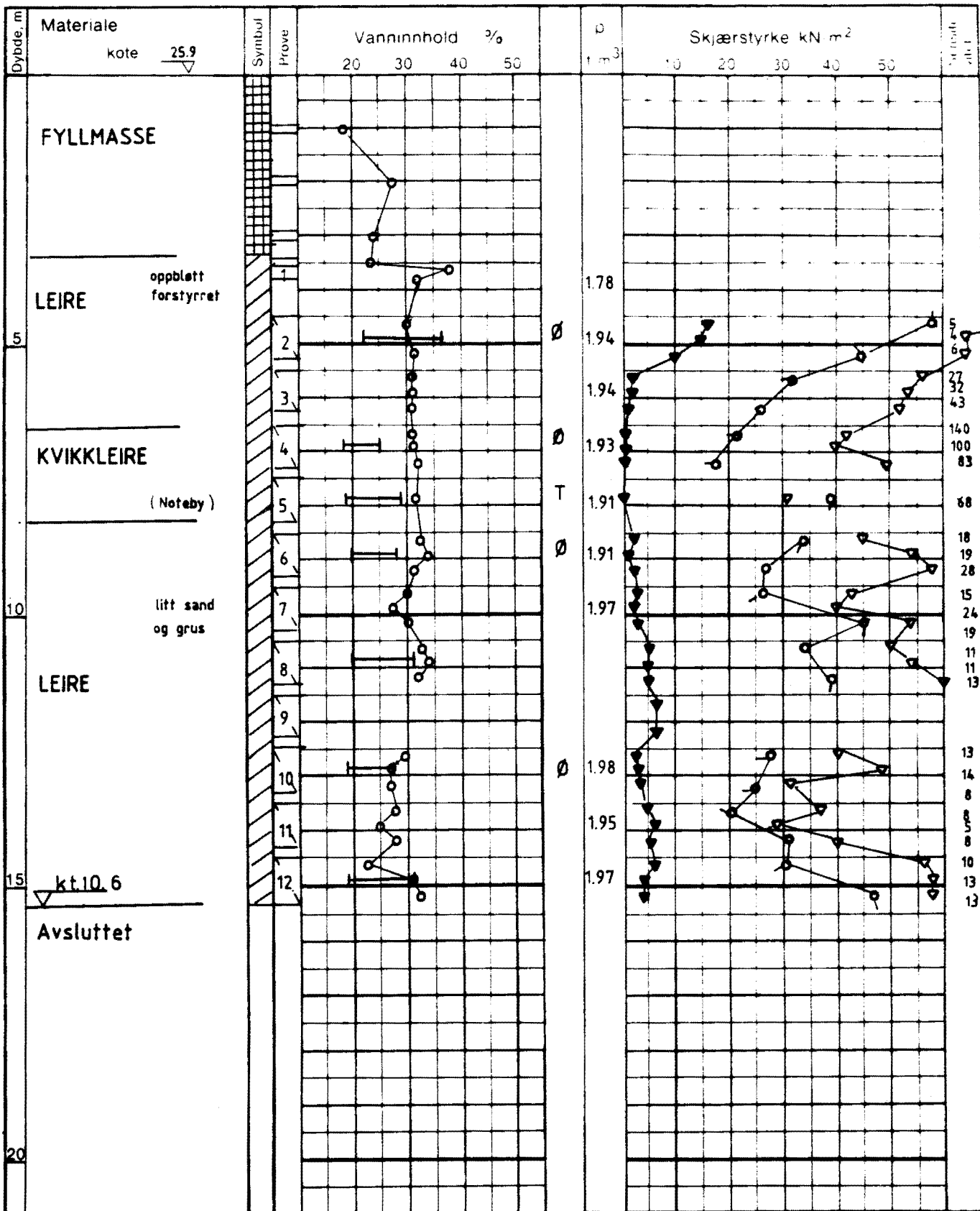


OSLO KOMMUNE
 Geoteknisk kontor

Boring nr. **108**

Boring nr. Undergr. kart.
212U

Tegn. nr.
1796-48



GV : grunnvannstand
 Ø : odometer
 T : treaksialforsøk
 K : kornfordeling

○ naturlig vanninnhold
 — (W_p) plastisitetsgrense
 — (W_L) flytegrense
 ρ densitet

⊙ enaksialt trykkforsøk
 15-10-5 brudddeformasjon %
 ▽ konus uforstyrret
 ▼ konus omrørt
 + vingebor

BORPROFIL
KONOWS GT.

Type boring **Prøveserie 54 mm**

Tegn **svs** Dato **feb. 85**

Dato boret **22/3-84**

Kartref **E-2**



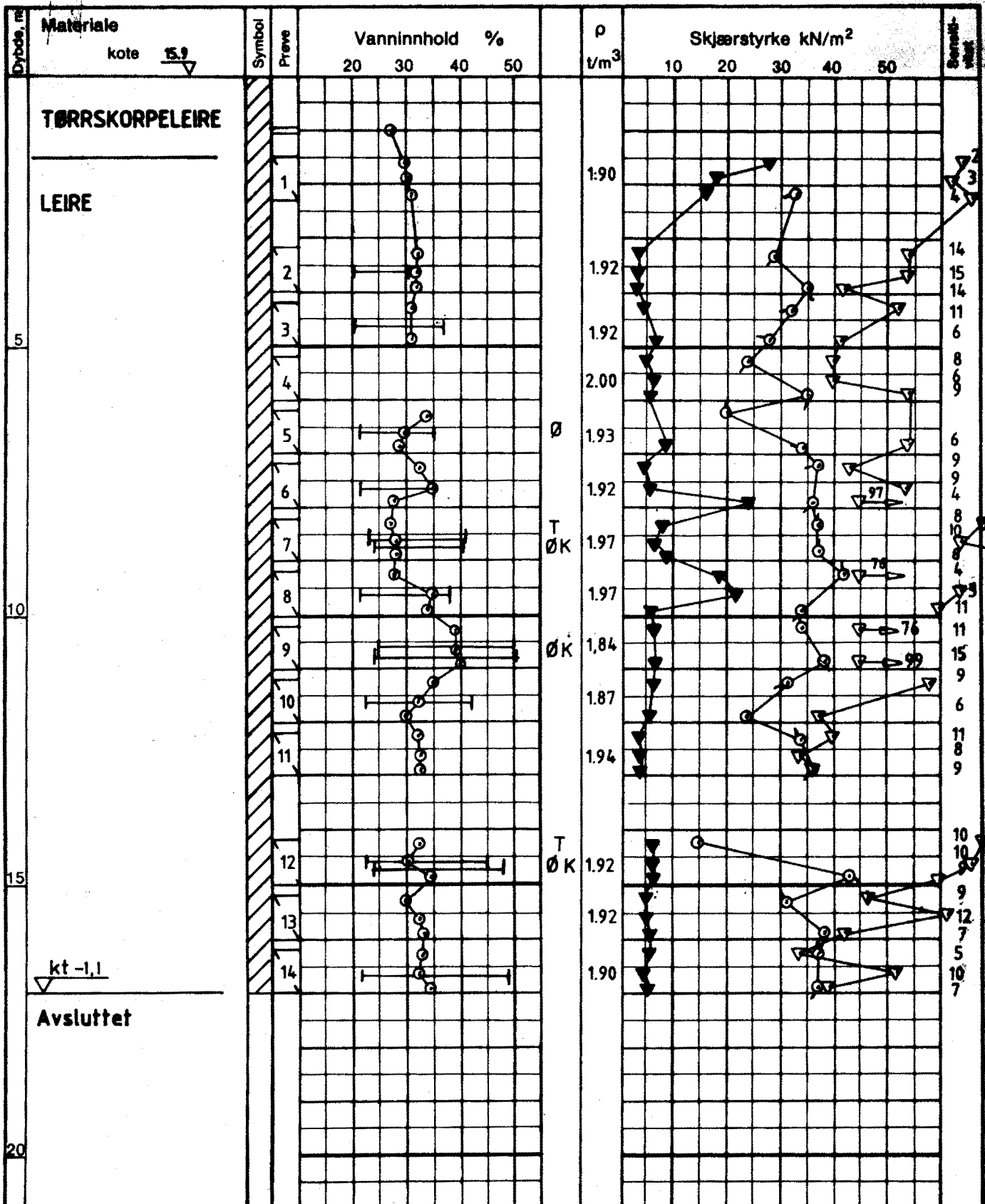
OSLO KOMMUNE
 Geoteknisk kontor

Boring nr. **133**

Boring nr. Undergr. kart. **323U**

Tegn. nr. **1796-49**

A 5-1059KOP1



GV : grunnvannstand
 Ö : ödometer
 T : treaksialforsøk
 K : kornfordeling

o naturlig vanninnhold
 — (W_p) plastisitetsgrense
 — (W_L) flytegrense
 ρ densitet

⊙ enaksialt trykkforsøk
 15-5 bruddeformasjon %
 ▽ konus uforstyrret
 ▽ konus omrørt
 + vingebor

BORPROFIL
NY STRØMSVEI

Type boring **Prøveserie 54 mm**
 Dato boret **19/3-85**

Tegn. svs **---** Dato **aug-85**
 Kartref. **S0: E2 III**

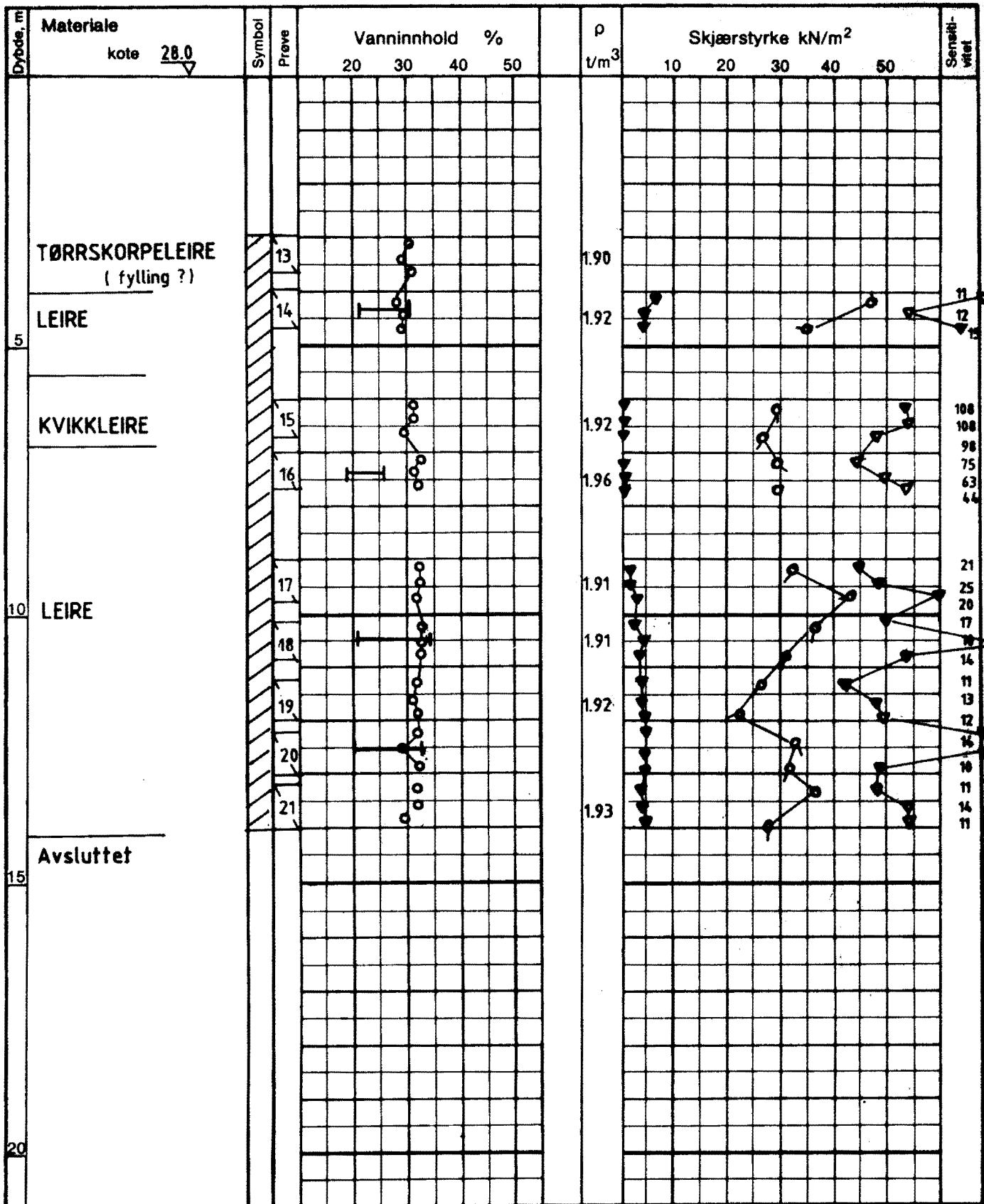


OSLO KOMMUNE
 Geoteknisk kontor

Boring nr. **138**

Boring nr. Undergr. kart.
322U

Tegn. nr.
1796-50



GV : grunnvannstand
 Ø : ødometer
 T : treaksialforsøk
 K : kornfordeling

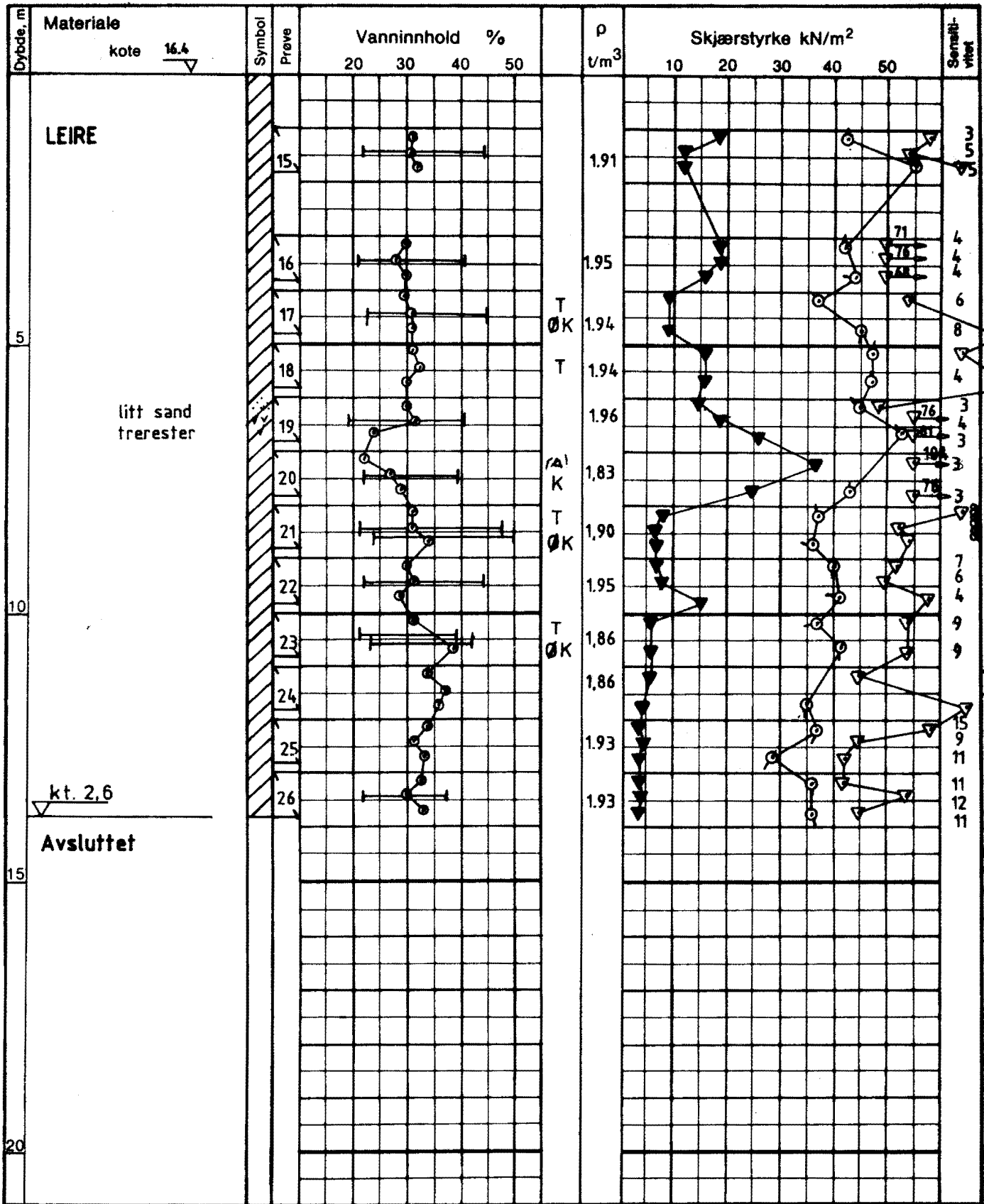
○ naturlig vanninnhold
 — (W_p) plastisitetsgrense
 — (W_L) flytegrense
 ρ densitet

⊙ enaksialt trykkforsøk
 15 ⊙ 5 bruddeformasjon %
 10 ⊙ 5 bruddeformasjon %
 ▼ konus uforstyrret
 ▼ konus omrørt
 + vingebor

BORPROFIL KONOWS GT.	Type boring	Prøveserie 54 mm		Tegn. svs	Dato
	Dato boret	3/4-84		Feb. 85	
OSLO KOMMUNE Geoteknisk kontor	Boring nr.	141	Boring nr. Undergr. kart.	Tegn. nr.	
			321U	1796-51	



A.S. LØNNKOPF

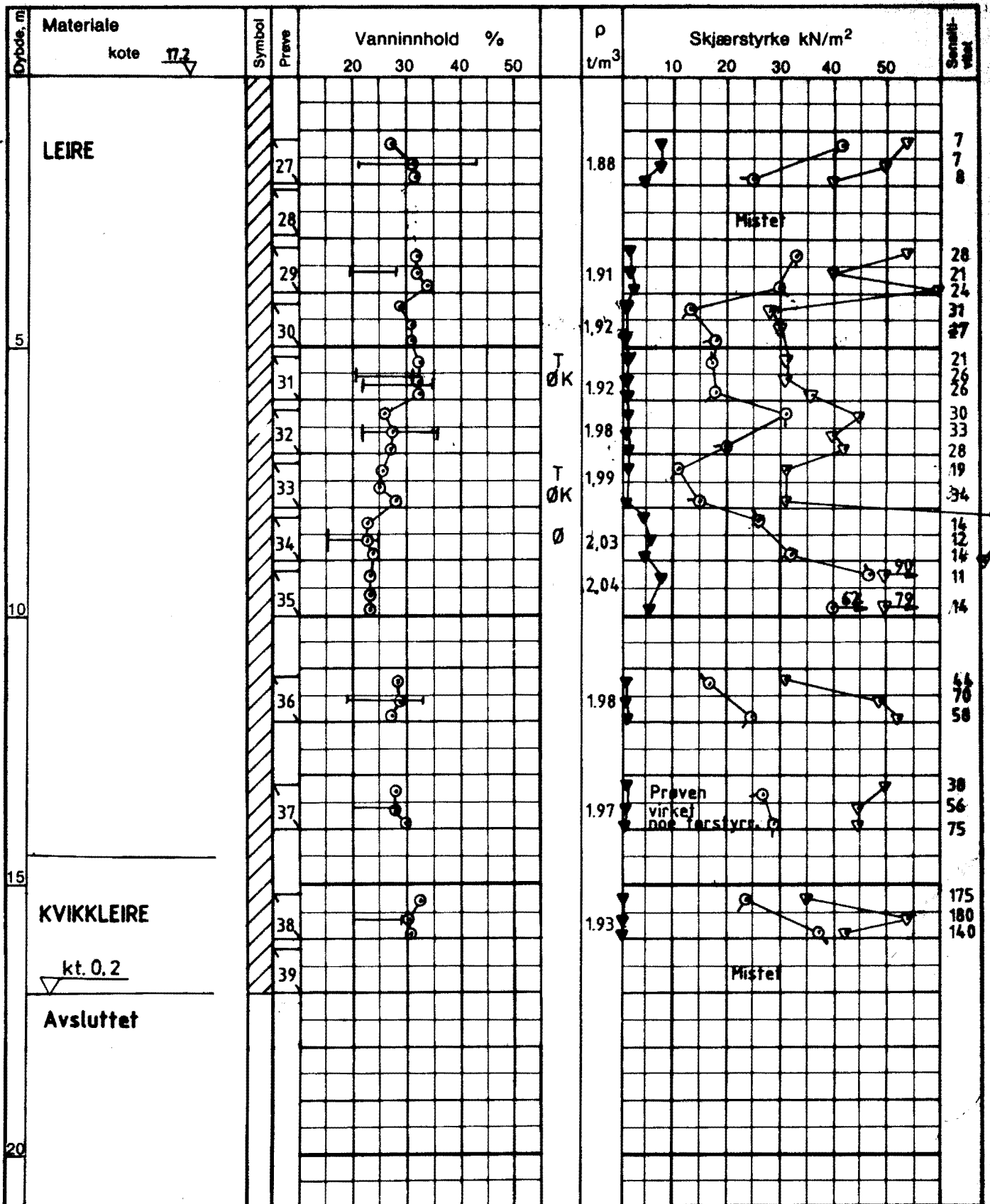


GV : grunnvannstand
 Ø : ødometer
 T : treaksialforsøk
 K : kornfordeling
 ○ naturlig vanninnhold
 — (W_p) plastisitetsgrense
 — (W_L) flytegrense
 ρ densitet
 ⊙ enaksialt trykkforsøk
 15 ⊙ 5 bruddeformasjon %
 10 ⊙ 10 bruddeformasjon %
 ▼ konus uforstyrret
 ▼ konus omrørt
 + vingebor

BORPROFIL NY STRØMSVEI	Type boring	Prøveserie 54mm	Tegn. svs	Dato	aug-85
	Dato boret	28/3-85	Kartref.	S0: E2 III	
OSLO KOMMUNE Geoteknisk kontor	Boring nr.	151	Boring nr. Undergr. kart.	Tegn. nr.	
			320U	1796-52	



A.S. TIRRAUPT



GV : grunnvannstand
 O : odometer
 T : treaksialforøk
 K : kornfordeling

o naturlig vanninnhold
 — (W_p) plastisitetsgrense
 — (W_L) flytegrense
 ρ densitet

⊙ enaksialt trykkforsøk
 15-10-5 brudeformasjon %
 ▽ konus uforstyrret
 ▽ konus omrørt
 + vingebor

BORPROFIL
NY STRØMSVEI



OSLO KOMMUNE
 Geoteknisk kontor

Type boring **Prøveserie 54 mm**

Dato boret **7/5-85**

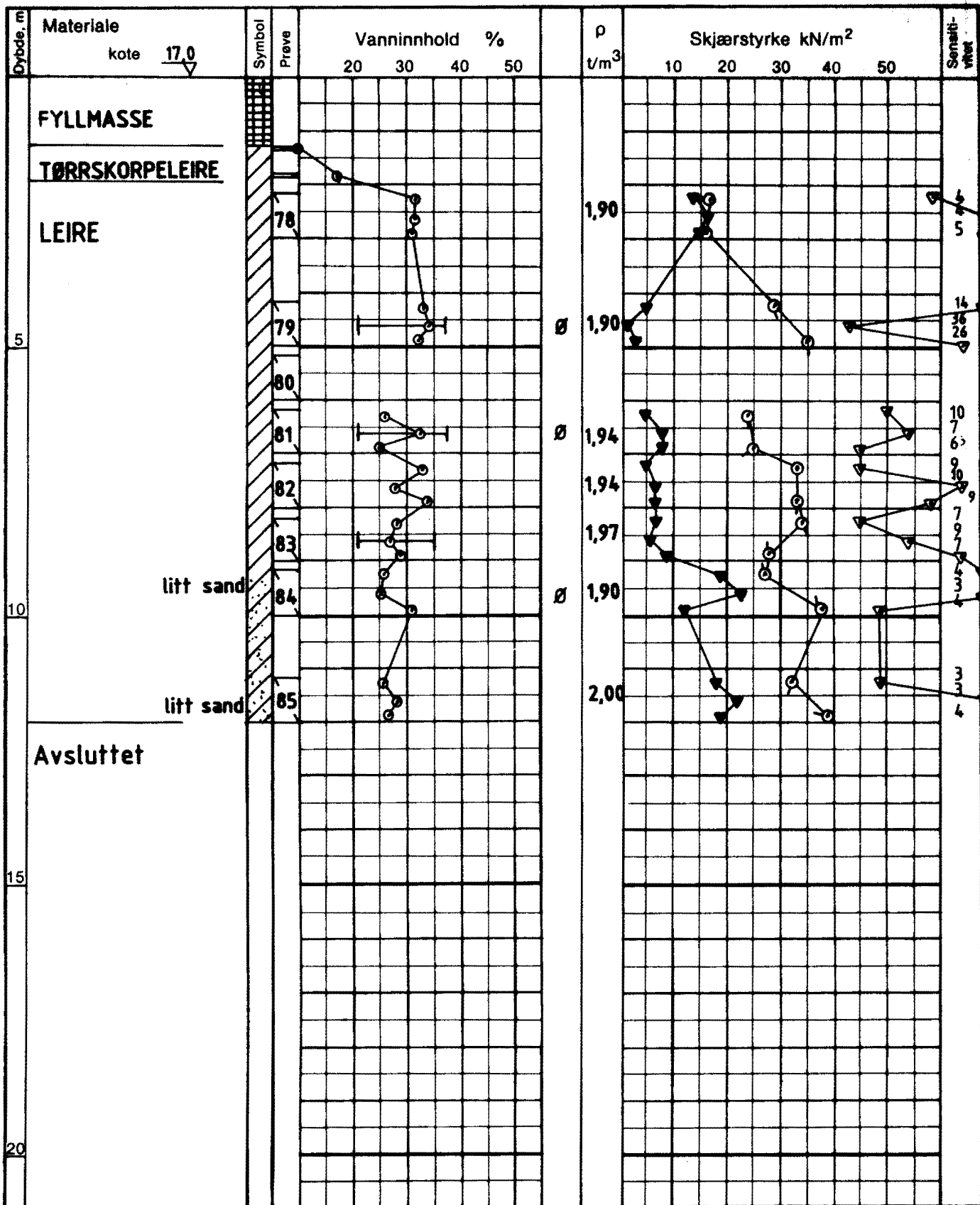
Boring nr. **171**

Boring nr. Undergr. kart.
319U

Tegn. **svs** Dato **aug-85**

Kartref. **S0 E2 III**

Tegn. nr.
1796-53



GV : grunnvannstand

Ø : ødometer

T : treaksialforsøk

K : kornfordeling

○ naturlig vanninnhold

— (W_p) plastisitetsgrense

— (W_L) flytegrense

ρ densitet

⊙ enaksialt trykkforsøk

15 ⊙ 5 bruddeformasjon %

▽ konus uforstyrret

▽ konus omrørt

+ vingebor

BORPROFIL
NY STRØMSVEI

Type boring **Prøveserie 54mm**

Tegn. **Amo** Dato **mars86**

Dato boret **1. 11. 1985**

Kartref. **S0 E2M**



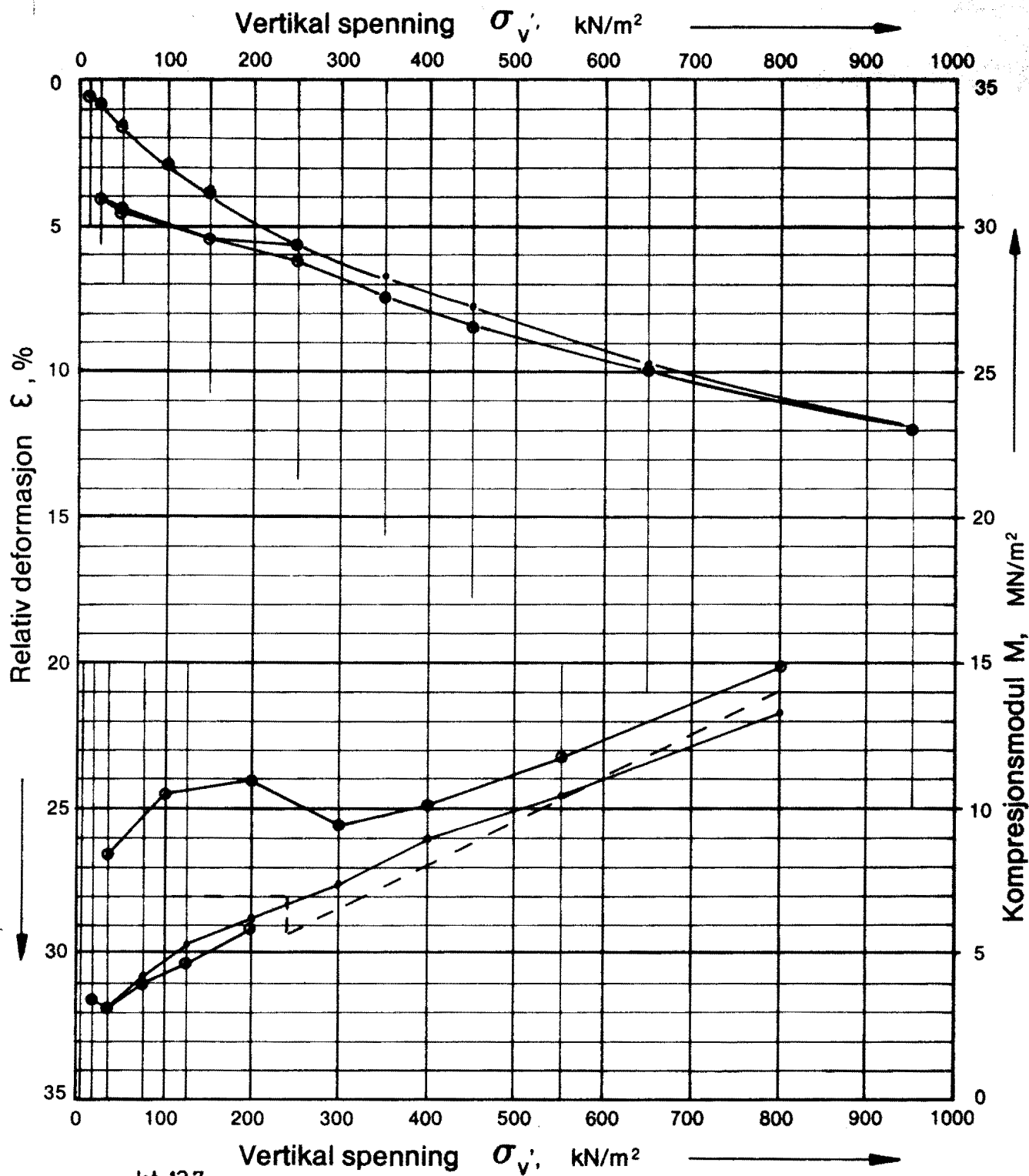
OSLO KOMMUNE
Geoteknisk kontor

Boring nr. **180**

Boring nr. Undergr. kart. **325U**

Tegn. nr. **1796-83**

A. S. I. MURRUVT



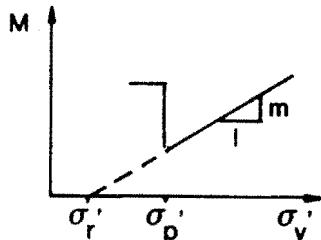
kt 13,7

Boring nr.	Lab. nr.	Dybde m	σ_{vo}' kN/m^2	σ_p' kN/m^2	OCR	M, MN/m^2 $\sigma_v' \leq \sigma_p'$	m for $\sigma_v' > \sigma_p'$	σ_r' kN/m^2	Materiale	Anm.
106	1796-42	4.7	70	250	3.5	7.0	15	150	Leire	.
"	"	"	"	"	"	"	"	"	"	⊙
									Idetlisert	---

ÖDOMETERFORSÖK
 Relativ deformasjon
 Kompresjonsmodul
NY STRØMSVEI
KONOWS GATE



OSLO KOMMUNE
 Geoteknisk kontor



Modul for leire:

$\sigma_v' \leq \sigma_p'$:
 $M = \text{konstant}$

$\sigma_v' > \sigma_p'$:
 $M = m(\sigma_v' - \sigma_r')$

Tegn. EML

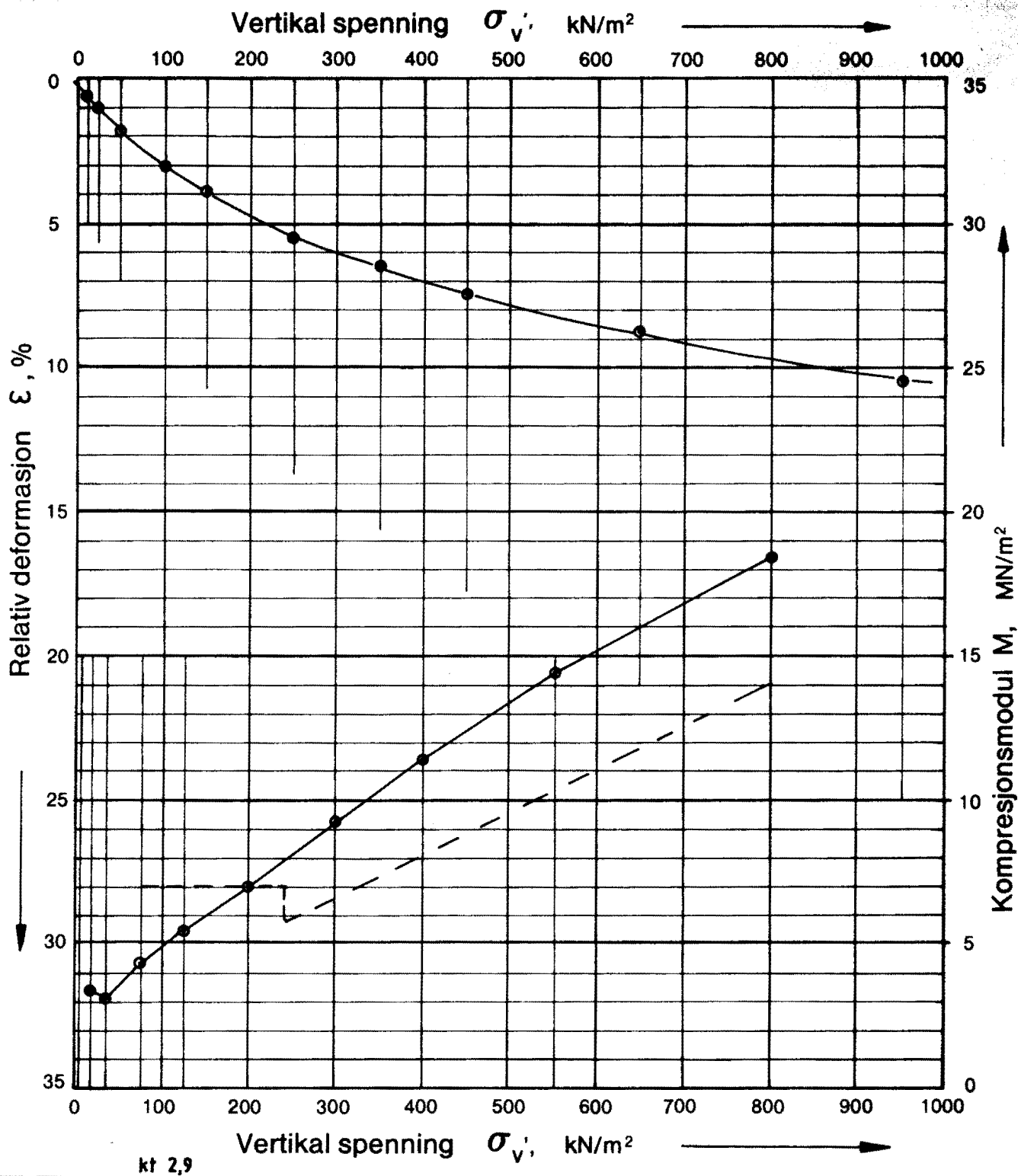
Dato Aug. 85

Kartref.

SO E2 II

Tegn. nr.

1796 - 90

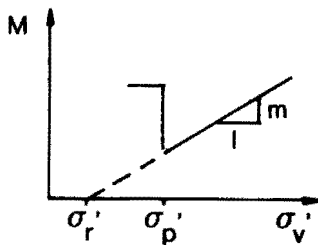


Boring nr.	Lab. nr.	Dybde m	σ_{vo}' kN/m ²	σ_p' kN/m ²	OCR	M , MN/m ² $\sigma_v' \leq \sigma_p'$	m for $\sigma_v' > \sigma_p'$	σ_r' kN/m ²	Materiale	Anm.
106	1796-43	5,5	86	~ 250	2,9	7,0	15	-150	Leire Idealisert	⊙ - - - -

ÖDOMETERFORSÖK
 Relativ deformasjon
 Kompresjonsmodul
 NY STRÖMSVEI
 KONOWS GATE



OSLO KOMMUNE
 Geoteknisk kontor



Tegn. EML

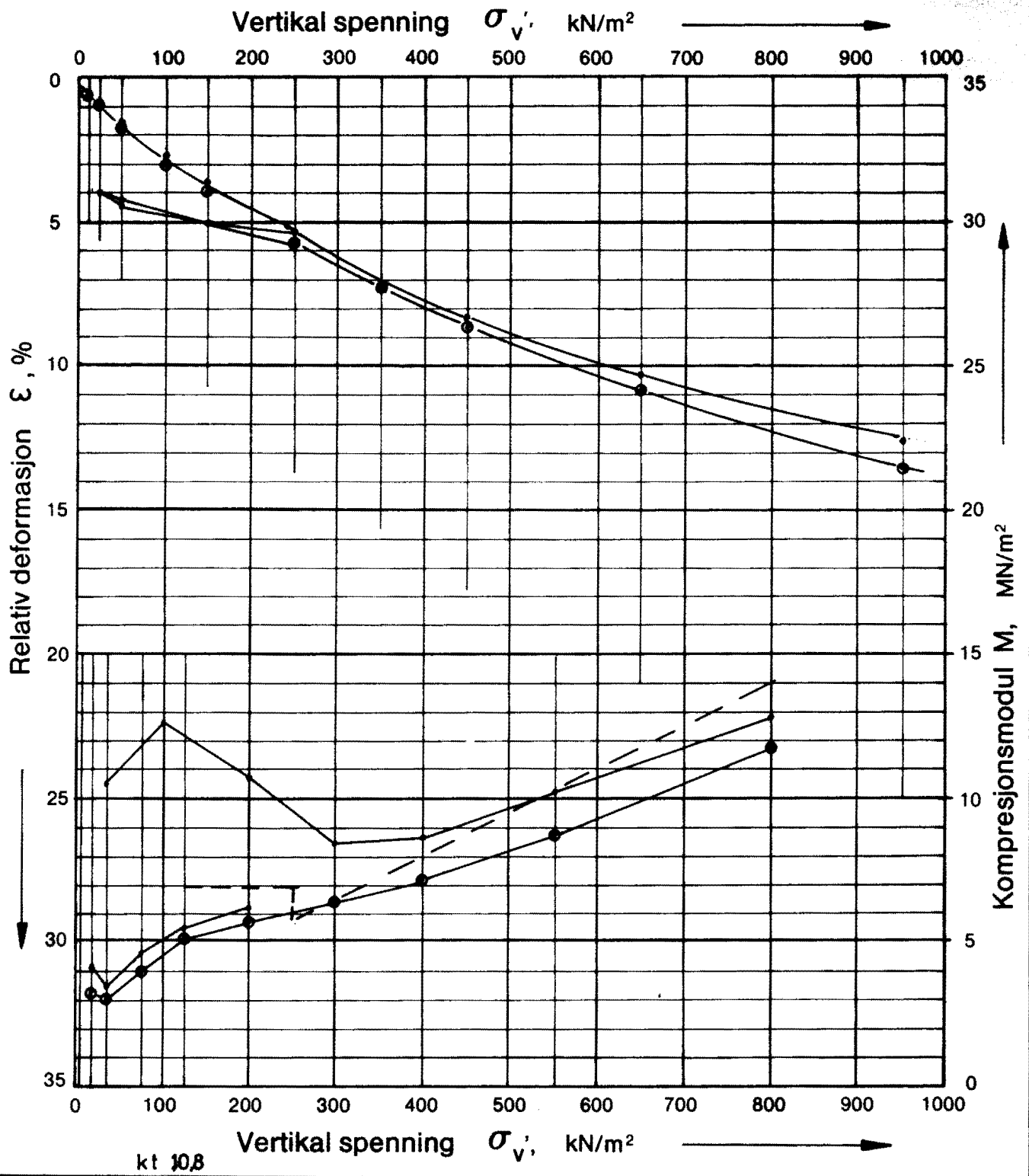
Dato Aug. 85

Kartref.

SO E2^{II}

Tegn. nr.

1796 - 91

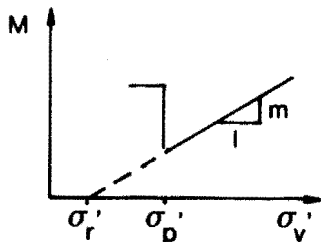


Boring nr.	Lab. nr.	Dybde m	σ_{vo}' kN/m ²	σ_p' kN/m ²	OCR	M, MN/m ² $\sigma_v' \leq \sigma_p'$	m for $\sigma_v' > \sigma_p'$	σ_r' kN/m ²	Materiale	Anm.
106	0796-46	7,6	115	250	2,2	7,0	15	-150	Leire	.
"	"	"	"	"	"	"	"	"	"	⊙
									Idealisert	---

ÖDOMETERFORSÖK
 Relativ deformasjon
 Kompresjonsmodul
NY STRØMSVEI
KONOWS GATE



OSLO KOMMUNE
 Geoteknisk kontor



Modul for leire:

$\sigma_v' \leq \sigma_p'$
 $M = \text{konstant}$

$\sigma_v' > \sigma_p'$
 $M = m(\sigma_v' - \sigma_r')$

Tegn. **FML**

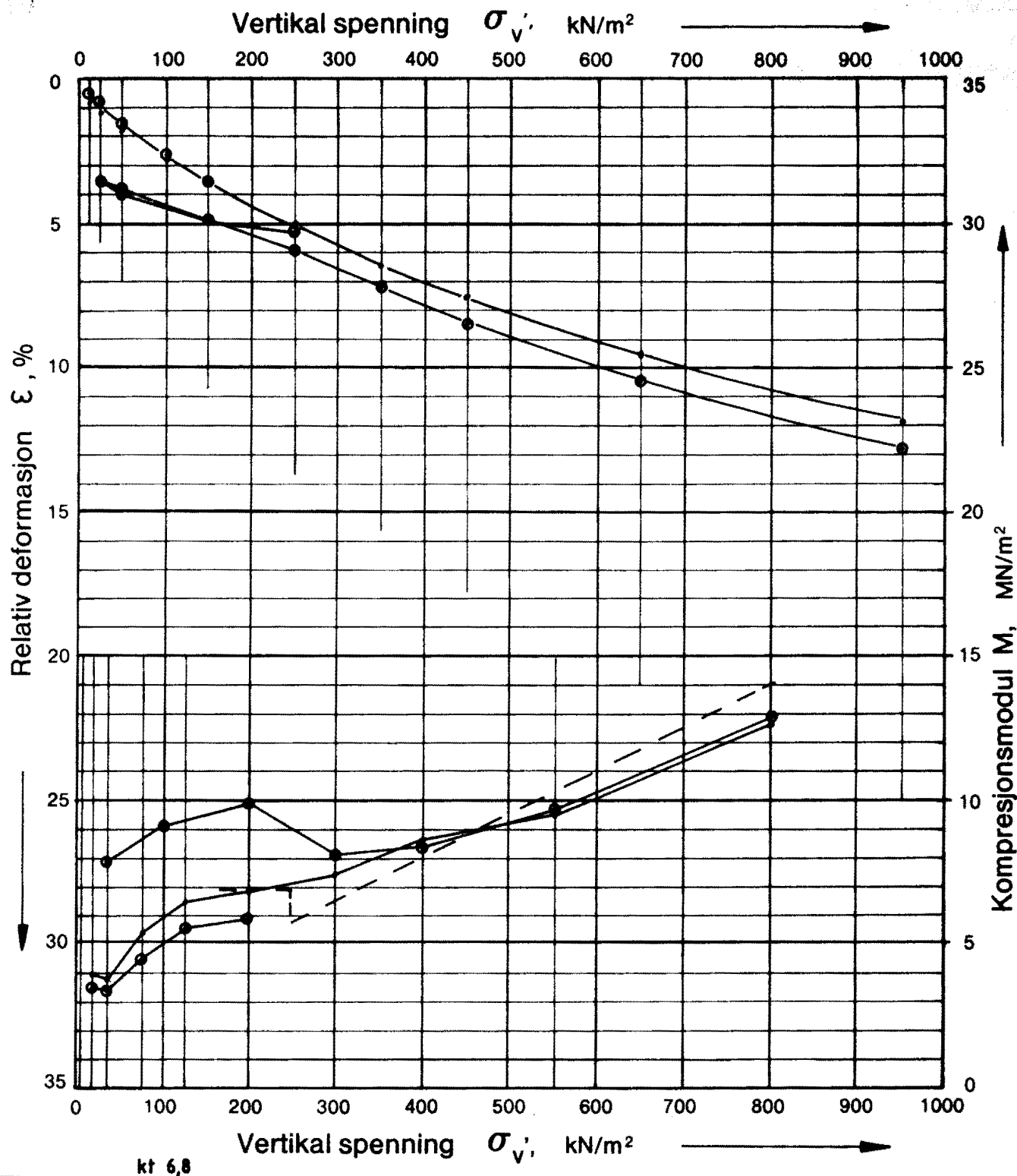
Dato **Aug. 85**

Kartref.

SO E2^{II}

Tegn. nr.

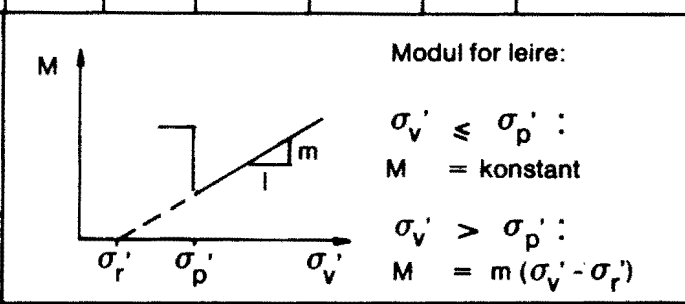
1796 - 92



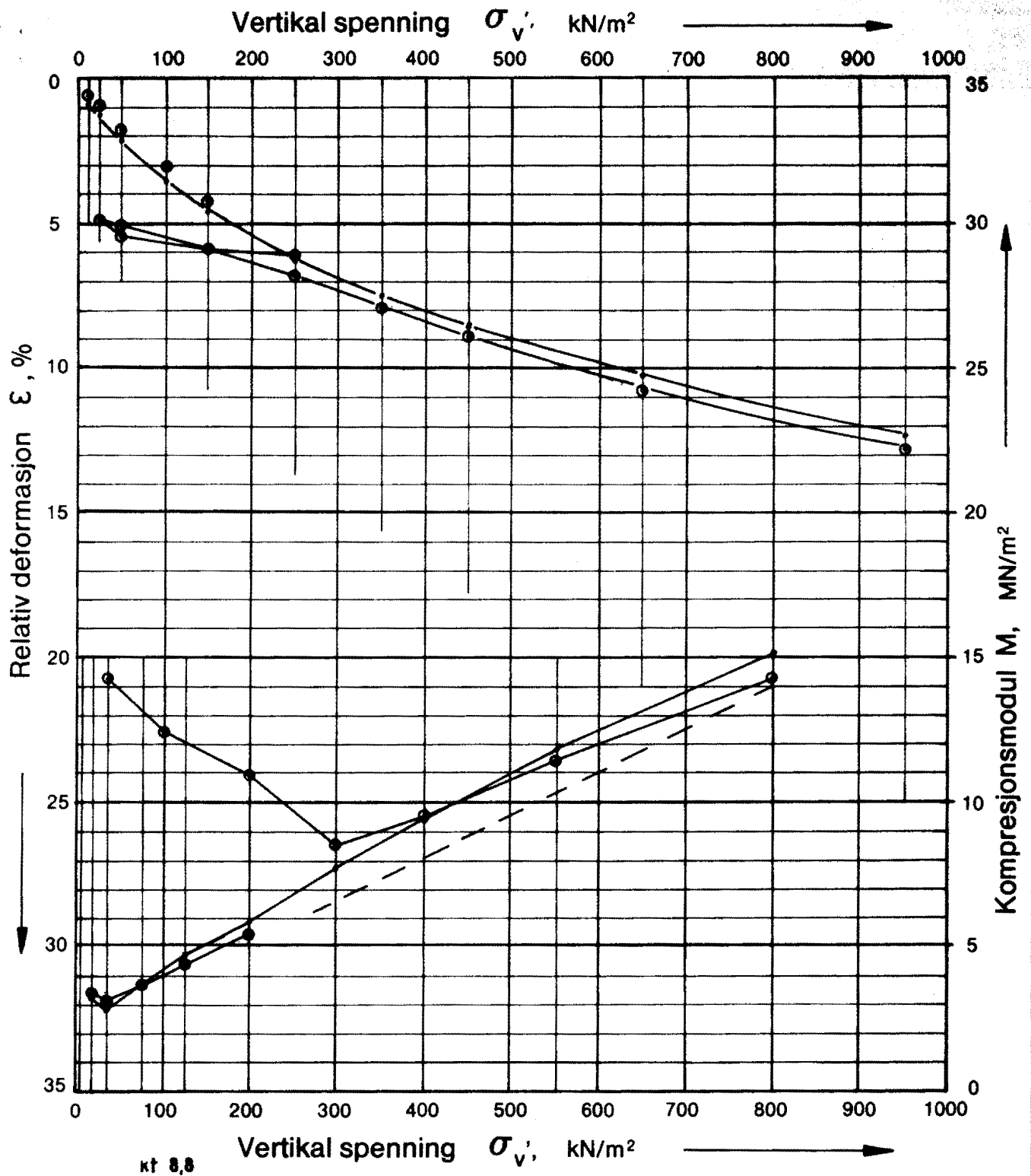
Boring nr.	Lab. nr.	Dybde m	σ_{vo}' kN/m ²	σ_p' kN/m ²	OCR	M, MN/m ² $\sigma_v' \leq \sigma_p'$	m for $\sigma_v' > \sigma_p'$	σ_r' kN/m ²	Materiale	Anm.
106	1796-48	11,6	170	250	1,5	7,0	15	-150	Leire	•
"	"	"	"	"	"	"	"	"	"	⊙
									Idealisert	---

ÖDOMETERFORSÖK
 Relativ deformasjon
 Kompresjonsmodul
NY STRØMSVEI
KONOWS GATE

 **OSLO KOMMUNE**
 Geoteknisk kontor

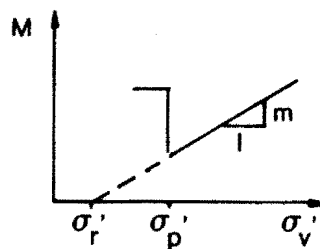


Tegn. **EML**
 Dato **Aug. 85'**
 Kartref.
SO E2 II'
 Tegn. nr.
1796 - 93



Boring nr.	Lab. nr.	Dybde m	σ'_{v0} kN/m ²	σ'_p kN/m ²	OCR	M, MN/m ² $\sigma'_v \leq \sigma'_p$	m for $\sigma'_v > \sigma'_p$	σ'_r kN/m ²	Materiale	Anm.
108	1796-52	3,4	50	~200	4,0	7,0	15	-150	Leire	.
"	"	"	"	"	"	"	"	"	"	⊙
									Idetisert	---

ÖDOMETERFORSÖK
 Relativ deformasjon
 Kompresjonsmodul
NY STRÖMSVEI
KONOWS GATE

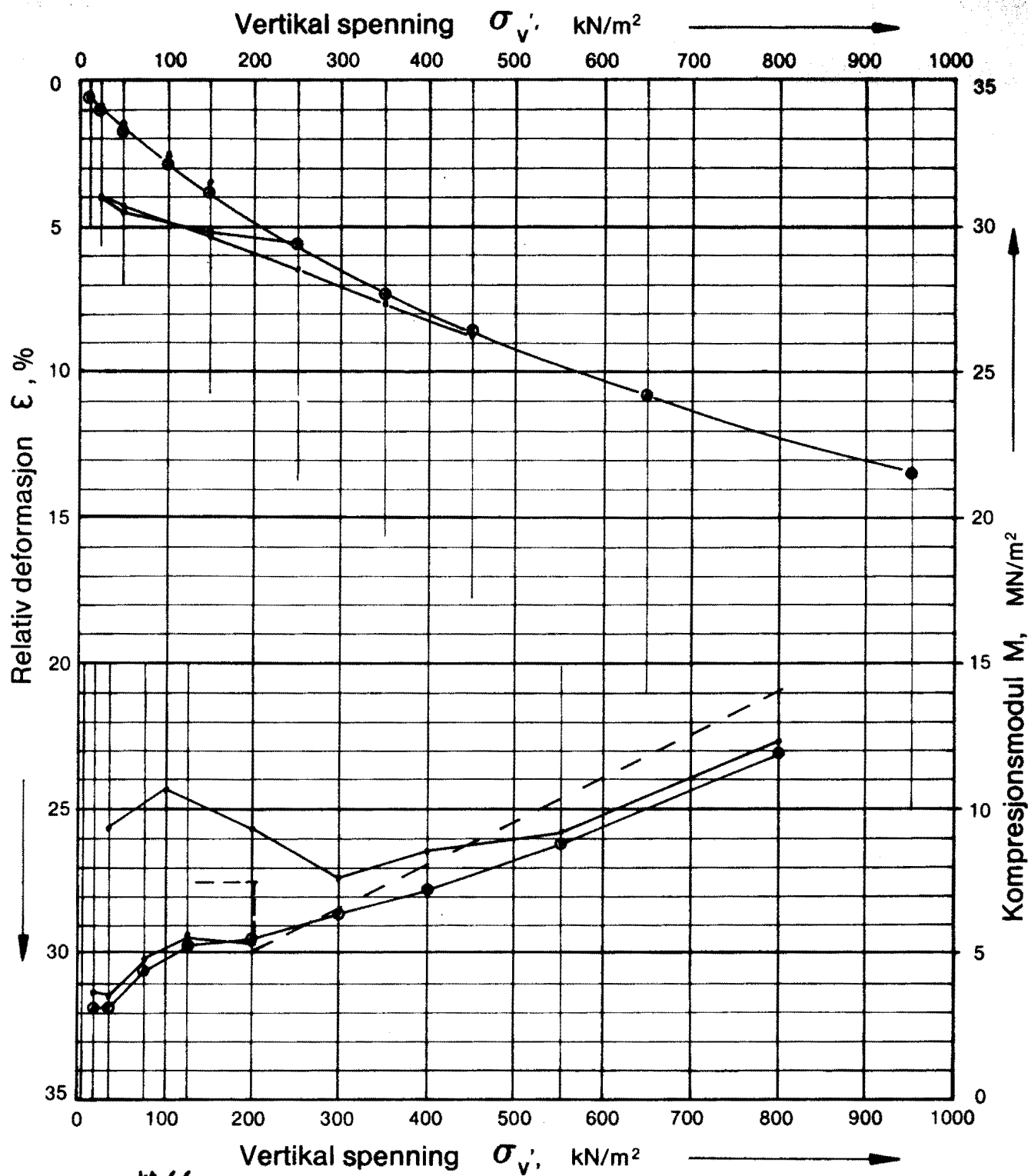


Modul for leire:

$\sigma'_v \leq \sigma'_p$:
 $M = \text{konstant}$

$\sigma'_v > \sigma'_p$:
 $M = m(\sigma'_v - \sigma'_r)$

Tegn. **EML**
 Dato **Aug, 85**
 Kartref.
SO E2 II
 Tegn. nr.
1796 - 94

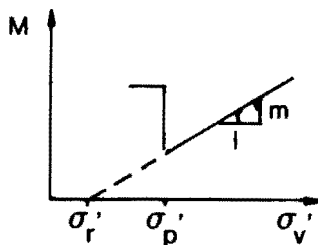


Boring nr.	Lab. nr.	Dybde m	σ_{vo}' kN/m ²	σ_p' kN/m ²	OCR	M, MN/m ² $\sigma_v' \leq \sigma_p'$	m for $\sigma_v' > \sigma_p'$	σ_r' kN/m ²	Materiale	Anm.
108	1796-54	5,6	78	200	2,5	7,0	15	- 150	Leire	•
"	"	"	"	"	"	"	"	"	"	⊙
									Idetisert	---

ÖDOMETERFORSÖK
 Relativ deformasjon
 Kompresjonsmodul
NY STRØMSVEI
KONOWS GATE



OSLO KOMMUNE
 Geoteknisk kontor



Modul for leire:

$$\sigma_v' \leq \sigma_p' : \\ M = \text{konstant}$$

$$\sigma_v' > \sigma_p' : \\ M = m(\sigma_v' - \sigma_r')$$

Tegn. EML

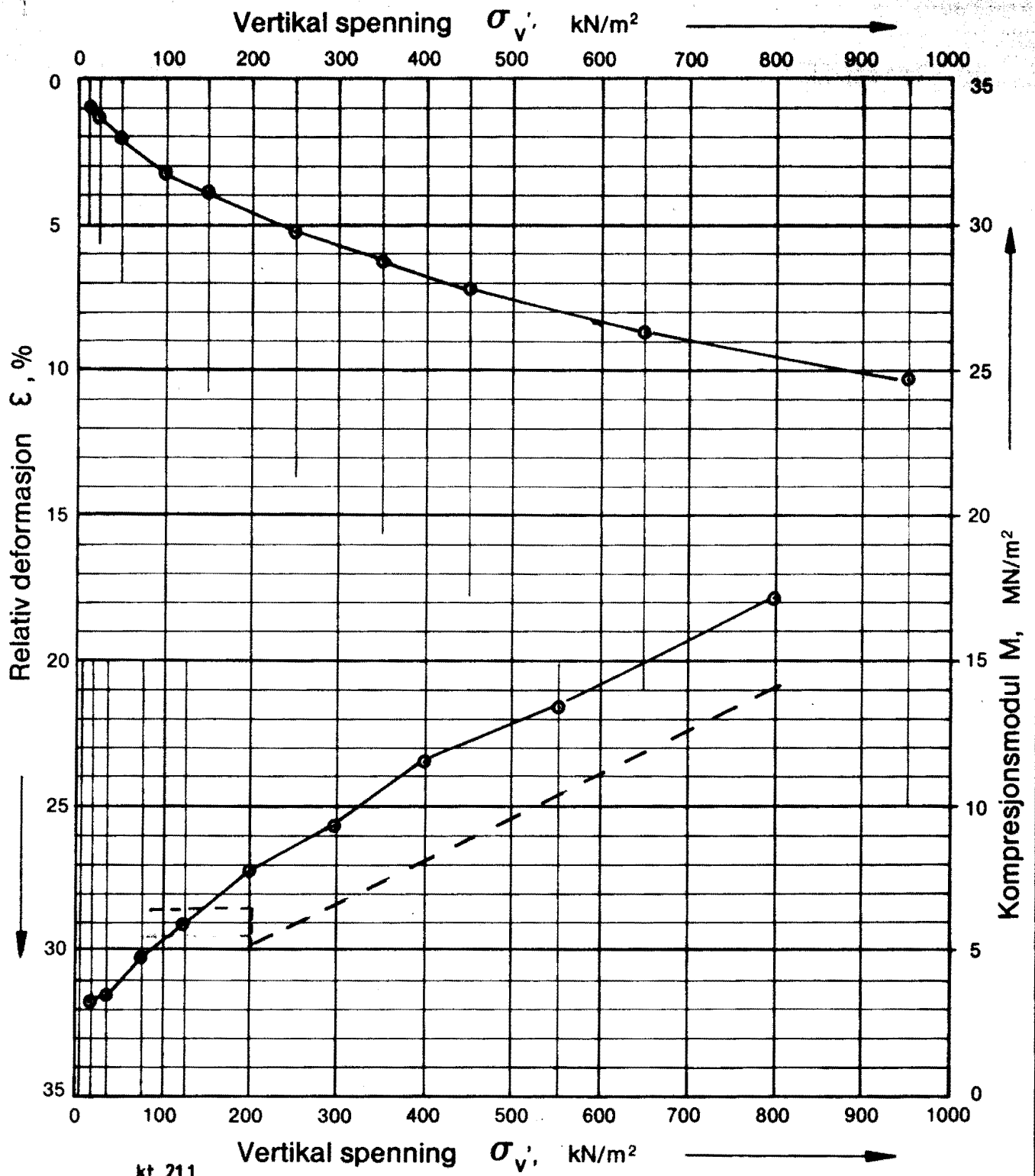
Dato Aug. 85

Kartref.

SO E2 II


Tegn. nr.

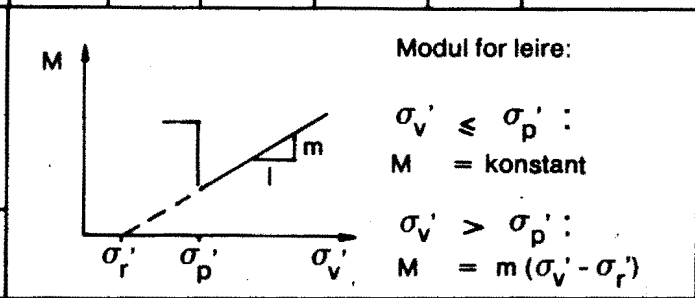
1796 - 95



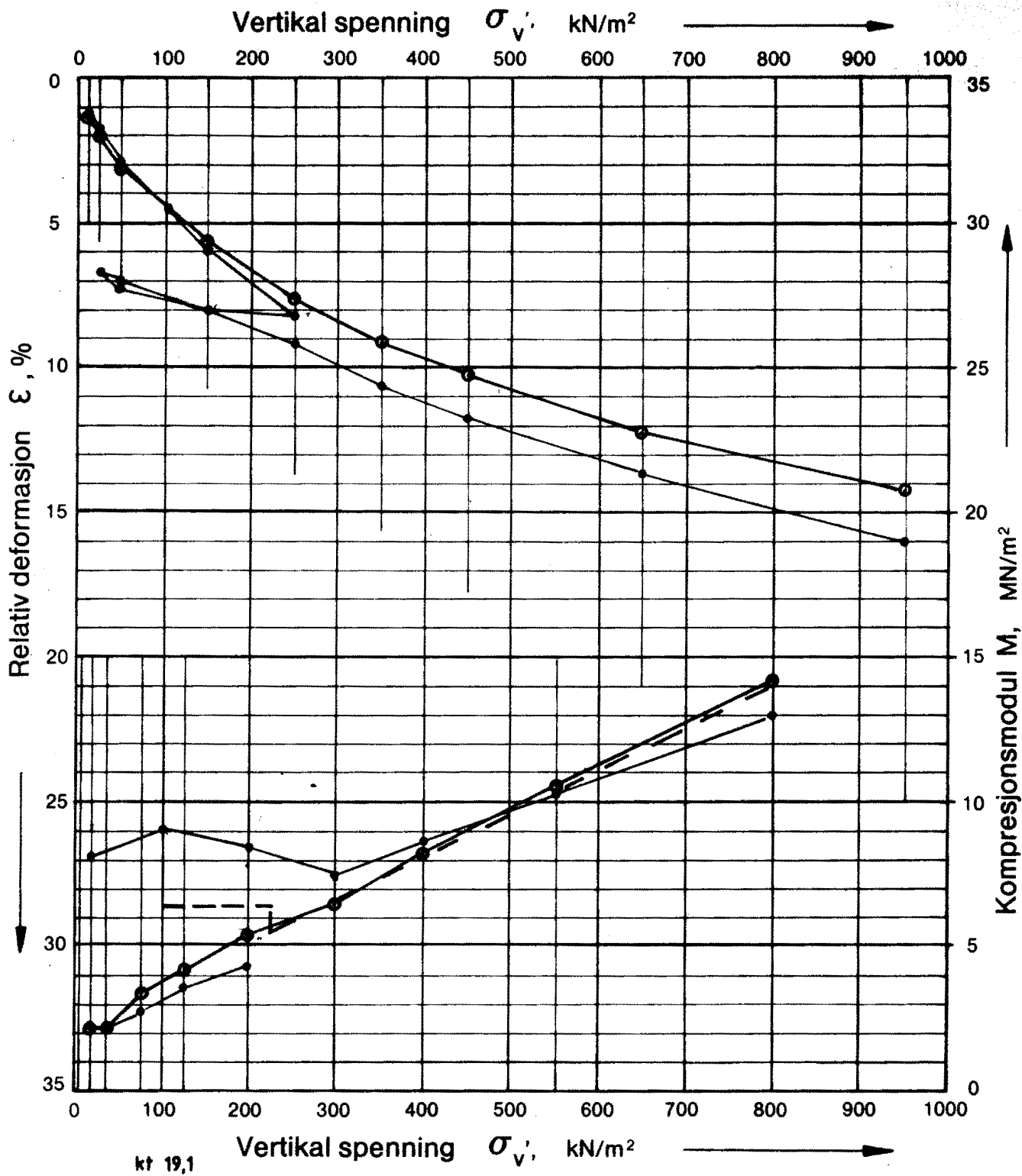
Boring nr.	Lab. nr.	Dybde m	σ'_{vo} kN/m ²	σ'_p kN/m ²	OCR	M, MN/m ² $\sigma'_v \leq \sigma'_p$	m for $\sigma'_v > \sigma'_p$	σ'_r kN/m ²	Materiale	Anm.
133	1796-2	4.8	78	200	2.5	6.5	15	-150	LEIRE	o
									Idealisert	---

ÖDOMETERFORSÖK
 Relativ deformasjon
 Kompresjonsmodul
KONOWS GT:

 **OSLO KOMMUNE**
 Geoteknisk kontor




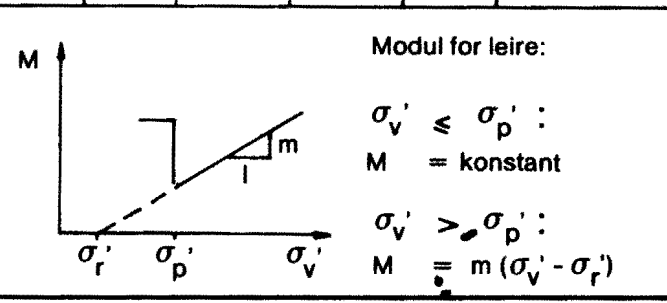
Tegn. **svs**
 Dato **feb. 85**
 Kartref.
SO E2^{III}
 Tegn. nr. **1796-96**



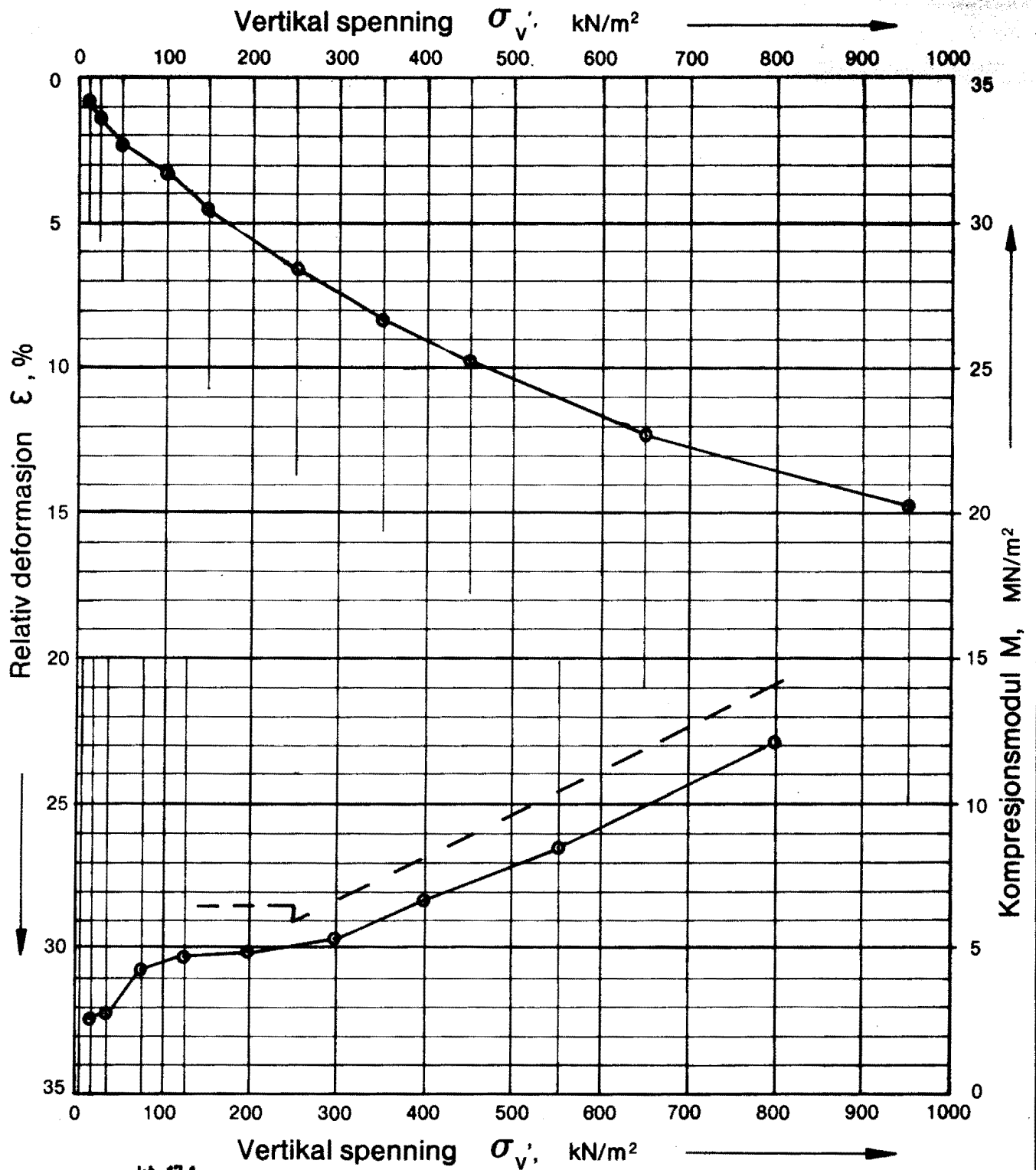
Boring nr.	Lab. nr.	Dybde m	σ_{vo}' kN/m ²	$\sigma_{p'}'$ kN/m ²	OCR	M, MN/m ² $\sigma'_v \leq \sigma_{p'}'$	m for $\sigma'_v > \sigma_{p'}'$	σ_r' kN/m ²	Materiale	Anm.
133	1796-4	6.8	100	220	2.2	6.5	15	-150	LEIRE	⊙
"	"	"	"	"	"	"	"	"	"	•
									Idealisert	---

ÖDOMETERFORSÖK
 Relativ deformasjon
 Kompresjonsmodul
KONOWS GT.

 OSLO KOMMUNE
 Geoteknisk kontor



Tegn. **svs**
 Dato **feb. 85**
 Kartref.
SO E2^{III}
 Tegn. nr. **1796-97**



kt 17,1

Boring nr.	Lab. nr.	Dybde m	σ'_{vo} kN/m ²	σ'_p kN/m ²	OCR	M, MN/m ² $\sigma'_v \leq \sigma'_p$	m for $\sigma'_v > \sigma'_p$	σ'_r kN/m ²	Materiale	Anm.
133	1796-6	8.8	135	250	1.9	6.5	15	-150	LEIRE	⊙
									Idealisert	---

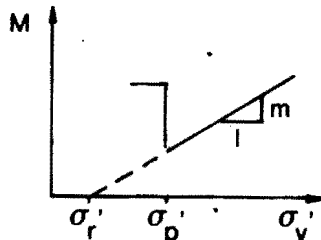
ÖDOMETERFORSÖK

Relativ deformasjon
Kompresjonsmodul

KONOWS GT.



OSLO KOMMUNE
Geoteknisk kontor



Modul for leire:

$$\sigma'_v \leq \sigma'_p : \\ M = \text{konstant}$$

$$\sigma'_v > \sigma'_p : \\ M' = m (\sigma'_v - \sigma'_r)$$

Tegn. SVS

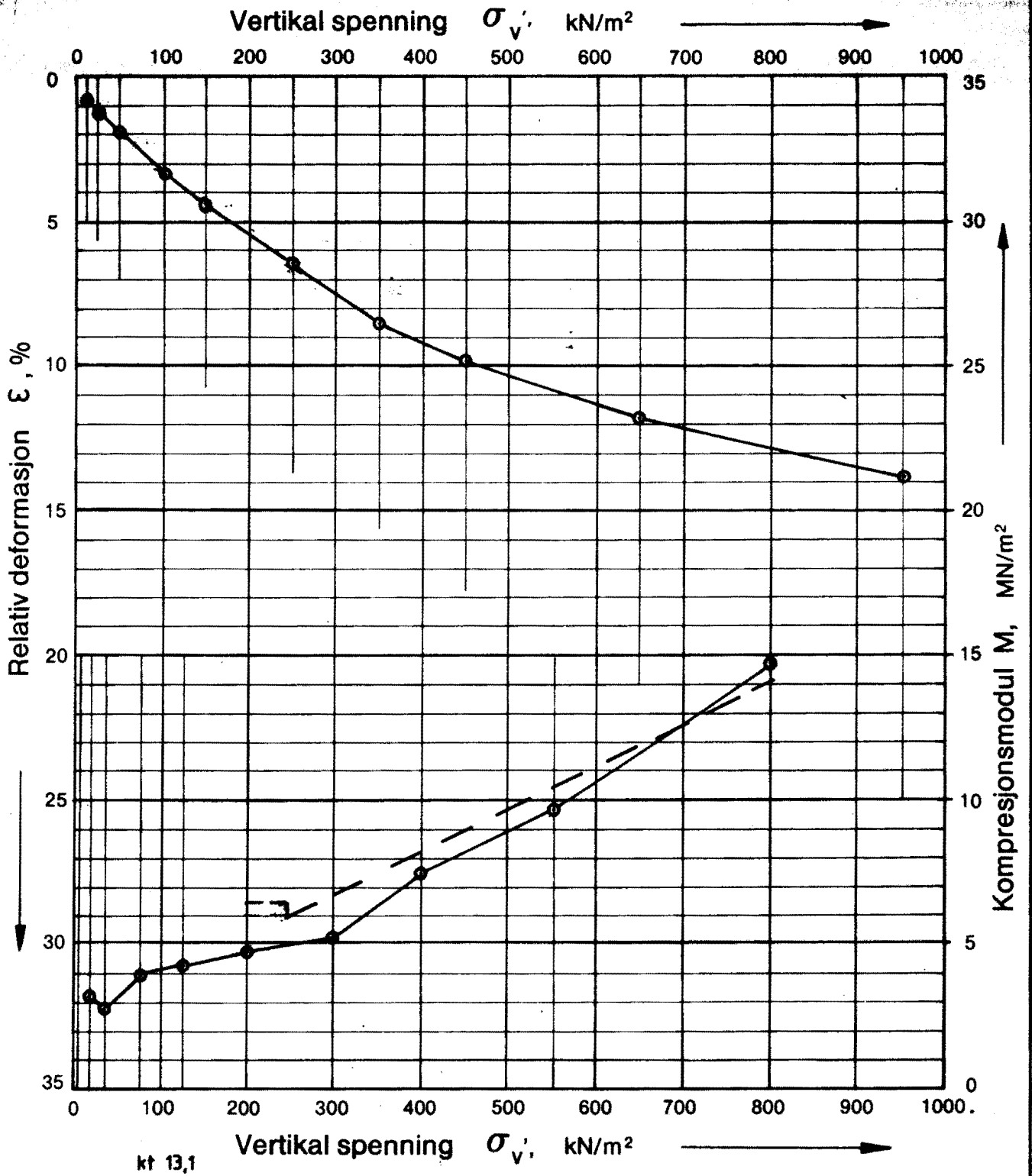
Dato feb. 85

Kartref.

SO E2^{III}


Tegn. nr.

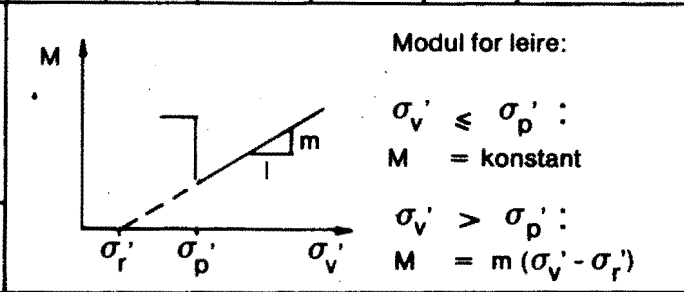
1796-98



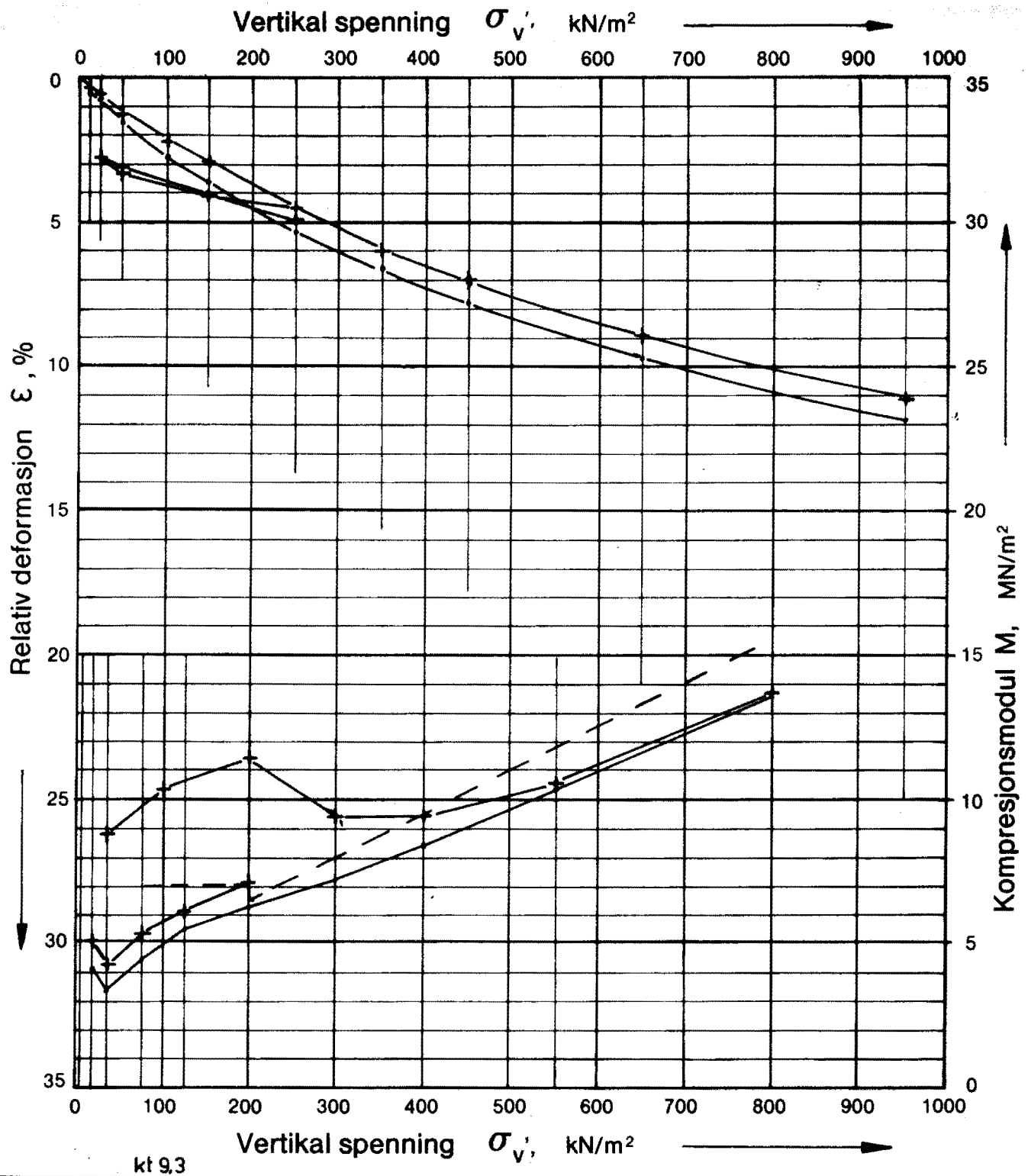
Boring nr.	Lab. nr.	Dybde m	σ_{vo} kN/m ²	σ_p kN/m ²	OCR	M, MN/m ² $\sigma_v' \leq \sigma_p$	m for $\sigma_v' > \sigma_p$	σ_r' kN/m ²	Materiale	Anm.
133	1796-10	12.8	200	250	13	65	15	-150	LEIRE	⊙
									idealisert	---

ÖDOMETERFORSÖK
 Relativ deformasjon
 Kompresjonsmodul
KONOWS GT.

 OSLO KOMMUNE
 Geoteknisk kontor



Tegn. **svs**
 Dato **feb. 85**
 Kartref.
SO E2^{III}
 Tegn. nr. **1796-99**



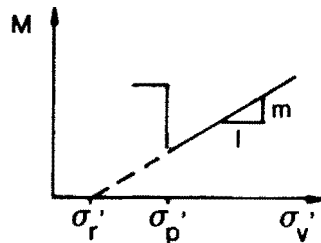
Boring nr.	Lab. nr.	Dybde m	σ'_{vo} kN/m ²	σ'_p kN/m ²	OCR	M , MN/m ² $\sigma'_v \leq \sigma'_p$	m for $\sigma'_v > \sigma'_p$	σ'_r kN/m ²	Materiale	Anm.
138	1796-5	6,6	80	200	2,5	7,0	15	- 220	Leire	.
.	.	.	"	"	"	"	"	"	"	+ Avlastet

ÖDOMETERFORSÖK

Relativ deformasjon
Kompresjonsmodul
NY STRØMSVEI
KONOWS GATE



OSLO KOMMUNE
Geoteknisk kontor



Modul for leire:

$$\sigma'_v \leq \sigma'_p : \\ M = \text{konstant}$$

$$\sigma'_v > \sigma'_p : \\ M = m(\sigma'_v - \sigma'_r)$$

Tegn. EML

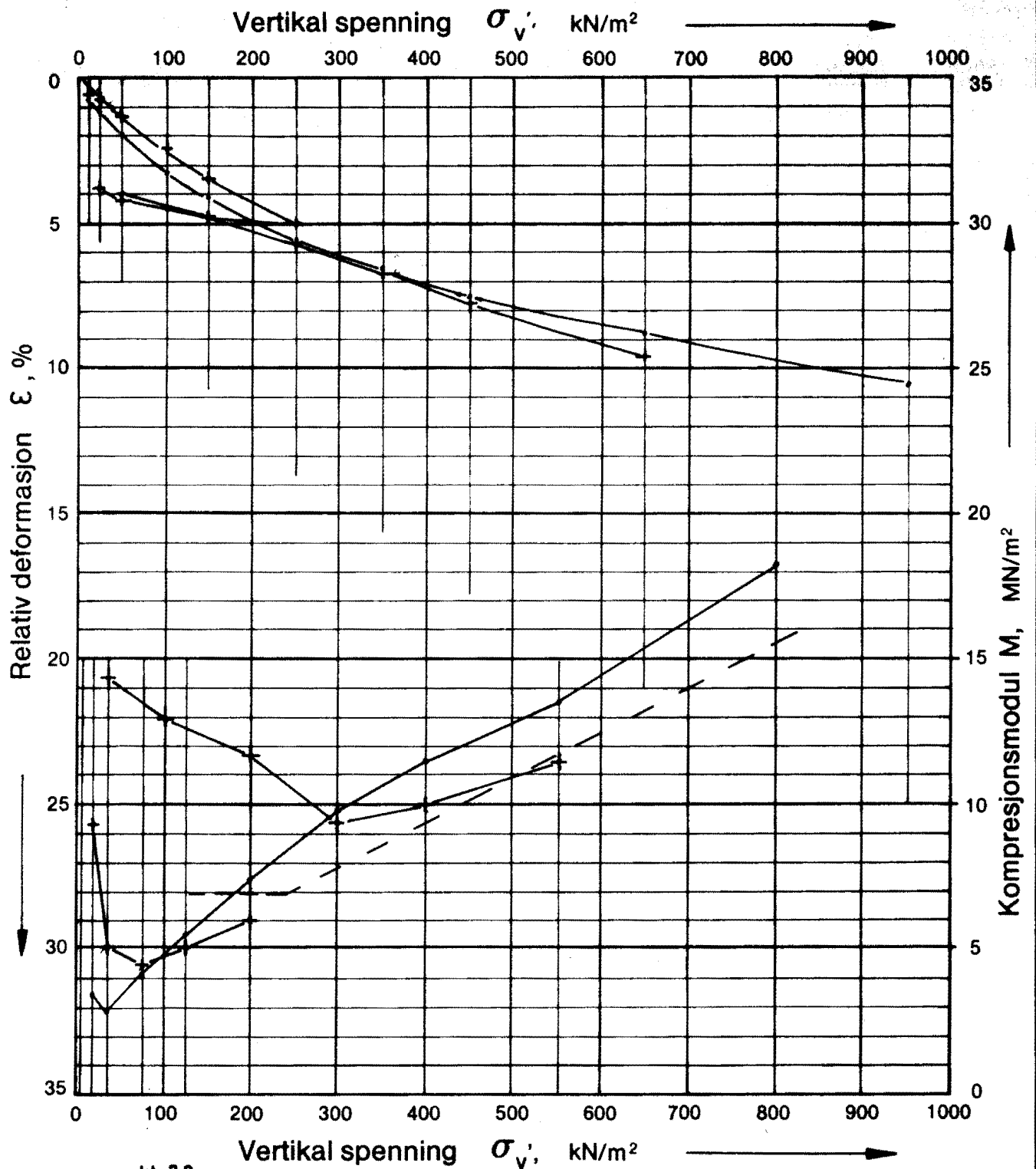
Dato Aug. 85

Kartref.

SO. E2^{III}

Tegn. nr.

1796 - 100



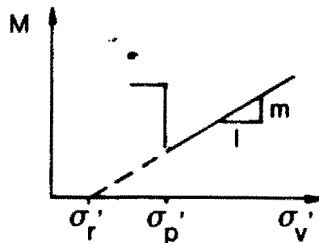
kt 7,2

Boring nr.	Lab. nr.	Dybde m	σ'_{vo} kN/m ²	σ'_p kN/m ²	OCR	M, MN/m ² $\sigma'_v \leq \sigma'_p$	m for $\sigma'_v > \sigma'_p$	σ'_r kN/m ²	Materiale	Anm.
138	1796-7	0,7	100	~220	2,2	7,0	15	- 220	Leire	•
"	"	"	"	"	"	"	"	"	"	+ Avlastet
									Idealisert	---

ÖDOMETERFORSÖK
 Relativ deformasjon
 Kompresjonsmodul
NY STRÖMSVEI
KONOWS GATE



OSLO KOMMUNE
 Geoteknisk kontor



Modul for leire:

$$\sigma'_v \leq \sigma'_p : \\ M = \text{konstant}$$

$$\sigma'_v > \sigma'_p : \\ M = m (\sigma'_v - \sigma'_r)$$

Tegn. EML

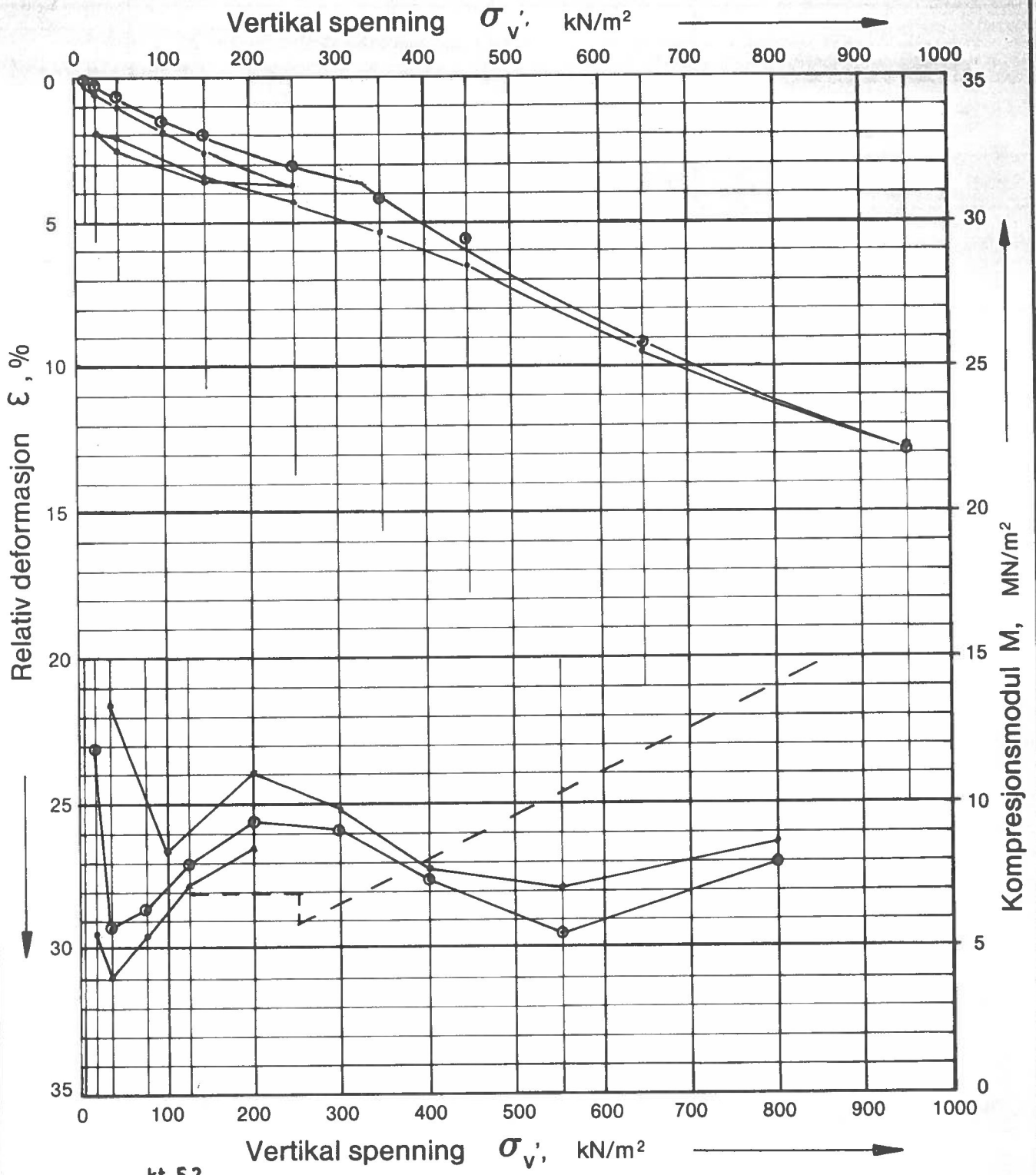
Dato Aug. 85

Kartref.

SO E2 III

Tegn. nr.

1796 - 101



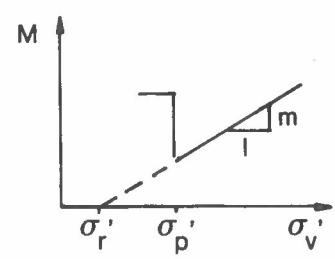
kt 5,2

Boring nr.	Lab. nr.	Dybde m	σ'_{vo} kN/m ²	σ'_p kN/m ²	OCR	M, MN/m ² $\sigma'_v \leq \sigma'_p$	m for $\sigma'_v > \sigma'_p$	σ'_r kN/m ²	Materiale	Anm.
138	1796-9	10,7	118	250	2,1	7,0	15 ?	- 150?	Leire	.
"	"	"	"	"	"	"	"	"	"	⊙
									Idalisert	---

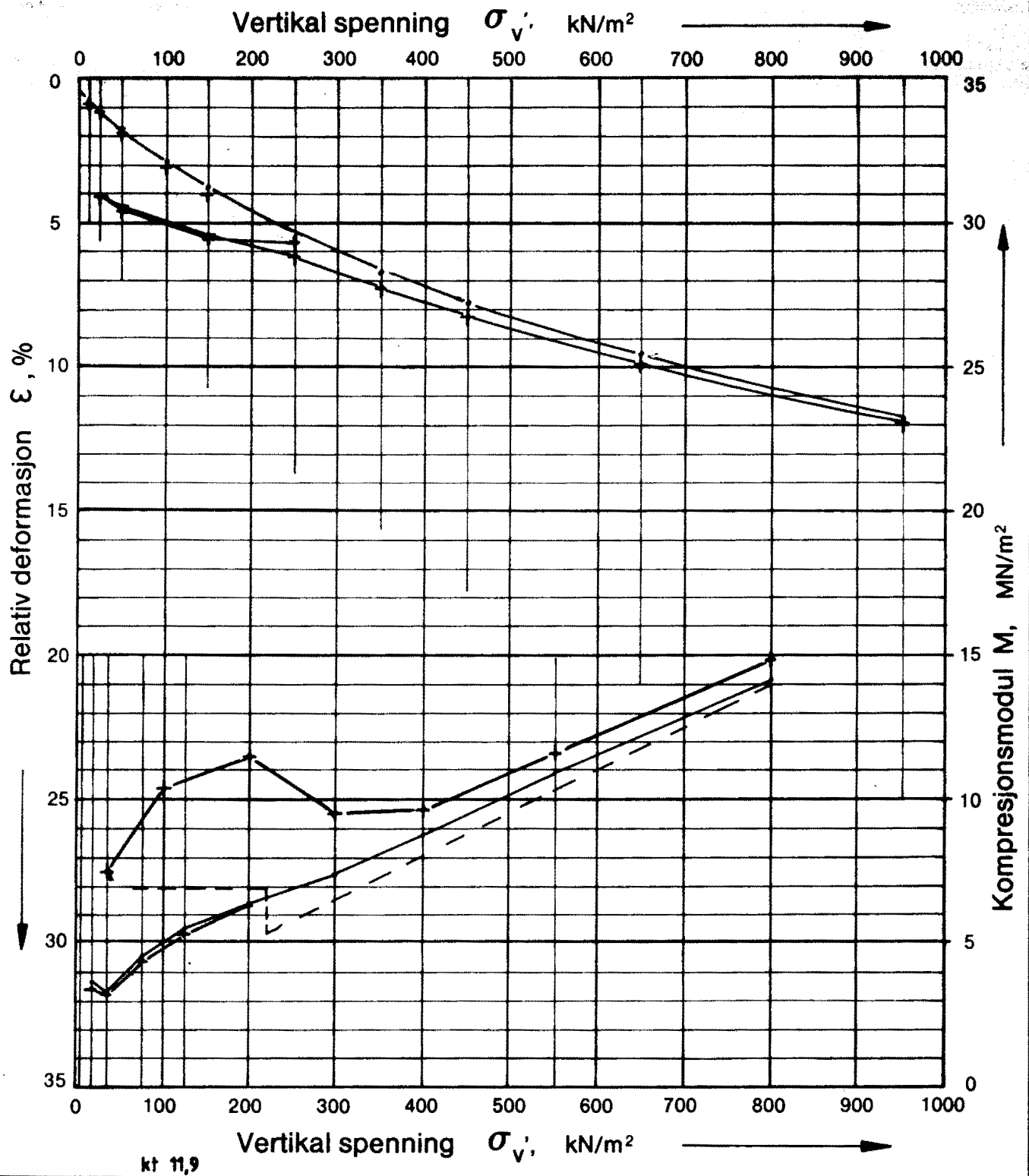
ÖDOMETERFORSÖK
 Relativ deformasjon
 Kompresjonsmodul
NY STRØMSVEI
KONOWS GATE



OSLO KOMMUNE
 Geoteknisk kontor



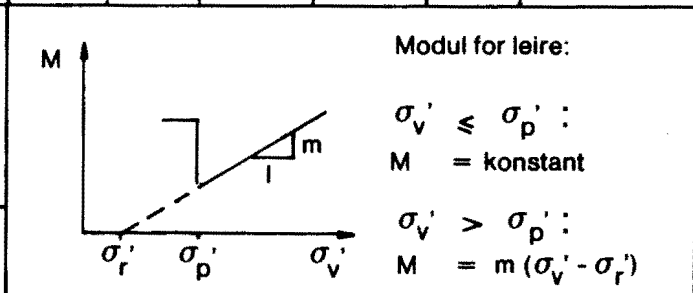
Tegn.	EML
Dato	Aug, 85
Kartref.	SO E2 III
Tegn. nr.	1796 - 102



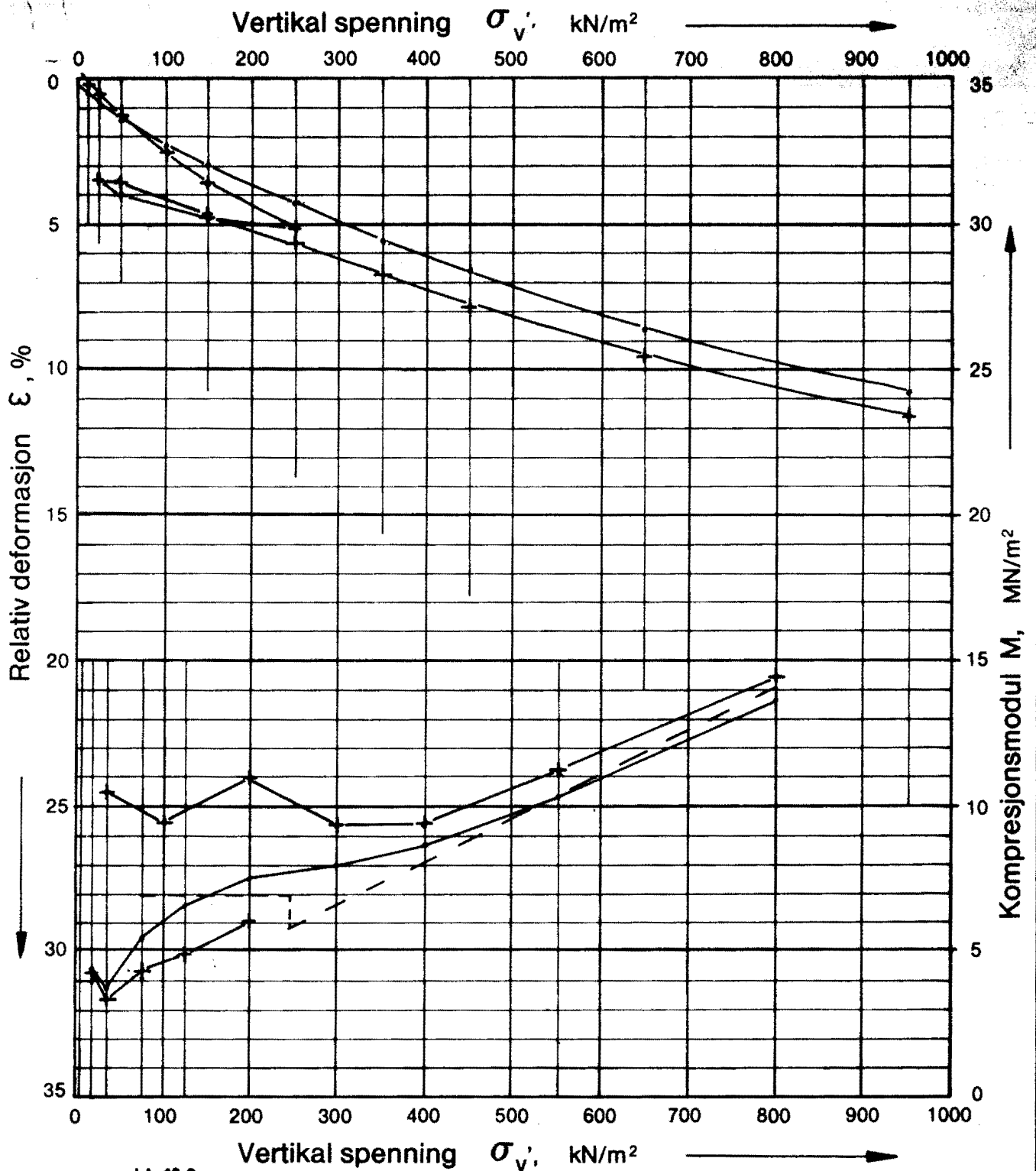
Boring nr.	Lab. nr.	Dybde m	σ_{vo}' kN/m ²	σ_p' kN/m ²	OCR	M, MN/m ² $\sigma_v' \leq \sigma_p'$	m for $\sigma_v' > \sigma_p'$	σ_r' kN/m ²	Materiale	Anm.
151	1796-17	4,5	63	220	3,5	7,0	15	- 150	Leire	•
"	"	"	"	"	"	"	"	"	"	⊙
									Idealisert	---

ÖDOMETERFORSÖK
 Relativ deformasjon
 Kompresjonsmodul
NY STRØMSVEI
KONOWS GATE

 OSLO KOMMUNE
 Geoteknisk kontor



Tegn.	EML
Dato	Aug. 85
Kartref.	SO E2 ^{III}
Tegn. nr.	1796 - 103



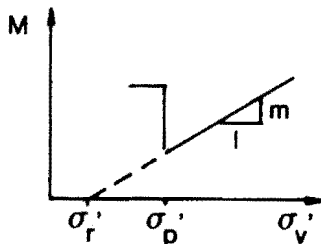
kt 10,9

Boring nr.	Lab. nr.	Dybde m	σ_{vo}' kN/m ²	σ_p' kN/m ²	OCR	M, MN/m ² $\sigma_v' \leq \sigma_p'$	m for $\sigma_v' > \sigma_p'$	σ_r' kN/m ²	Materiale	Anm.
151	1796-10	5.5	78	250	3.2	7.0	15	- 150	Leire	.
"	"	"	"	"	"	"	"	"	"	⊙
									idealisert	---

ÖDOMETERFORSÖK
 Relativ deformasjon
 Kompresjonsmodul
NY STRØMSVEI
KONOWS GATE



OSLO KOMMUNE
 Geoteknisk kontor



Modul for leire:

$$\sigma_v' \leq \sigma_p' : \\ M = \text{konstant}$$

$$\sigma_v' > \sigma_p' : \\ M = m(\sigma_v' - \sigma_r')$$

Tegn.

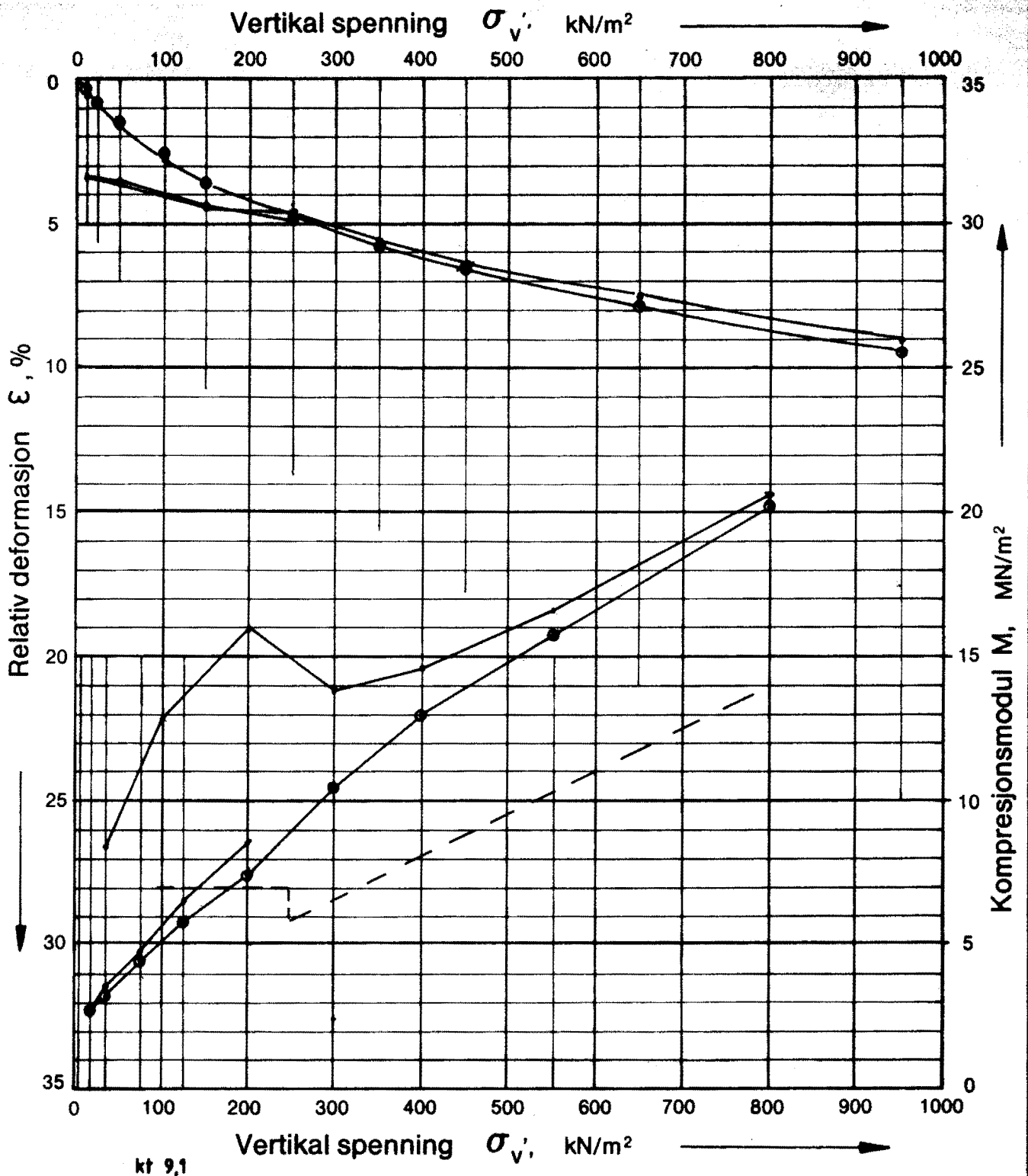
Dato **Aug. 85**

Kartref.

S0 E2

Tegn. nr.

1796 - 104

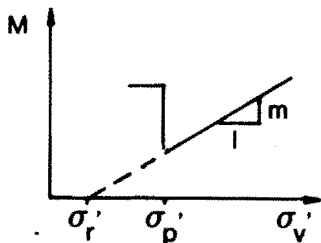


Boring nr.	Lab. nr.	Dybde m	σ'_{vo} kN/m ²	σ'_p kN/m ²	OCR	M, MN/m ² $\sigma'_v \leq \sigma'_p$	m for $\sigma'_v > \sigma'_p$	σ'_r kN/m ²	Materiale	Anm.
151	1796-20	7,3	98	250	2,6	7,0	15	- 150	Leire	•
"	"	"	"	"	"	"	"	"	"	⊙
									Idelisert	-----

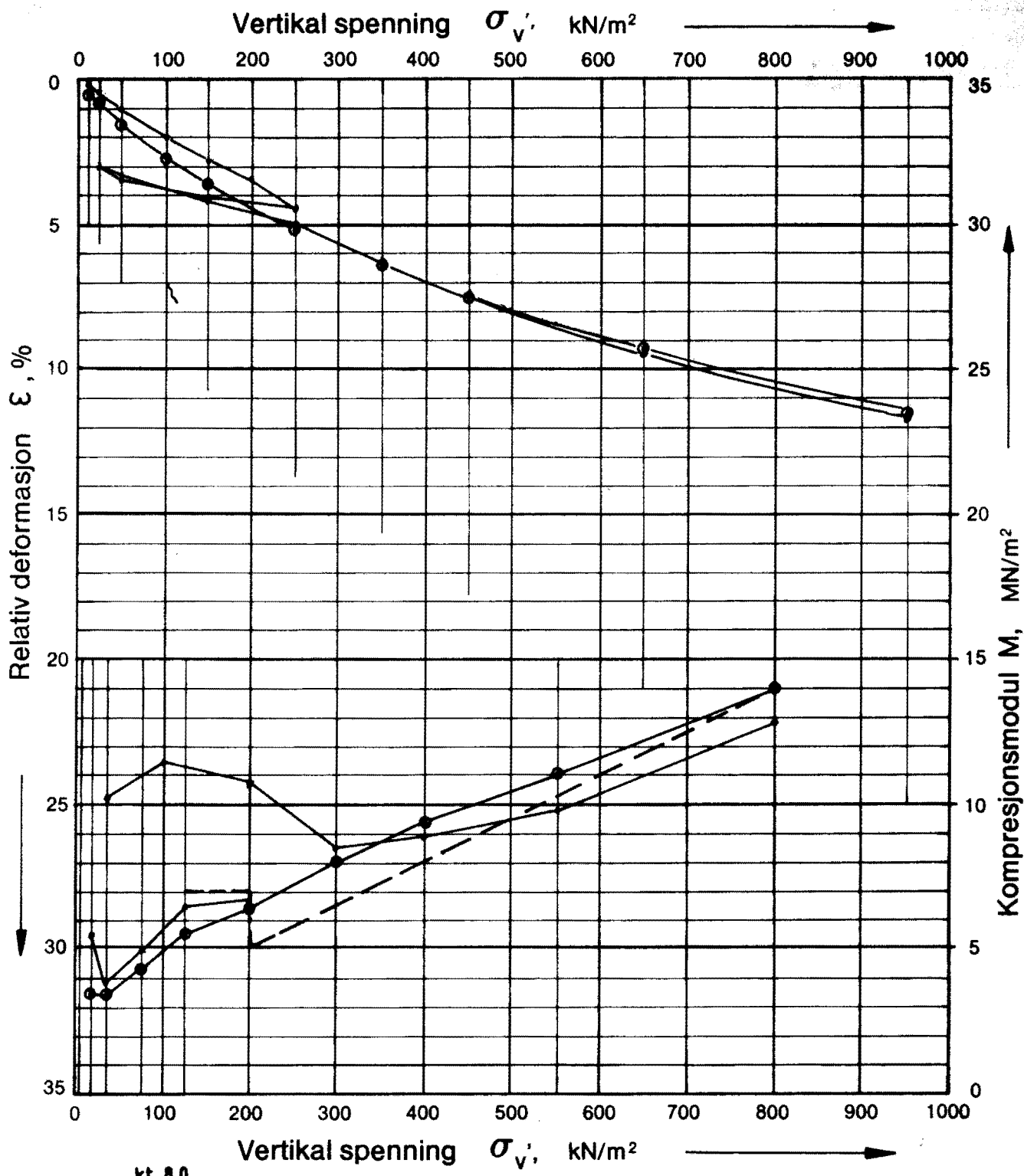
ÖDOMETERFORSÖK
 Relativ deformasjon
 Kompresjonsmodul
NY STRÖMSVEI
KONOWS GATE



OSLO KOMMUNE
 Geoteknisk kontor



Tegn. EML
 Dato Aug. 85
 Kartref.
 SO E2^{III}
 Tegn. nr.
 1796 - 105

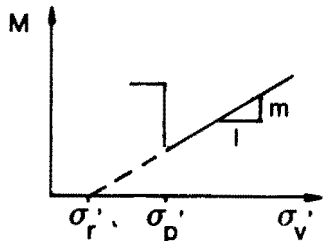


Boring nr.	Lab. nr.	Dybde m	σ'_{vo} kN/m ²	σ'_p kN/m ²	OCR	M, MN/m ² $\sigma'_v \leq \sigma'_p$	m for $\sigma'_v > \sigma'_p$	σ'_r kN/m ²	Materiale	Anm.
151	1796-21	8,4	114	200	1,8	7,0	15	- 150	Leire	.
"	"	"	"	"	"	"	"	"	"	⊙
"									Idealisert	---

ÖDOMETERFORSÖK
 Relativ deformasjon
 Kompresjonsmodul
 NY STRÖMSVEI
 KONOWS GATE



OSLO KOMMUNE
 Geoteknisk kontor



Modul for leire:

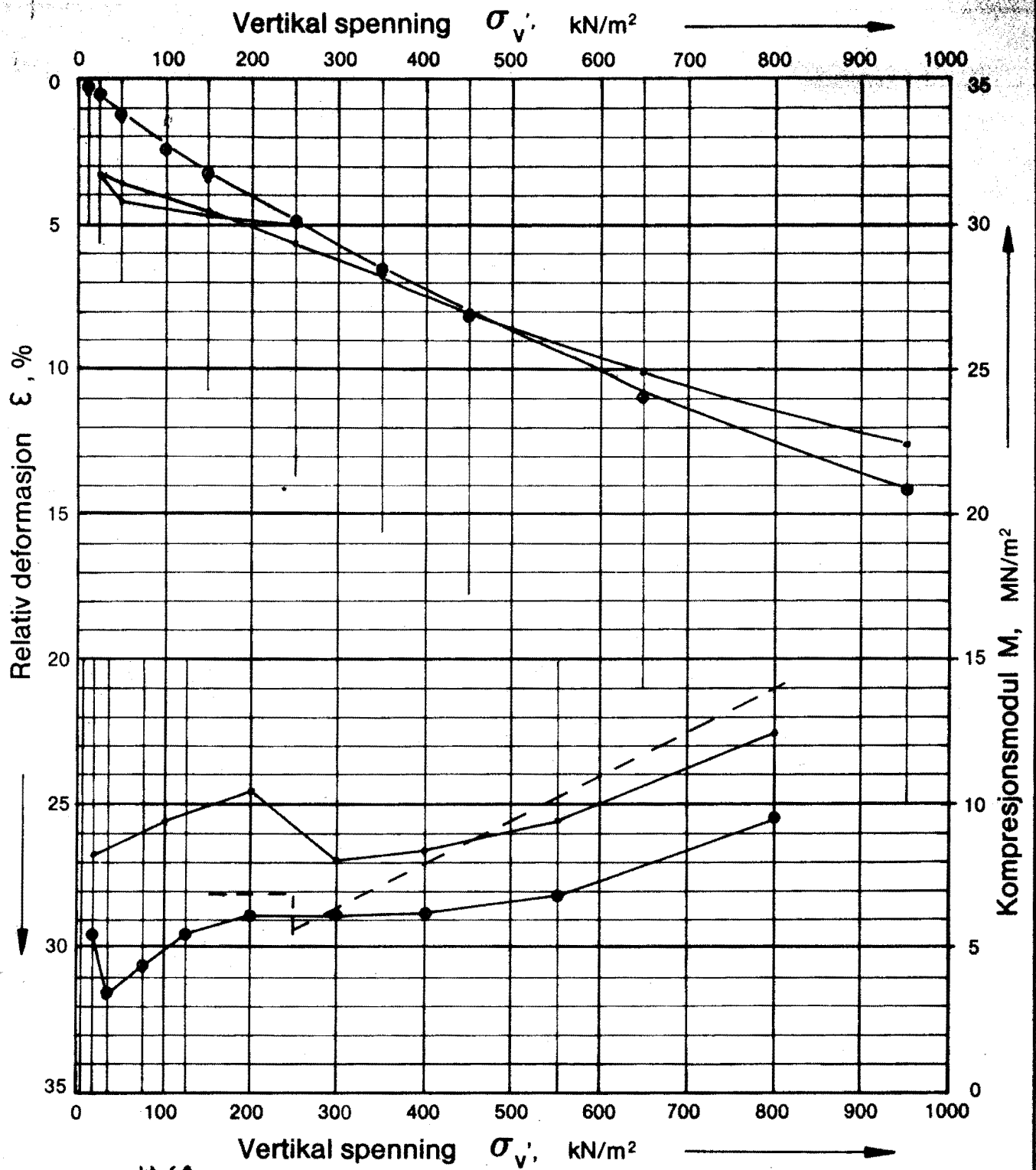
$\sigma'_v \leq \sigma'_p$:
 $M = \text{konstant}$

$\sigma'_v > \sigma'_p$:
 $M = m(\sigma'_v - \sigma'_r)$

Tegn. EML
 Dato Aug. 85
 Kartref.

SO E2^{III}

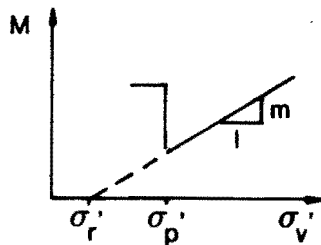
Tegn. nr.
 1796 - 106



Boring nr.	Lab. nr.	Dybde m	σ_{vo}' kN/m ²	σ_p' kN/m ²	OCR	M, MN/m ² $\sigma_v' \leq \sigma_p'$	m for $\sigma_v' > \sigma_p'$	σ_r' kN/m ²	Materiale	Anm.
151	1796-23	10,4	136	250	1,8	7,0	15	- 150	Leire	.
"	"	"	"	"	"	"	"	"	"	⊙
									Idialisert	---

ÖDOMETERFORSÖK
 Relativ deformasjon
 Kompresjonsmodul
NY STRØMSVEI
KONOWS GATE

 **OSLO KOMMUNE**
 Geoteknisk kontor

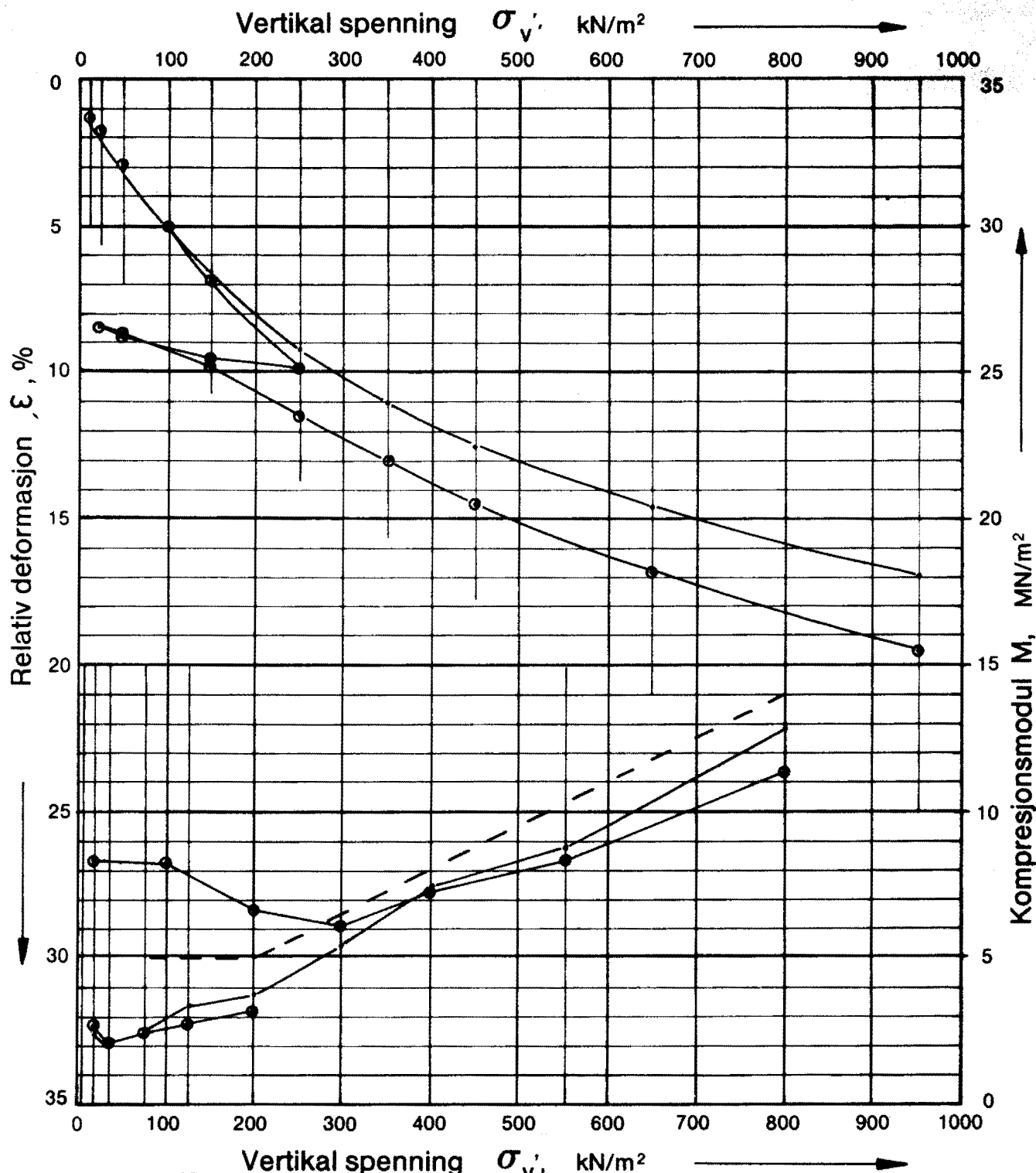


Modul for leire:

$\sigma_v' \leq \sigma_p'$
 $M = \text{konstant}$

$\sigma_v' > \sigma_p'$
 $M = m(\sigma_v' - \sigma_r')$

Tegn.	EML
Dato	Aug. 85
Kartref.	
	SO E2 III
Tegn. nr.	1796 - 107



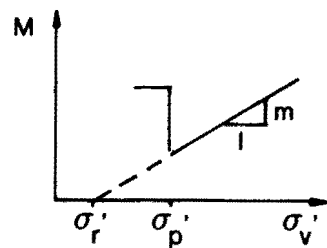
kt 11,7

Boring nr.	Lab. nr.	Dybde m	σ_{vo}' kN/m ²	σ_p' kN/m ²	OCR	M, MN/m ² $\sigma_v' \leq \sigma_p'$	m for $\sigma_v' > \sigma_p'$	σ_r' kN/m ²	Materiale	Anm.
171	1796-31	5.5	83	200	2.4	5.0	15	- 150	Leire	.
"	"	"	"	"	"	"	"	"	"	⊙
									Idalisert	---

ÖDOMETERFORSÖK
 Relativ deformasjon
 Kompresjonsmodul
NY STRØMSVEI
KONOWS GATE



OSLO KOMMUNE
 Geoteknisk kontor

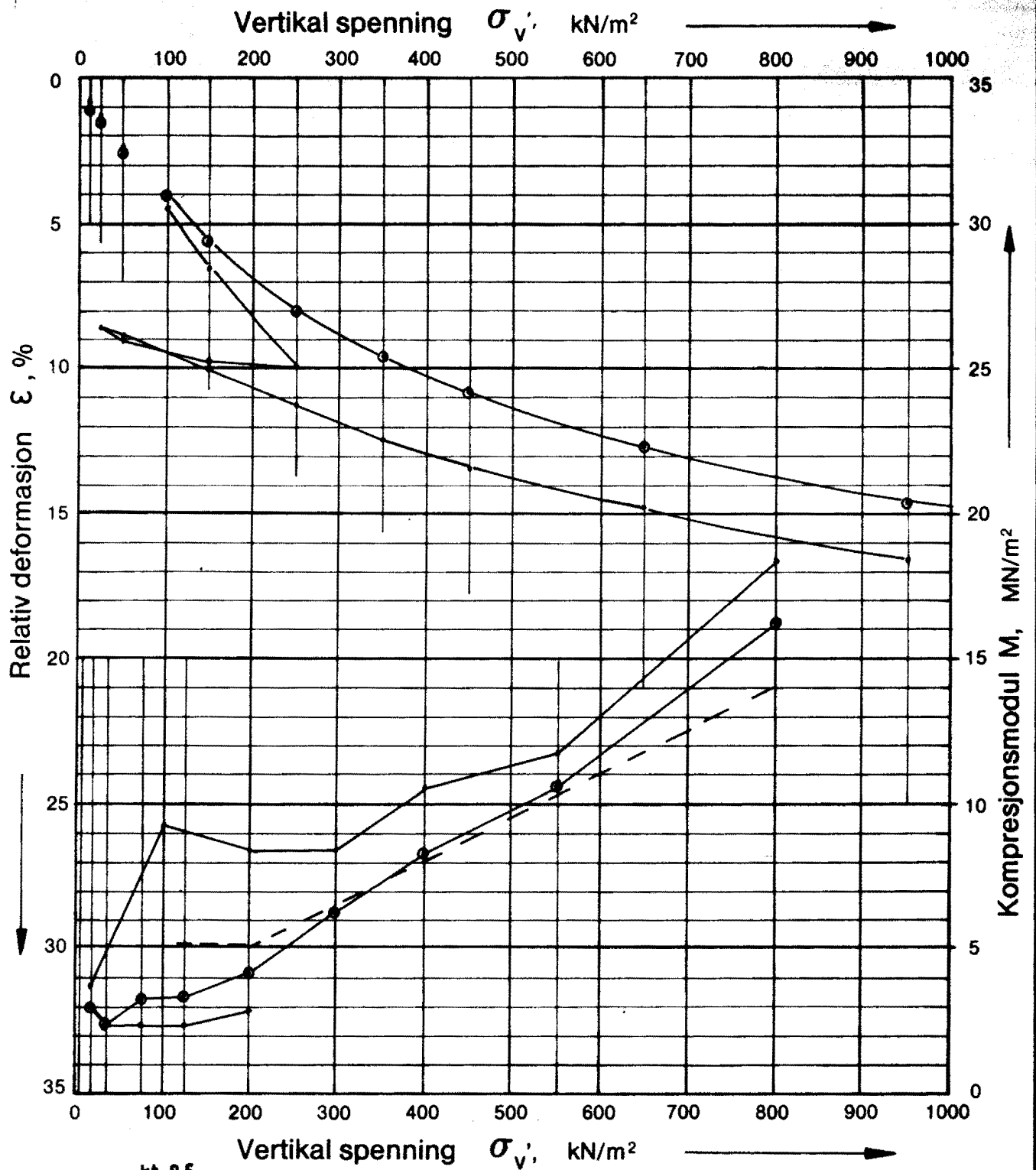


Modul for leire:

$\sigma_v' \leq \sigma_p'$
 M = konstant

$\sigma_v' > \sigma_p'$
 M = m ($\sigma_v' - \sigma_r'$)

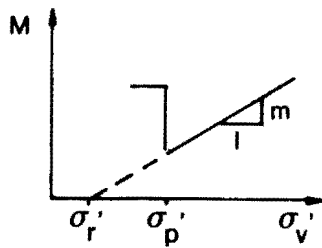
Tegn.	EML
Dato	Aug. 85
Kartref.	SO E2 III
Tegn. nr.	1796 - 108



Boring nr.	Lab. nr.	Dybde m	σ_{vo}' kN/m ²	σ_p' kN/m ²	OCR	M, MN/m ² $\sigma'_v \leq \sigma_p'$	m for $\sigma'_v > \sigma_p'$	σ_r' kN/m ²	Materiale	Anm.
171	1796-36	7,7	110	200	1,8	7,0	15	- 150	Leire	.
"	"	"	"	"	"	"	"	"	"	⊙
									Idealisert	---

ÖDOMETERFORSÖK
 Relativ deformasjon
 Kompresjonsmodul
NY STRÖMSVEI
KONOWS GATE

 OSLO KOMMUNE
 Geoteknisk kontor

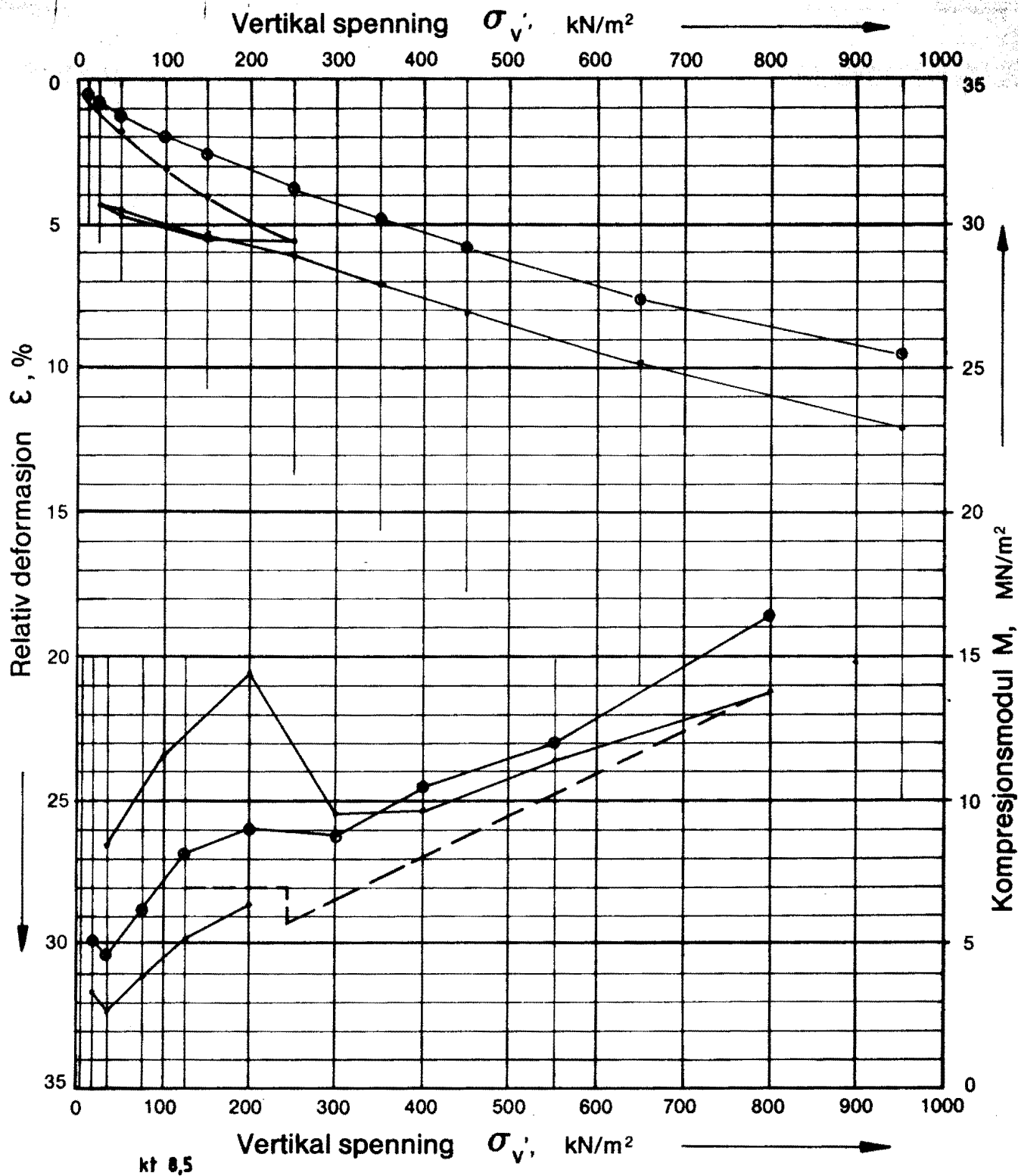


Modul for leire:

$\sigma'_v \leq \sigma'_p$:
 $M = \text{konstant}$

$\sigma'_v > \sigma'_p$:
 $M = m(\sigma'_v - \sigma'_r)$

Tegn. **EML**
 Dato **Aug. 85**
 Kartref.
SO E2
 Tegn. nr.
1796 - 109

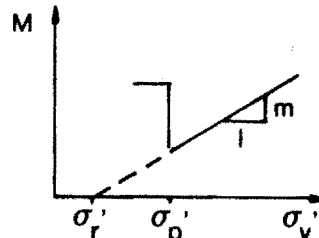


Boring nr.	Lab. nr.	Dybde m	σ_{vo} kN/m ²	σ_p' kN/m ²	OCR	M, MN/m ² $\sigma_v' \leq \sigma_p'$	m for $\sigma_v' > \sigma_p'$	σ_r' kN/m ²	Materiale	Anm.
171	1796-34	0,7	122	250	2,0	7,0	15	- 150	Leire	⊙
"	"	"	"	"	"	"	"	"	"	.
"	"	"	"	"	"	"	"	"	Idealisert	---

ÖDOMETERFORSÖK
 Relativ deformasjon
 Kompresjonsmodul
NY STRØMSVEI
KONOWS GATE

 **OSLO KOMMUNE**
 Geoteknisk kontor

M



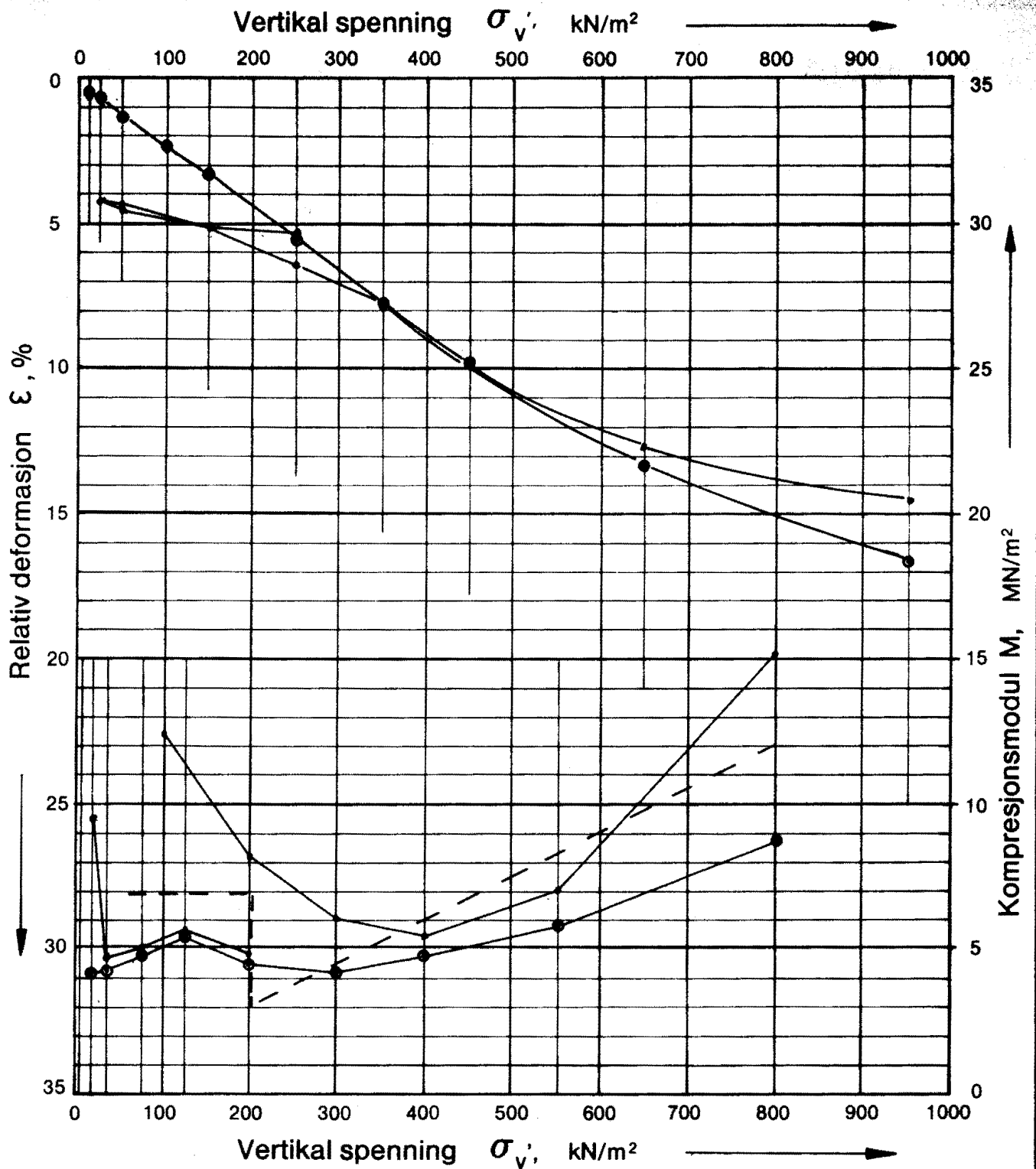
σ_r' σ_p' σ_v'

Modul for leire:

$\sigma_v' \leq \sigma_p'$:
 $M = \text{konstant}$

$\sigma_v' > \sigma_p'$:
 $M = m(\sigma_v' - \sigma_r')$

Tegn.	EML
Dato	Aug. 85
Kartref.	SO E2^{III}
Tegn. nr.	1796 - 110

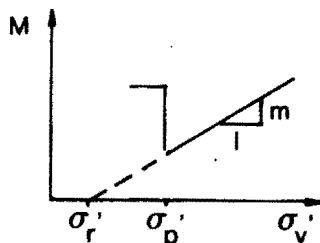


Boring nr.	Lab. nr.	Dybde m	σ'_{vo} kN/m ²	σ'_p kN/m ²	OCR	M , MN/m ² $\sigma'_v \leq \sigma'_p$	m for $\sigma'_v > \sigma'_p$	σ'_r kN/m ²	Materiale	Anm.
180	1796-79	4,6	65	~ 200	3,1	7,0	15	0	Leire	⊙
"	"	"	"	"	"	"	"	"	"	.
									Idetlisert	---

ÖDOMETERFORSÖK
 Relativ deformasjon
 Kompresjonsmodul
NY STRÖMSVEI
KONOWS GATE



OSLO KOMMUNE
 Geoteknisk kontor



Modul for leire:

$$\sigma'_v \leq \sigma'_p : \\ M = \text{konstant}$$

$$\sigma'_v > \sigma'_p : \\ M = m(\sigma'_v - \sigma'_r)$$

Tegn. EML

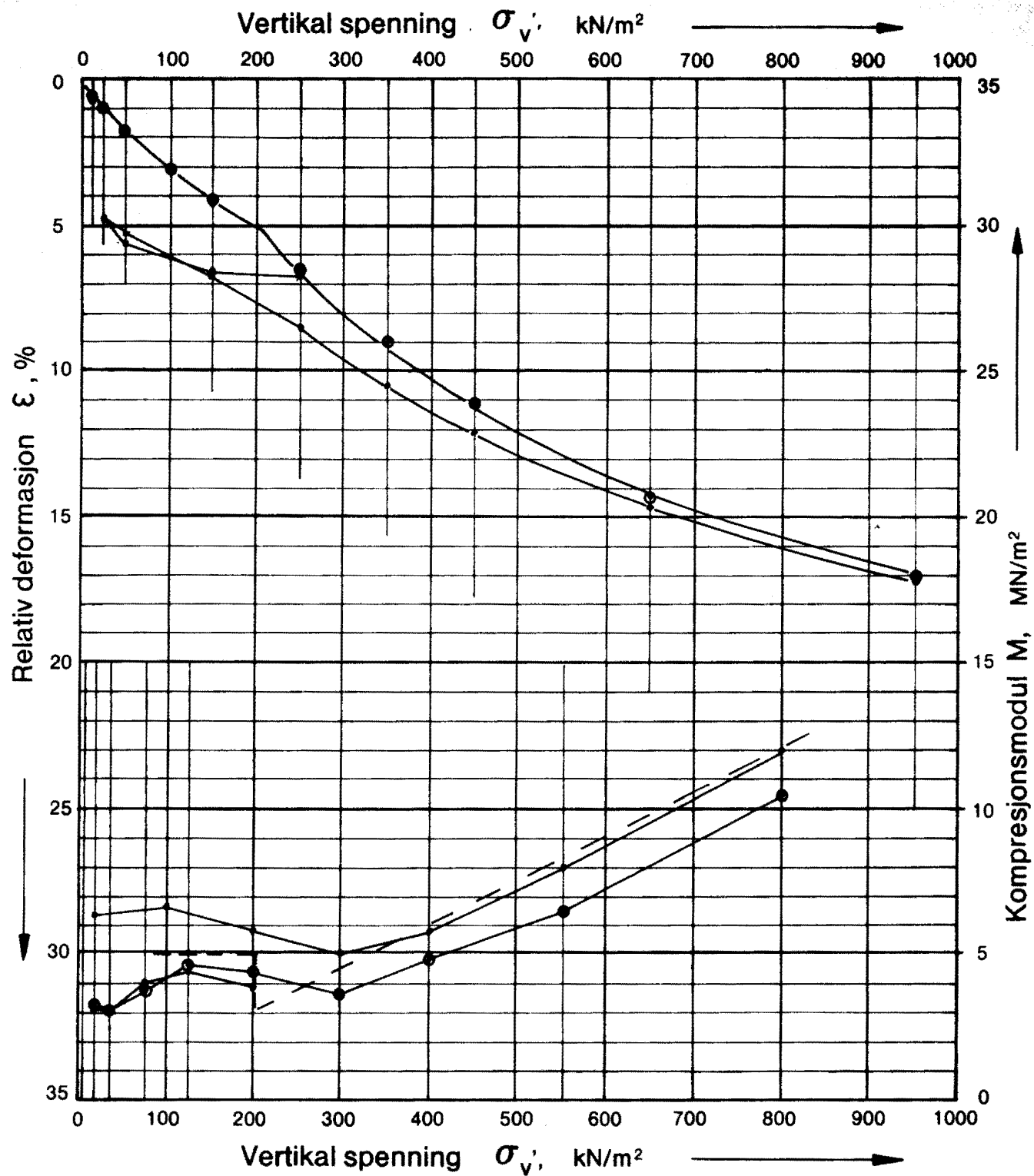
Dato Mars 86

Kartref.

SO E2 III

Tegn. nr.

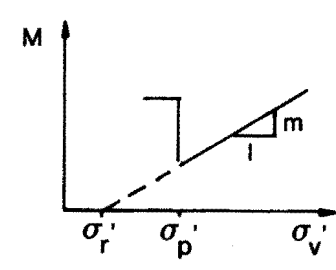
1796 - 111



Boring nr.	Lab. nr.	Dybde m	σ_{vo} kN/m ²	σ_p kN/m ²	OCR	M, MN/m ² $\sigma_v \leq \sigma_p$	m for $\sigma_v > \sigma_p$	σ_r kN/m ²	Materiale	Anm.
180	1796-81	6,6	90	200	2,2	5,0	15	0	Leire	⊙
"	"	"	"	"	"	"	"	"	"	.
									Idalisert	---

ÖDOMETERFORSÖK
 Relativ deformasjon
 Kompresjonsmodul
NY STRØMSVEI
KONOWS GATE

 OSLO KOMMUNE
 Geoteknisk kontor

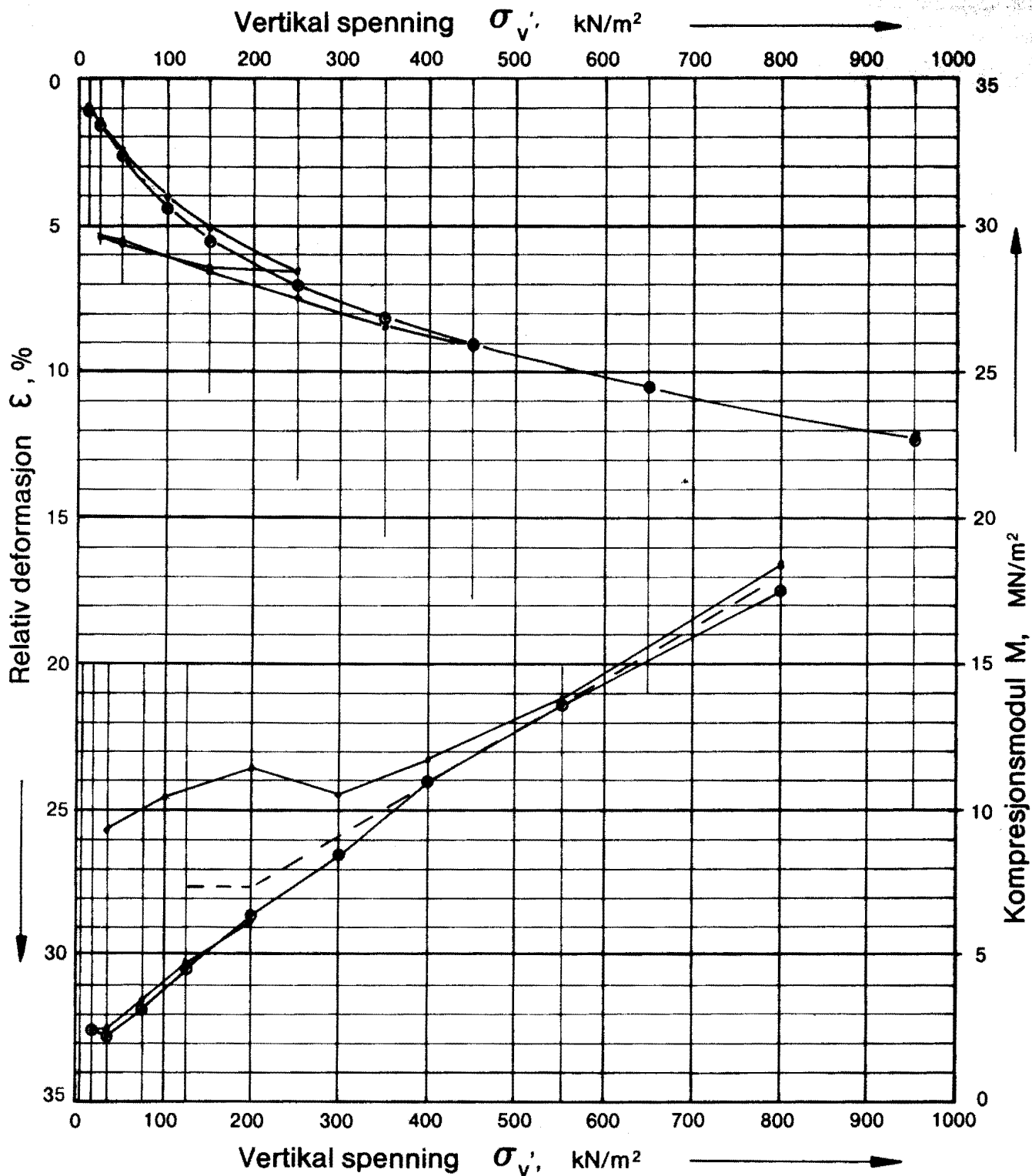


Modul for leire:

$\sigma_v \leq \sigma_p$:
 $M = \text{konstant}$

$\sigma_v > \sigma_p$:
 $M = m(\sigma_v - \sigma_r)$

Tegn. EML
 Dato Aug. 86
 Kartref. SO E2 III
 Tegn. nr. 1796 - 112

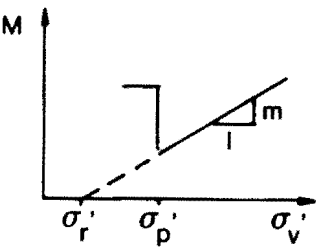


Boring nr.	Lab. nr.	Dybde m	σ_{vo}' kN/m ²	σ_p' kN/m ²	OCR	M, MN/m ² $\sigma_v' \leq \sigma_p'$	m for $\sigma_v' > \sigma_p'$	σ_r' kN/m ²	Materiale	Anm.
180	1796-84	9,6	125	~200	1,6	7,5	18	- 210	Leire	⊙
"	"	"	"	"	"	"	"	*	"	.
									Idealisert	---

ÖDOMETERFORSÖK
 Relativ deformasjon
 Kompresjonsmodul
NY STRØMSVEI
KONOWS GATE

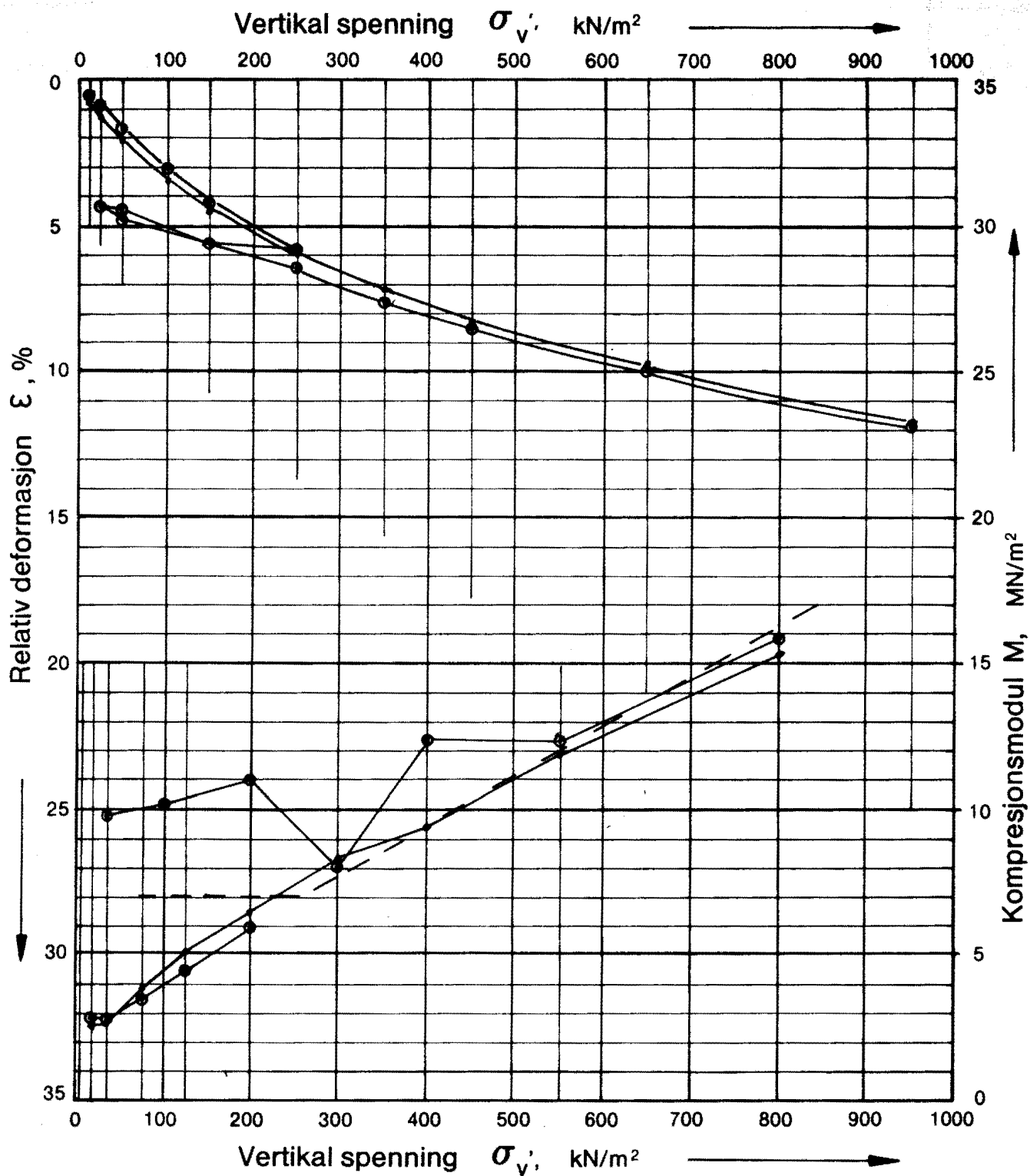
 **OSLO KOMMUNE**
 Geoteknisk kontor

Modul for leire:



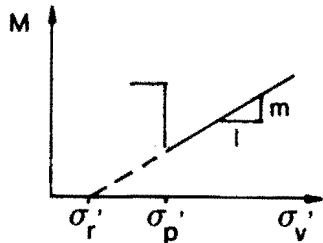
$\sigma_v' \leq \sigma_p'$:
 $M = \text{konstant}$
 $\sigma_v' > \sigma_p'$:
 $M = m(\sigma_v' - \sigma_r')$

Tegn. **EML**
 Dato **Mars 86**
 Kartref.
SO E2 III
 Tegn. nr.
1796 - 113



Boring nr.	Lab. nr.	Dybde m	σ'_{vo} kN/m^2	σ'_p kN/m^2	OCR	M, MN/m^2 $\sigma'_v \leq \sigma'_p$	m for $\sigma'_v > \sigma'_p$	σ'_r kN/m^2	Materiale	Anm.
193	1796-60	4,4	60	200-300		7,0	17	- 150	Leire	⊙
"	"	"	"	"		"	"	"	"	.
									Idetisert	---

ÖDOMETERFORSÖK
 Relativ deformasjon
 Kompresjonsmodul
NY STRØMSVEI
KONOWS GATE



Modul for leire:

$$\sigma'_v \leq \sigma'_p : \\ M = \text{konstant}$$

$$\sigma'_v > \sigma'_p : \\ M = m (\sigma'_v - \sigma'_r)$$

Tegn. EML

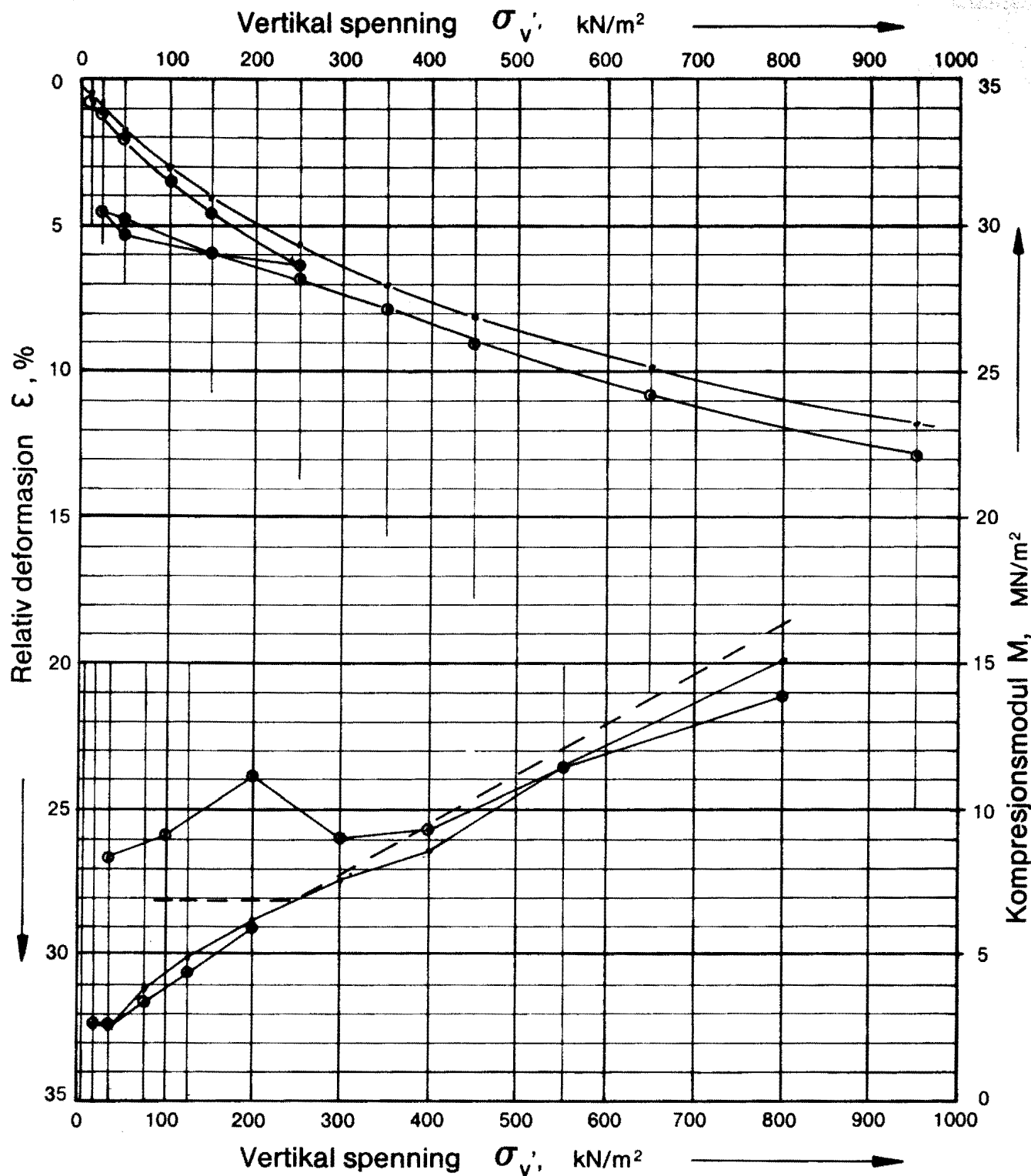
Dato Mars 86

Kartref.

SO D2^{II}

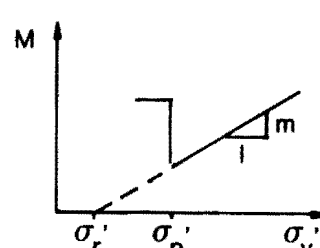
Tegn. nr.

1796 - 114



Boring nr.	Lab. nr.	Dybde m	σ_{vo}' kN/m^2	σ_p' kN/m^2	OCR	$M, \text{MN/m}^2$ $\sigma'_v \leq \sigma'_p$	m for $\sigma'_v > \sigma'_p$	σ_r' kN/m^2	Materiale	Anm.
193	1796-70	6.4	85	200-300		7.0	17	- 150	Leire	⊙
"	"	"	"	"		"	"	"	"	.
									Idealisert	---

ÖDOMETERFORSÖK
 Relativ deformasjon
 Kompresjonsmodul
NY STRØMSVEI
KONOWS GATE

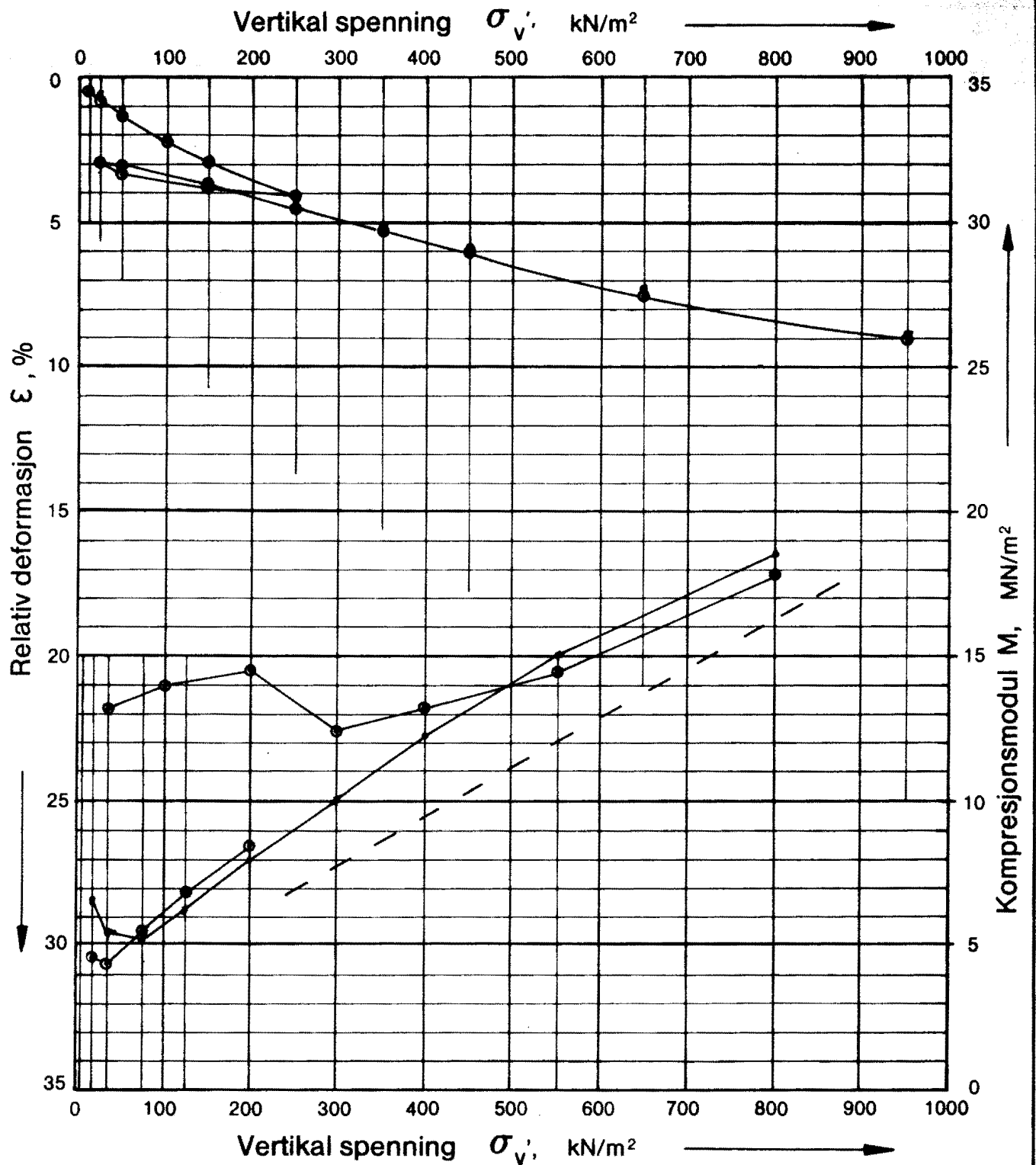


Modul for leire:

$\sigma'_v \leq \sigma'_p$:
 $M = \text{konstant}$

$\sigma'_v > \sigma'_p$:
 $M = m (\sigma'_v - \sigma'_r)$

Tegn. **EML**
 Dato **Mars 86**
 Kartref.
SO D2^{II}
 Tegn. nr.
1796 - 115

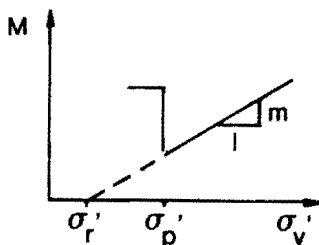


Boring nr.	Lab. nr.	Dybde m	σ'_{vo} kN/m ²	σ'_p kN/m ²	OCR	M, MN/m ² $\sigma'_v \leq \sigma'_p$	m for $\sigma'_v > \sigma'_p$	σ'_r kN/m ²	Materiale	Anm.
193	1796-73	9,4	120	200-300		7,0	17	- 150	Leire	⊙
"	"	"	"	"		"	"	"	"	.
									Idealisert	---

ÖDOMETERFORSÖK
 Relativ deformasjon
 Kompresjonsmodul
NY STRÖMSVEI
KONOWS GATE



OSLO KOMMUNE
 Geoteknisk kontor



Modul for leire:

$$\sigma'_v \leq \sigma'_p : \\ M = \text{konstant}$$

$$\sigma'_v > \sigma'_p : \\ M = m(\sigma'_v - \sigma'_r)$$

Tegn. **EML**

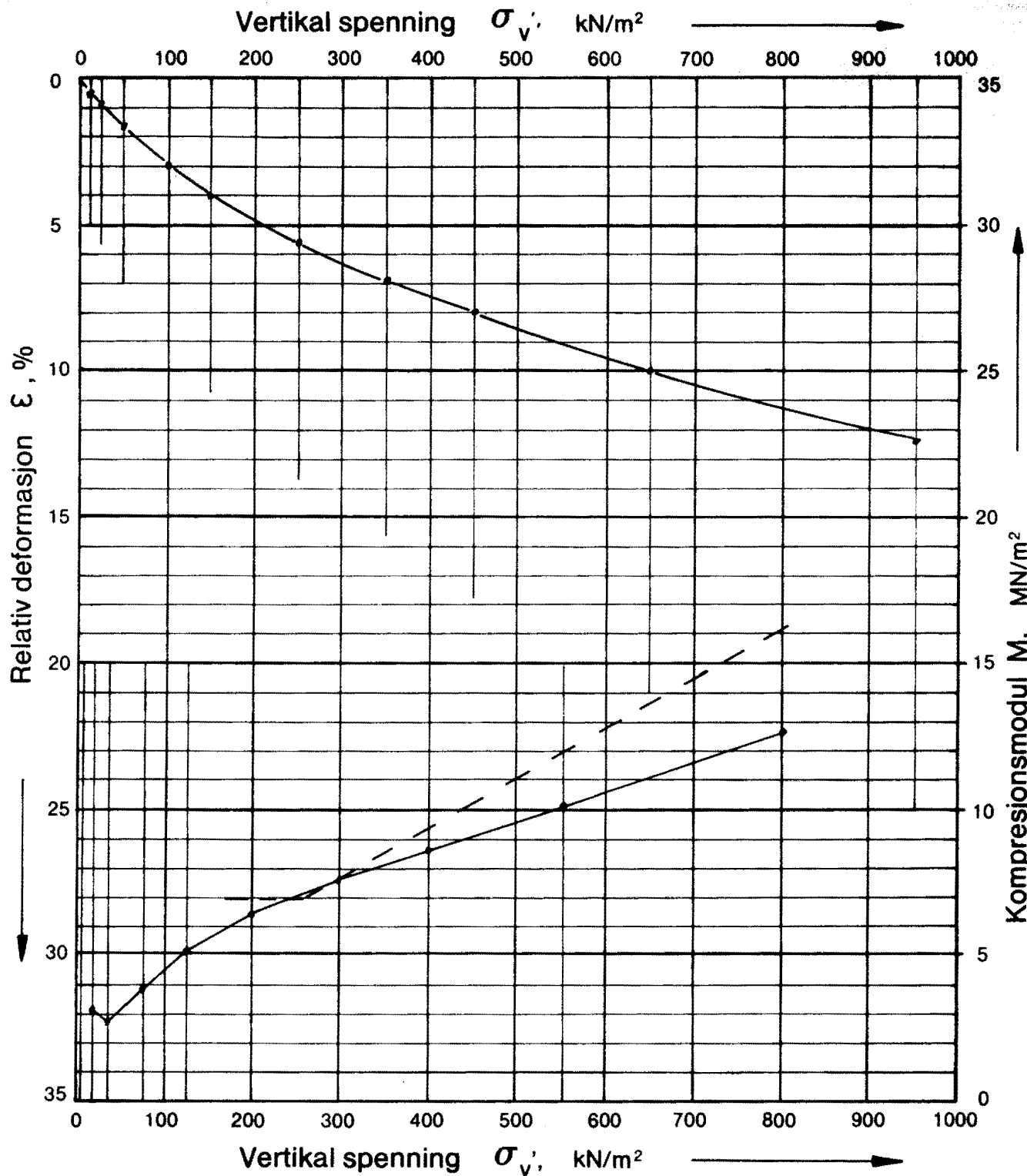
Dato **Mars 86**

Kartref.

SO 02^{II}

Tegn. nr.

1796 - 116

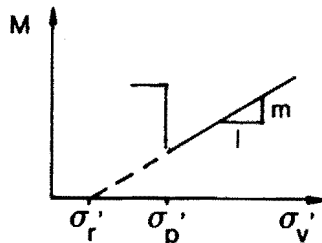


Boring nr.	Lab. nr.	Dybde m	σ'_{vo} kN/m ²	σ'_p kN/m ²	OCR	M, MN/m ² $\sigma'_v \leq \sigma'_p$	m for $\sigma'_v > \sigma'_p$	σ'_r kN/m ²	Materiale	Anm.
193	1796-76	14,5	165	200-300		7,0	17	-150	Leire	.
									Idialisert	---

ÖDOMETERFORSÖK
 Relativ deformasjon
 Kompresjonsmodul
NY STRÖMSVEI
KONOWS GATE



OSLO KOMMUNE
 Geoteknisk kontor



Modul for leire:

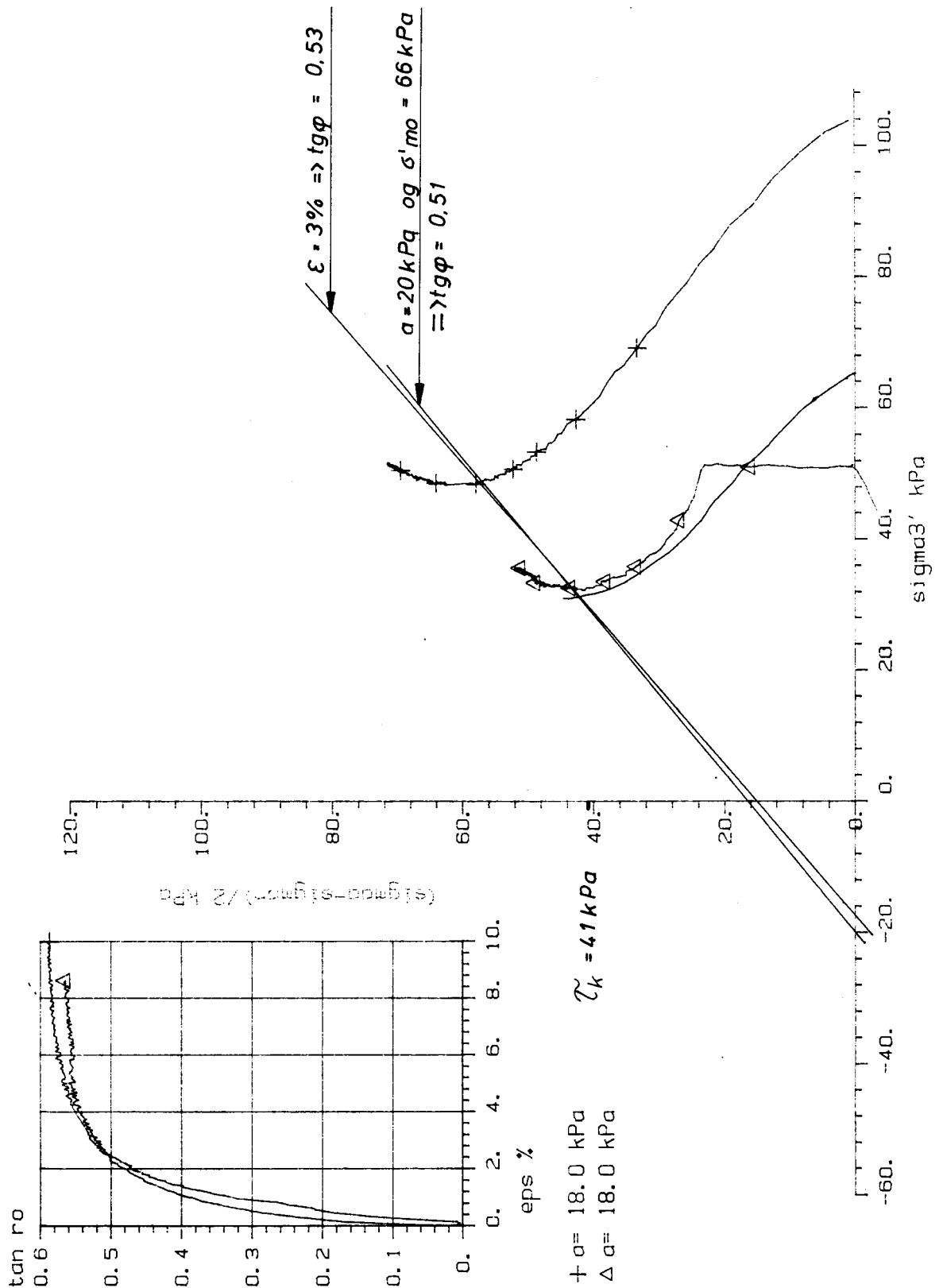
$\sigma'_v \leq \sigma'_p$:
 $M = \text{konstant}$

$\sigma'_v > \sigma'_p$:
 $M = m(\sigma'_v - \sigma'_r)$


Tegn. **EML**
 Dato **Mars 86**
 Kartref.

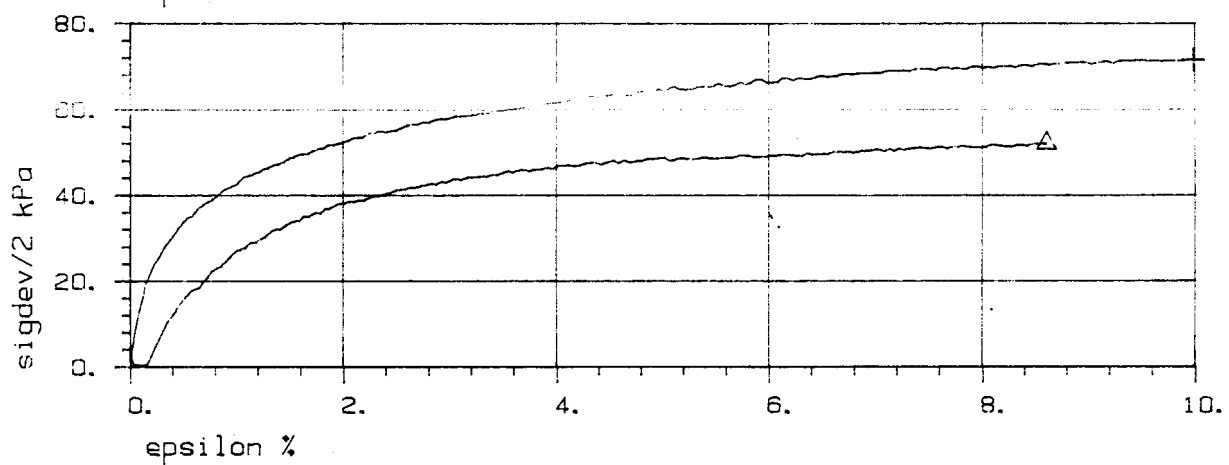
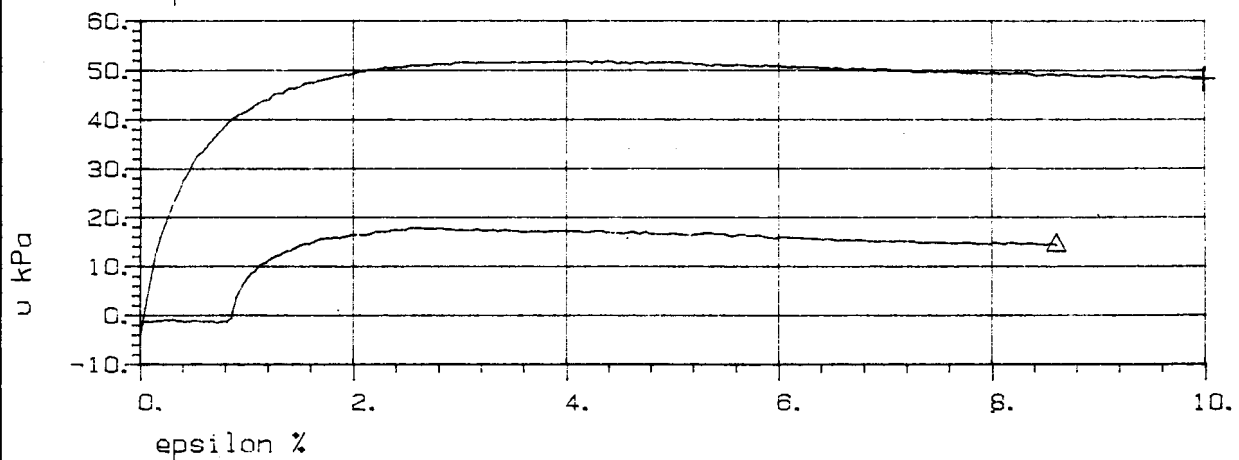
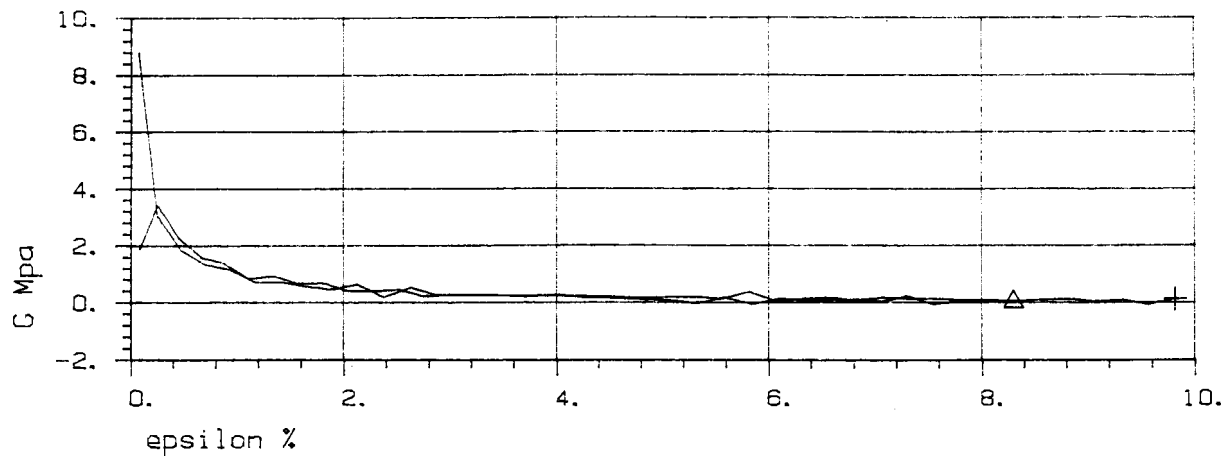
SO 02 II

Tegn. nr.
1796 - 117




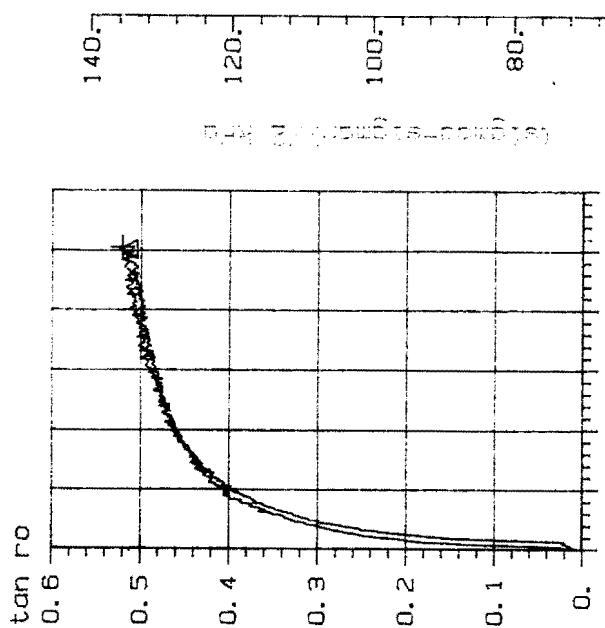
Fors.nr	Symb	Boringnr	Labnr	Dybde, m	sig0' kN/m2	sigc' kN/m2	Forsøkttype
1	+	106	42A	4.60	70.0	100.0	CIUA
2	Δ	106	42B	4.50	70.0	50.0	CIUA

Bokst.	Forandring	Dato	Bokst.	Forandring	Dato
TREAKSIALFORSØK				Tegn. A mo	Dato mai 86
Hovedspenningsvektor				Målestokk	Kartref.
Ny Strømsvei Konows gate				SOE2II	
 OSLO KOMMUNE Geoteknisk kontor				Tegn. nr.	1796 - 118

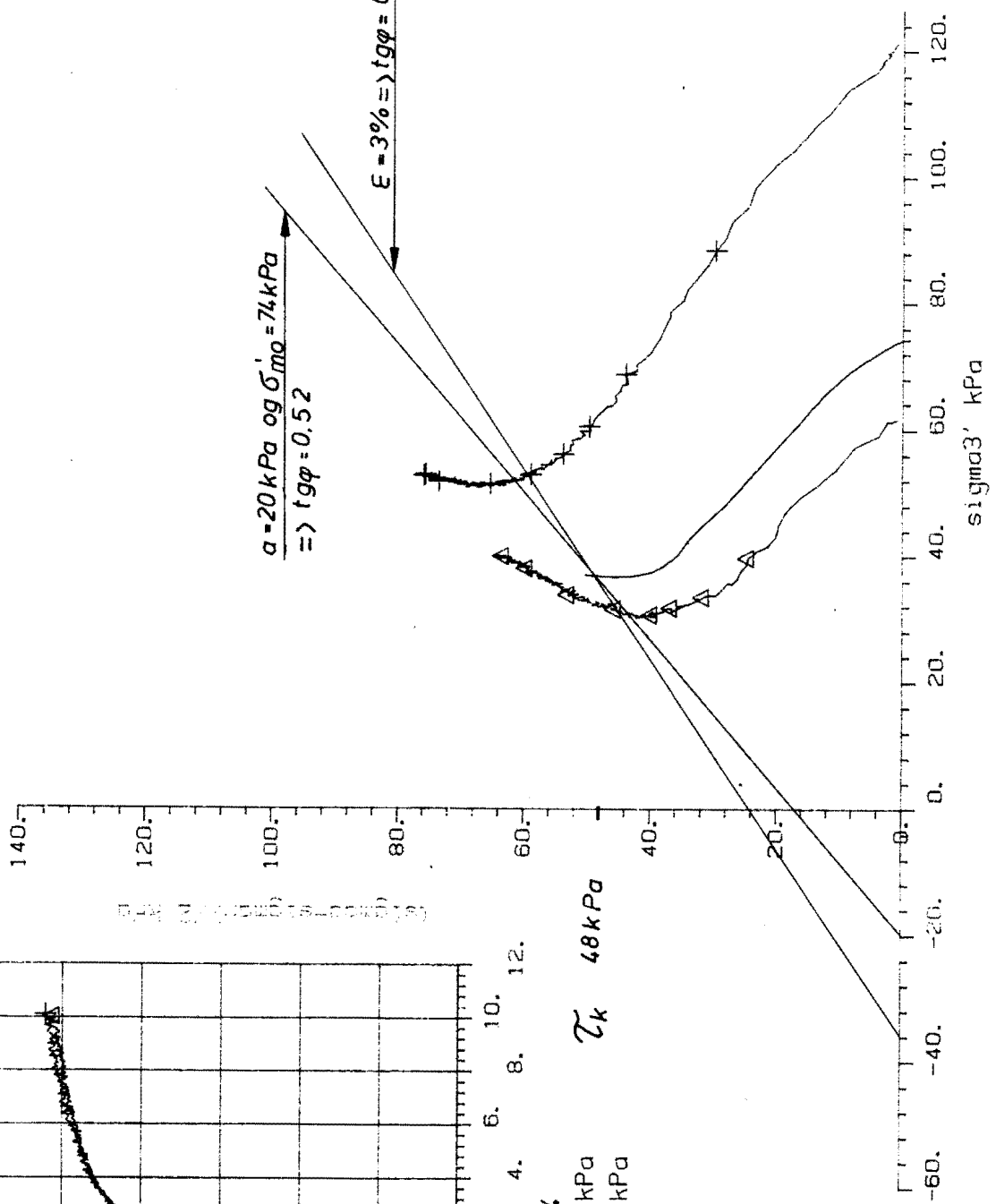


Fors. nr	Symb	Boringnr	Labnr	Dybde, m	sig0' kN/m2	sigc' kN/m2	Forsøkttype
1	+	106	42A	4.60	70.0	100.0	CIUA
2	<	106	42B	4.50	70.0	50.0	CIUA


Bokst.	Forandring	Dato	Bokst.	Forandring	Dato
TREAKSIALFORSØK				Tegn.	Dato
Max skjærspenning, poretrykk og G-modul vs tøyning				Målestokk	Kartref.
Ny Strømsvei Konows gate				SO E2 II	
 OSLO KOMMUNE Geoteknisk kontor				Tegn. nr.	1796 - 119

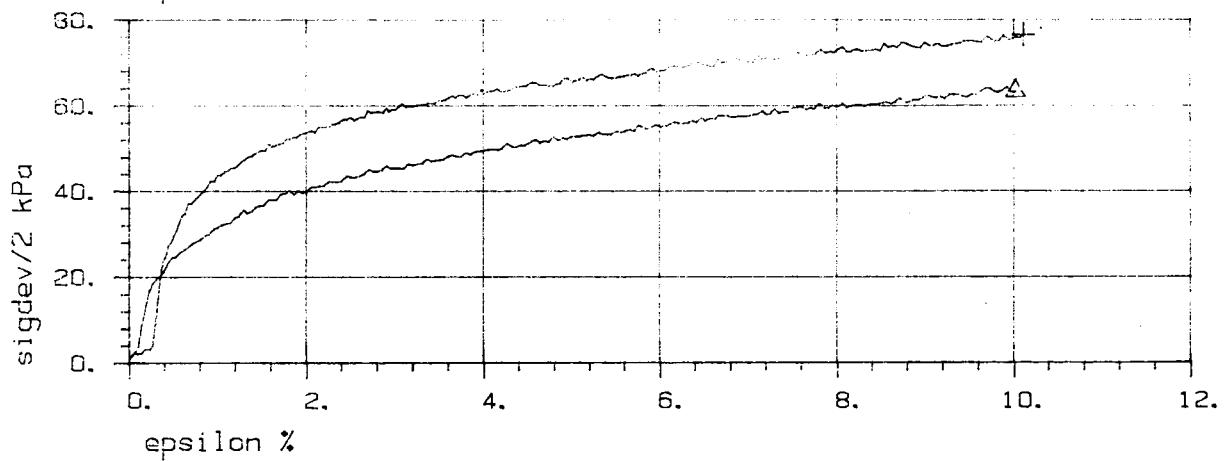
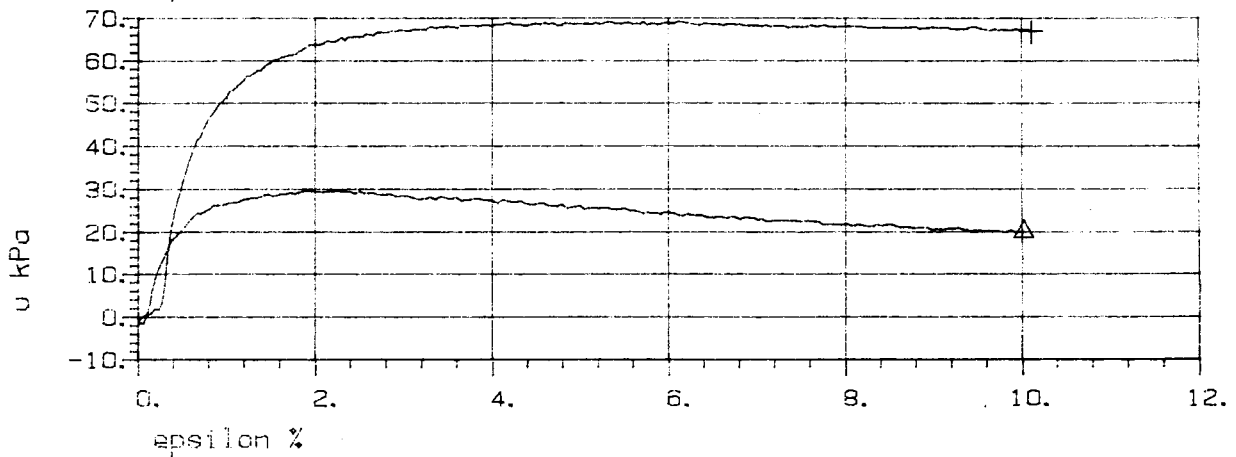
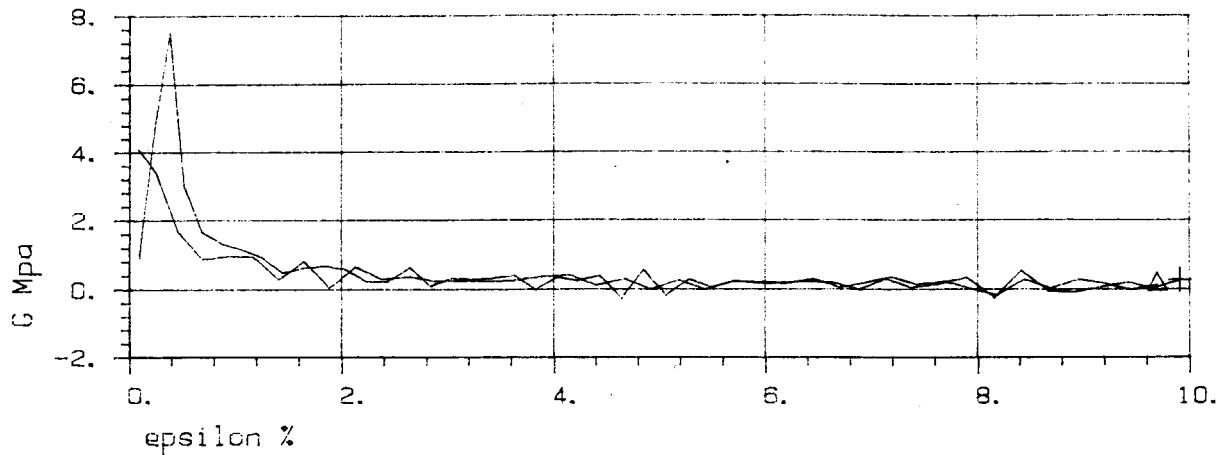


τ_k 48 kPa
 $+ \alpha = 36.0$ kPa
 $\Delta \alpha = 36.0$ kPa




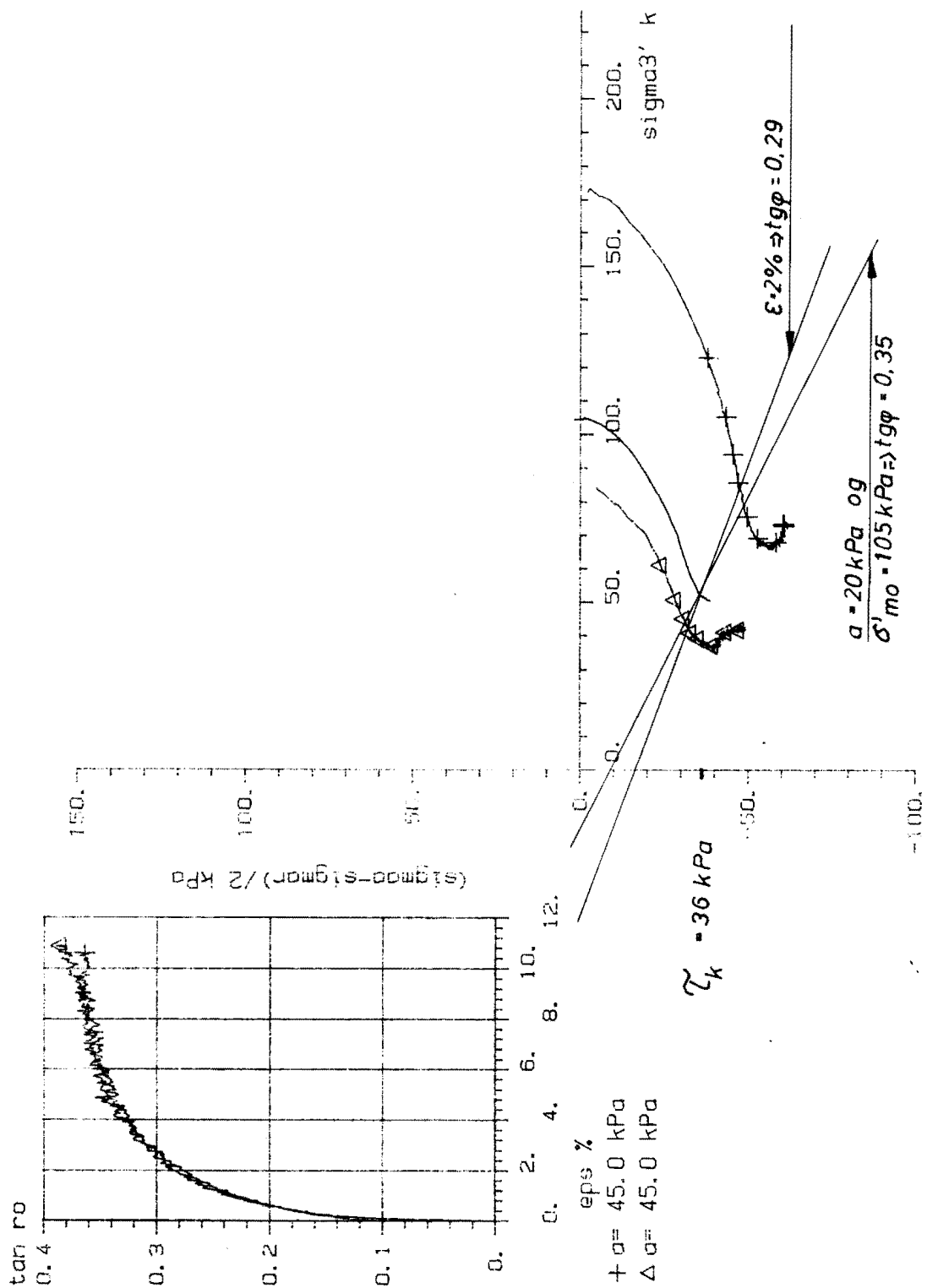
Fors. nr	Symb	Boringnr	Labnr	Dybde, m	σ_0' kN/m ²	σ_1' kN/m ²	Forsøkttype
1	+	106	43A	5.40	80.0	120.0	CIUA
2	Δ	106	43B	5.60	80.0	60.0	CIUA

Bokst.	Forandring	Dato	Bokst.	Forandring	Dato
TREAKSIALFORSØK			Tegn. Amo		Dato mai 86
Hovedspenningsvektor			Målestokk		Kartref.
Ny Strømsvei Konows gate					SOE2II
 OSLO KOMMUNE Geoteknisk kontor			Tegn. nr.		1796 - 120




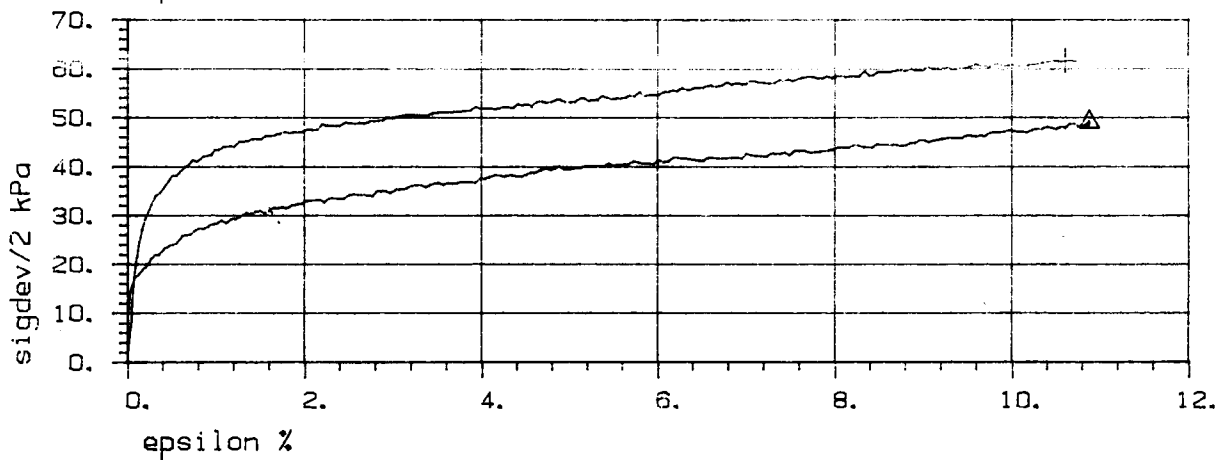
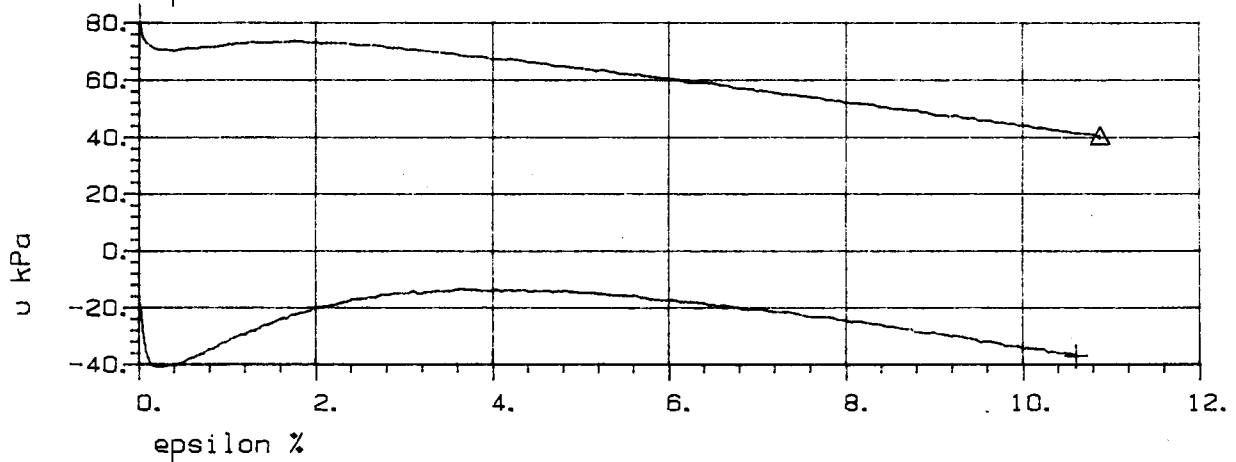
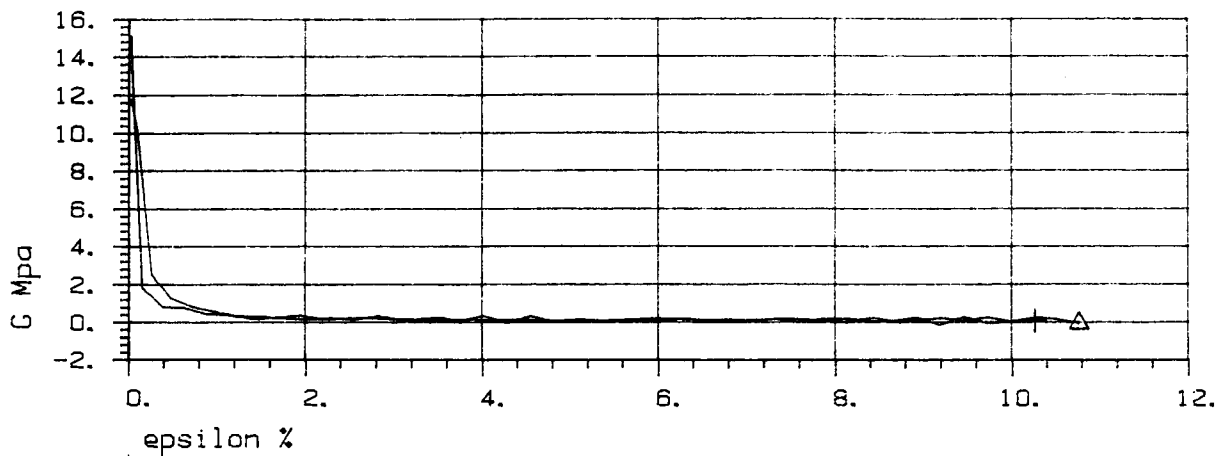
Fors. nr	Symb	Boringnr	Labnr	Dybde, m	sig0' kN/m2	sigc' kN/m2	Forsøkttype
1	+	106	43A	5.40	80.0	120.0	CIUA
2	<	106	43B	5.60	80.0	80.0	CIUA

Bokst.	Forandring	Dato	Bokst.	Forandring	Dato
TREAKSIALFORSØK			Tegn.		Dato
Max skjærspenning, poretrykk og G-modul vs tøyning			Målestokk		Kartref.
Ny Strømsvei Konows gate					SO E2II
 OSLO KOMMUNE Geoteknisk kontor			Tegn. nr. 1796 - 121		




Fors. nr	Symb	Boringnr	Labnr	Dybde, m	σ_0' kN/m ²	σ_c' kN/m ²	Forsøkttype
1	+	106	46A	8.40	130.0	160.0	CIUP
2	Δ	106	46B	8.50	130.0	80.0	CIUP

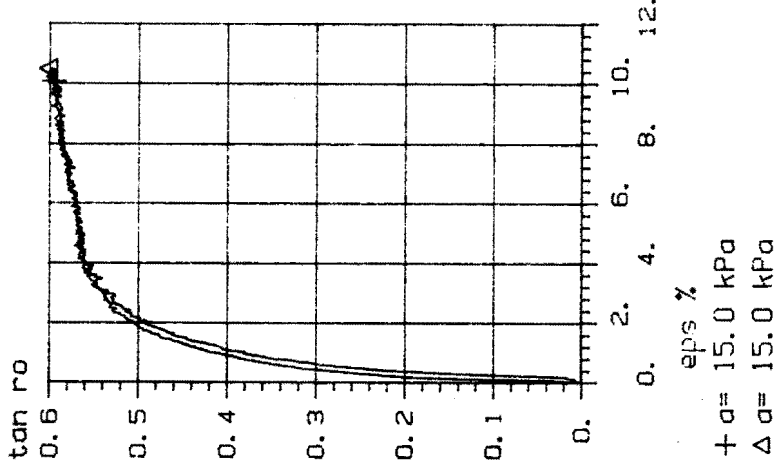
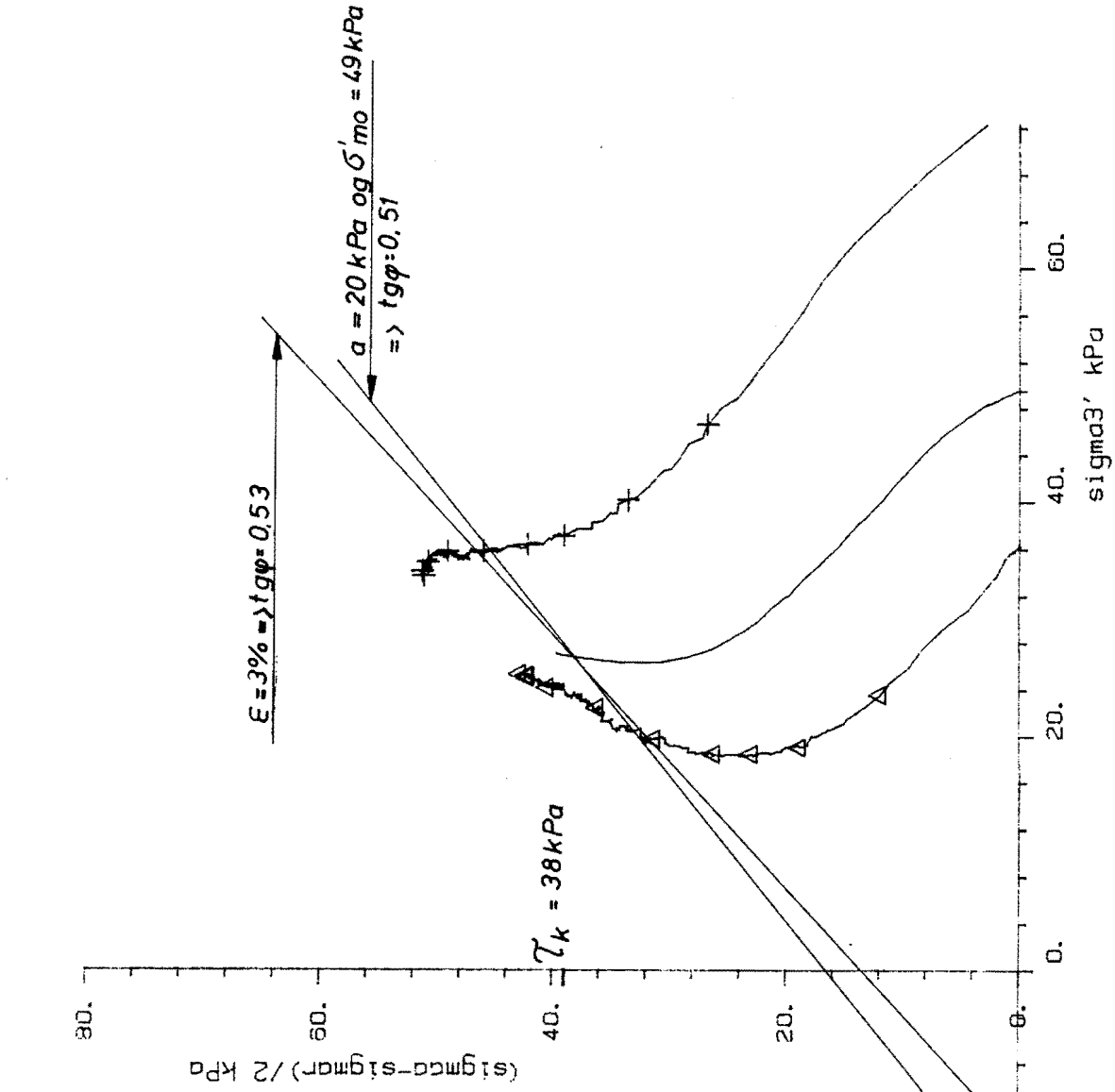
Bokst.	Forandring	Dato	Bokst.	Forandring	Dato
TREAKSIALFORSØK			Tegn. Amo		Dato mai 86
Hovedspenningsvektor			Målestokk		Kartref.
Ny Strømsvei Konows gate					SO E2II
 OSLO KOMMUNE Geoteknisk kontor			Tegn. nr. 1796-122		




Fors.nr	Symb	Boringnr	Labnr	Dybde, m	sig0' kN/m2	sigc' kN/m2	Forsøkttype
1	+	106	46A	8.40	130.0	160.0	CIUP
2	△	106	46B	8.50	130.0	80.0	CIUP

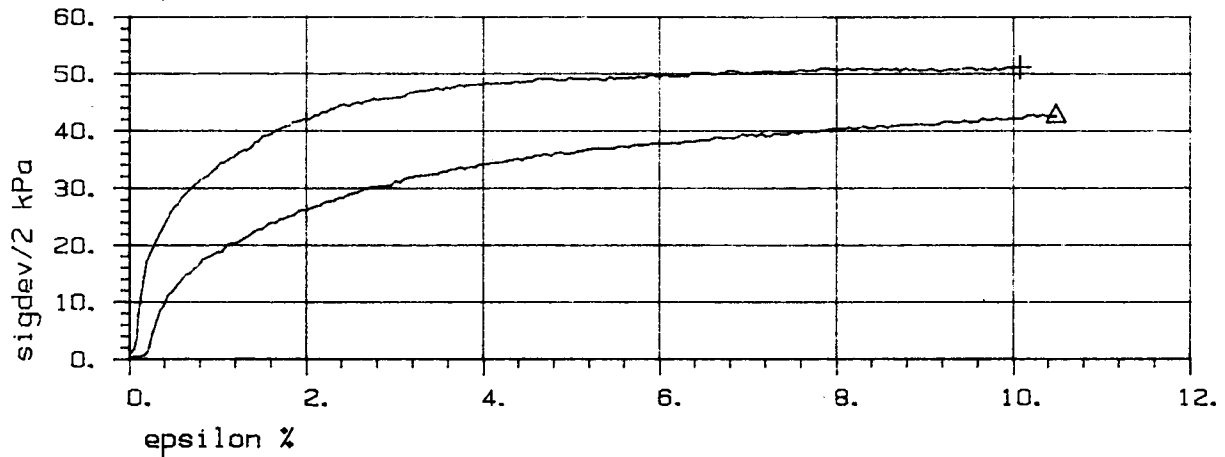
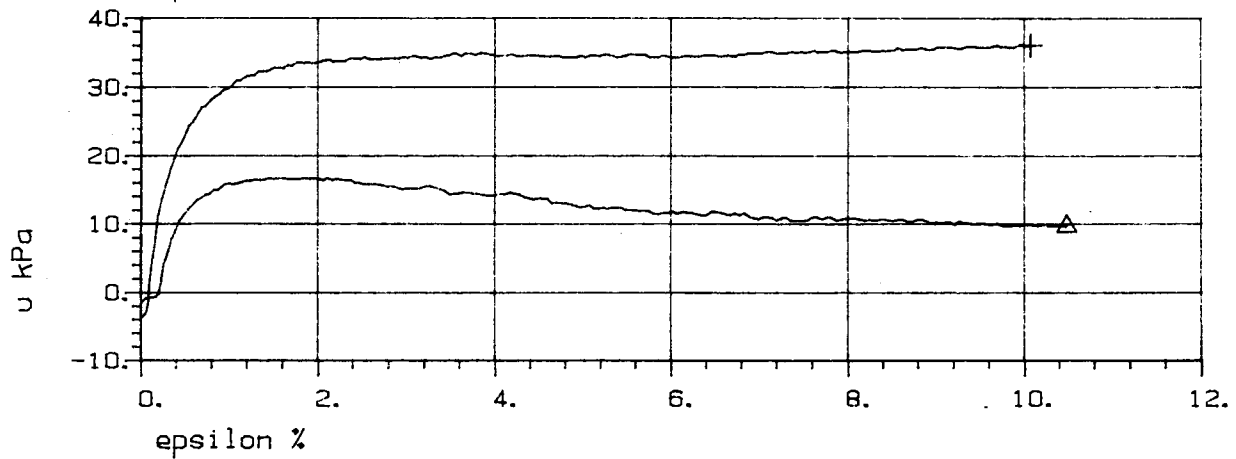
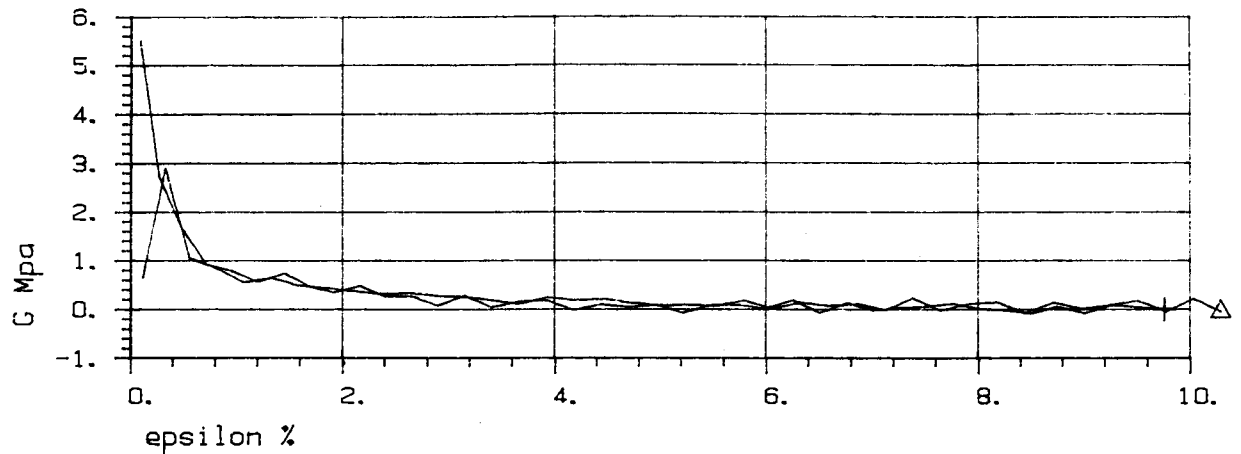
Bokst.	Forandring	Dato	Bokst.	Forandring	Dato
TREAKSIALFORSØK				Tegn.	Dato
Max skjærspenning, poretrykk og G-modul vs tøyning				Målestokk	Kartref.
Ny Strømsvei Konows gate					SOE2II
 OSLO KOMMUNE Geoteknisk kontor				Tegn. nr.	1796-123

A. S. LÖNNERUD




Fors. nr	Symb	Boringnr	Labnr	Dybde, m	sig ₀ ' kN/m ²	sig _c ' kN/m ²	Forsøkttype
1	+	108	52A	3.60	50.0	70.0	CIUA
2	Δ	108	52B	3.50	50.0	35.0	CIUA

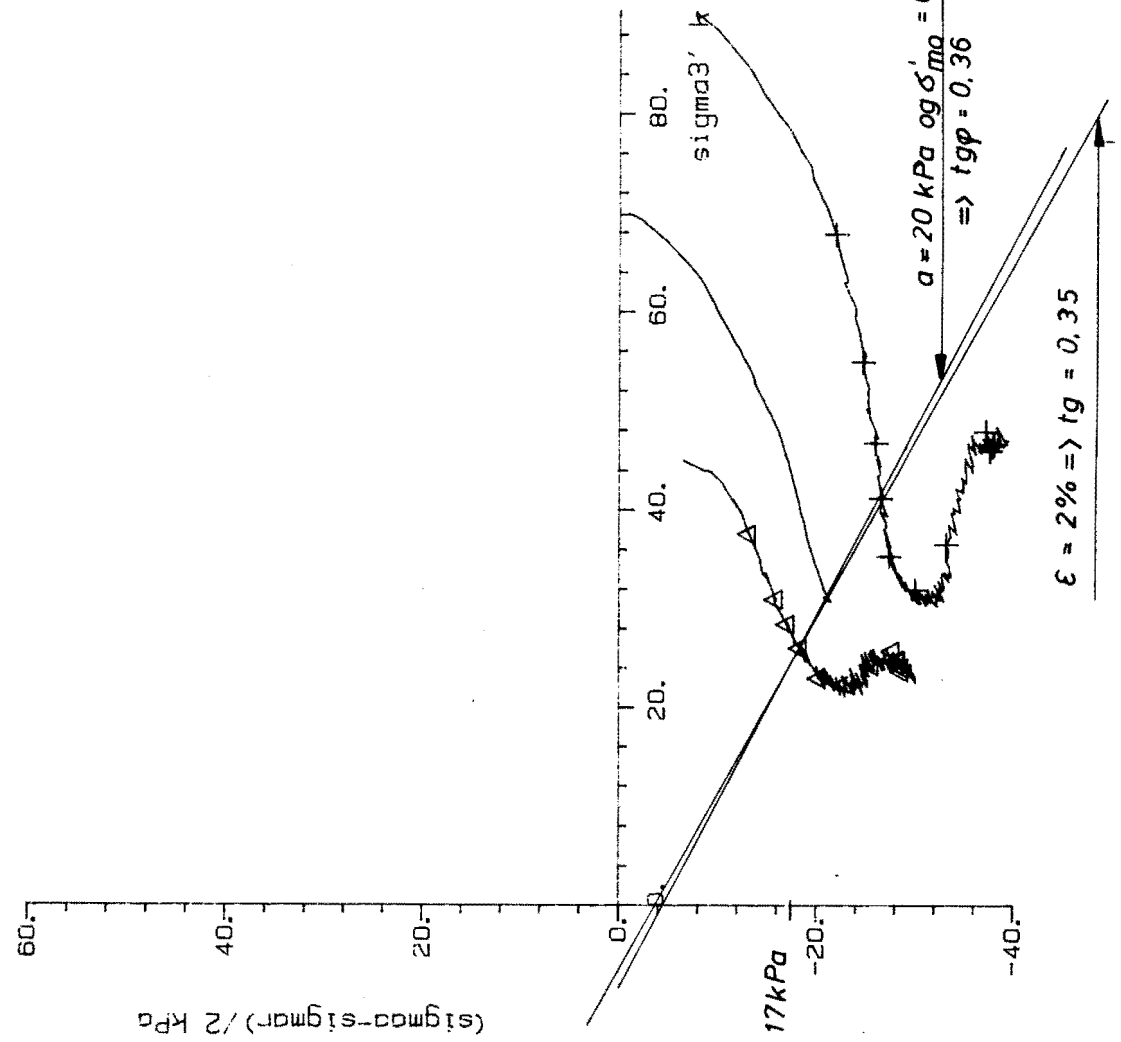
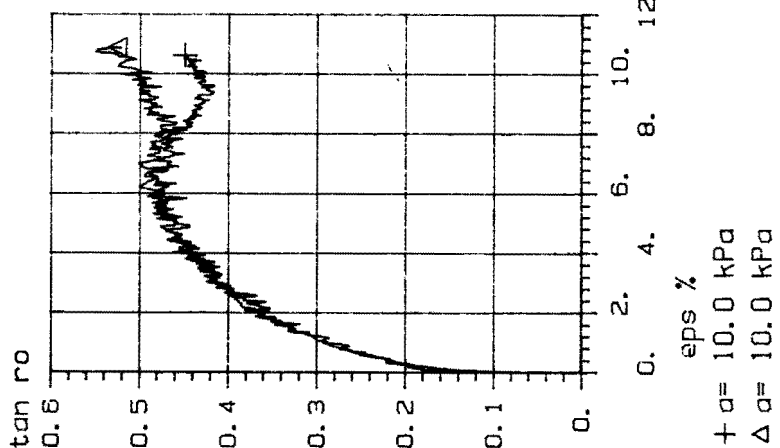
Bokst.	Forandring	Dato	Bokst.	Forandring	Dato
TREAKSIALFORSØK			Tegn. Amo		Dato mai 86
Hovedspenningsvektor			Målestokk		Kartref.
Ny Strømsvei Konows gate					SO E2 II
 OSLO KOMMUNE Geoteknisk kontor			Tegn. nr.		1796-124




Fors. nr	Symb	Boringnr	Labnr	Dybde, m	sig0' kN/m2	sigc' kN/m2	Forsøkttype
1	+	108	S2A	3.60	50.0	70.0	CIUA
2	<	108	S2B	3.50	50.0	35.0	CIUA

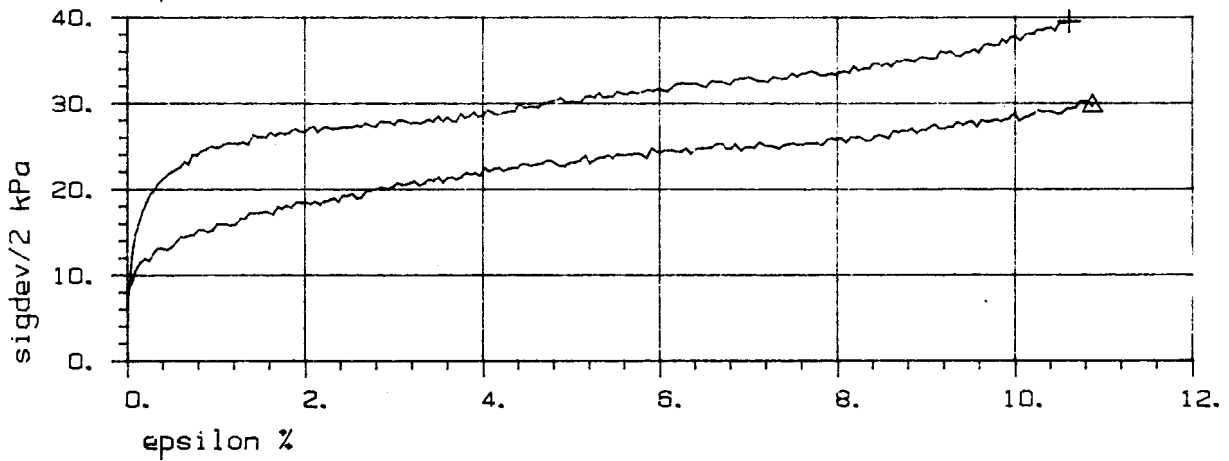
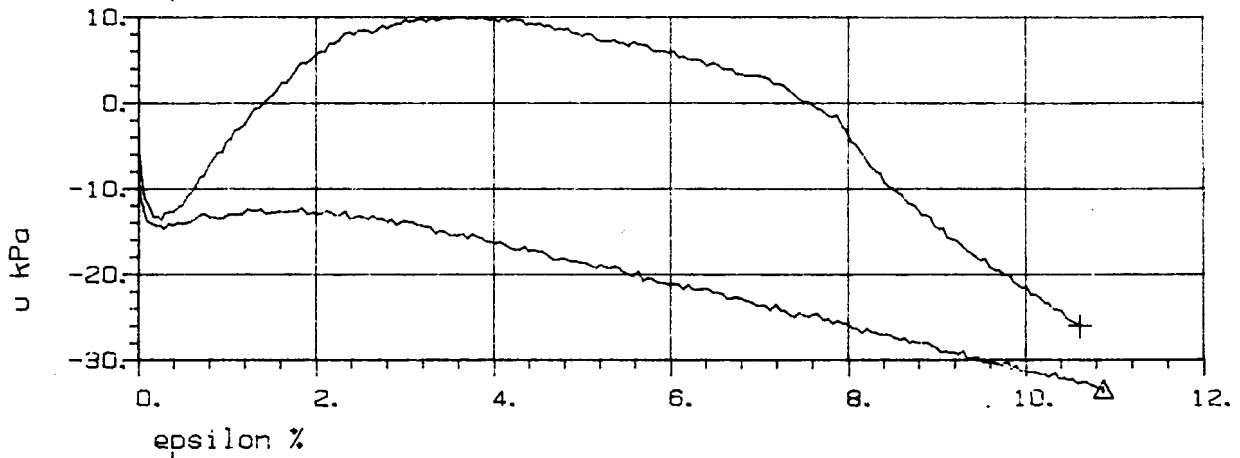
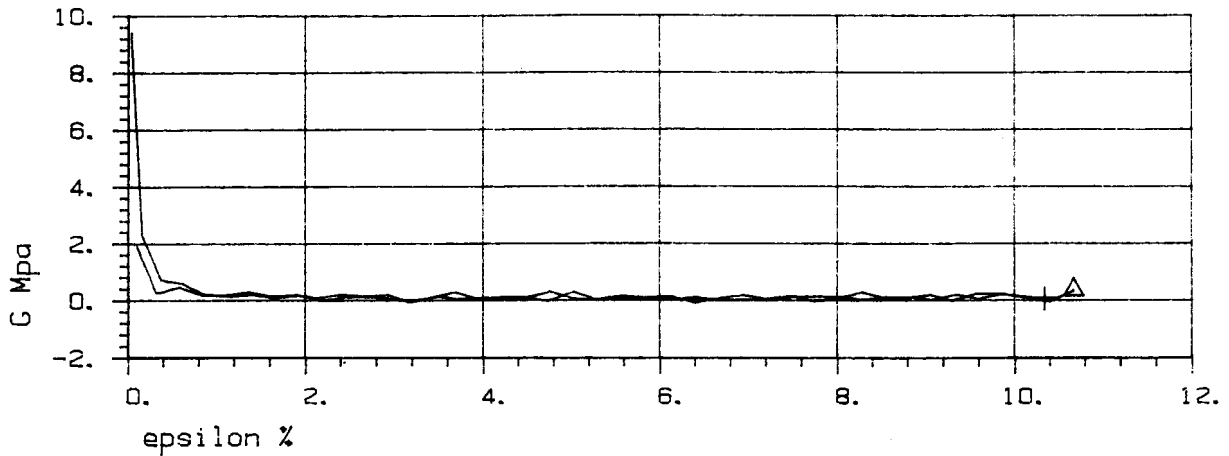
Bokst.	Forandring	Dato	Bokst.	Forandring	Dato
TREAKSIALFORSØK			Tegn.		Dato
Max skjærspenning, poretrykk og G-modul vs tøyning			Målestokk		Kartref.
Ny Strømsvei Konows gate					SO E 2II
 OSLO KOMMUNE Geoteknisk kontor			Tegn. nr.		1796-125

A S TEGNINGSKONTOR




Fors. nr	Symb	Boringnr	Labnr	Dybde, m	sig0' kN/m2	sigc' kN/m2	Forsøkttype
1	+	108	54A	5.50	68.0	100.0	CIUP
2	Δ	108	54B	5.60	68.0	50.0	CIUP

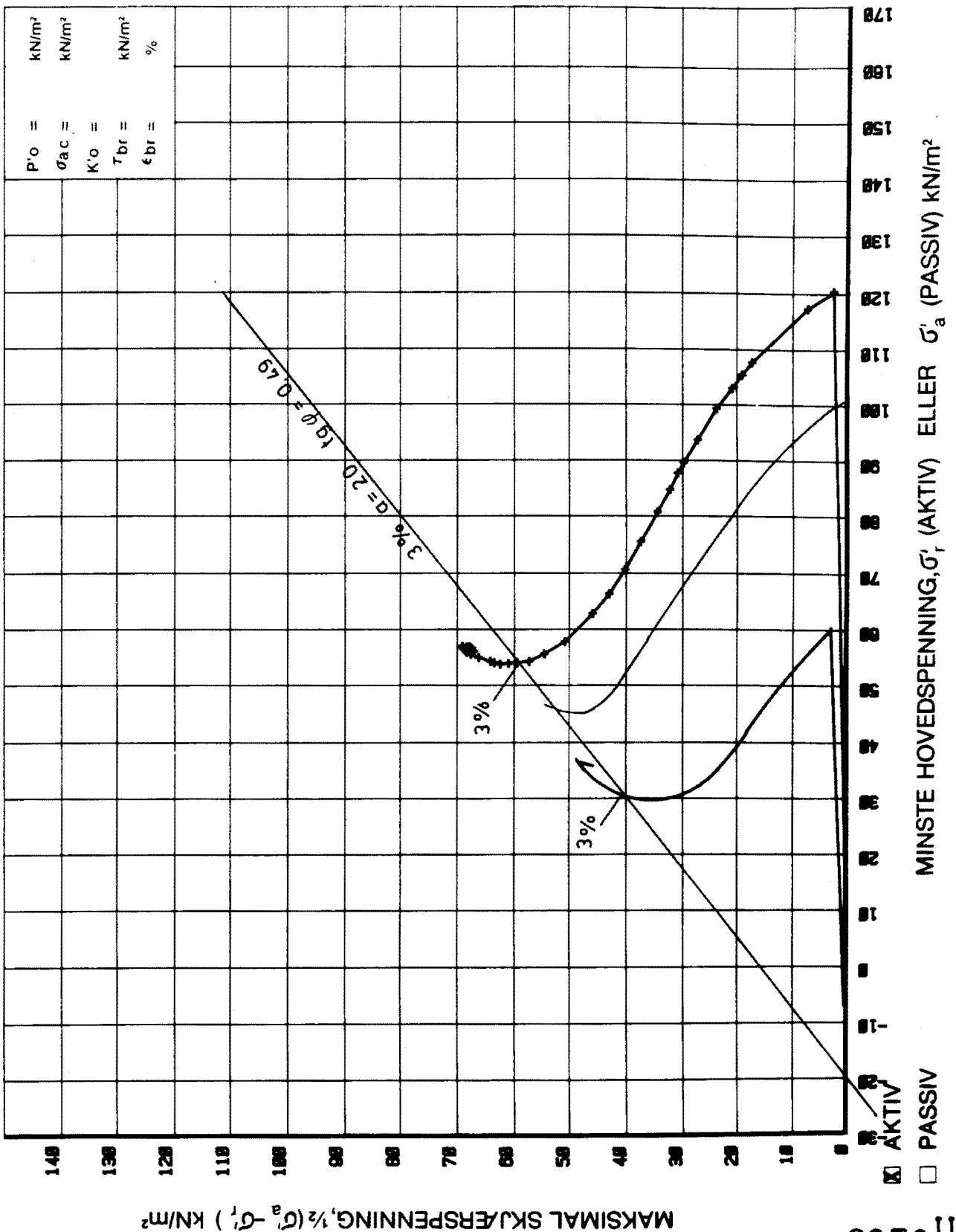
Bokst.	Forandring	Dato	Bokst.	Forandring	Dato
TREAKSIALFORSØK			Tegn. Amo		Dato mai 86
Hovedspenningsvektor			Målestokk		Kartref.
Ny Strømsvei Konows gate					SO E 2 II
 OSLO KOMMUNE Geoteknisk kontor			Tegn. nr.		1796-126




Fors.nr	Symb	Boringnr	Labnr	Dybde, m	sig0' kN/m2	sigc' kN/m2	Forsøkstype
1	+	108	54A	5.50	68.0	100.0	CIUP
2	<	108	54B	5.60	68.0	50.0	CIUP

Bokst.	Forandring	Dato	Bokst.	Forandring	Dato
TREAKSIALFORSØK				Tegn.	Dato
Max skjærspenning, poretrykk og G-modul vs tøyning				Målestokk	Kartref.
Ny Strømsvei Konows gate				SOE2II	
 OSLO KOMMUNE Geoteknisk kontor				Tegn. nr.	1796-127

A.S. TERNHOLM

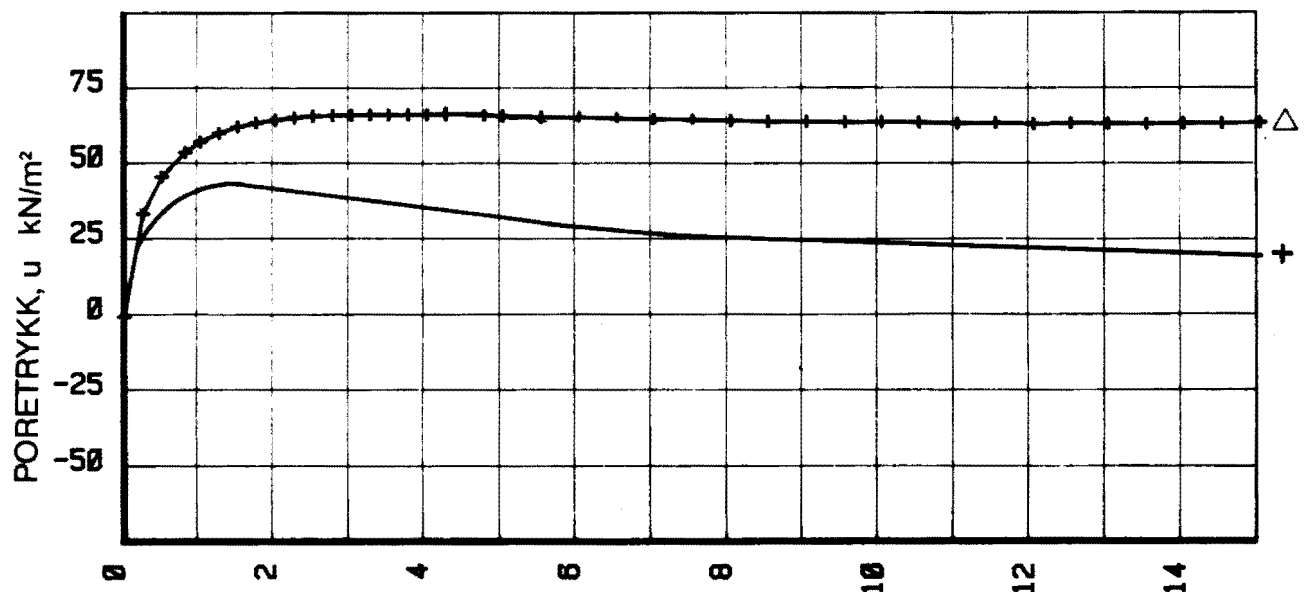
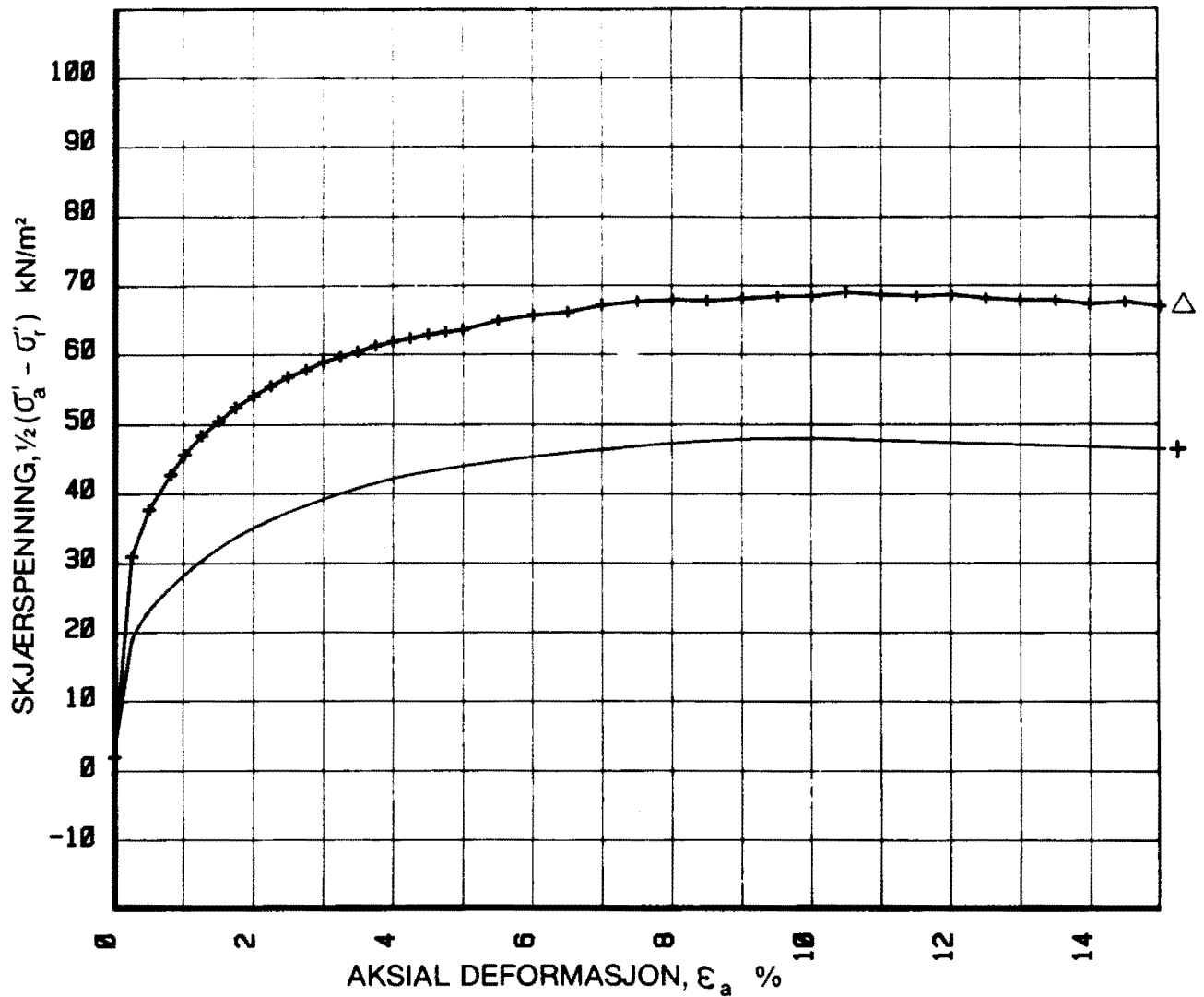


SOE2 III

TREAKSIALFORSØK HOVEDSPENNINGSVEKTOR	BORING NR.	TEGNET	REV.
	Hull 133	SK	
GAMLEBYEN - VÅLERENGA TRAFIKKLØSNING V/KONOWSGATE	DYBDE m (KOTE)	KONTR.	KONTR.
	7.85		
	TEGN. NR.	REV.	SIDE
	NOTE 75 og -BY 77		R-1796 -128 Geoteknisk kontor
OPPORAG NR.			
24962			

Oslo-Norge A.S. - S. & J. Sørensen A/S

400-796



$\sigma'_{ac} = 60.0 \text{ kN/m}^2$
 $\sigma'_{ac} = 120.0 \text{ kN/m}^2$

$\sigma'_{rc} = 59.8 \text{ kN/m}^2$
 $\sigma'_{rc} = 120.1 \text{ kN/m}^2$

$w_i = 31.0 \%$ +
 $w_i = 30.9 \%$ Δ SOE2 III

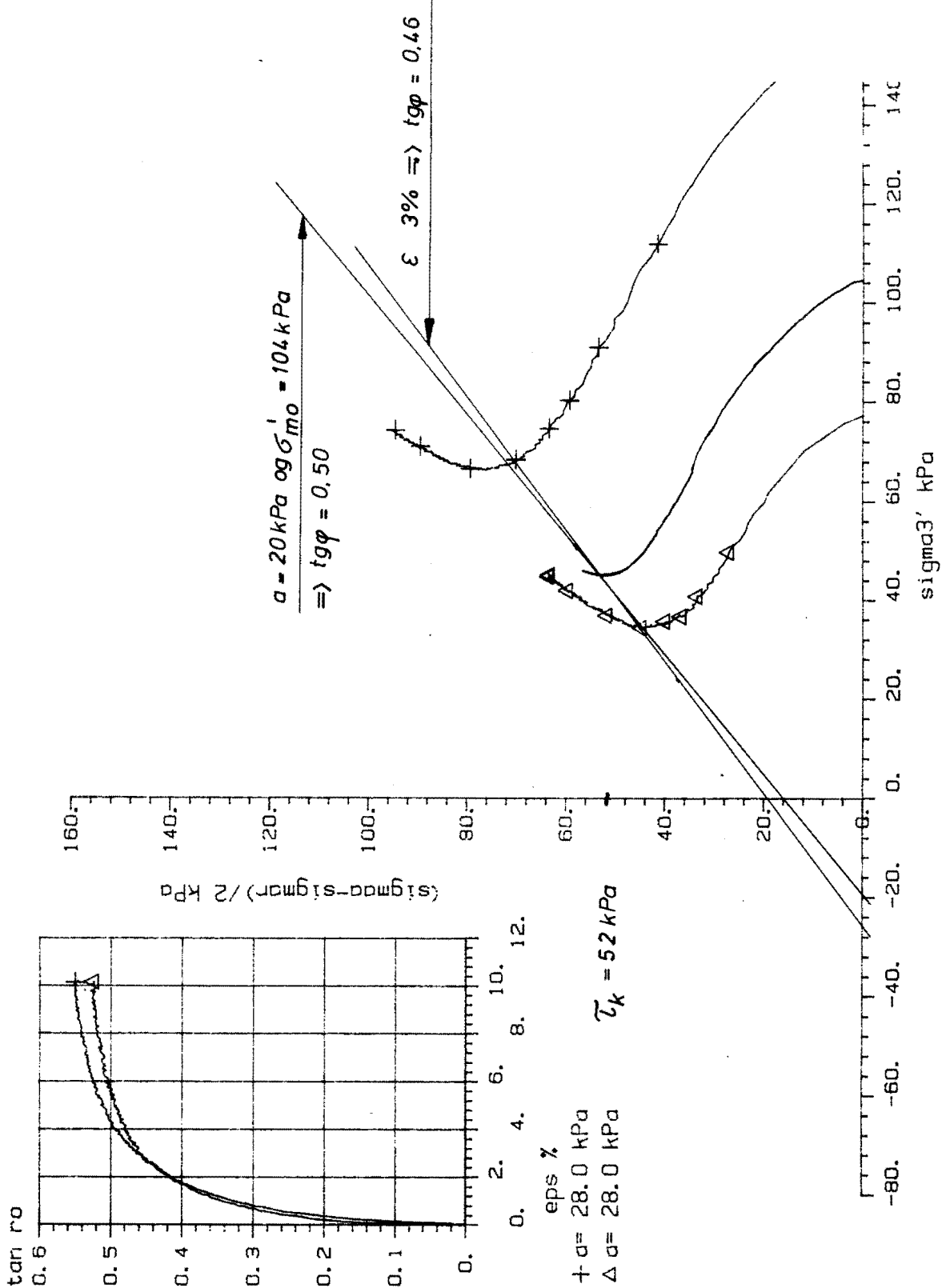
TREAKSIALFORSØK
 ARBEIDSKURVE - PORETRYKK

GAMLEBYEN - VÅLERENGA
TRAFIKKLØSNING V/KONOWSGATE


BORING NR. Hull 133	TEGNET SK	REV.
DYBDE m (KOTE) 7.85	KONTR.	KONTR.
	DATO 4/4-84	DATO
TEGN. NR. NOTE - BY 76 og 78	REV.	SIDE R1796 - 129 Geoteknisk kontor

OPPDRAK NR.
24962

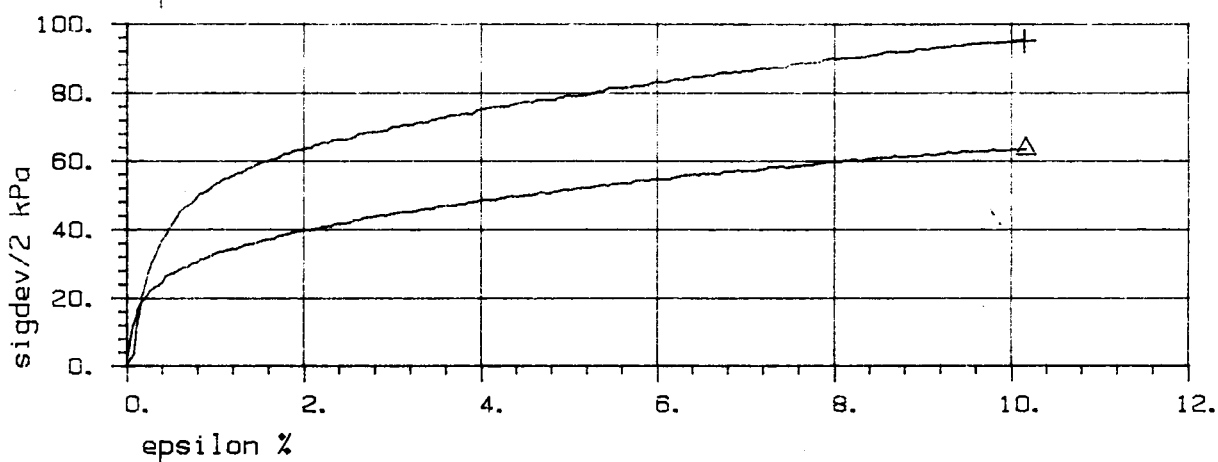
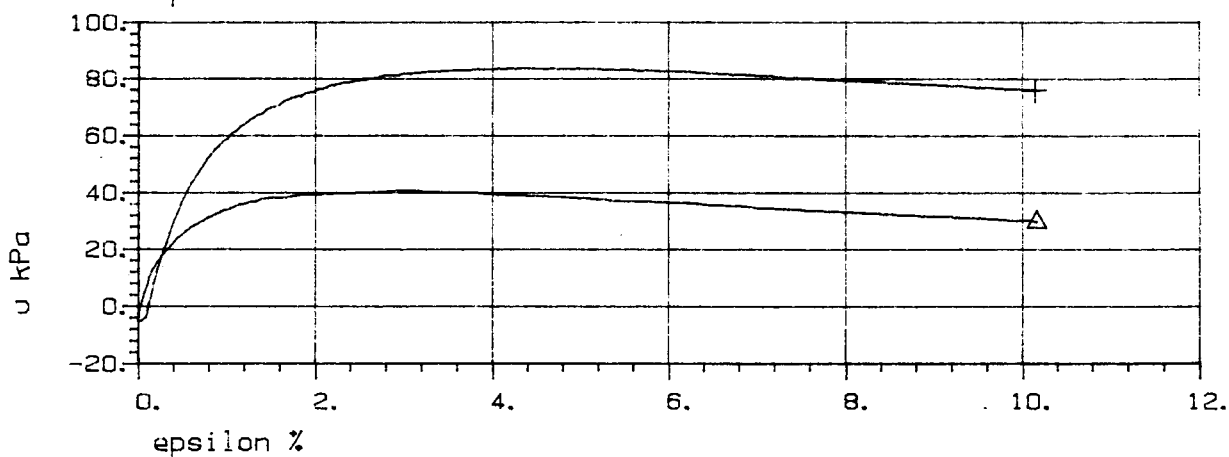
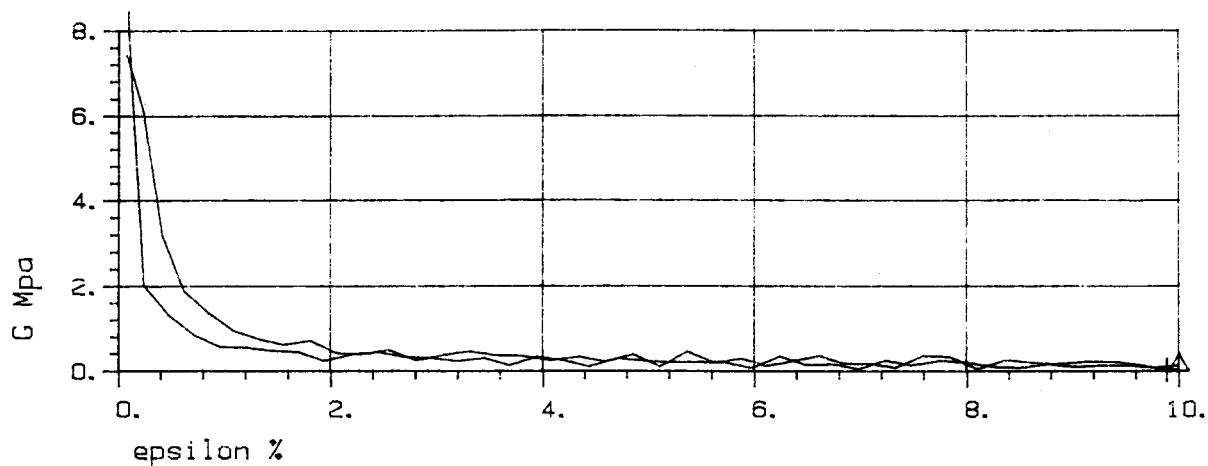





Fors. nr	Symb	Boringnr	Labnr	Dybde, m	sig0' kN/m2	sigc' kN/m2	Forsøkttype
1	+	138	7A	8.50	115.0	150.0	CIUA
2	Δ	138	7B	8.60	115.0	75.0	CIUA

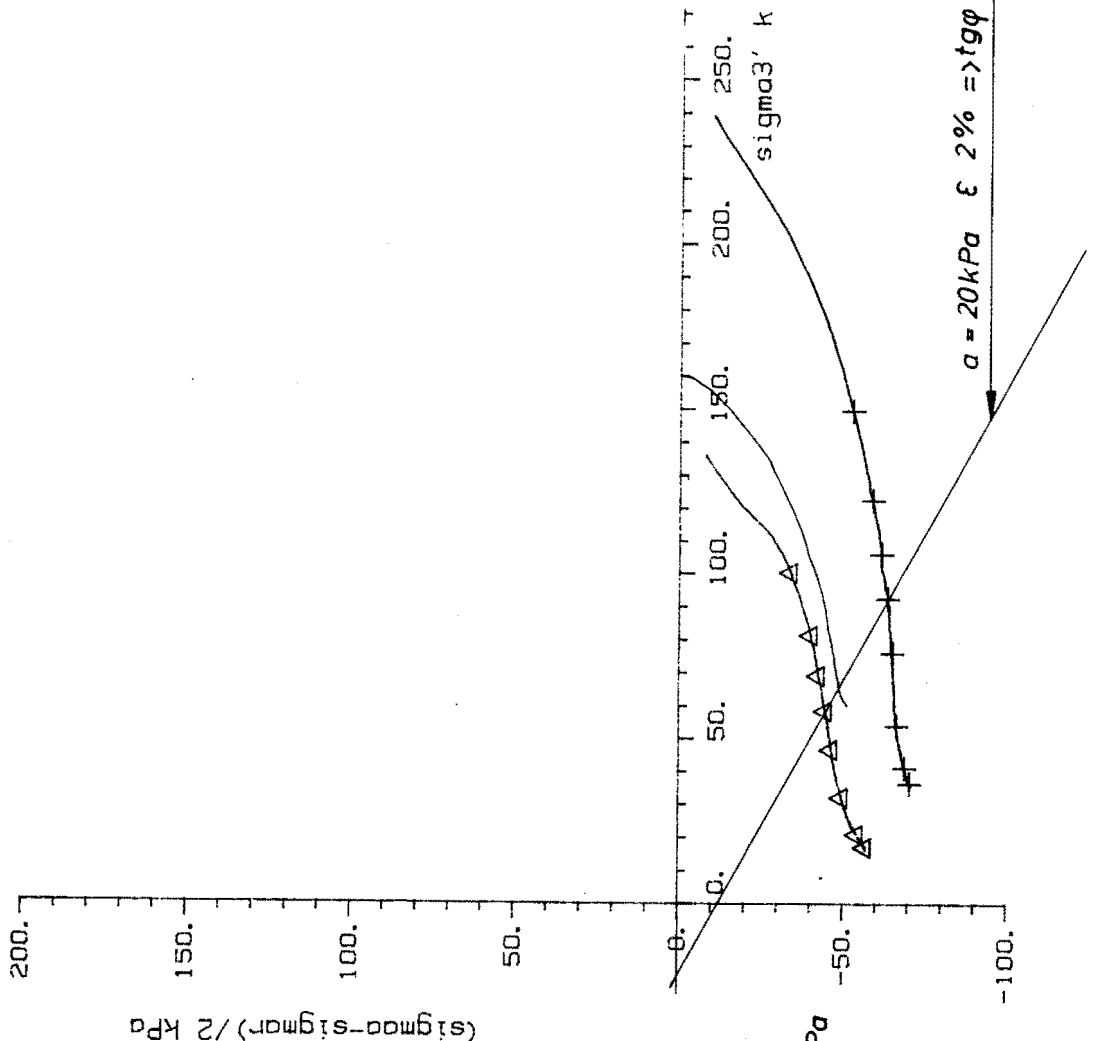
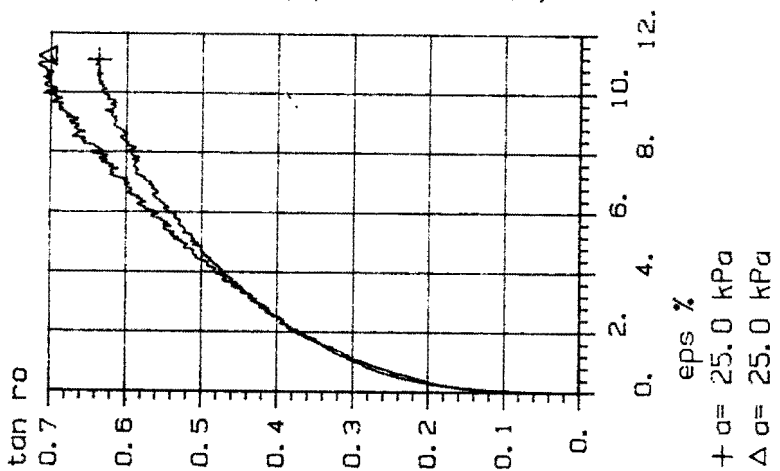
Bokst.	Forandring	Dato	Bokst.	Forandring	Dato
TREAKSIALFORSØK			Tegn. Amo		Dato mai 86
Hovedspenningsvektor			Målestokk		Kartref.
Loelvdalen Konows gate					SOE2 III
 OSLO KOMMUNE Geoteknisk kontor			Tegn. nr.		1796-130

A. S. LOMVIKUM




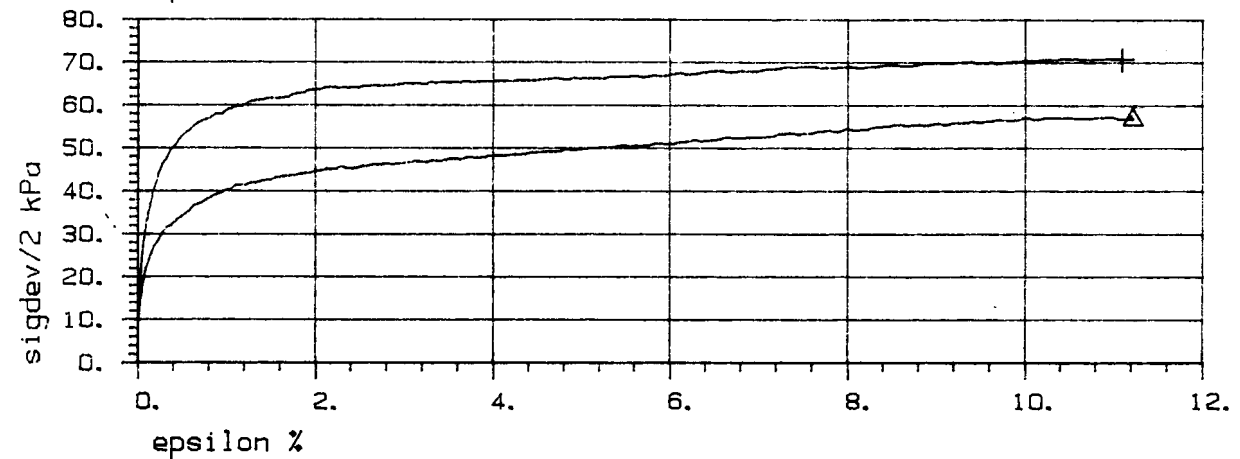
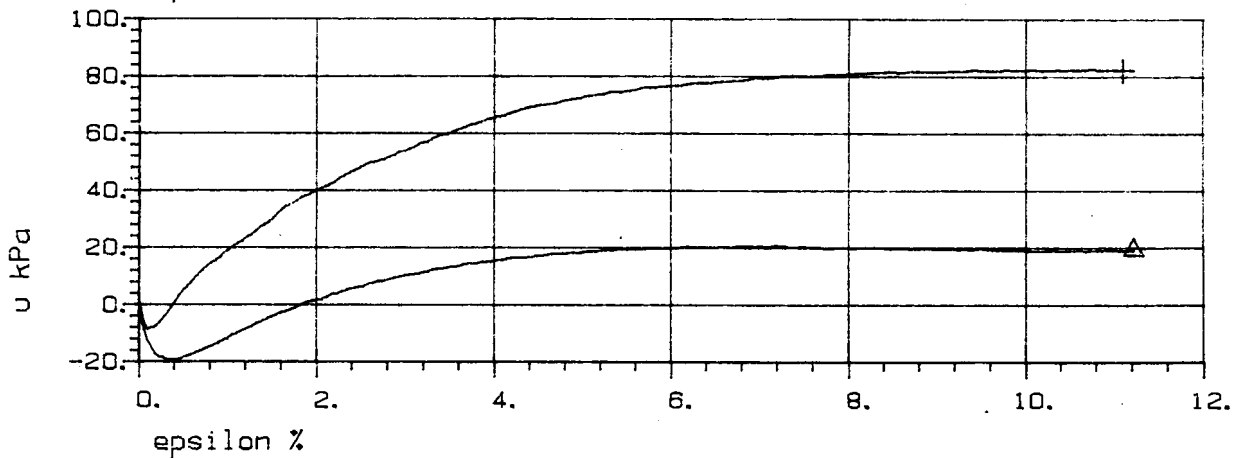
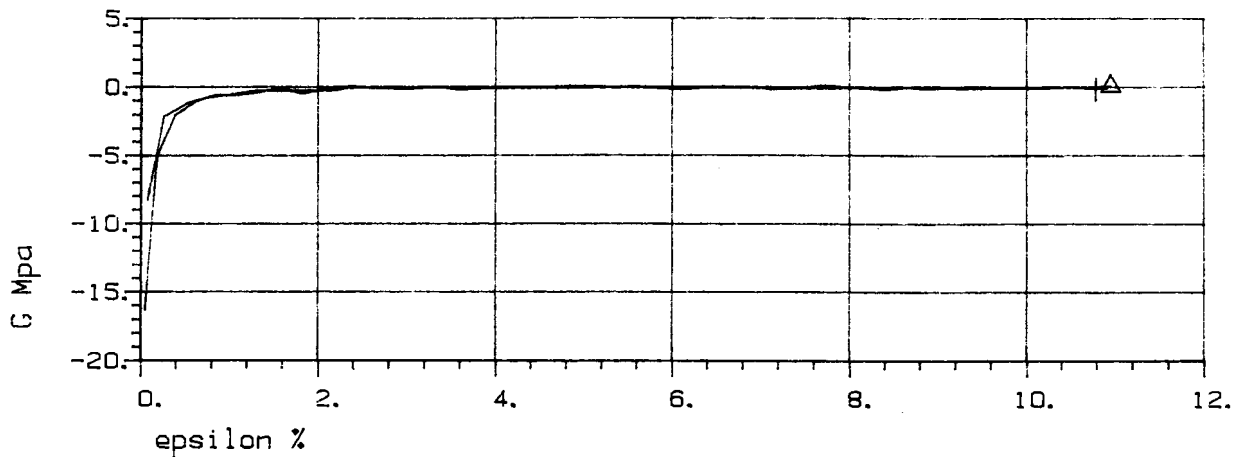
Fors.nr	Symb	Boringnr	Labnr	Dybde, m	sig0' kN/m2	sigc' kN/m2	Forsøkttype
1	+	138	7A	8.50	115.0	150.0	CIUA
2	<	138	7B	8.60	115.0	75.0	CIUA

Bokst.	Forandring	Dato	Bokst.	Forandring	Dato
TREAKSIALFORSØK				Tegn.	Dato
Max skjærspenning, poretrykk og G-modul vs tøyning				Målestokk	Kartref.
Loelvdalen Konows gate					SO E2 III
 OSLO KOMMUNE Geoteknisk kontor				Tegn. nr.	1796-131




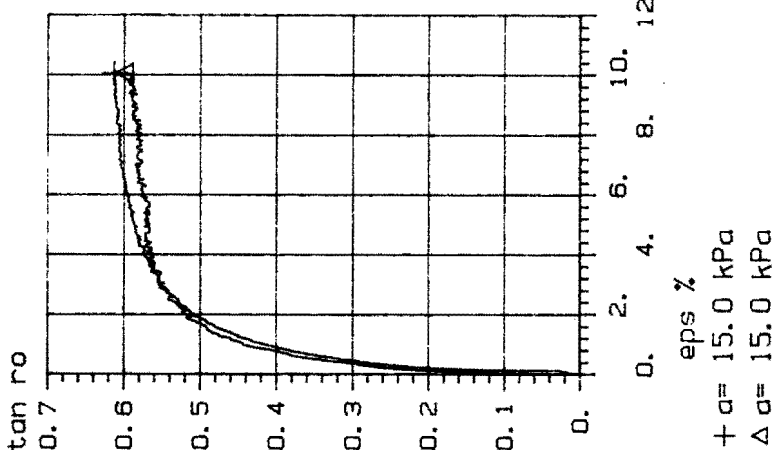
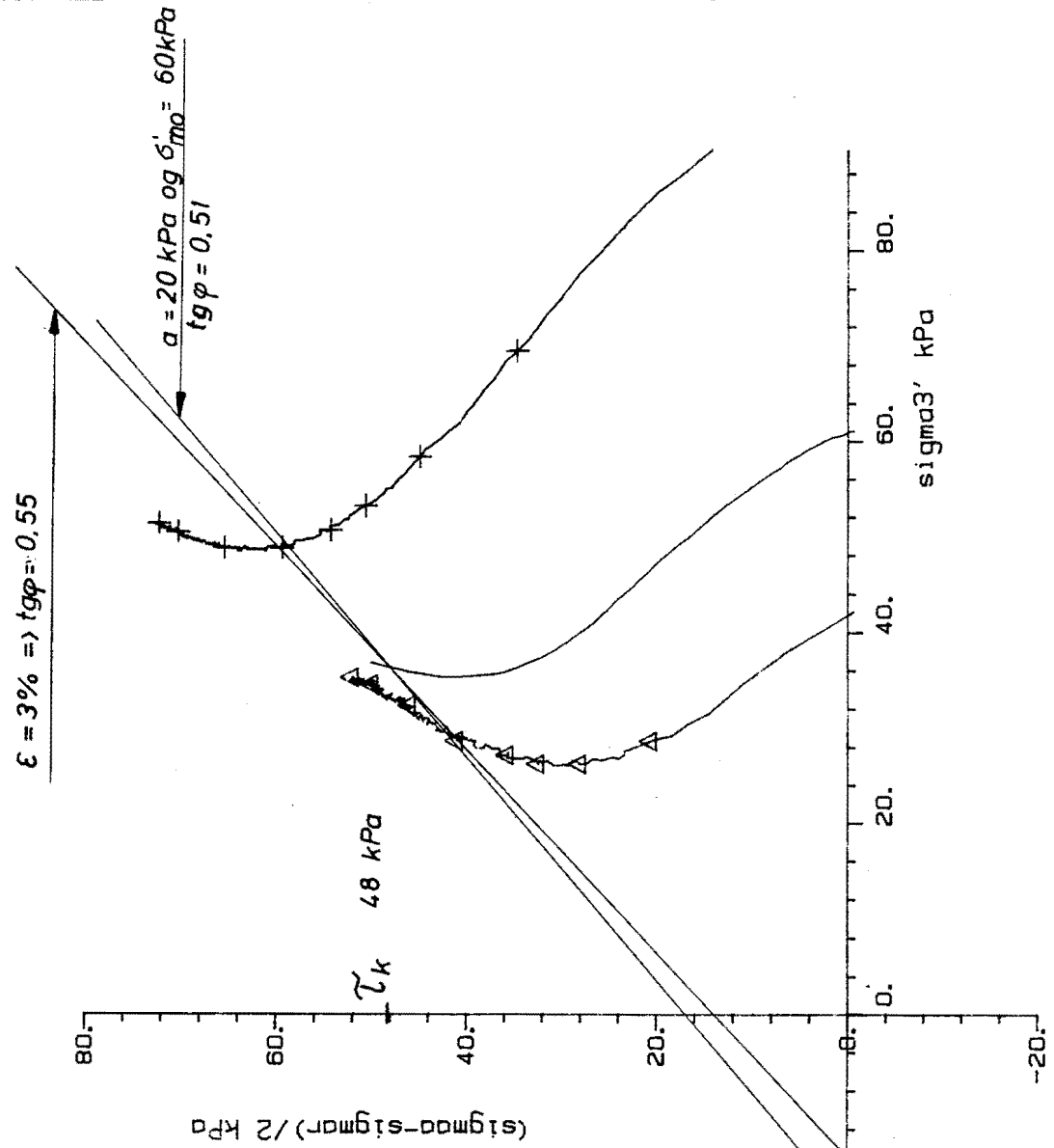
Fors. nr	Symb	Boringnr	Labnr	Dybde, m	sig ₀ ' kN/m ²	sig _c ' kN/m ²	Forsøkttype
1	+	138	12B	14.60	215.0	260.0	CIUP
2	Δ	138	12C	14.80	215.0	150.0	CIUP

Bokst.	Forandring	Dato	Bokst.	Forandring	Dato
TREAKSIALFORSØK			Tegn. A mo		Dato mai 86
Hovedspenningvektor			Målestokk		Kartref.
Ny Strømsvei Konows gate					SOE2 III
 OSLO KOMMUNE Geoteknisk kontor			Tegn. nr.		1796-132




Fors.nr	Symb	Boringnr	Labnr	Dybde.m	sig0' kN/m2	sigc' kN/m2	Forsøkttype
1	+	138	12B	14.60	215.0	260.0	CIUP
2	<	138	12C	14.80	215.0	150.0	CIUP

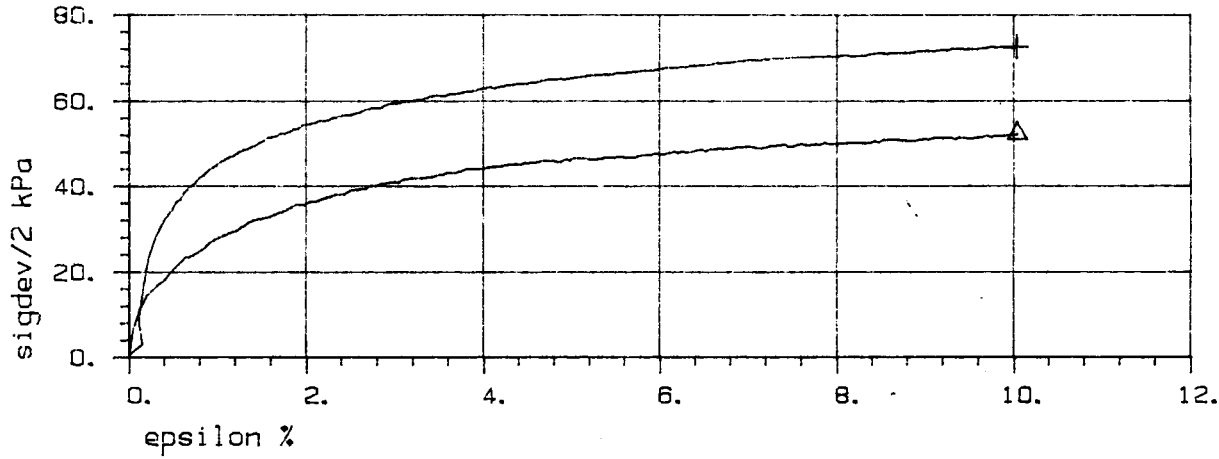
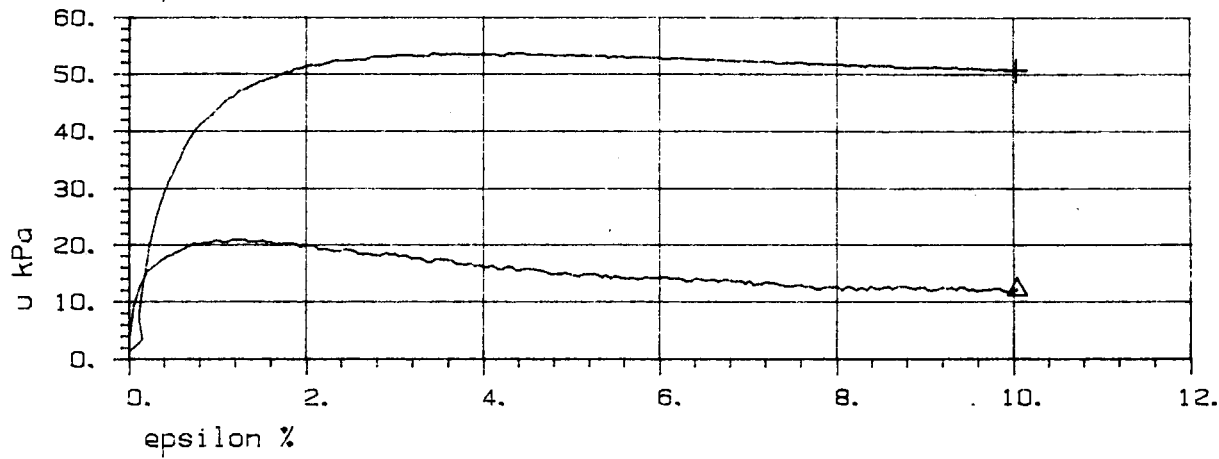
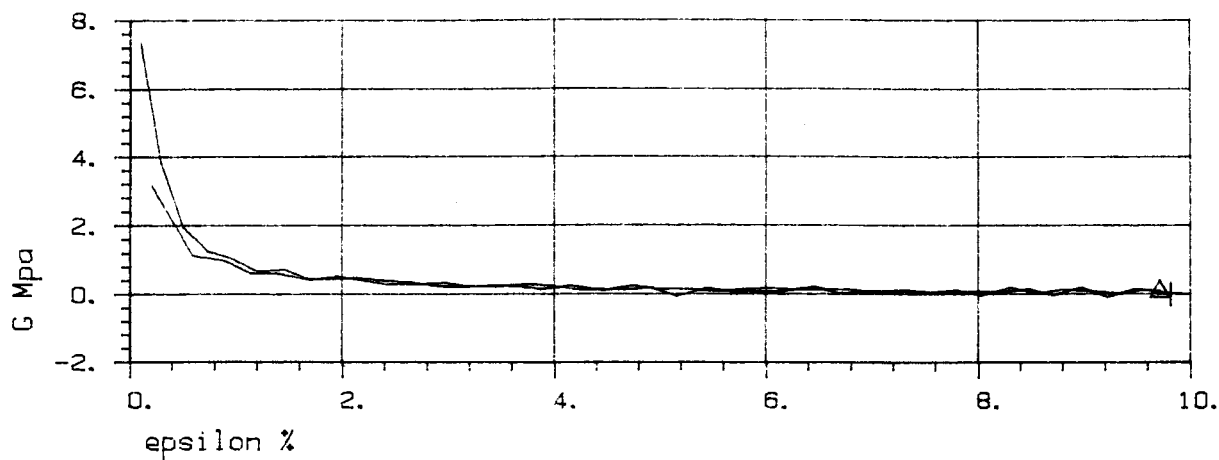
Bokst.	Forandring	Dato	Bokst.	Forandring	Dato
TREAKSIALFORSØK			Tegn.		Dato
Max skjærspenning, poretrykk og G-modul vs tøyning			Målestokk		Kartref.
Ny Strømsvei Konows gate					SO E2 III
 OSLO KOMMUNE Geoteknisk kontor			Tegn. nr. 1796 133		



Fors. nr	Symb	Boringnr	Labnr	Dybde. m	sig0' kN/m2	sigc' kN/m2	Forsøkttype
1	+	151	17B	4.40	63.0	102.0	CIUA
2	Δ	151	17A	4.30	63.0	50.0	CIUA

Bokst.	Forandring	Dato	Bokst.	Forandring	Dato
TREAKSIALFORSØK			Tegn. Amo		Dato mai 86
Hovedspenningsvektor			Målestokk		Kartref.
Ny Strømsvei Konows gate					SO E2 III
 OSLO KOMMUNE Geoteknisk kontor			Tegn. nr.		1796-134

A.S. JENSEN



Fors.nr	Symb	Boringnr	Labnr	Dybde, m	sig0' kN/m2	sigc' kN/m2	Forsøkttype
1	+	151	17B	4.40	63.0	102.0	CIUA
2	<	151	17A	4.30	63.0	50.0	CIUA

Bokst.	Forandring	Dato	Bokst.	Forandring	Dato
--------	------------	------	--------	------------	------

TREAKSIALFORSØK
 Max skjærepennning, poretrykk og G-modul vs tøyning
 Ny Strømsvei Konows gate

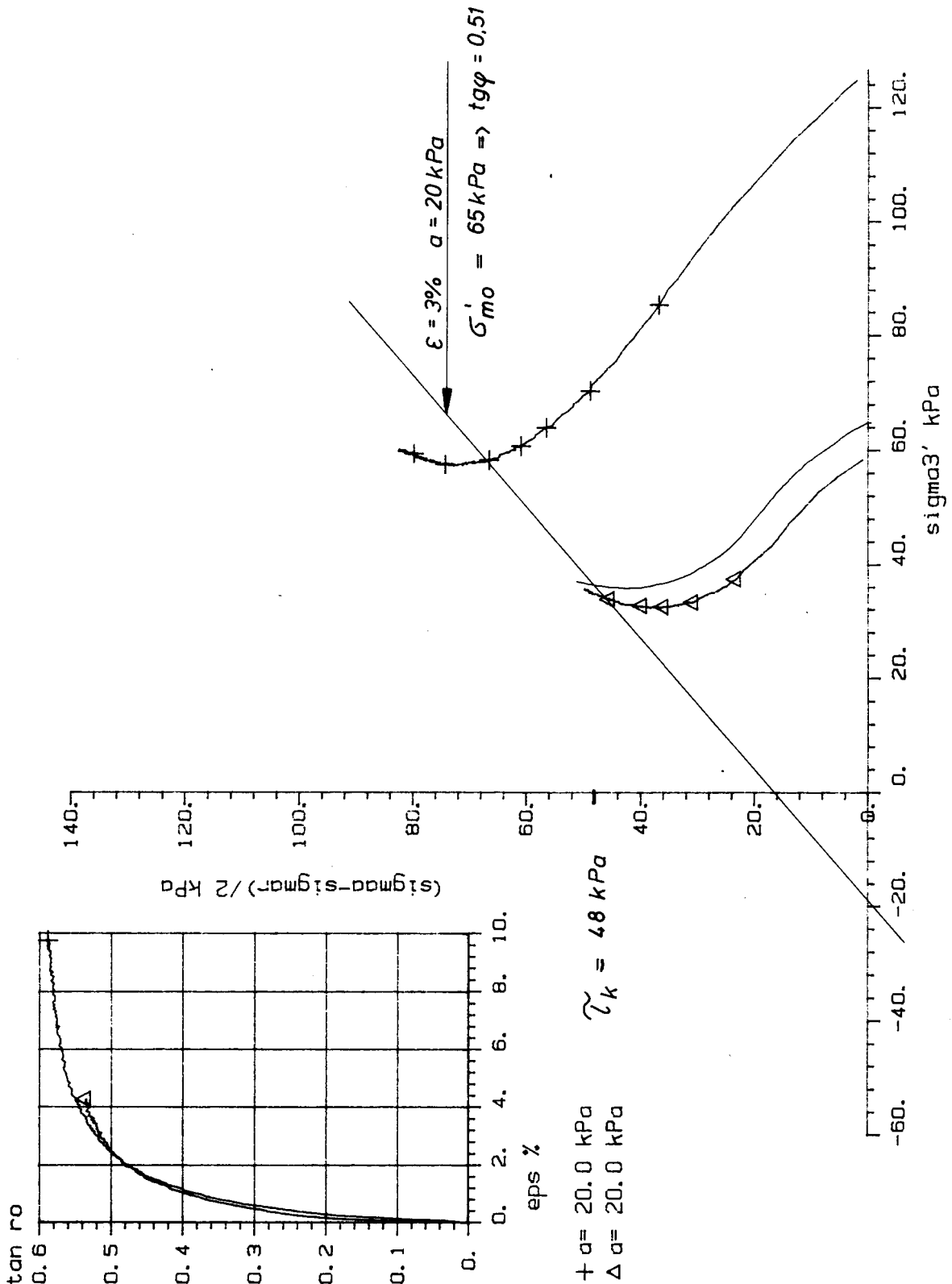
Tegn.	Dato
Målestokk	Kartref.
SO E 2 III	




OSLO KOMMUNE Geoteknisk kontor

Tegn. nr. 1796-135

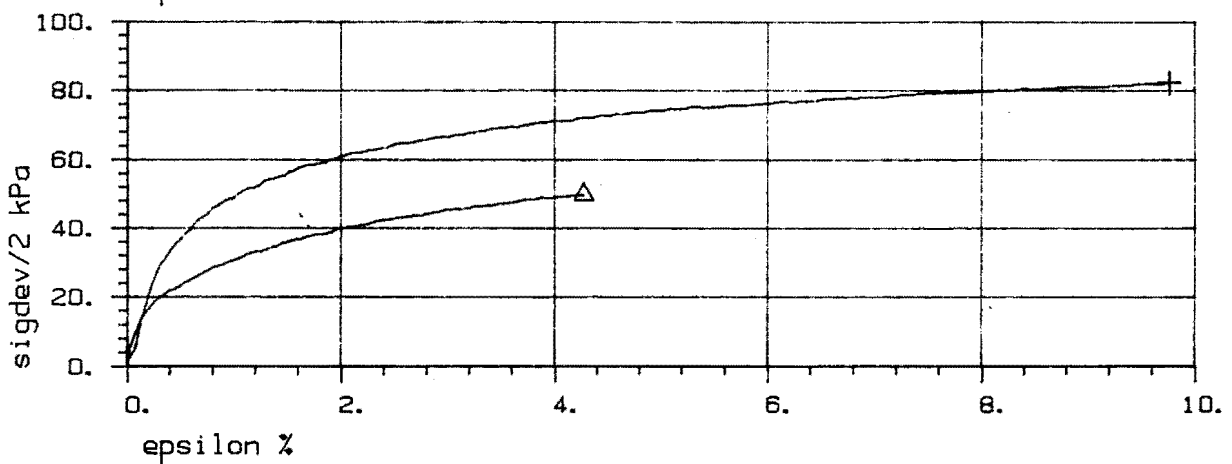
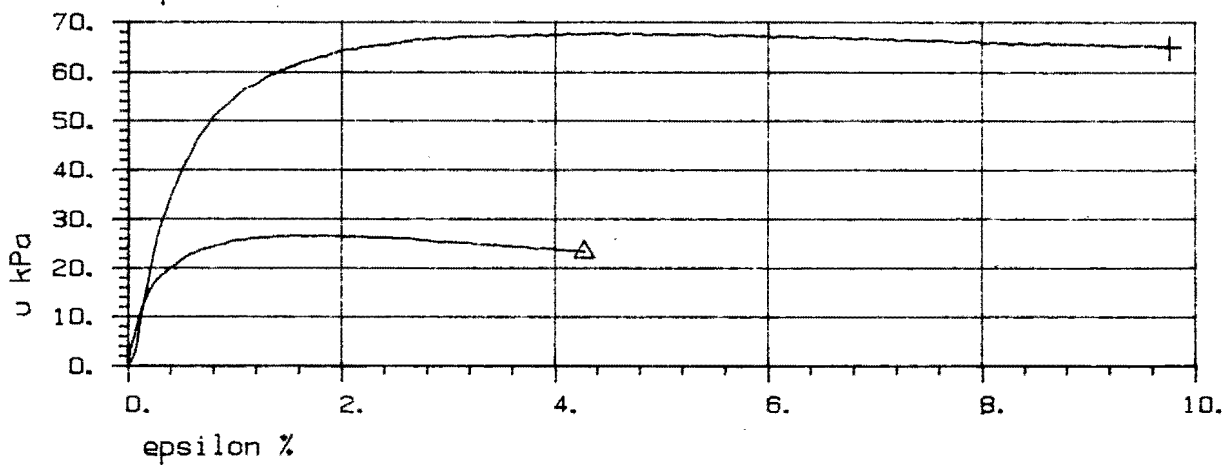
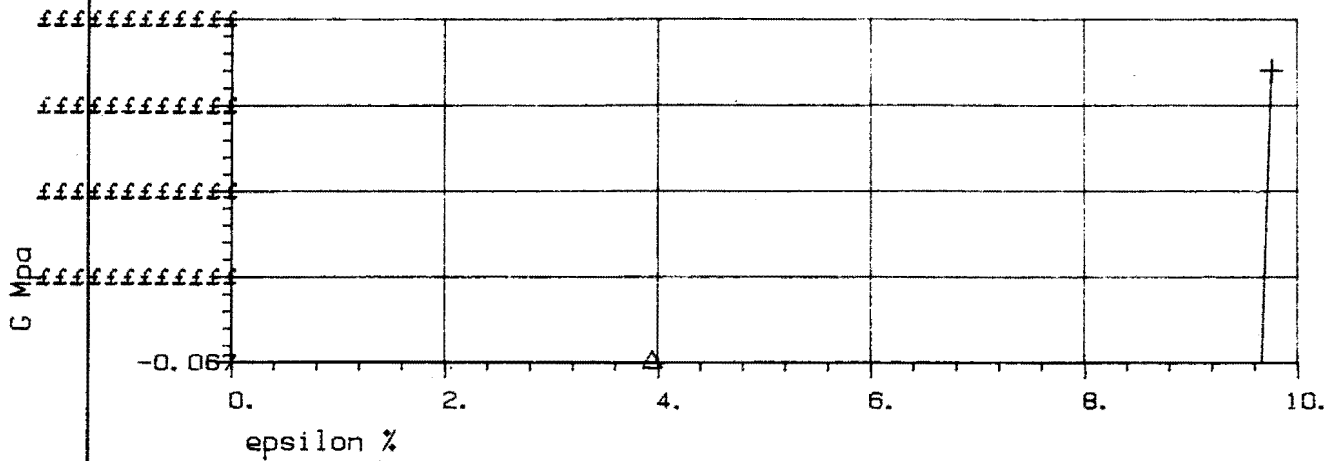
A.S. TERNSTAD




Fors. nr	Symb	Boringnr	Labnr	Dybde, m	sig0' kN/m2	sigc' kN/m2	Forsøkttype
1	+	151	18b	5.40	68.0	125.0	CIUA
2	Δ	151	18A	5.30	68.0	59.0	CIUA

Bokst.	Forandring	Dato	Bokst.	Forandring	Dato
TREAKSIALFORSØK			Tegn.		Dato
Hovedspenningevektor			Målestokk		Kartref.
Ny Strømsvei Konows gate					SO E2 III
 OSLO KOMMUNE Geoteknisk kontor			Tegn. nr.		1796-136

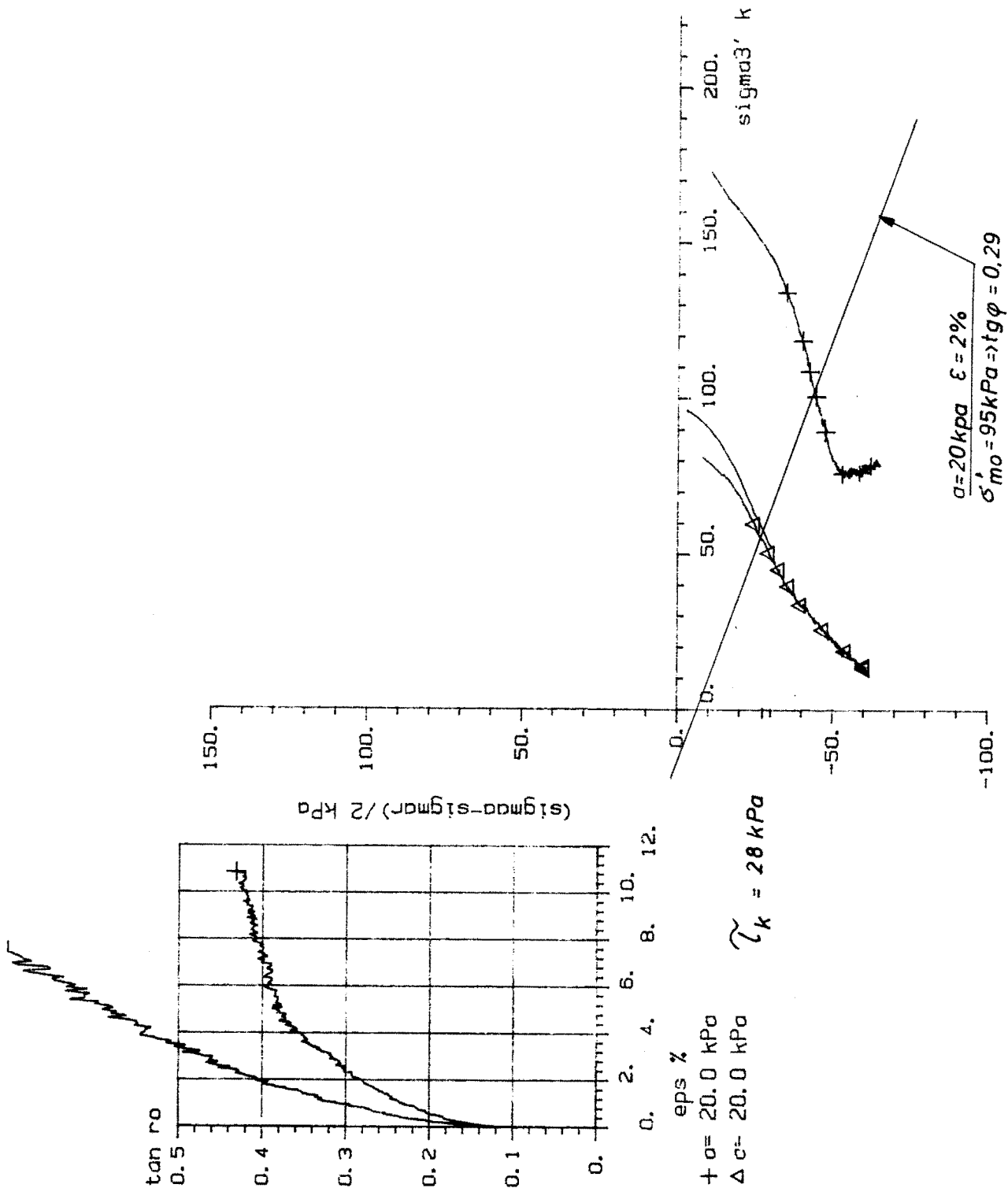
A 3 EDHVALUM



Fors.nr	Symb	Boringnr	Labnr	Dybde, m	sig0' kN/m2	sigc' kN/m2	Forsøkttype
1	+	151	18b	5.40	68.0	125.0	CIUA
2	<	151	18A	5.30	68.0	59.0	CIUA

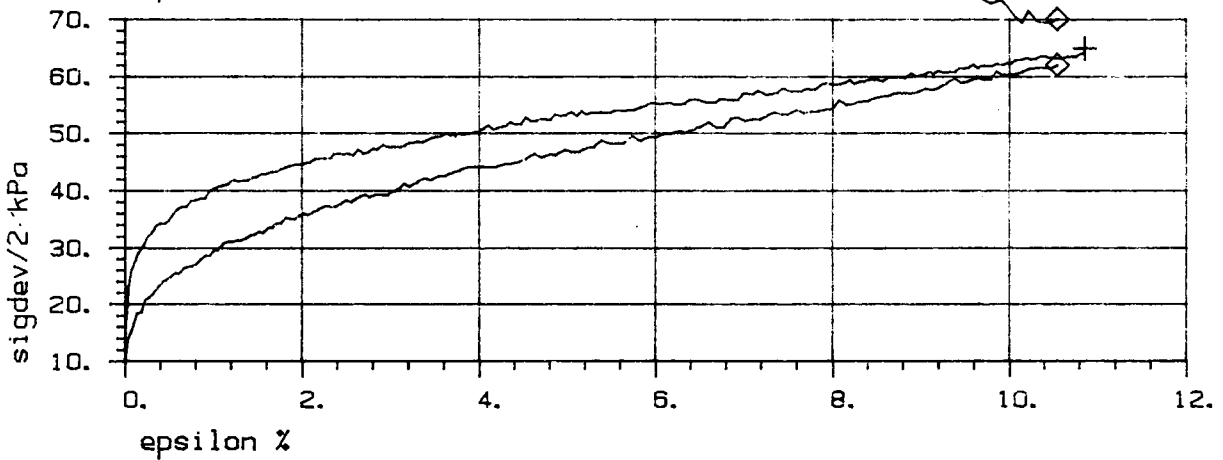
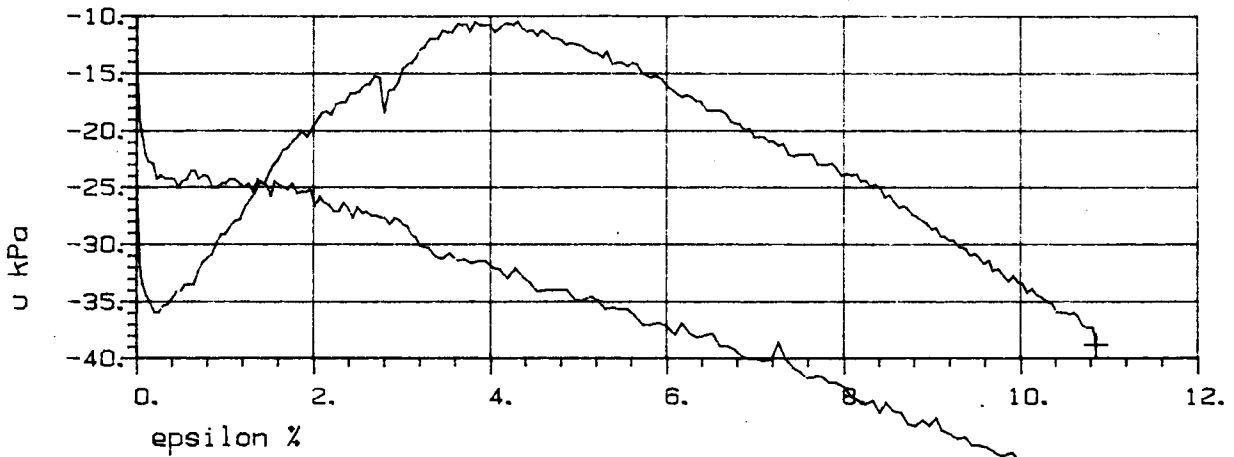
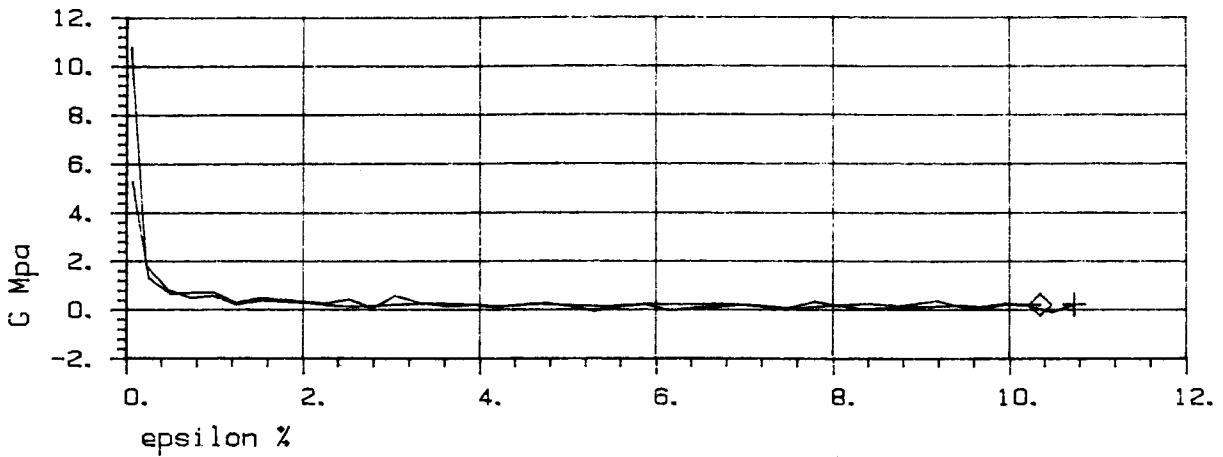
Bokst.	Forandring	Dato	Bokst.	Forandring	Dato
TREAKSIALFORSØK				Tegn.	Dato
Max skjærepennig, poretrykk og G-modul vs tøyning				Målestokk	Kartref.
Ny Strømsvei Konows gate				SOE2 III	
 OSLO KOMMUNE Geoteknisk kontor				Tegn. nr.	1796- 137

A 3 100000000



Fors.nr	Symb	Boringnr	Labnr	Dybde, m	sig0' kN/m2	sigc' kN/m2	Foreøekte
1	+	151	218	8.50	102.0	170.0	CIUP
2	Δ	151	21A	8.20	102.0	85.0	CIUP

TREAKSIALFORSØK Hovedspenningsvektor Ny Strømsvei Konows gate	tegn. Amo	juni 86
		SOE2 III
OSLO KOMMUNE Geoteknisk kontor	1796-138	



Fors. nr	Symb	Boringnr	Labnr	Dybde, m	sig0' kN/m2	sigc' kN/m2	Forsøkttype
1	+	151	21B	8.50	102.0	170.0	CIUP
2	◇	151	21A	8.20	102.0	85.0	CIUP

Bokat.	Forandring	Dato	Bokat.	Forandring	Dato

TREAKSIALFORSØK

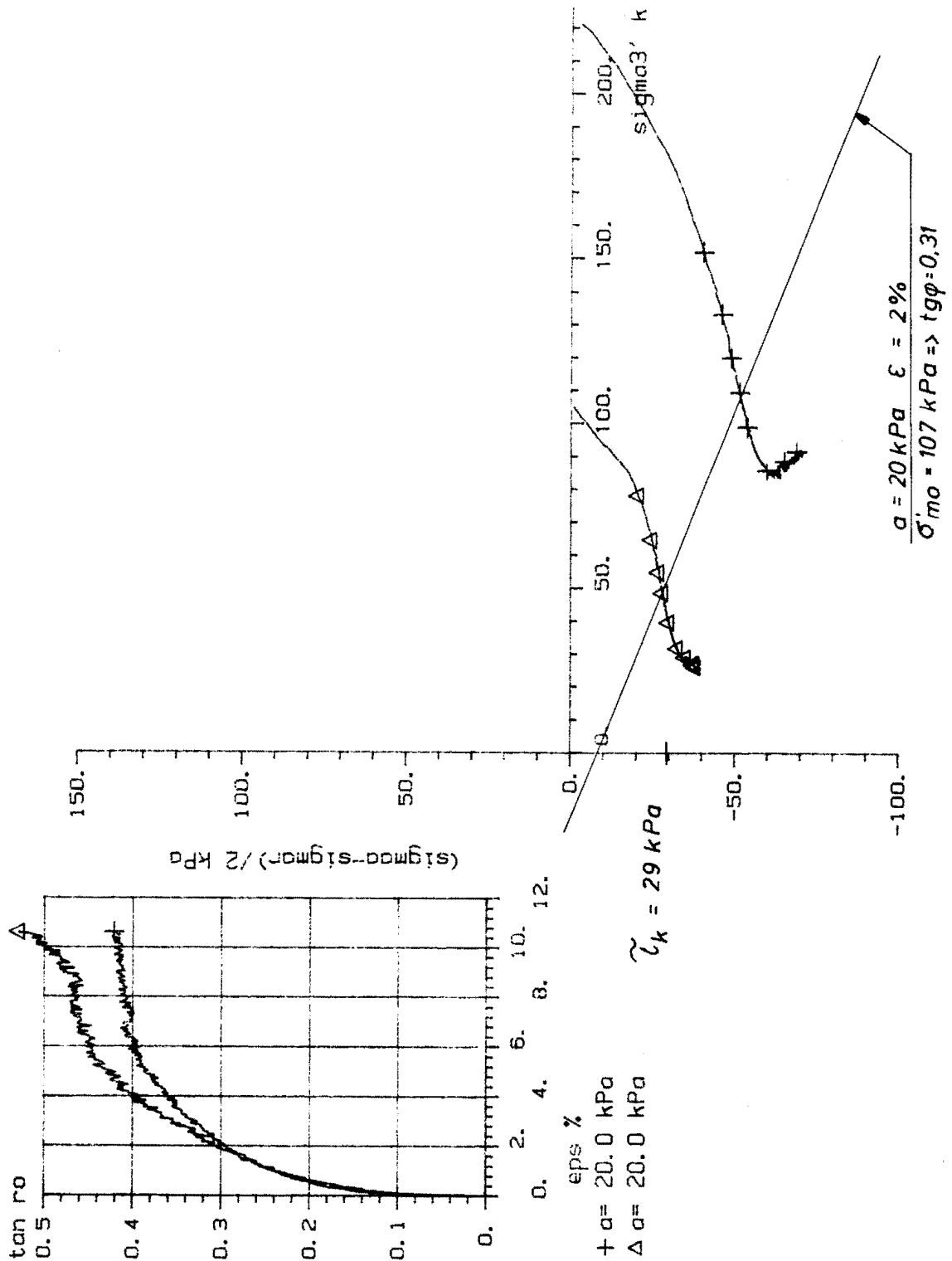
Max skjærspenning, poretrykk og G-modul vs tøyning
Ny Strømsvei Konows gate

Tegn.	Dato
Målestokk	Kartref.
	SO E2 III



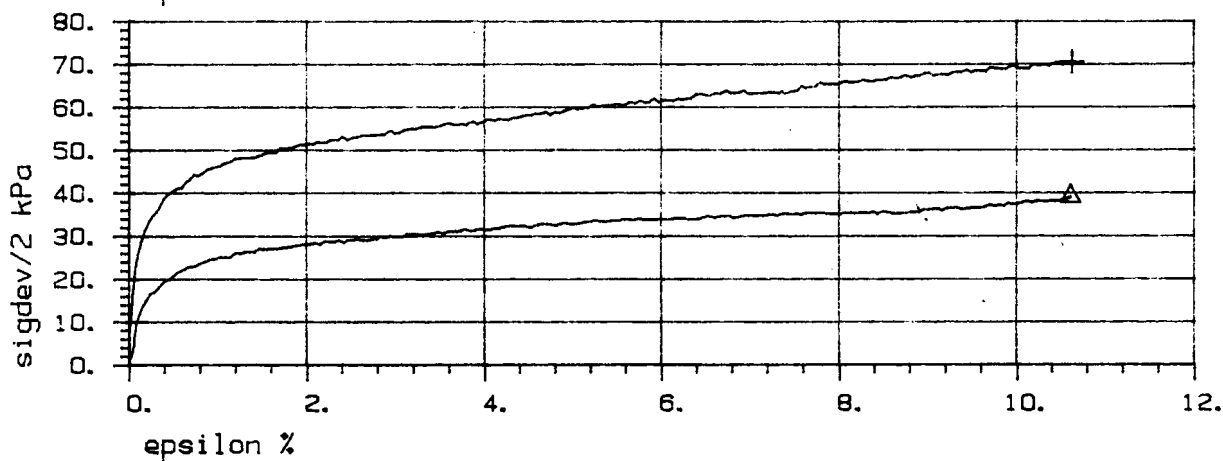
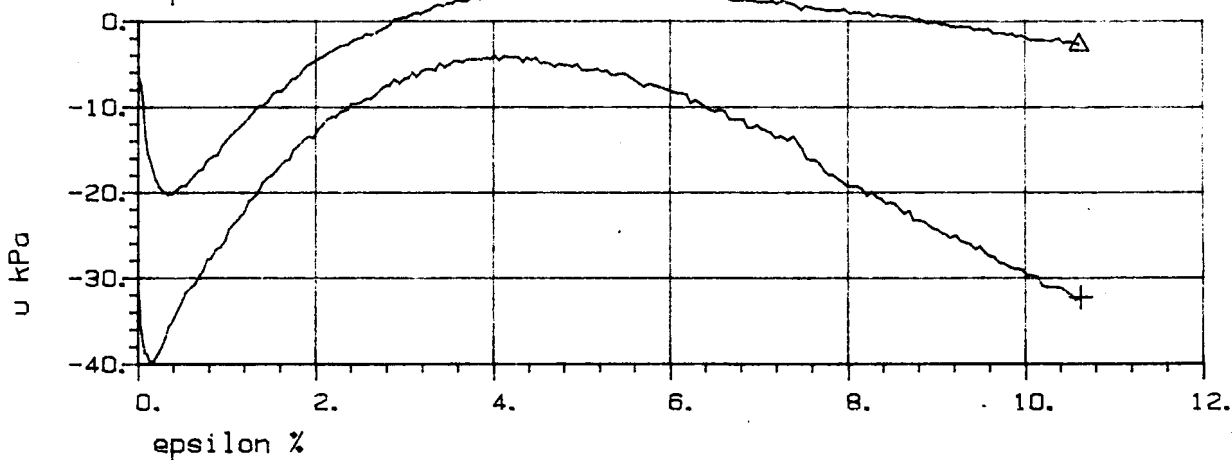
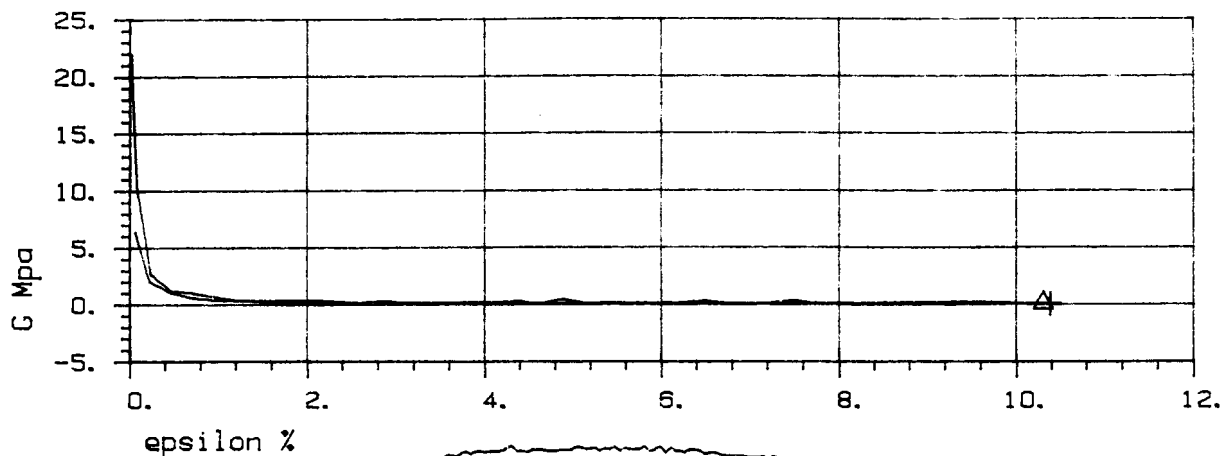
OSLO KOMMUNE Geoteknisk kontor

Tegn. nr. 1796-139




Fors.nr	Symb	Boringnr	Labnr	Dybde, m	sig0' kN/m2	sigc' kN/m2	Forsøkttype
1	+	151	23B	10.30	150.0	200.0	CIUP
2	Δ	151	23A	10.30	150.0	100.0	CIUP

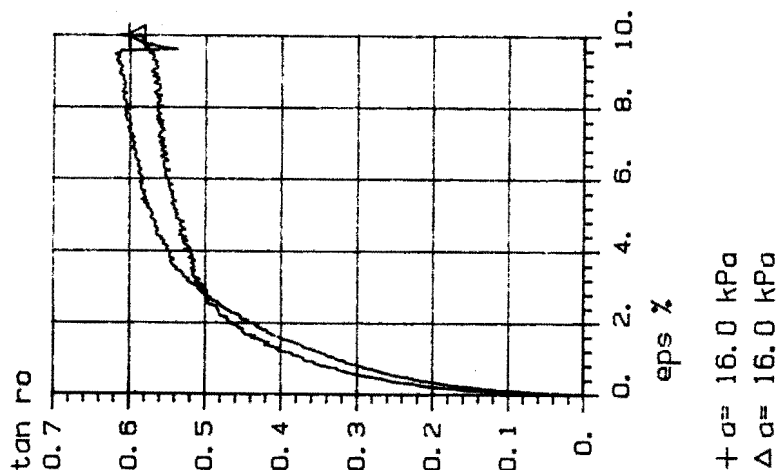
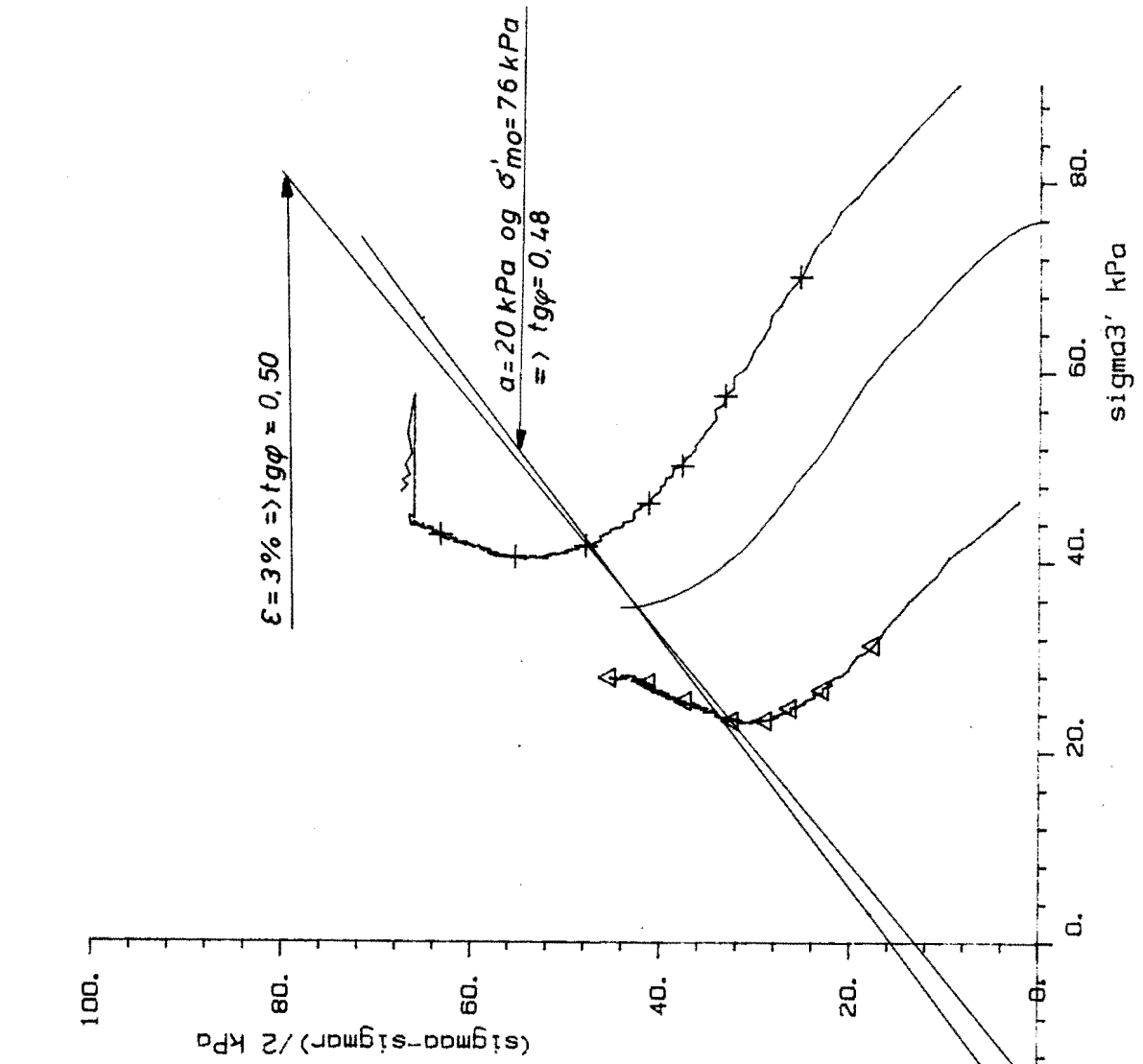
TREAKSIALFORSØK Hovedspenningsvektor Ny Strømsvei Konows gate	tegn. Amo	juni 86
		SOE2III
OSLO KOMMUNE Geoteknisk kontor	1796- 140	




Fors.nr	Symb	Boringnr	Labnr	Dybde,m	sig0' kN/m2	sigc' kN/m2	Forsøkttype
1	+	151	23B	10.30	150.0	200.0	CIUP
2	<	151	23A	10.30	150.0	100.0	CIUP

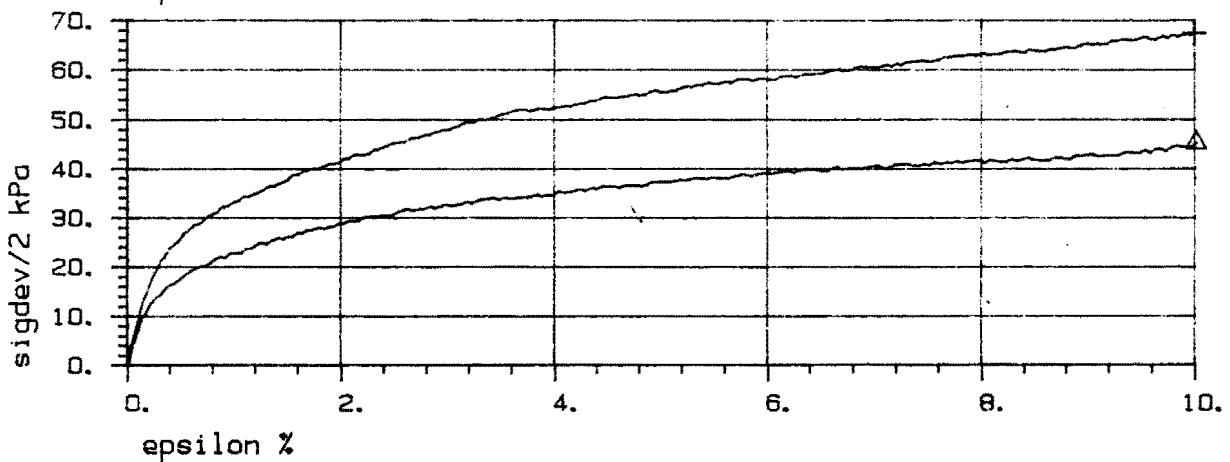
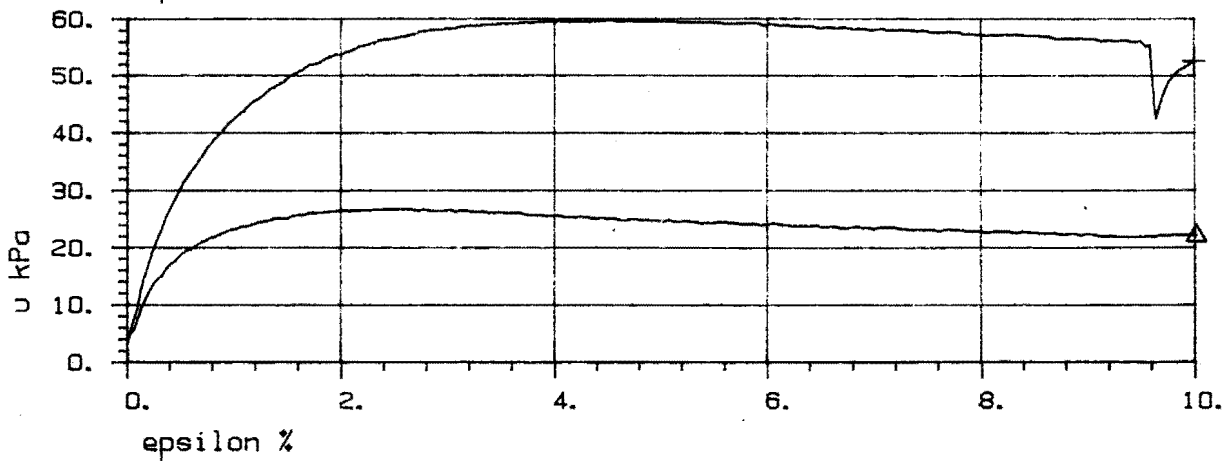
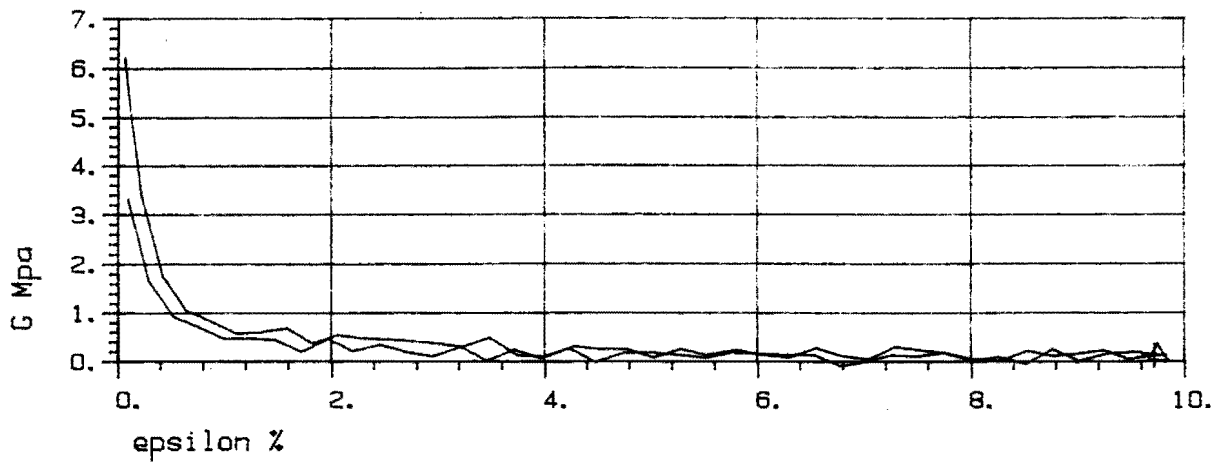
Bokst.	Forandring	Dato	Bokst.	Forandring	Dato
TREAKSIALFORSØK			Tegn.		Dato
Max skjærepennning, poretrykk og G-modul vs tøyning			Målestokk		Kartref.
Ny Strømsvei Konows gate					SO E2 III
 OSLO KOMMUNE Geoteknikk kontor			Tegn. nr.		1796-141

A 8 TERNKOP




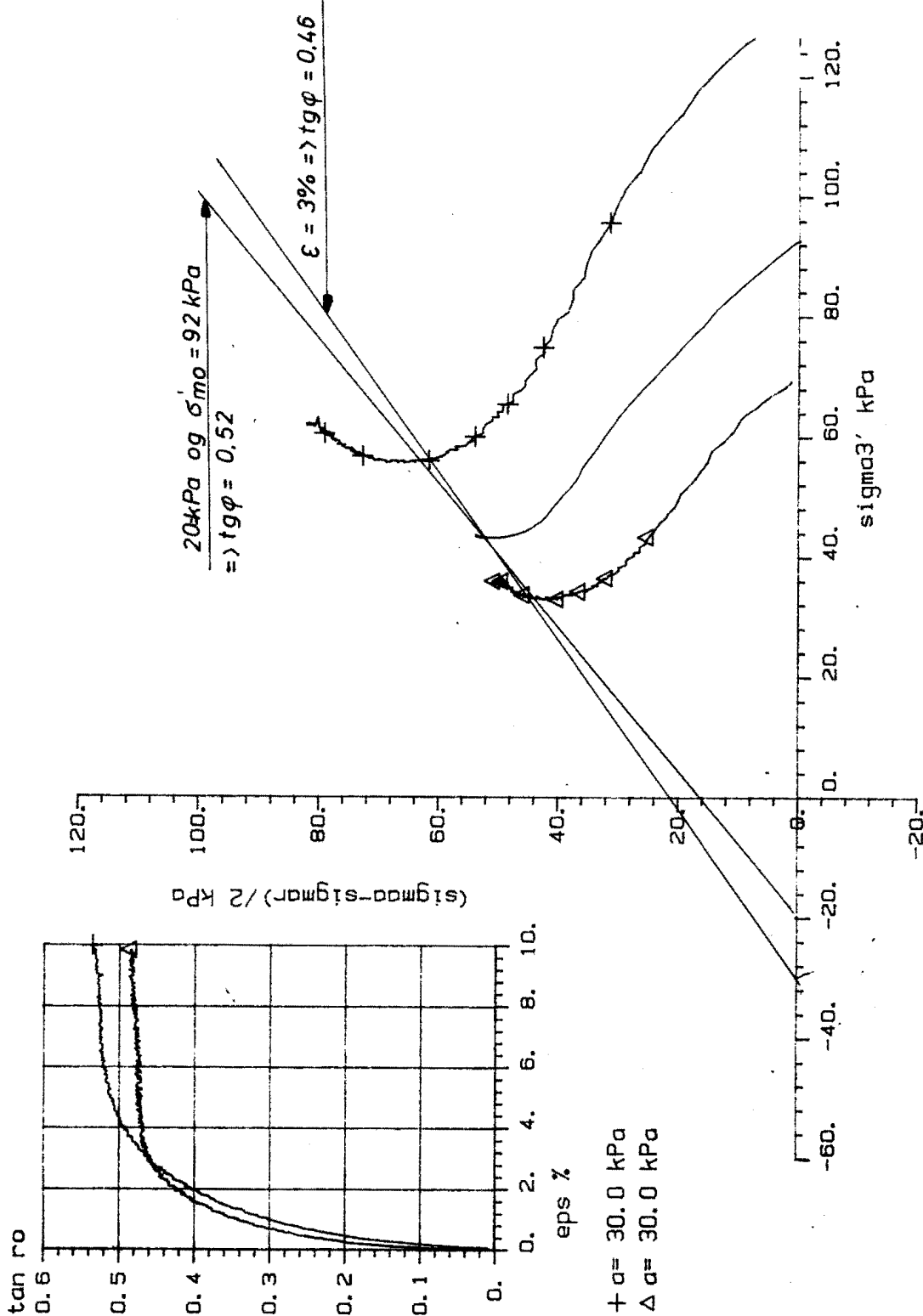
Fors. nr	Symb	Boringnr	Labnr	Dybde, m	sig0' kN/m2	sigc' kN/m2	Forsøektype
1	+	171	31A	5.60	85.0	100.0	CIUA
2	Δ	171	31B	5.60	85.0	50.0	CIUA

Bokst.	Forandring	Dato	Bokst.	Forandring	Dato
TREAKSIALFORSØK			Tegn.		Dato
Hovedspenningsvektor			Målestokk		Kartref.
Ny Strømsvei Konows gate					SO E 2 III
 OSLO KOMMUNE Geoteknisk kontor			Tegn. nr. 1796-142		




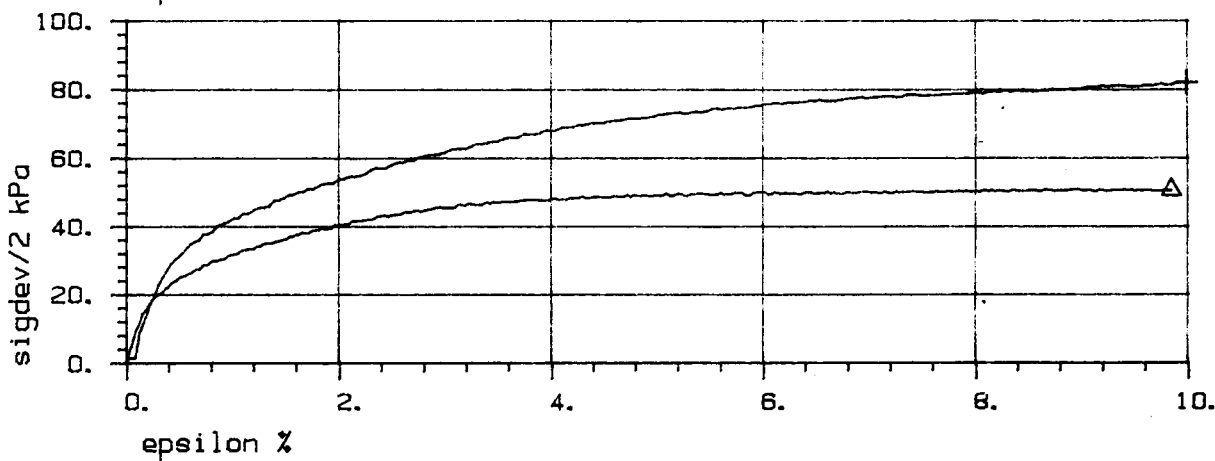
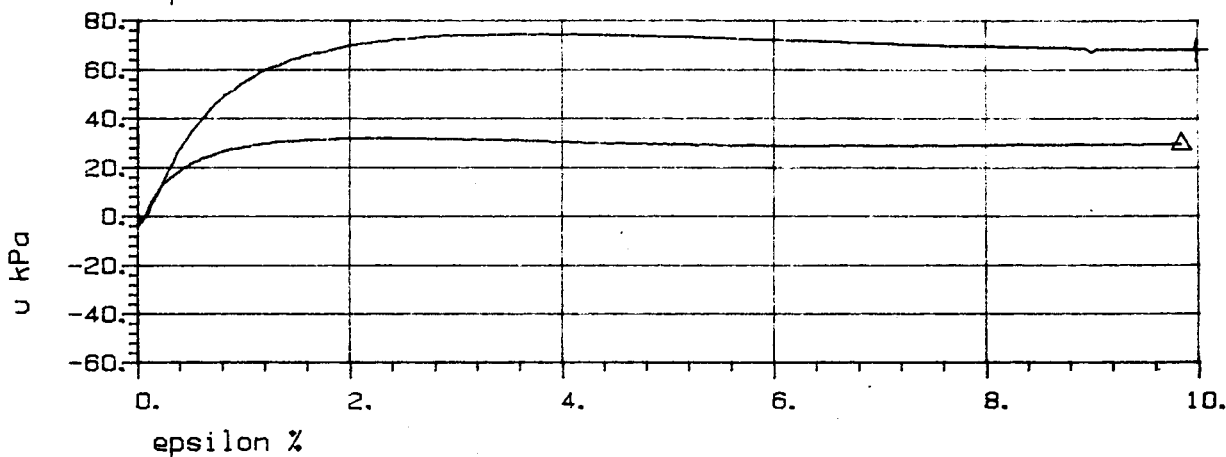
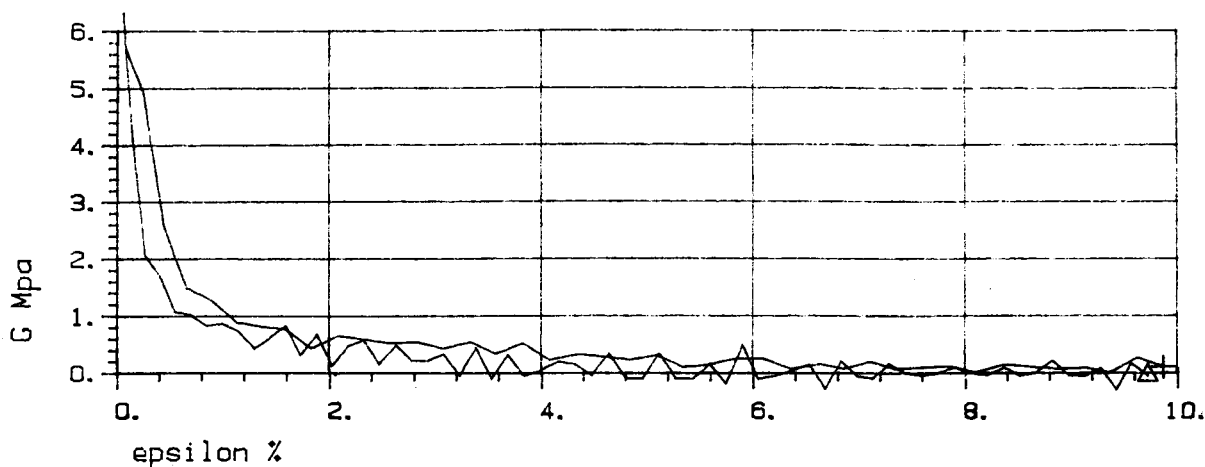
Fors.nr	Symb	Boringnr	Labnr	Dybde, m	sig0' kN/m2	sigc' kN/m2	Forsøkttype
1	+	171	31A	5.60	85.0	100.0	CIUA
2	<	171	31B	5.60	85.0	50.0	CIUA

Boket.	Forandring	Dato	Boket.	Forandring	Dato
TREAKSIALFORSØK			Tegn.		Dato
Max skjærepning, poretrykk og G-modul vs tøyning			Målestokk		Kartref.
Ny Strømsvei Konows gate					SO E2 ^{III}
 OSLO KOMMUNE Geoteknisk kontor			Tegn. nr.		1796-143




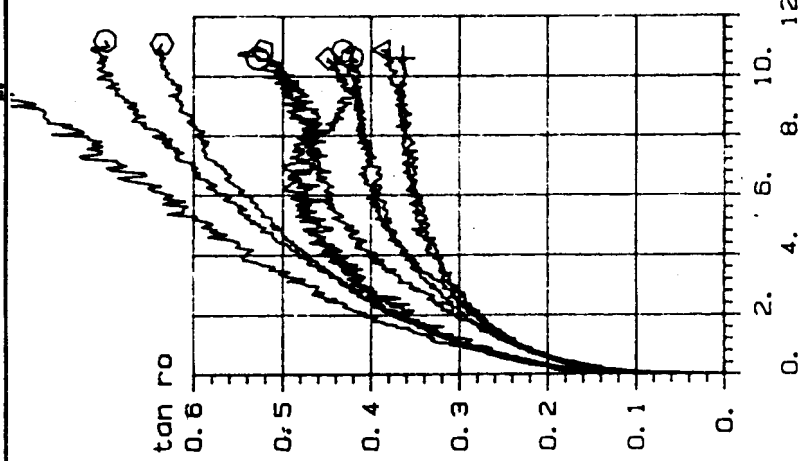
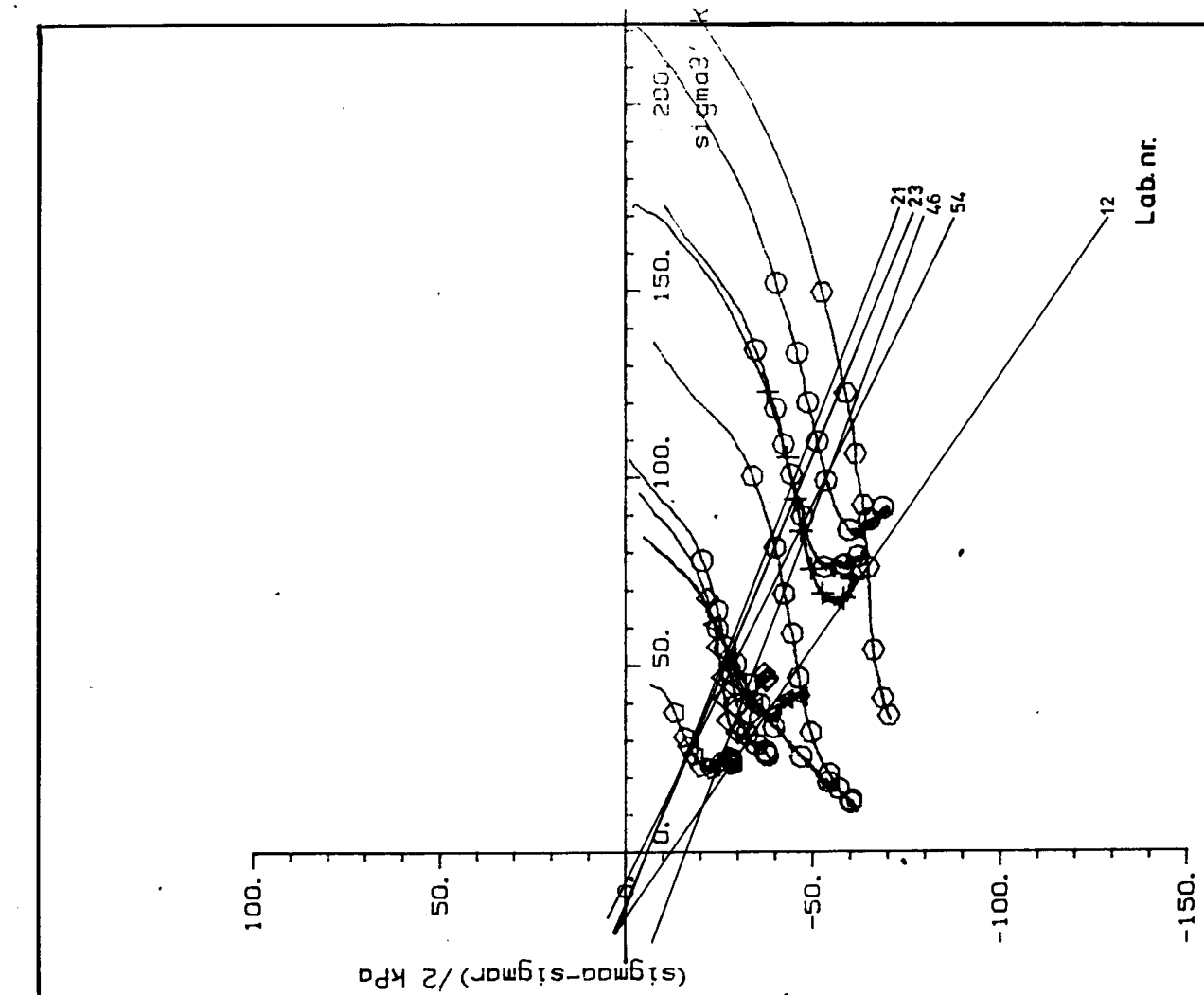
Fors. nr	Symb	Boringnr	Labnr	Dybde, m	sig0' kN/m2	sigc' kN/m2	Forsøkttype
1	+	171	33A	7.50	100.0	130.0	CIUA
2	Δ	171	33B	7.60	100.0	65.0	CIUA

Bokst.	Forandring	Dato	Bokst.	Forandring	Dato
TREAKSIALFORSØK			Tegn.		Dato
Hovedspenningsvektor			Målestokk		Kartref.
Ny Strømsvei Konows gate					SOE2III
 OSLO KOMMUNE Geotekniksk kontor			Tegn. nr.		1796-144



Fors.nr	Symb	Boringnr	Labnr	Dybde, m	sig0' kN/m2	sigc' kN/m2	Foreektype
1	+	171	33A	7.50	100.0	130.0	CIUA
2	<	171	33B	7.60	100.0	65.0	CIUA

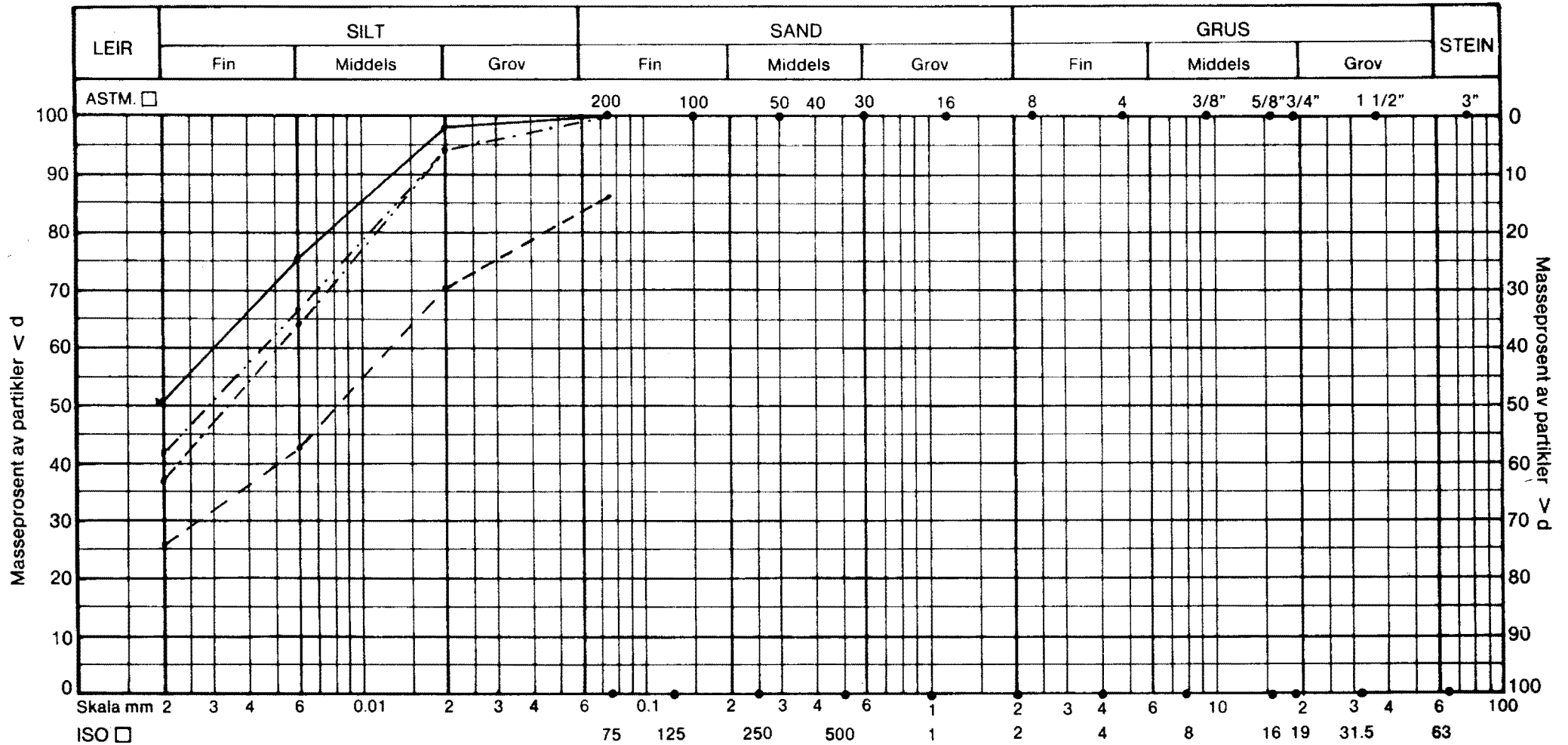
Bokst.	Forandring	Dato	Bokst.	Forandring	Dato
TREAKSIALFORSØK			Tegn.		Dato
Max skjærspenning, poretrykk og G-modul vs tøyning			Målestokk		Kartref.
Ny Strømsvei Konows gate					SO E2 III
 OSLO KOMMUNE Geoteknisk kontor			Tegn. nr.		1796-145




$\tan \phi = 0,29$
 eps %
 + $\sigma = 45,0$ kPa
 $\Delta \sigma = 45,0$ kPa
 $\diamond \sigma = 10,0$ kPa
 $\circ \sigma = 10,0$ kPa
 $\circ \sigma = 25,0$ kPa
 $\circ \sigma = 25,0$ kPa
 $\circ \sigma = 20,0$ kPa
 $\circ \sigma = 20,0$ kPa
 $\circ \sigma = 20,0$ kPa
 $\circ \sigma = 20,0$ kPa

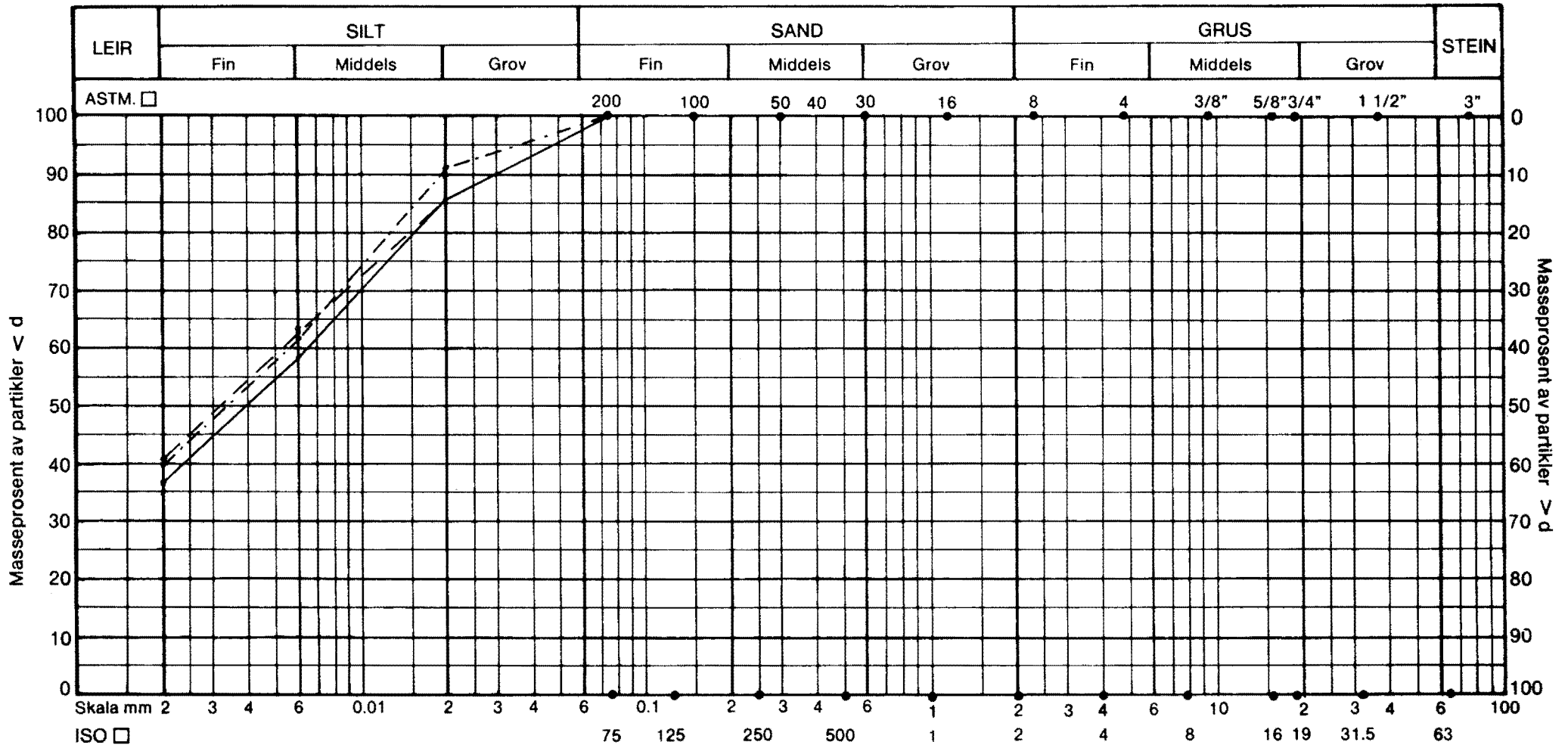
Fors. nr	Symb	Boringnr	Labnr	Dybde, m	sig0' kN/m ²	sigc' kN/m ²	Forsøktype
1	+	106	46A	8.40	130.0	160.0	CIUP
2	Δ	106	46B	8.50	130.0	80.0	CIUP
3	\diamond	108	54A	5.50	68.0	100.0	CIUP
4	\circ	108	54B	5.60	68.0	50.0	CIUP
5	\circ	138	12B	14.60	215.0	260.0	CIUP
6	\circ	138	12C	14.80	215.0	150.0	CIUP
7	\circ	151	21B	8.50	102.0	170.0	CIUP
8	\circ	151	21A	8.20	102.0	85.0	CIUP
9	\circ	151	23B	10.30	150.0	200.0	CIUP
10	\circ	151	23A	10.30	150.0	100.0	CIUP

NY STRØMSVEI, KONOWS GATE Passive treaksialforsøk, samleplott	tegn. Amo	juni 86
	tegn. nr. 1796 - 147	
OSLO KOMMUNE Geoteknisk kontor		



Pr.nr.	Lab.nr.	Dybde, m.	Kurve	Materiale	d_{60}/d_{10}	Telegr.	Anmerk.
138	1796-9	10.5	—	LEIRE			
151	1796-20	7.5	---	SILTIG LEIRE			
106	1796-42	4.5	— — —	LEIRE			
108	1796-52	3.5	— — —	LEIRE			
			— x —				
			XX—XX—				

KORNGRADERING NY STRÖMSVEI KONOWS GT.	Tegn. Amo
	Dato
	Kartef. SO E2 II+III
 OSLO KOMMUNE Geoteknisk kontor	Tegn. nr. 1796-148



Pr.nr.	Lab.nr.	Dybde, m.	Kurve	Materiale	d_{60}/d_{10}	Telegr.	Anmerk.
138	1796-7	8.5	—	LEIRE			
138	1796-12	14.5	- - -	- " -			
151	1796-17	4.5	—	- " -			
			— x —				
			xx—xx-				

KORNGRADERING
NY STRÖMSVEI
KONOWS GT.



OSLO KOMMUNE
 Geoteknisk kontor

Tegn. **Amo**

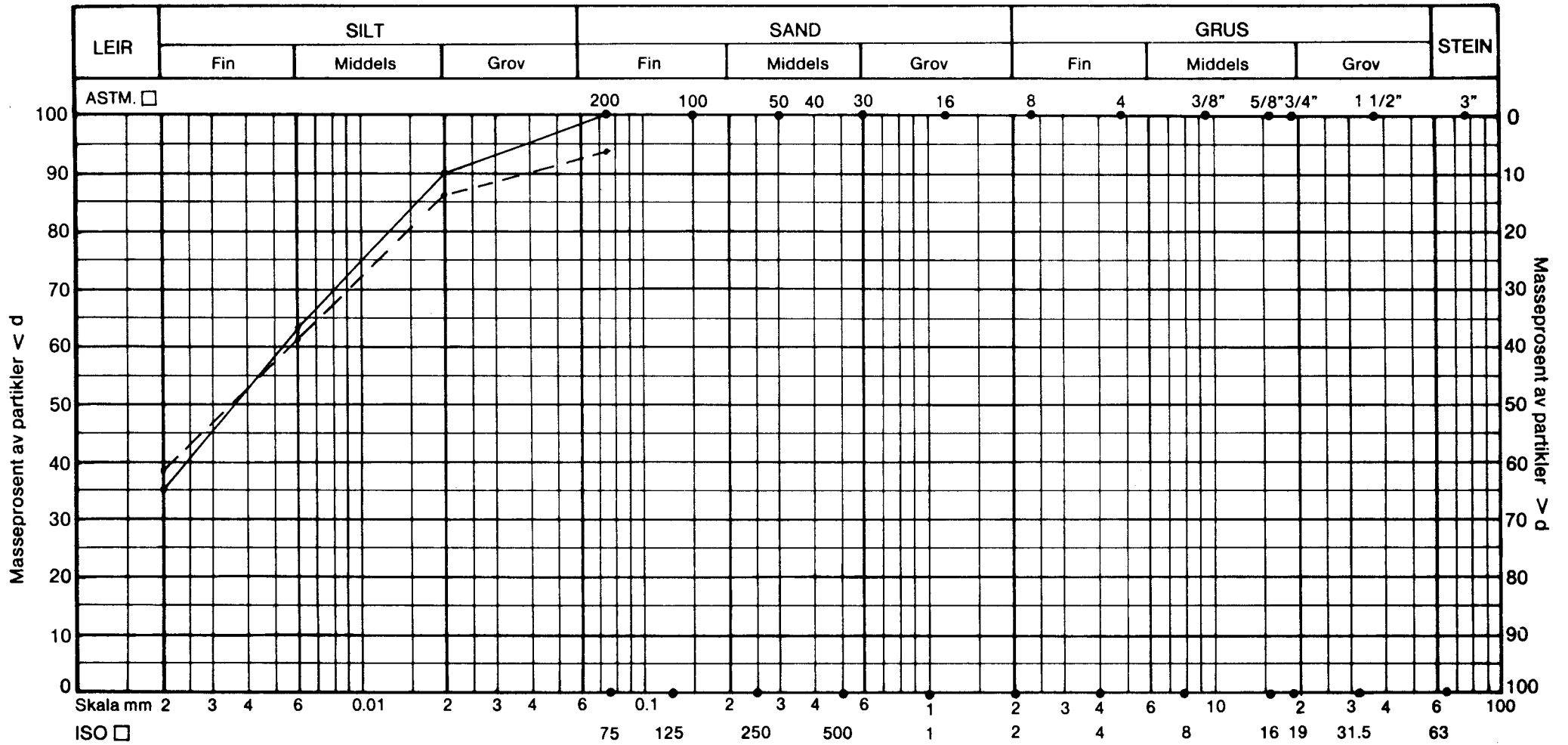
Dato

Kartef.

SOE 2 III

Tegn. nr.

1796-149



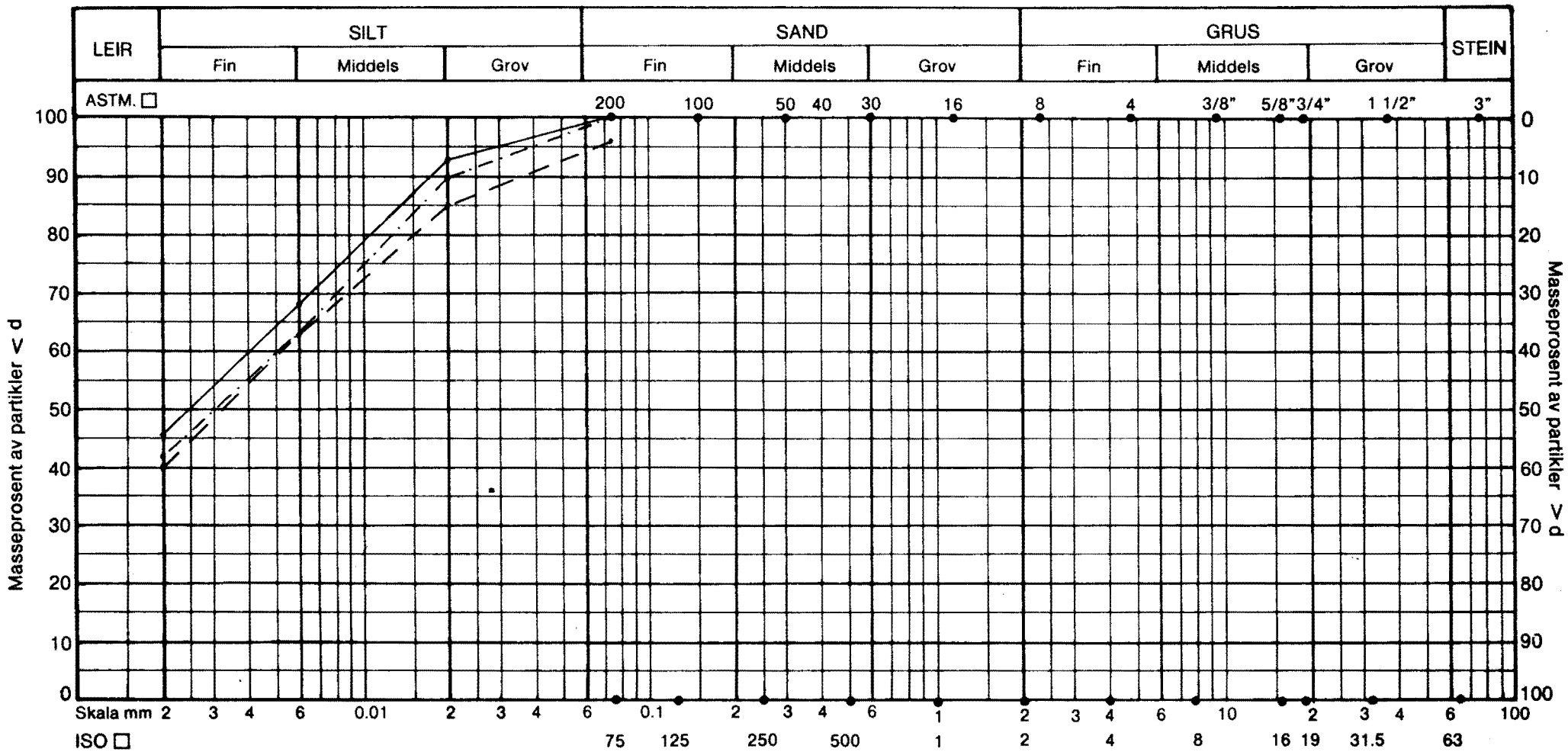
Pr.nr.	Lab.nr.	Dybde, m.	Kurve	Materiale	d_{60}/d_{10}	Telegr.	Anmerk.
171	1796-31	5.5	— — —	LEIRE			
171	1796-33	7.5	- - -	- - -			
			- - -				
			- - -				
			- x -				
			xx—xx-				

KORNGRADERING
NY STRØMSVEI
KONOWS GT.

Tegn. **Amo**
Dato
Kartef.
SO E 2 II

OSLO KOMMUNE
Geoteknisk kontor


Tegn. nr.
1796-150



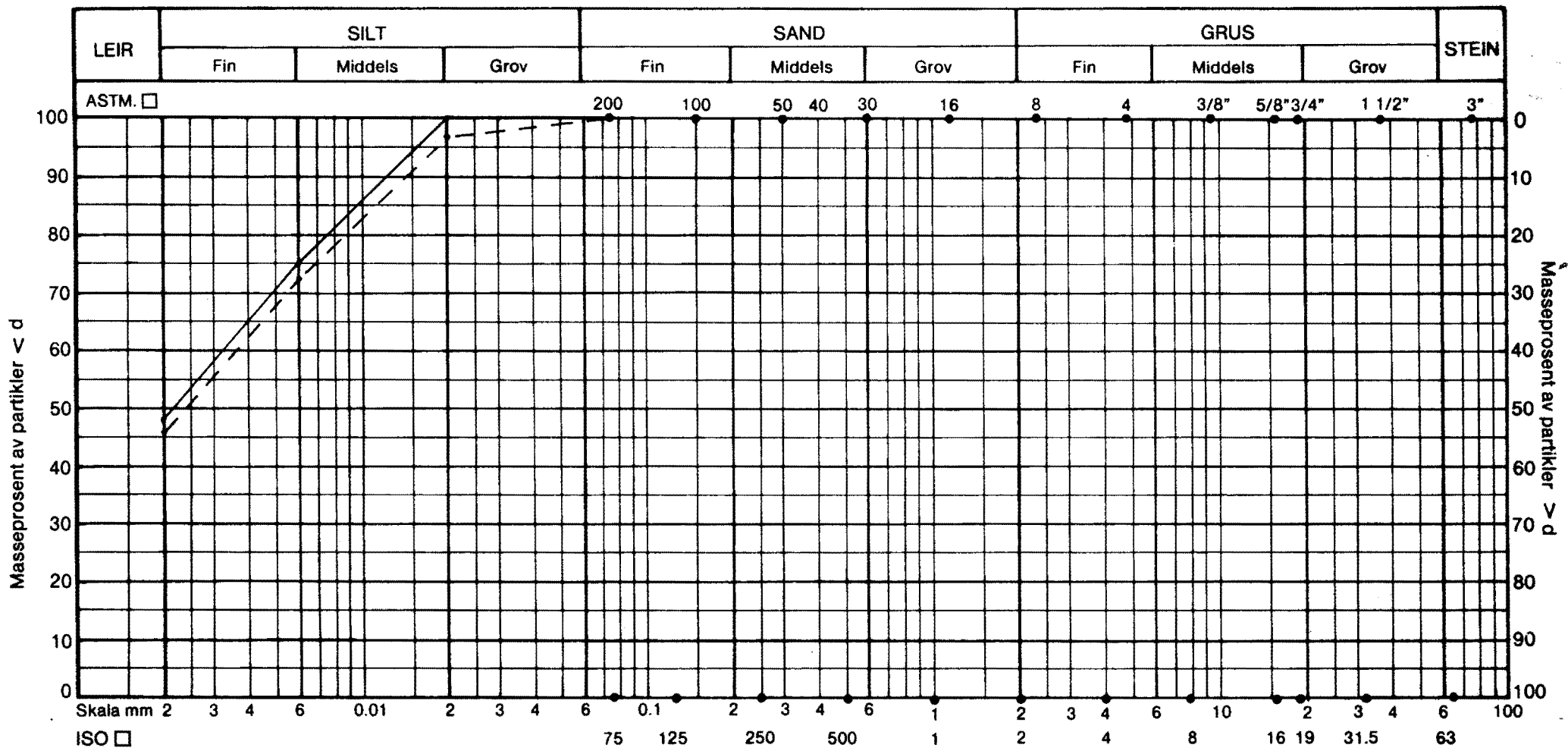
Pr.nr.	Lab.nr.	Dybde, m.	Kurve	Materiale	d_{60}/d_{10}	Telegr.	Anmerk.
151	1796-21	8.5	— — — —	LEIRE			
151	1796-23	10.5	- - - -	- " -			
106	1796-43	5.5	- - - -	- " -			
			- - - -				
			- x -				
			xx—xx-				

KORNGRADERING
NY STRÖMSVEI
KONOWS GT.


Tegn. **Amo**
Dato **19.9.85**
Kartef.
SO E 2 II

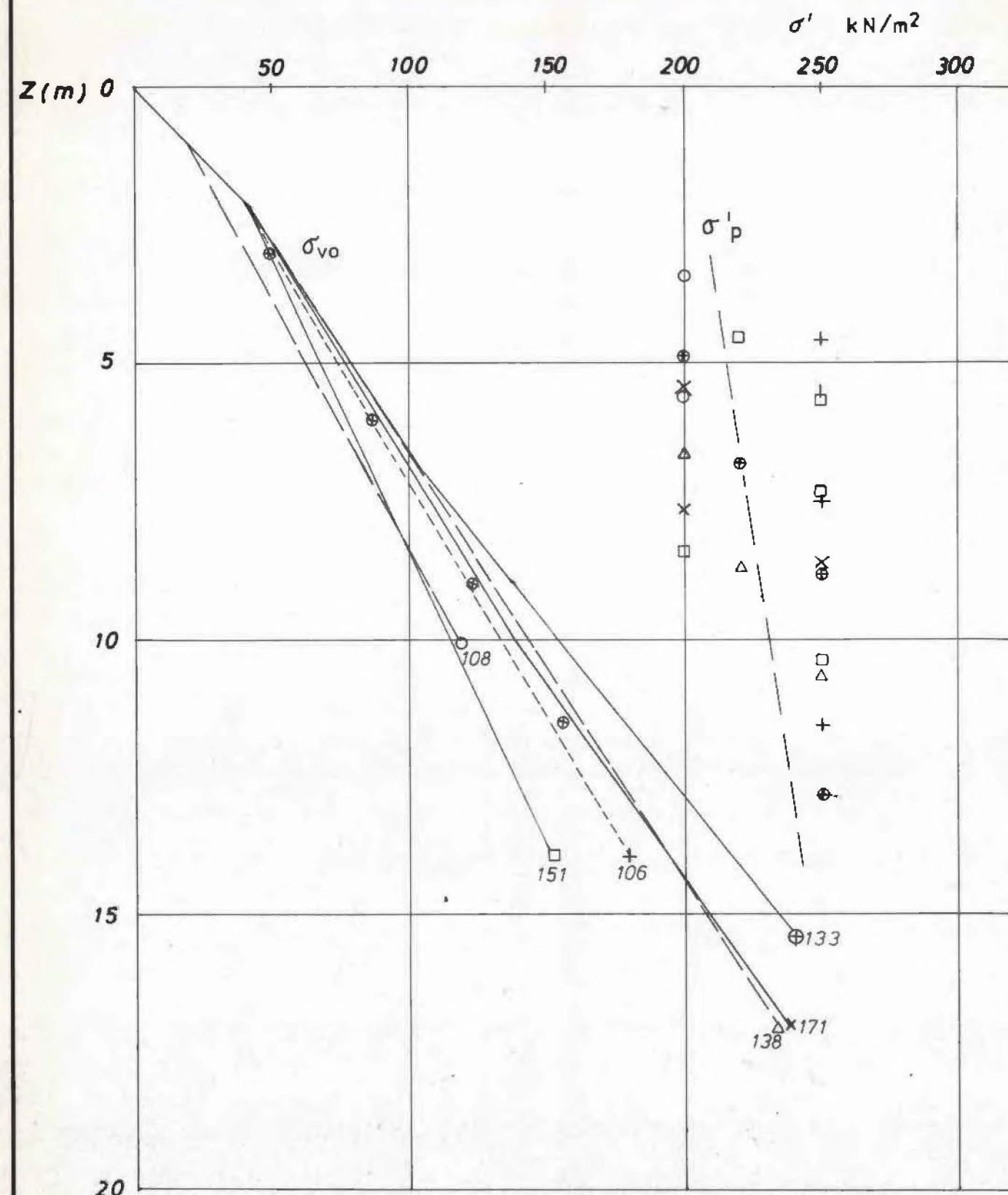
 **OSLO KOMMUNE**
Geoteknisk kontor

Tegn. nr.
1796-151



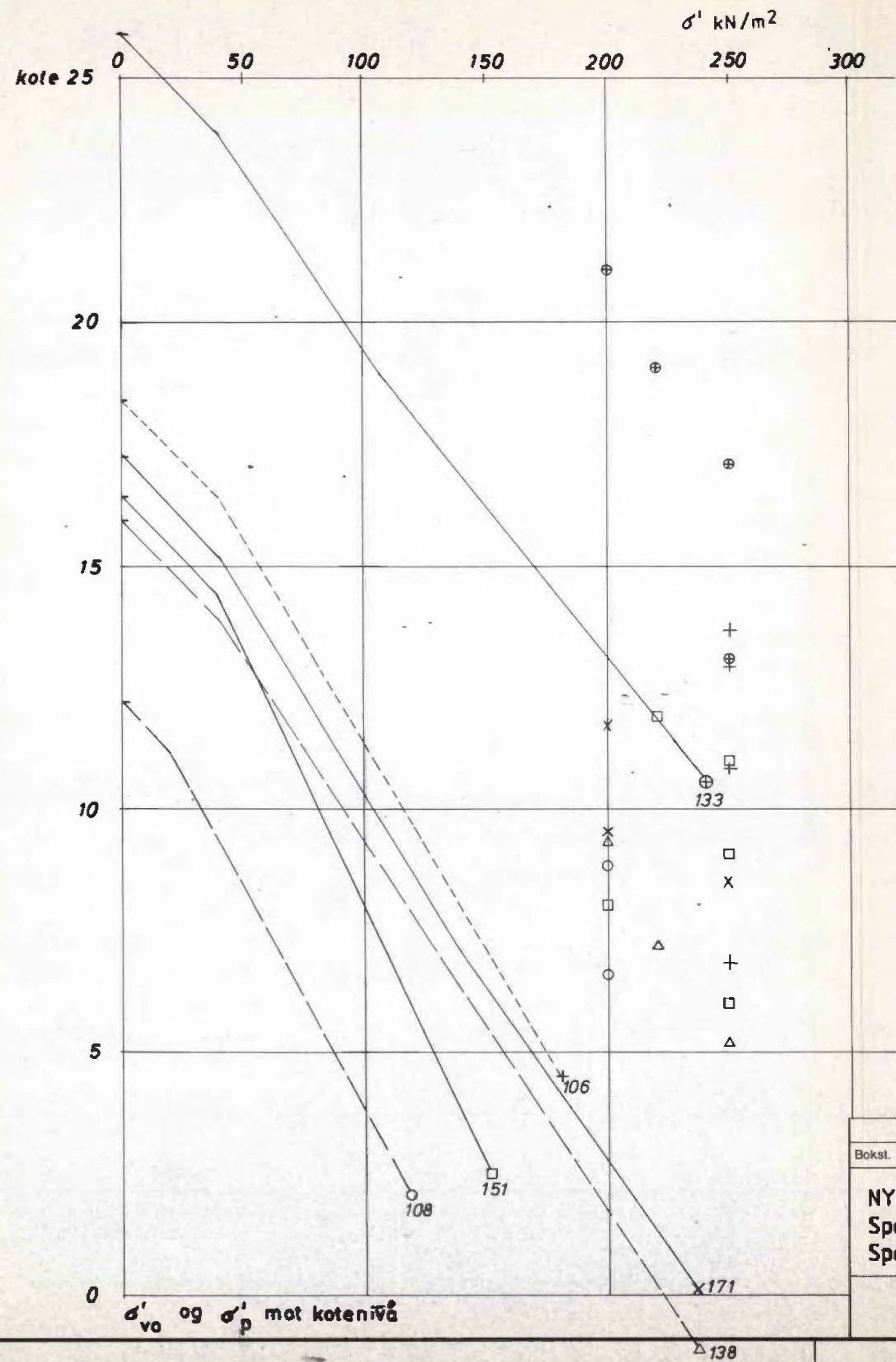
Pr.nr.	Lab.nr.	Dybde, m.	Kurve	Materiale	d_{60}/d_{10}	Telegr.	Anmerk.
106	1796-46	8.5	—	LEIRE			
108	1796-54	5.5	- - -	- " -			
			- - -				
			- - -				
			- x -				
			xx—xx—				

KORNGRADERING NY STRÖMSVEI KONOWS GT.	Tegn. Amo
	Dato 19. 9. 85
	Kartef.
 OSLO KOMMUNE Geoteknisk kontor	Tegn. nr. 1796-152




σ'_{vo} og σ'_p mot dybde fra terreng

⊕ σ'_{vo}



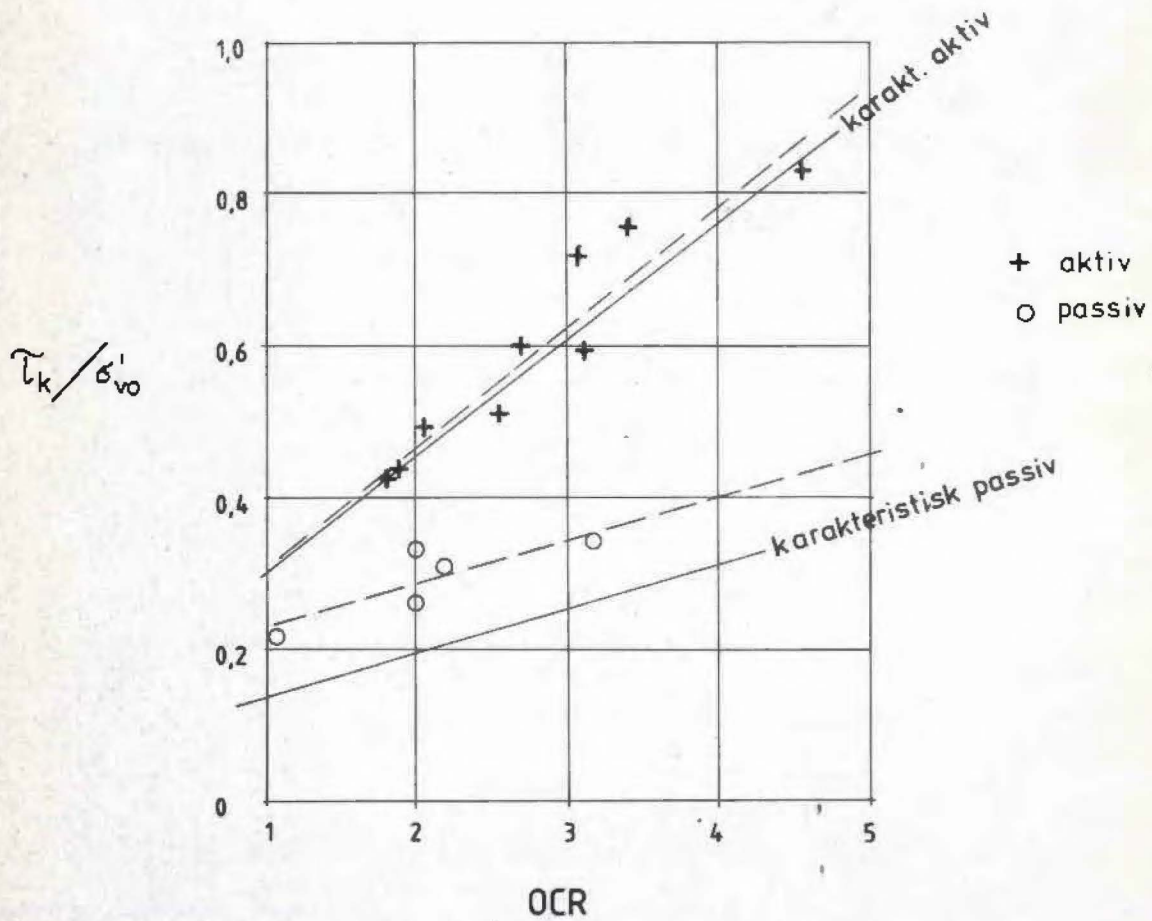
σ'_{vo} og σ'_p mot kotenivå


- + 106
- 108
- ⊕ 133
- △ 138
- 151
- X 171

Bokst.	Forandring	Dato	Bokst.	Forandring	Dato
NY STRØMSVEI Konows gt. Spenningsprofil σ'_{vo} og σ'_p mot dybde under terreng Spenningsprofil σ'_{vo} og σ'_p mot kotenivå				Tegn. Amo	Dato mai 86
				Målestokk	Kartref.
 OSLO KOMMUNE Geoteknisk kontor				Tegn. nr.	1796 - 153

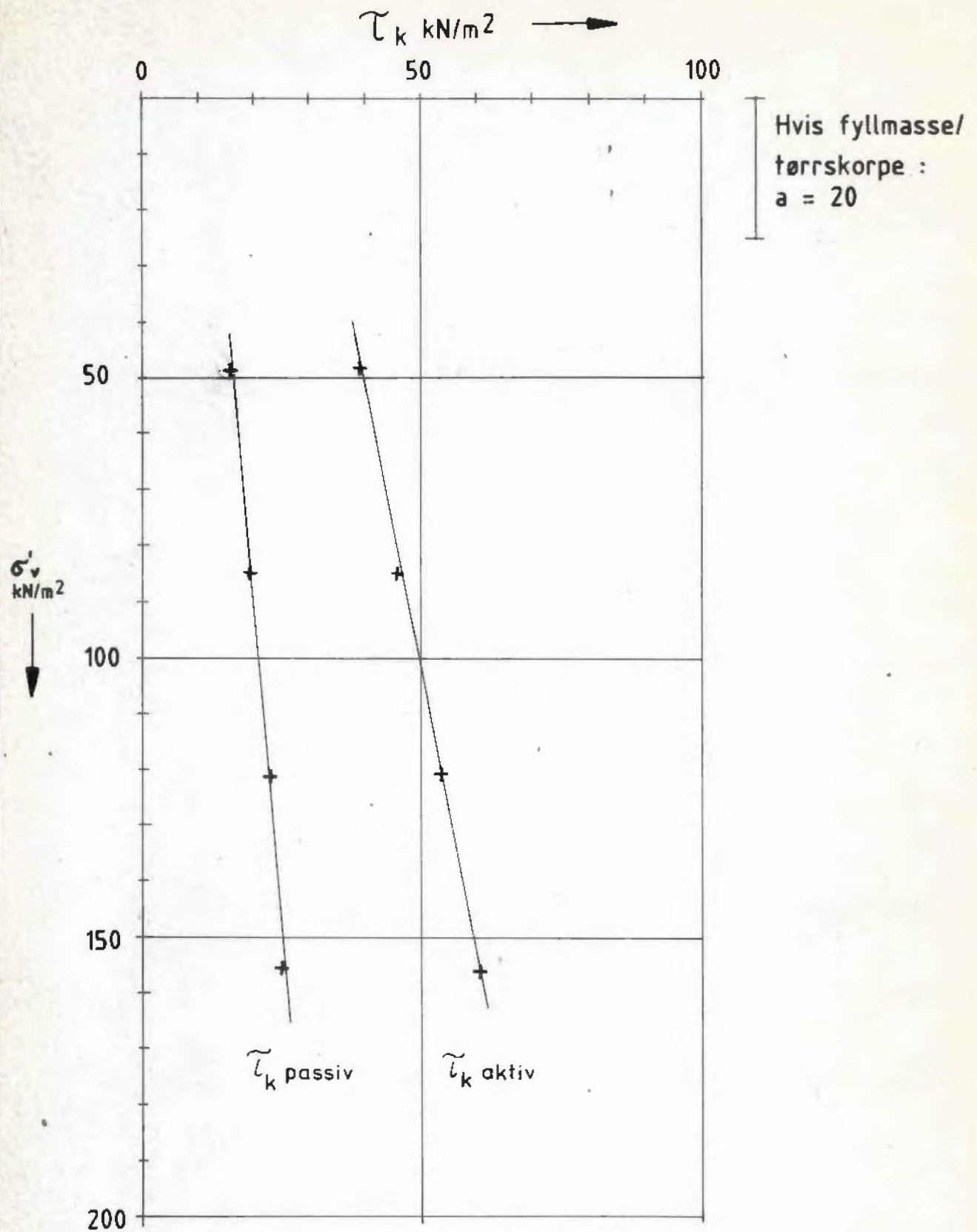
NY STRØMSVEI

τ_k / σ'_{vo} mot OCR for treaksforsøk



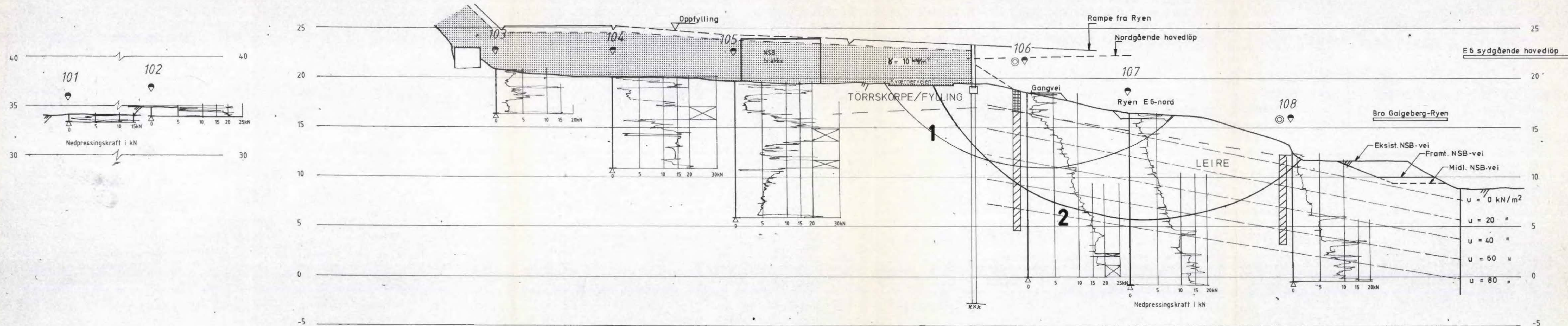
Bokst.	Forandring	Dato	Bokst.	Forandring	Dato
NY STRØMSVEI Konows gt. Forholdet udrenert skjærstyrke/overlagringstryk' mot overkonsolideringsgrad (τ_k / σ'_{vo} mot OCR)			Tegn. Ano	Dato mai 86	
			Målestokk	Kartref.	
 OSLO KOMMUNE Geoteknisk kontor			Tegn. nr.	1796 - 154	

KARAKTERISTISK STYRKE MOT OVERLAGRINGSTRYKK



Bokst.	Forandring	Dato	Bokst.	Forandring	Dato
NY STRØMSVEI Konows gt. Karakteristisk udrenert skjærstyrke mot overtrykket.			Tegn. Amo		Dato mai 86
			Målestokk		Kartref.
OSLO KOMMUNE Geoteknisk kontor			Tegn. nr. 1796 - 155		

PROFIL B 1

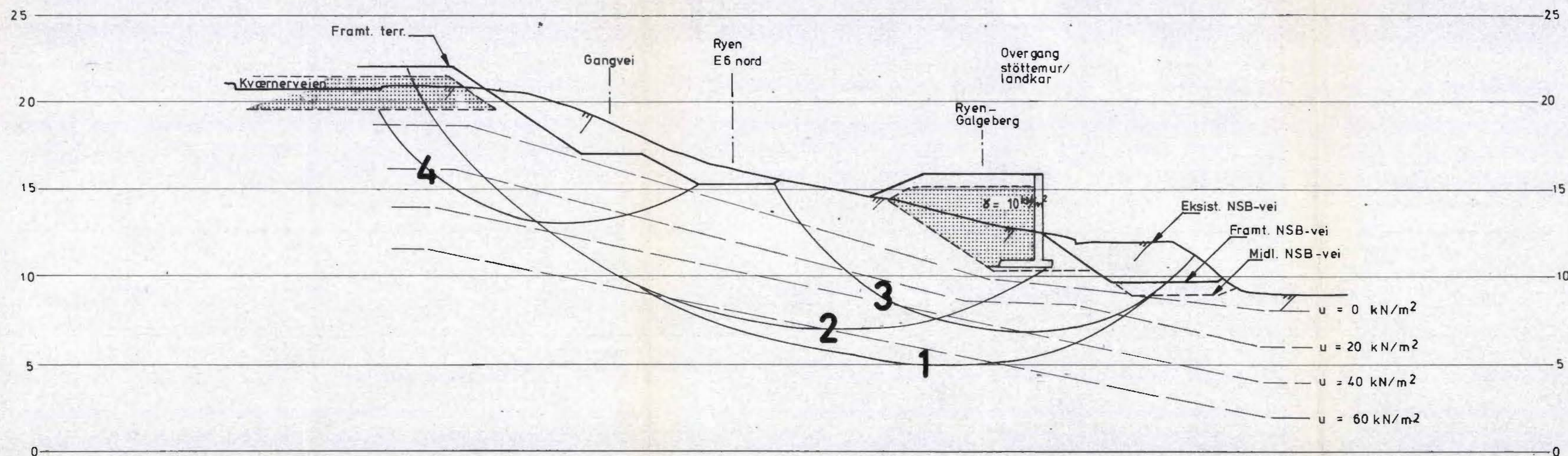


Glideflate	Sikkerhetsfaktorer	Beregningsmetode	Merknader
1	4,21 / 4,37	S / ED	Eksisterende terreng
1	/ 1,27	/ EU	Oppfylling med tunge masser ($\gamma = 20\text{kN/m}^3$)
1	1,93 / 2,04	S / ED	Oppfylling med tunge masser
1	1,60 / 1,86	S / EU	Oppfylling med lette masser ($\gamma = 10\text{kN/m}^3$) For S er $\Delta u = 0,8\Delta q$
1	2,23 / 2,44	S / ED	Oppfylling med lette masser
2	/ 2,13	/ ED	Eksisterende terreng
2	/ 1,71	/ EU	Oppfylling med tunge masser ($\gamma = 20\text{kN/m}^3$)

TEGNFORKLARING
 Beregningsmetode S : Lamellemetoden NGI pub. 16 beregnet med programmet "STAB" HP 41 CV
 Beregningsmetode E : Lamellemetoden beregnet med ESAU på HP 1000; D = drenert, U = udrenert

Bokst	Forandring	Dato	Bokst	Forandring	Dato
NY STRØMSVEI LOELVDALEN / KONOWS GT. Profil B 1 STABILITETSBEREGNING					
Tegn. Amo	Dato juli 85				
Målestokk	Kartref.				
1 : 200	SO E 2"				
Tegn. nr.	1796 - 156				
OSLO KOMMUNE Geoteknisk kontor					

PROFIL B1 / B2

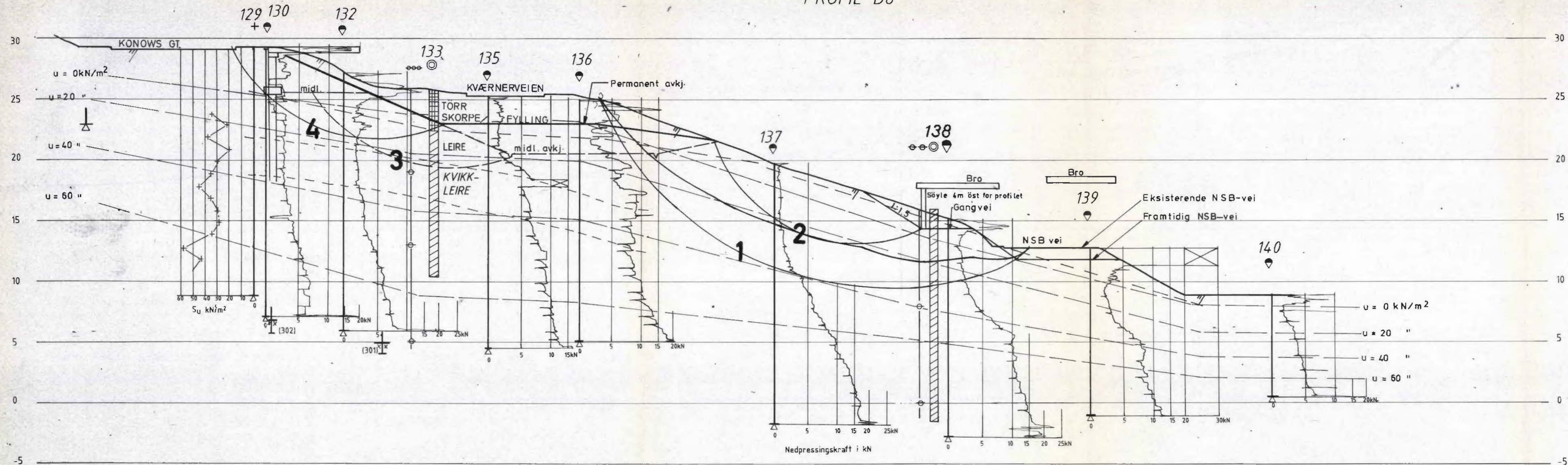


Glideflate	Sikkerhetsfaktor	Beregningsmetode	Merknader
1	1,90 / 1,78	S/ED	Eksisterende terreng
1	1,68	S	Framtidig terreng og målt poretrykk
1	1,55 /	S	Framtidig terreng og hydrostatisk poretrykk under drenert nivå
1	1,74	S/EU	Framtidig terreng
2	1,39 / 1,54	S/ED	Utgravd for Ryen - Galgeberg, eller eksisterende terreng
3	1,75	S	Framtidig terreng
4	1,40 / 1,52	S/EU	Poretrykksoppbygging p.g.a. oppfylling. For S er $\Delta u = 0,8 \Delta q$
4	1,63 / 1,66	S/ED	Framtidig terreng og målt poretrykk

Beregningsmetode S : Lamellemetode NGI pub. 16 beregnet med programmet "STAB" HP 41 CV
 Beregningsmetode E : Lamellemetoden beregnet med ESAU på HP 1000, D = drenert, U = udrenert

Bokst.	Forandring	Dato	Bokst.	Forandring	Dato
NY STRØMSVEI LOELVDALEN / KONOWS GT. Profil B1/B2 STABILITETSBEREGNING					
Tegn. Amo Målestokk 1 : 200				Dato mai 86 Kartref. SO E2 ^{II}	
OSLO KOMMUNE Geoteknisk kontor				Tegn. nr. 1796 - 157	

PROFIL B6



TEGNFORKLARING

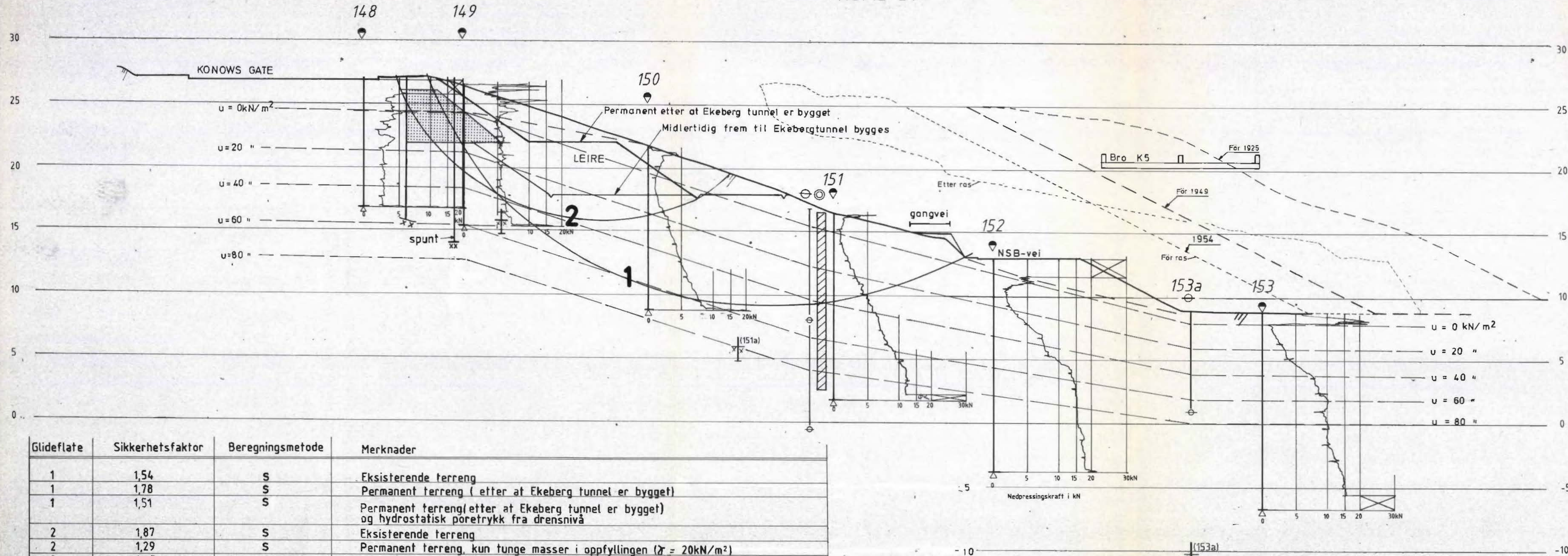
- ⊙ Dreiestrykkssondering
- ⊕ Prøveserie
- + Vingeboring
- ⊖ Poretrykkmåler
- ⊗ Kontrollboret 1m i fjell
- ⊕ Antatt stein, blokk eller fast grunn
- ⊠ Økt rotasjon

Glideflate	Sikkerhetsfaktor	Beregningsmetode	Merknader
1	1,61	S	Eksisterende terreng
1	1,65	S	Midl. terreng før Ekeberg tunnel
1	1,57/1,57	S/ED	Permanent terreng etter Ekeberg tunnel er bygget
1	1,29	S	Permanent terreng med hydrostatisk poretrykk under drenert nivå
2	1,64	S	
3	1,52	S	
4	1,78	S	

Beregningsmetode S : Lamellemetoden NGLi pub. 16 beregnet med programmet "STAB" HP 41 CV
 Beregningsmetode E : Lamellemetoden beregnet med ESAU på HP 1000, D = drenert, U = udrenert

Bokst.	Forandring	Dato	Bokst.	Forandring	Dato
NY STRØMSVEI LOELVDALEN / KONOWS GT.				Tegn. Amo	Dato juli 85
Profil B6				Målestokk	Kartref.
STABILITETSBEREGNING				1 : 200	SO E2 ^{III}
OSLO KOMMUNE Geoteknisk kontor				Tegn. nr	1796 -158

PROFIL B9



TEGNFORKLARING

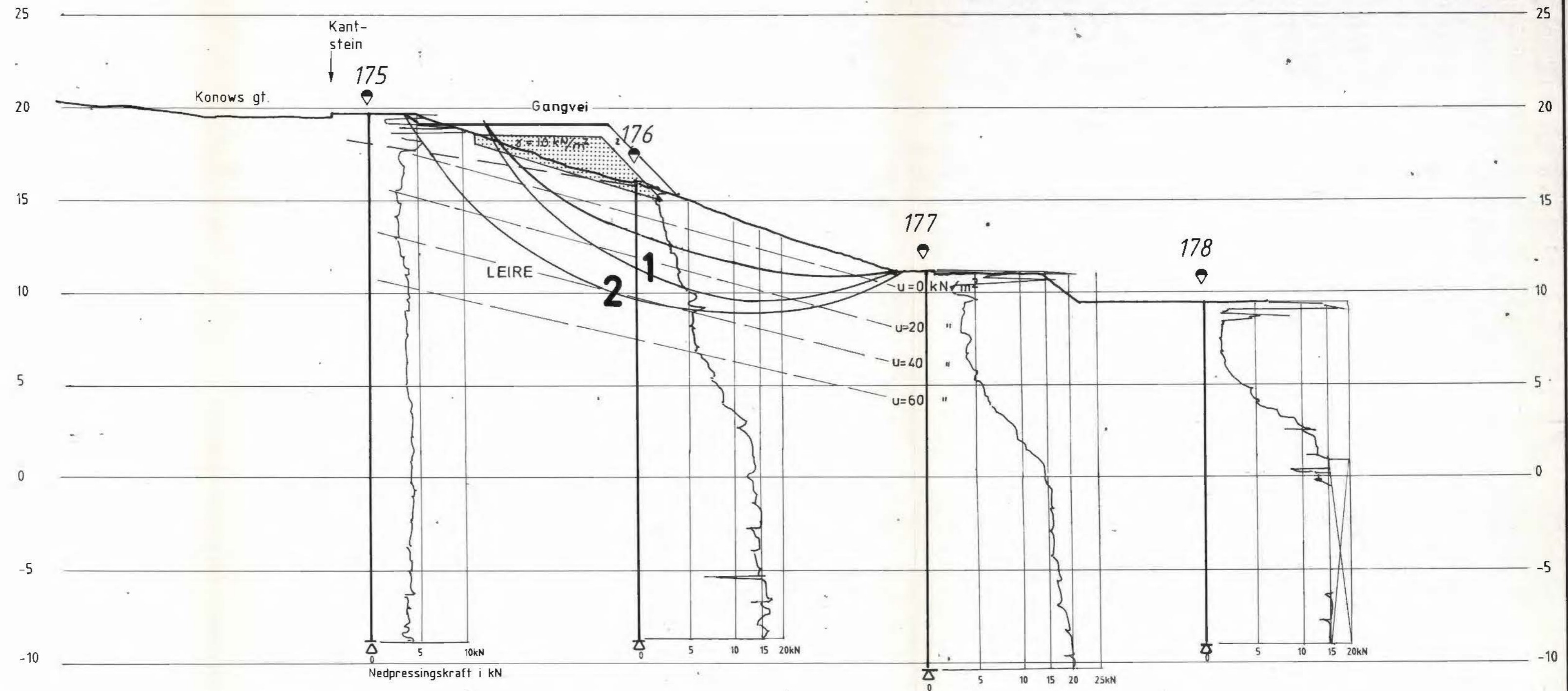
- Dreiecksdrucksonderring
- Prøveserie
- Poretrykkmåler
- Kontrollboret 4m i fjell
- Antatt stein, blokk eller fast grunn
- Økt rotasjon.

Glideflate	Sikkerhetsfaktor	Beregningsmetode	Merknader
1	1,54	S	Eksisterende terreng
1	1,78	S	Permanent terreng (etter at Ekeberg tunnel er bygget)
1	1,51	S	Permanent terreng etter at Ekeberg tunnel er bygget) og hydrostatisk poretrykk fra dreinsnivå
2	1,87	S	Eksisterende terreng
2	1,29	S	Permanent terreng, tunge masser i oppfyllingen ($\gamma = 20 \text{ kN/m}^2$)
2	1,47	S	Permanent terreng, lette masser ($\gamma = 10 \text{ kN/m}^2$) og målt poretrykk
2	1,35	S	Permanent terreng, lette masser og hydrostatisk poretrykk fra dreinsnivå

Beregningsmetode S: Lamellemetoden NGI pub. 16 beregnet med programmet "STAB" HP 41 CV.

Bokst.	Forandring	Dato	Bokst.	Forandring	Dato
Tegn. Amo Dato Juli 85 Målestokk 1 : 200 Kartref. SO E2III					
NY STRØMSVEI LOELVDALEN / KONOWS GT: Profil B9 STABILITETSBEREGNING					
Tegn. nr. 1796 - 159 OSLO KOMMUNE Geoteknisk kontor					

PROFIL B14



Beregningsmetode S:

Lamellemetoden NGI pub. 16 beregnet med programmet "STAB" HP 41 CV

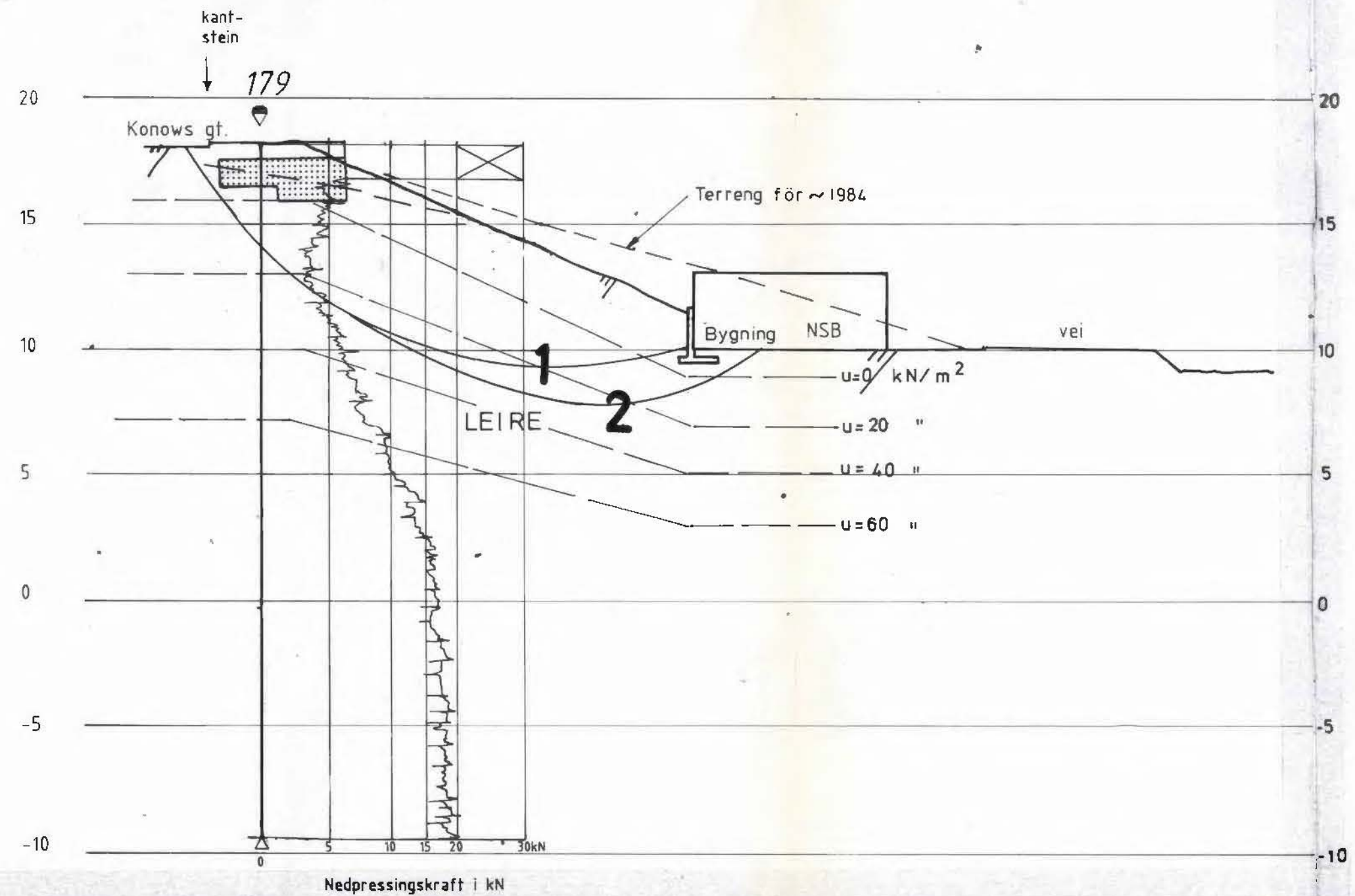
Beregningsmetode E:

Lamellemetoden beregnet med ESAU på HP 1000, D = drenert, U = udrenert

Glideflate	Sikkerhetsfaktor	Beregningsmetode	Merknader
1	1,76/1,75	S / ED	Eksisterende terreng
1	1,32	S	Oppfylling med tunge masser ($\gamma = 20 \text{ kN/m}^2$)
1	1,39/1,45	S/ED	Oppfylling med lette masser ($\gamma = 10 \text{ kN/m}^2$)
1	1,27	S	Oppfylling med lette masser, hydrostatisk poretrykk under dretnivå
1	1,11/1,07	S/EU	Poretrykksoppbygging, lette masser. For S er $\Delta u = 0,8 \Delta q$
2	1,61	S/	Eksisterende terreng
2	1,49	S	Oppfylling med lette masser

Bokst.	Forandring	Dato	Bokst.	Forandring	Dato
NY STRØMSVEI LOELVDALEN / KONOWS GT. Profil B14. STABILITETSBEREGNING					
Tegningssvs / Amo Målestokk 1 : 200				Dato juli 85 Kartref. SO E2 ^{III}	
 OSLO KOMMUNE Geoteknisk kontor				Tegn. nr. 1796 - 160	

PROFIL B15

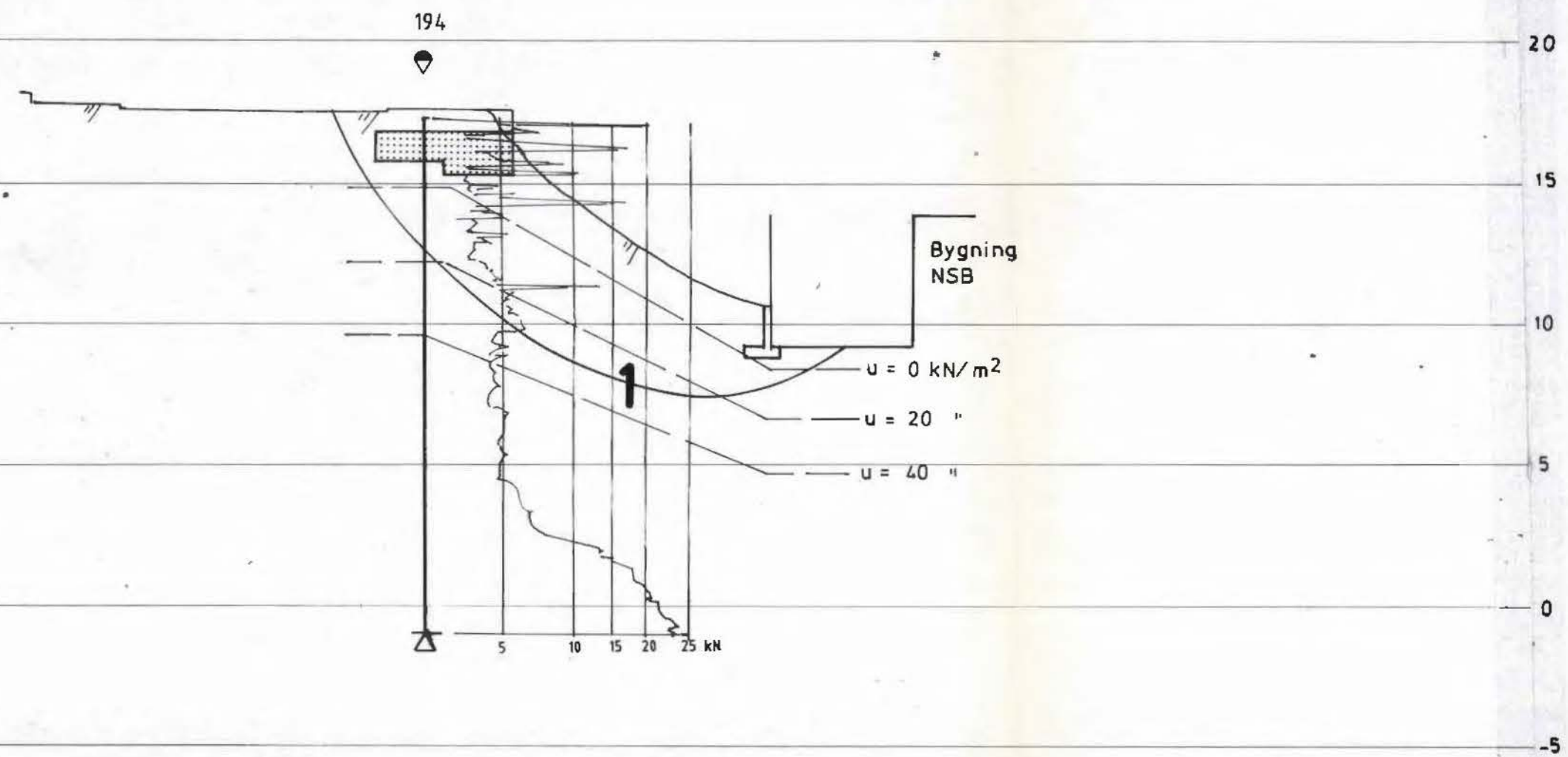


Glideflate	Sikkerhetsfaktor	Beregningsmetode	Merknader
1	2,05	S	Terrang før 1984
1	1,50	S	Eksisterende terrang
1	1,44	S	Oppfylt med tunge masser ($\gamma = 20$)
1	1,60	S	Oppfylt med superlette masser ($\gamma = 0$)
2	1,40	S	Eksisterende terrang
2	1,47	S	Oppfylt med superlette masser

Beregningsmetode S: Lamellemetoden NGI pub. 16 beregnet med programmet "STAB" HP 41 CV

Bokst.	Forandring	Dato	Bokst.	Forandring	Dato
NY STRØMSVEI LOELVDALEN/KONOWS GT.			Tegn. Amo		Dato mai 86
Profil B 15 STABILITETSBEREGNING			Målestokk	Kartref.	
			1 : 200	SO E2	
OSLO KOMMUNE Geoteknisk kontor			Tegn. nr. 1796-161		

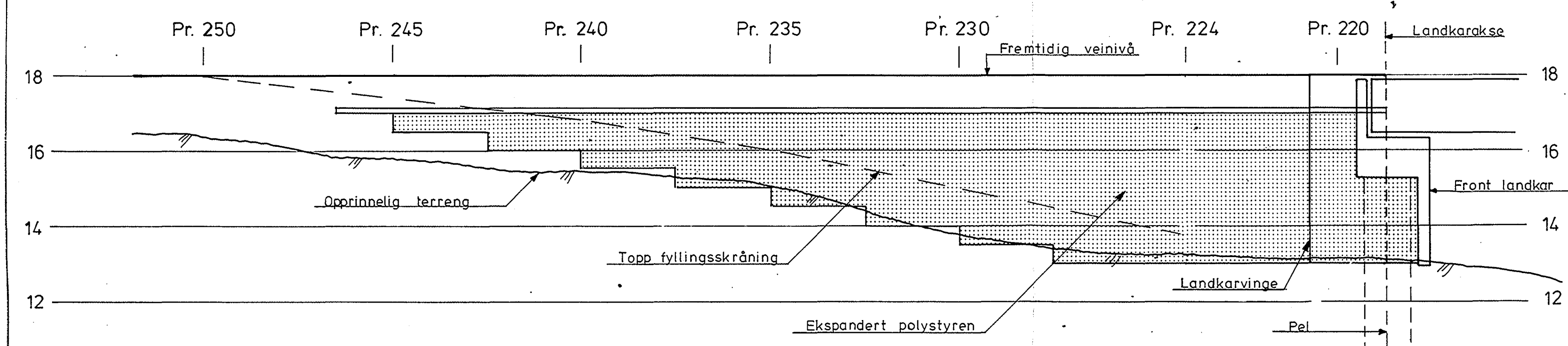
Profil B 27



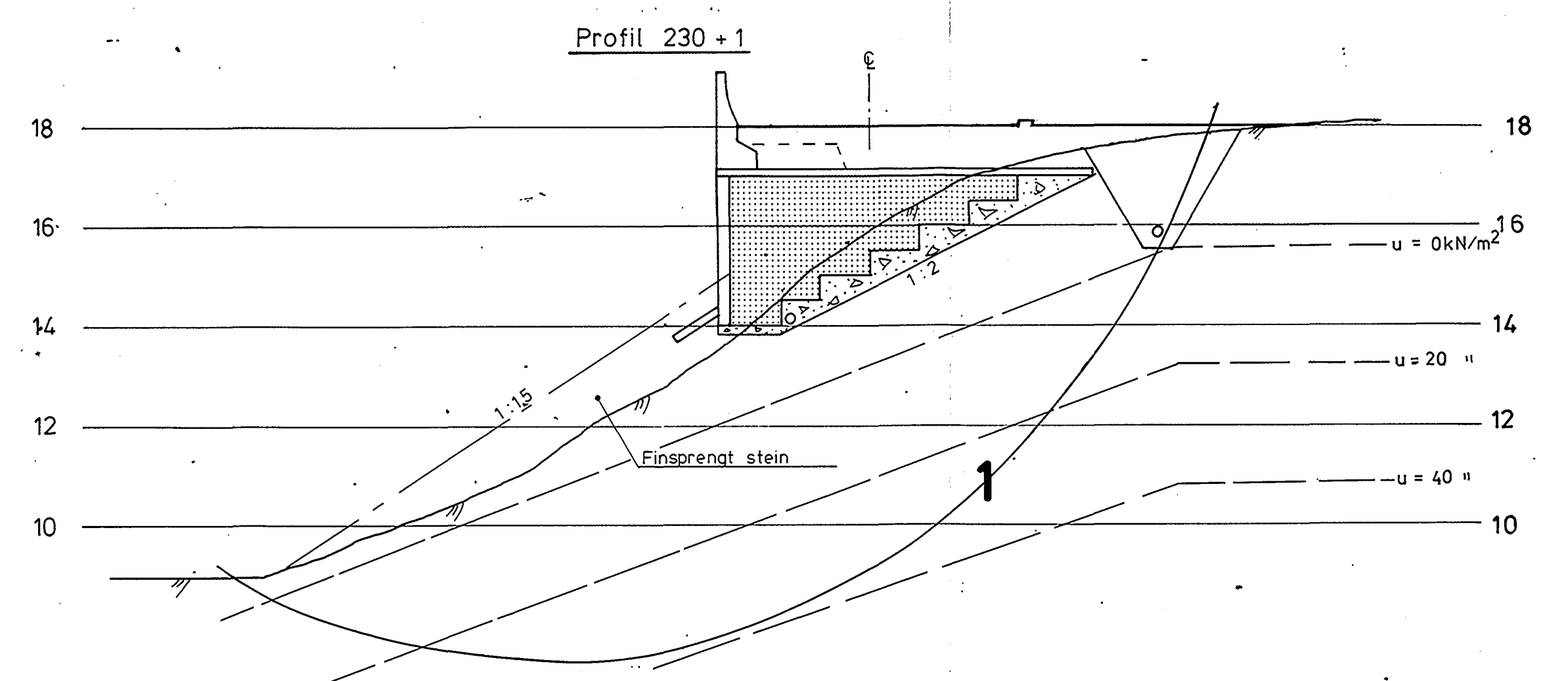
Glideflate	Sikkerhetsfaktor	Beregningsmetode	Merknader
1	1,23	S	Eksisterende terreng
1	1,25	S	Framtidig terreng med superlette masser

Beregningsmetode S: Lamellemetoden NGI pub. 16 beregnet med programmet "STAB" HP 41 CV

Bokst.	Forandring	Dato	Bokst.	Forandring	Dato	
NY STRØMSVEI LOELVDALEN/KONOWS GT. Profil B 27 STABILITETSBEREGNING					Tegn. Amg Målestokk 1 : 200 Tegn. nr. 1796 -162	Dato mai 86 Kartref. SO E2 ^{III}
OSLO KOMMUNE Geoteknisk kontor						

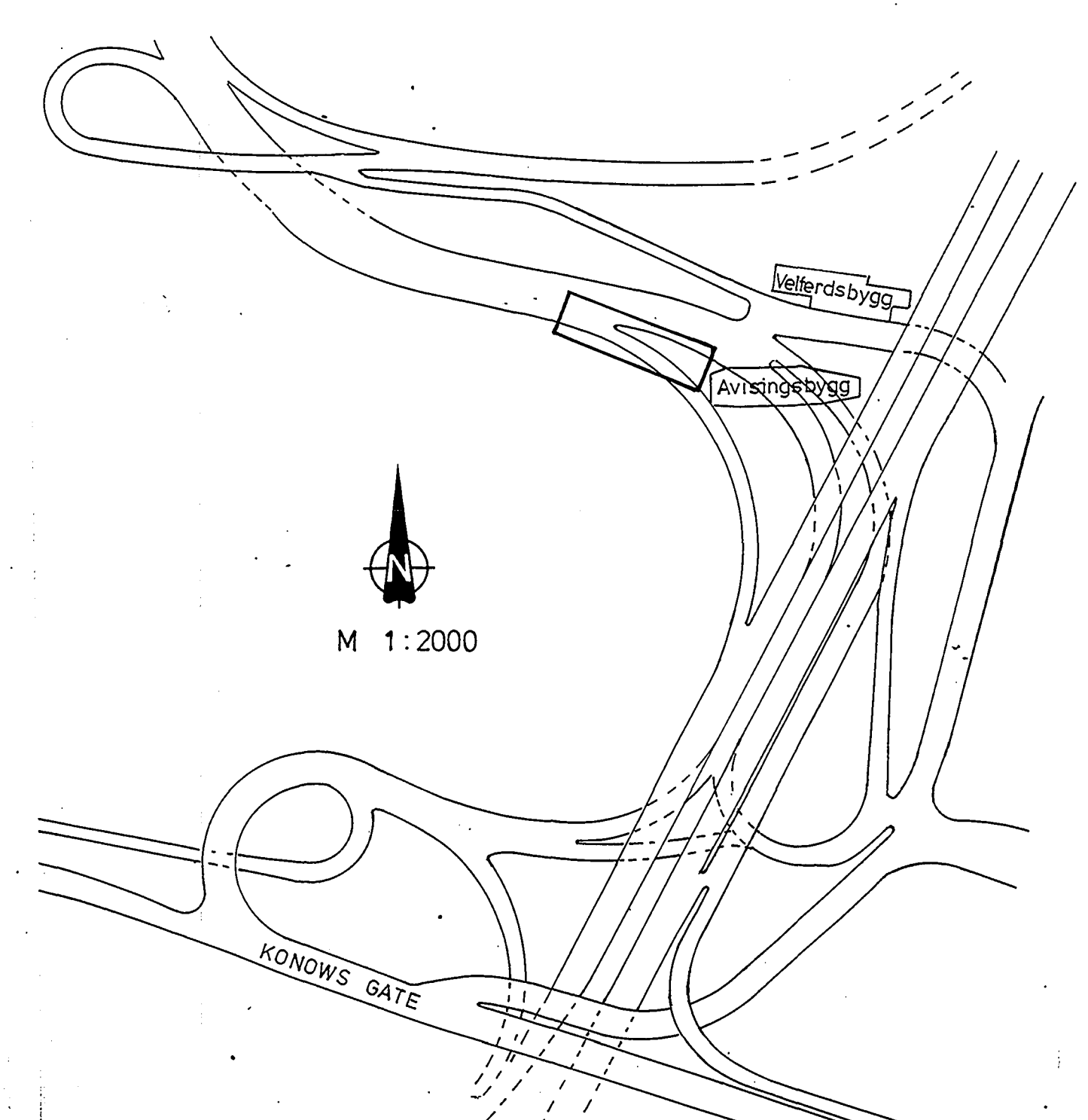
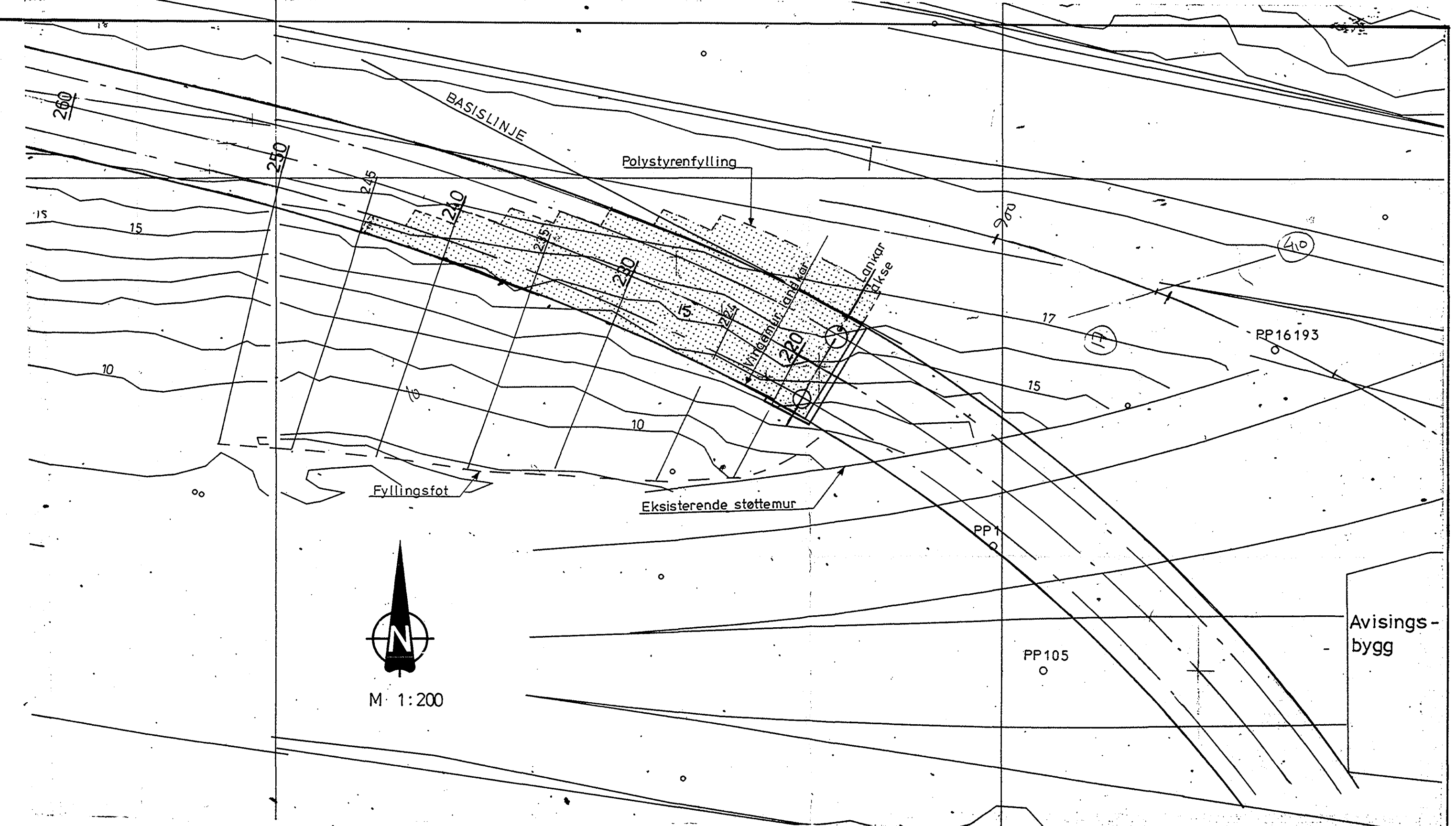


LENGDEPROFIL LANGS VERTIKAL AVSLUTNING AV POLYSTYREN-FYLLING M 1:100



Glideflate	Sikkerhetsfaktor	Beregningsmetode	Merknader
1	1,23	S	Eksisterende terreng
1	1,31	S	Framttidig terreng med superlette masser

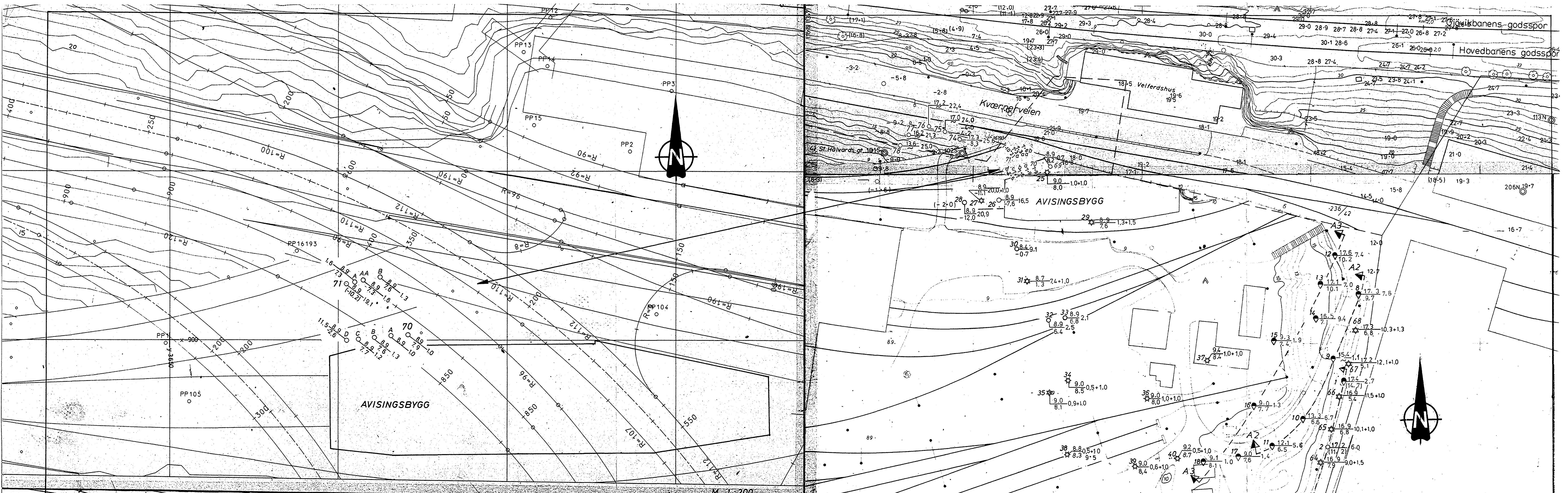
Beregningsmetode S: Lamellemetoden NGI pub. 16 beregnet med programmet "STAB" HP 41 CV



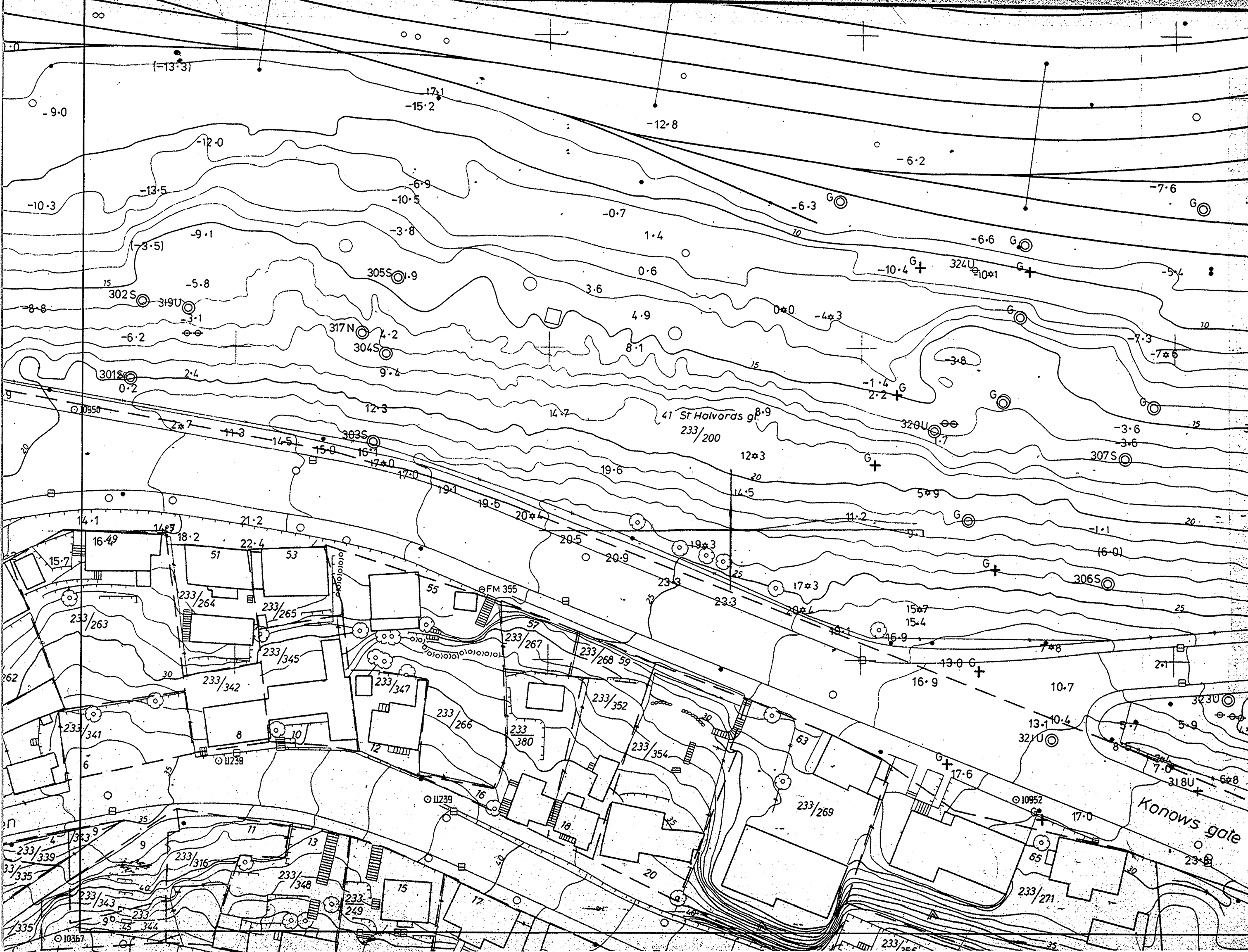
BEMERKNINGER

Veioverbygning og drenering av selve veibanen fremkommer på OVV's tegninger.
 Betongplate, rekkverk og forblending fremkommer på tegn. nr. K9- 03

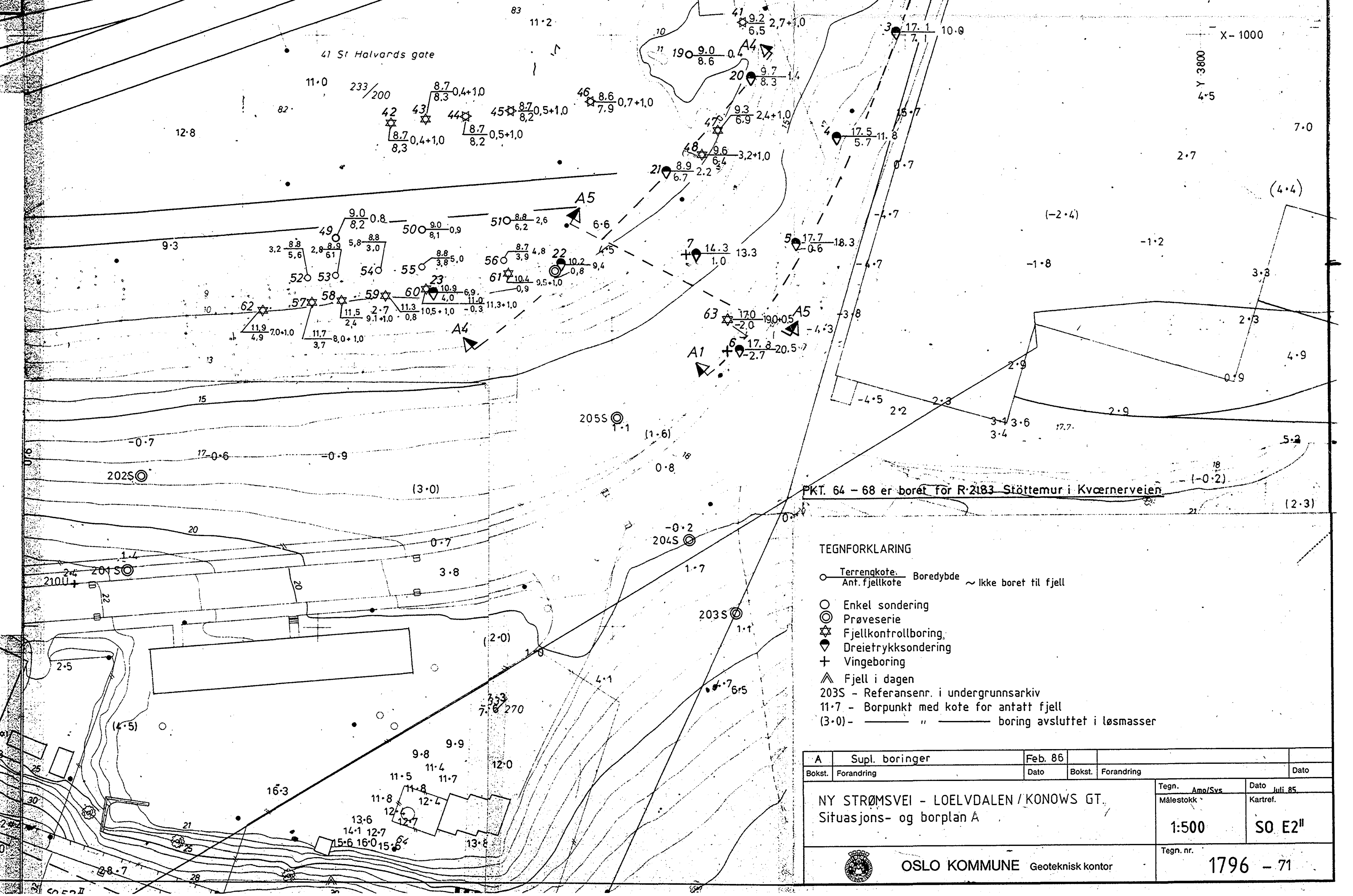
Bokst.	Forandring	Dato	Bokst.	Forandring	Dato
E6, LODALEN					
Fylling bak landkar for bru K 1 Ekspandert polystyren					Målestokk 1:100 1:200 1:2000
STABILITETSBEREGNING profil av EPSfylling					Dato: Jan. 86 Tegn.: EML Kartref.
OSLO KOMMUNE Geoteknisk kontor					Tegn. nr. 1796 - 163



M 1:200

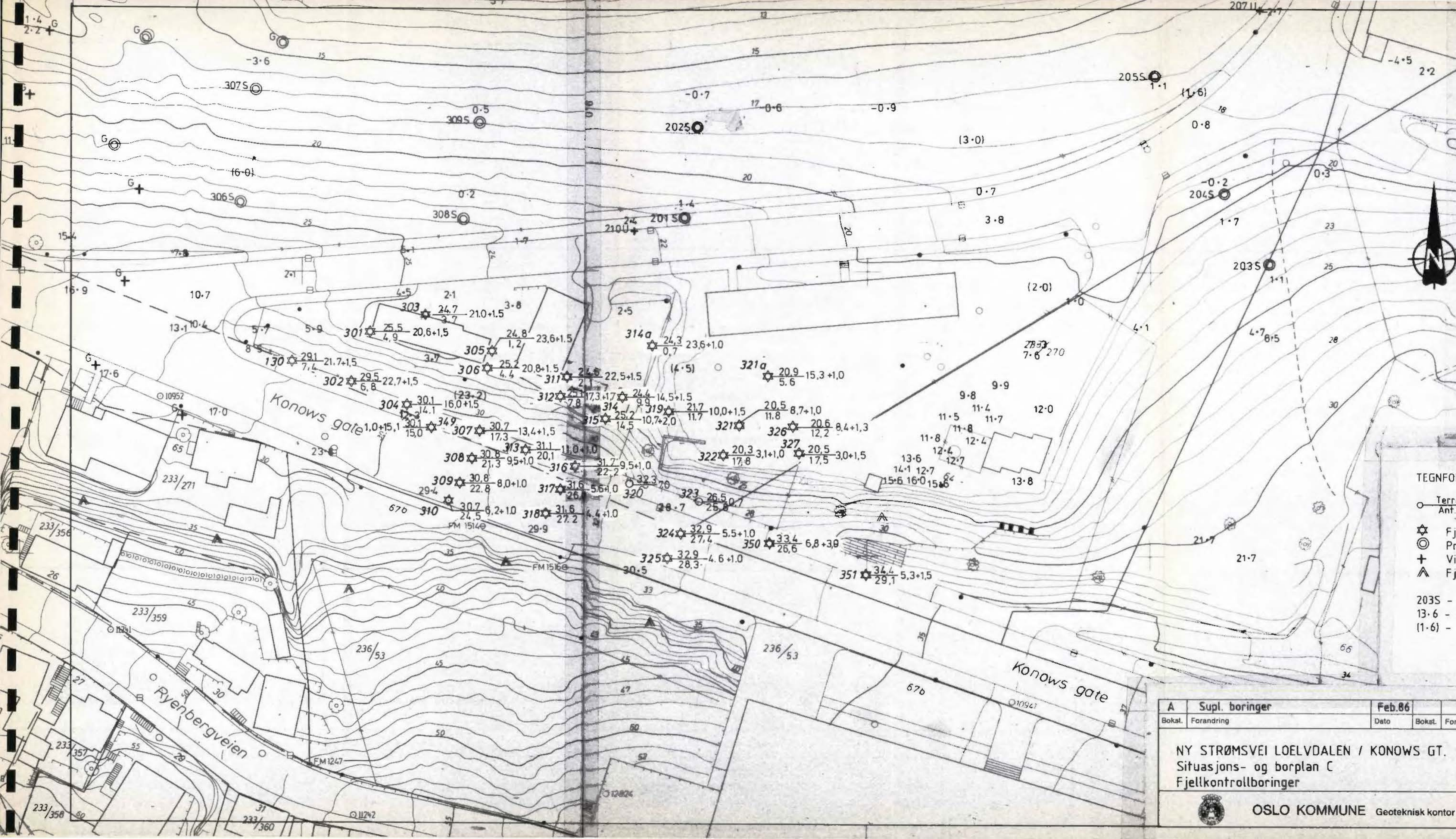


Pkt.	X	Y
25	-899.12	3671.04
26	-907.09	3657.35
27	-907.24	3650.82
28	-907.48	3648.93
29	-913.74	3685.91
30	-919.97	3662.27
31	-931.87	3665.99
32	-943.97	3672.31
33	-941.43	3677.16
34	-962.63	3679.32
35	-965.06	3671.61
36	-966.36	3701.64
37	-954.53	3719.24
38	-982.46	3677.60
39	-985.97	3697.76
40	-983.42	3710.55
41	-997.66	3722.30
42	-1014.72	3663.08
43	-1014.08	3668.43
44	-1013.42	3675.26
45	-1012.64	3682.84
46	-1011.21	3696.39
47	-1016.92	3717.97
51	-1032.78	3681.70
52	-1040.69	3648.72
53	-1040.01	3653.57
54	-1038.96	3661.15
55	-1037.94	3668.43
56	-1036.06	3681.90
57	-1044.98	3649.20
58	-1044.33	3653.79
59	-1043.43	3661.49
60	-1042.57	3668.37
61	-1040.02	3682.74



- TEGNFORKLARING**
- Terrenkote. Boreddyde ~ ikke boret til fjell
 - ⊙ Enkel sondering
 - ⊗ Praveserie
 - ⊕ Fjellkontrollboring
 - ⊛ Dreitrykkssondering
 - ⊕ Vingeboring
 - ▲ Fjell i dagen
 - 203S - Referansen i undergrunnsarkiv
 - 11-7 - Bopunkt med kote for antatt fjell
 - (3-0) - boring avsluttet i løsmasser

A	Supl. boringer	Feb. 85			
Bokst.	Forandring	Dato	Bokst.	Forandring	Dato
NY STRØMSVEI - LOELVDALEN / KONOWS GT.			Målestokk		
Situasjons- og borplan A			Kartref.		
			1:500		
			SO E2 ^{II}		
OSLO KOMMUNE Geoteknisk kontor			Tegn. nr.		
			1796 - 71		



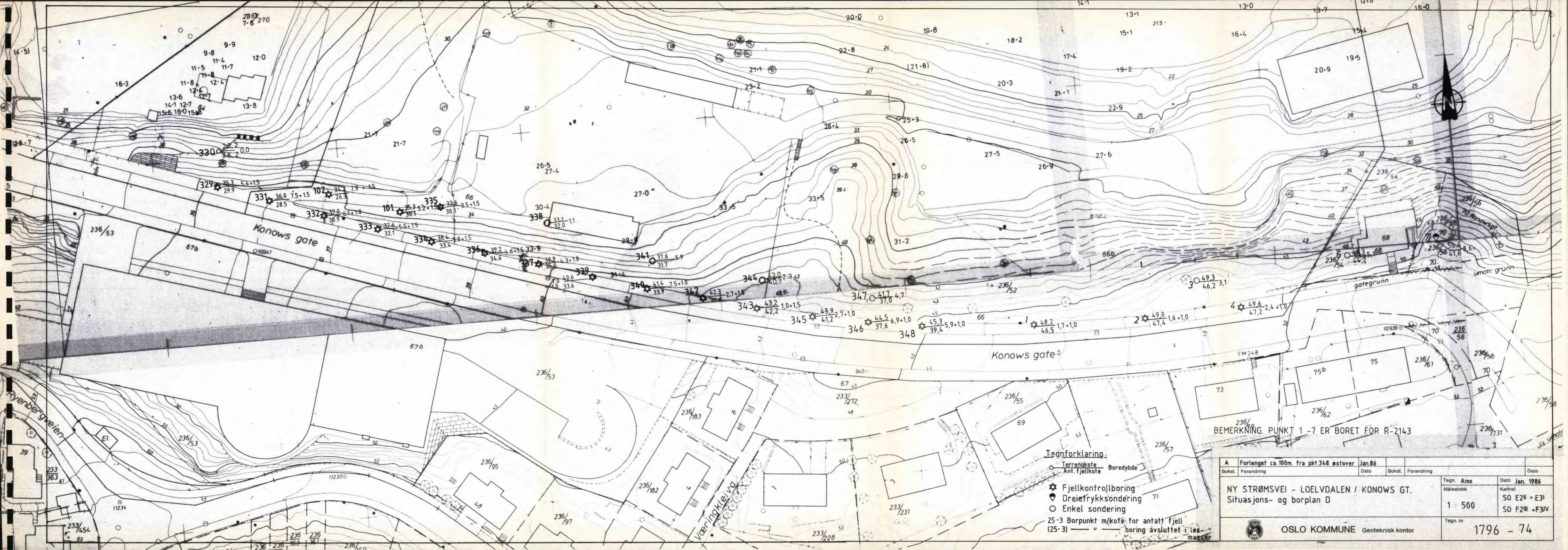
PKL	X	Y
130	-1115.2	3548.0
301	-1110.5	3561.8
302	-1119.0	3558.4
303	-1107.4	3571.9
304	-1123.2	3568.3
305	-1113.8	3583.3
306	-1117.0	3583.0
307	-1127.8	3581.4
308	-1132.5	3579.7
309	-1137.2	3578.0
311	-1117.9	3596.6
312	-1121.5	3595.6
313	-1130.7	3589.7
314	-1121.5	3606.8
315	-1125.9	3603.9
316	-1133.8	3598.5
317	-1138.8	3595.5
318	-1141.8	3592.5
319	1124.3	3614.8
320	1137.0	3607.7
321	-1127.1	3627.5
322	-1132.0	3624.8
323	-1141.2	2619.8
324	-1145.5	3617.2
325	-1149.9	3614.7
326	-1126.9	3637.1
327	-1131.8	3638.1
328	-1136.6	3638.9

TEGNFORKLARING

- Terrengekote Boreddybde
- Ant. fjellkote
- ☆ Fjellkontrollboring
- ⊙ Prøveserie
- + Vingeoring
- ▲ Fjell i dagen

2035 - Referansenr. i undergrunnsarkiv
 13.6 - Borpunkt med kote for antatt fjell
 (1.6) - " " " " for boring avsluttet i løsmasser.

A		Supl. boringer		Feb.86		Dato	
Bokat.	Forandring	Dato	Bokat.	Forandring	Dato	Bokat.	Forandring
NY STRØMSVEI LOELVDALEN / KONOWS GT. Situasjons- og borplan C Fjellkontrollboringer						Tegn. Amo	Dato juli 85
						Målestokk	Kartref.
						1 : 500	SO E2 ^{II} • III
						Tegn. nr.	1796 - 73
 OSLO KOMMUNE Geoteknisk kontor							



Konows gate

Konows gate

Væringkleiva

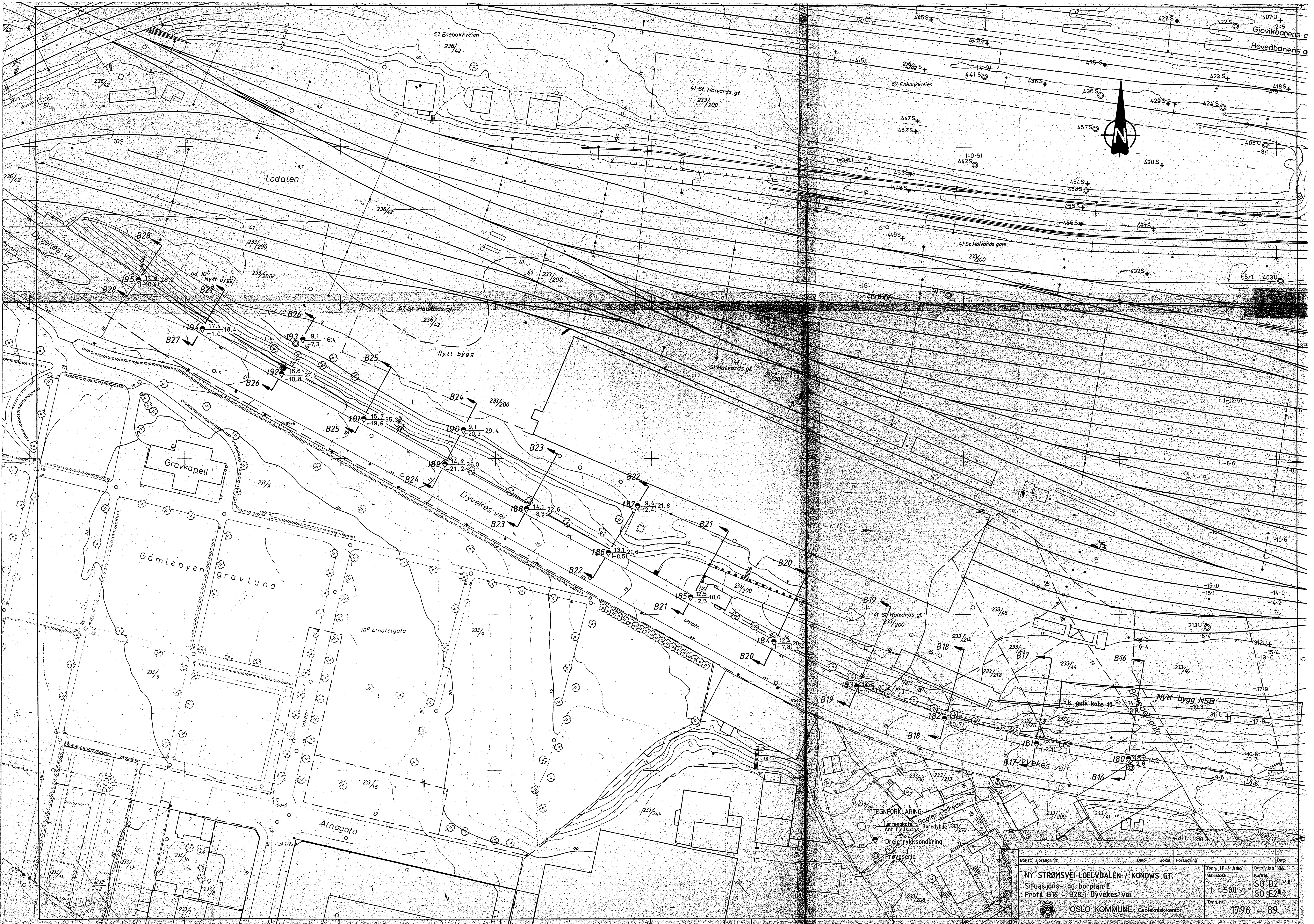
Ryenbergveien

Tegnforklaring

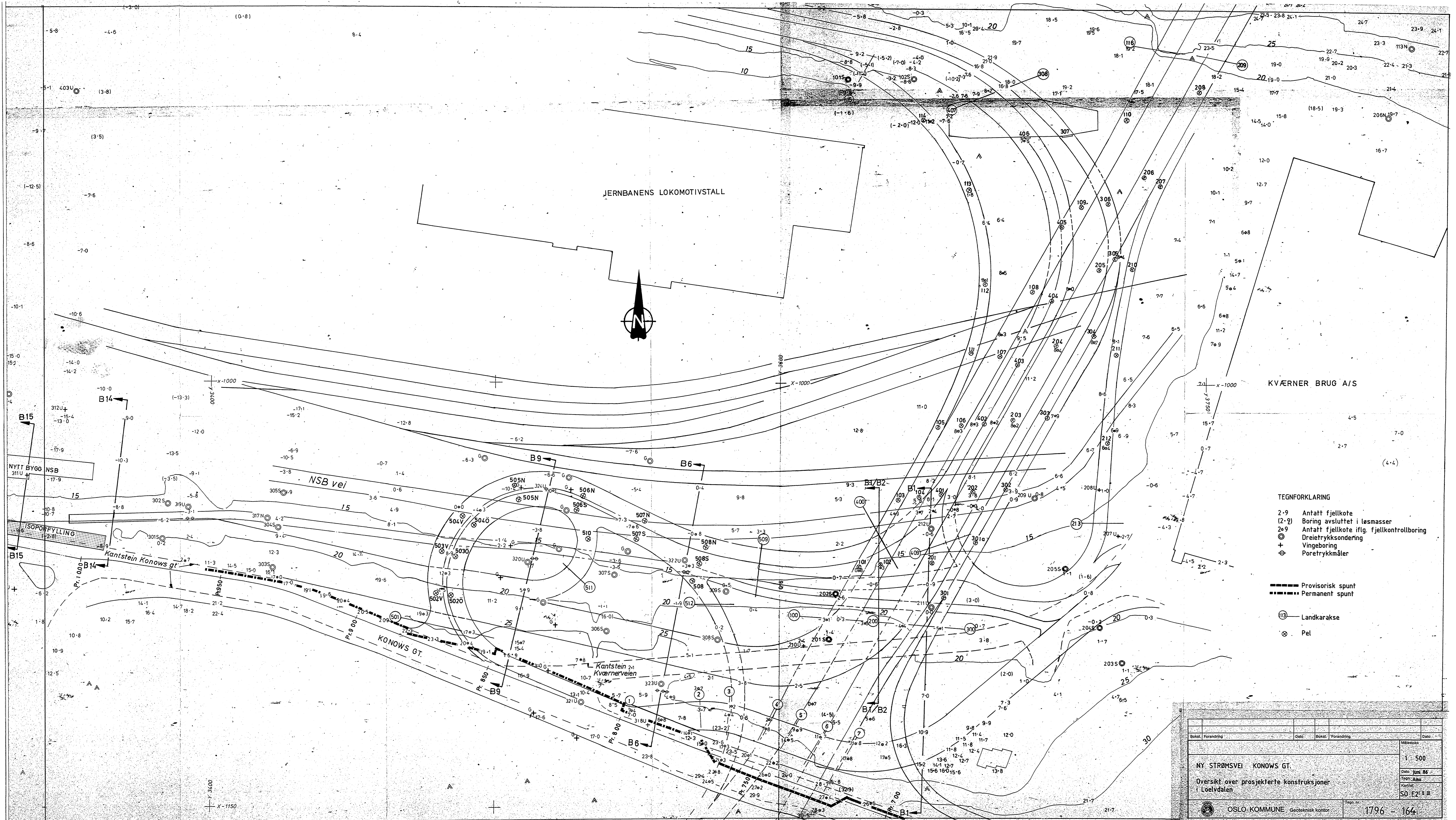
- Terrengekote
- Ant. fjellkote
- Boreddyde
- ★ Fjellkontrollboring
- ◆ Dreiefrykksøndering
- Enkel søndering
- 25-3 Borepunkt m/kote for antatt fjell
- (25-3) " " boring avsluttet i løsmasser

BEMERKNING: PUNKT 1-7 ER BORET FOR R-2143

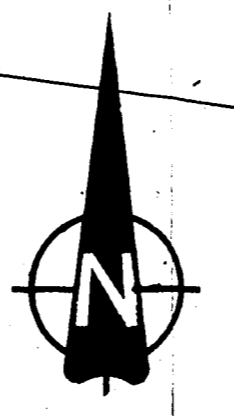
A Forlengt ca. 100m. fra pkt.348 østover		Jan.86	Dato	
Bokst.	Forandring	Dato	Bokst.	Forandring
NY STRØMSVEI - LOELVDALEN / KONOWS GT. Situasjons- og borplan D			Tegn. Amo	Dato Jan. 1986
			Målestokk	Kartref.
			1 : 500	SO E2II + E3I SO F2III + F3IV
OSLO KOMMUNE Geoteknisk kontor			Tegn. nr.	1796 - 74



Bokst.	Forandring	Dato	Bokst.	Forandring	Dato
NY STRØMSVEI LOELVDALEN / KONOWS GT. Situasjons- og borplan E Profil B16 - B28 i Dyvekes vei					
Teegn. nr. 1796 - 89			Teegn. nr. 1796 - 89		
OSLO KOMMUNE Geoteknisk kontor			OSLO KOMMUNE Geoteknisk kontor		



JERNBANENS LOKOMOTIVSTALL



KVÆRNER BRUG A/S

- TEGNFORKLARING
- 2-9 Antatt fjellkote
 - (2-9) Boring avsluttet i løsmasser
 - 2-9 Antatt fjellkote iflg. fjellkontrollboring
 - ⊕ Dreietrykksone
 - ⊕ Vingeboring
 - ⊕ Poretrykkmåler

- Provisorisk spunt
- Permanent spunt
- ⊙ Landkarakse
- ⊙ Pel

Bokst.	Forandring	Dato	Bokst.	Forandring	Dato
<p>NY STRØMSVEI KONOWS GT.</p> <p>Oversikt over prosjekterte konstruksjoner i Løelvdalen</p> <p>OSLO KOMMUNE Geoteknikk kontor</p>					<p>Målestokk</p> <p>1:500</p> <p>Dato: Juni 86</p> <p>Tegn: Amc</p> <p>Kartell: SO E2 III</p>
					1796 - 164